

# **METODE ȘI ECHIPAMENTE DE IZOLARE ANTIVIBRATORIE A PRESELOR MECANICE**

Teză destinată obținerii  
titlului științific de doctor inginer  
la  
Universitatea "Politehnica" din Timișoara  
în domeniul INGINERIE MECANICĂ  
de către

**Ing. Amalia-Virginia Țârdea**

Conducător științific: Prof.univ.dr.ing. Titus Gh. Cioara  
Referenți științifici: Prof.univ.dr.ing. Liviu Bereteu  
Prof.univ.dr.ing. Mircea Radeș  
Prof.univ.dr.ing. Polidor Bratu

Ziua susținerii tezei: 21.10.2008

Seriile Teze de doctorat ale UPT sunt:

- |                        |   |
|------------------------|---|
| 1. Automatică          | 7. Inginerie Electronică și Telecomunicații |
| 2. Chimie              | 8. Inginerie Industrială                    |
| 3. Energetică          | 9. Inginerie Mecanică                       |
| 4. Ingineria Chimică   | 10. Știința Calculatoarelor                 |
| 5. Inginerie Civilă    | 11. Știința și Ingineria Materialelor       |
| 6. Inginerie Electrică |   |

Universitatea „Politehnica” din Timișoara a inițiat seriile de mai sus în scopul diseminării expertizei, cunoștințelor și rezultatelor cercetărilor întreprinse în cadrul școlii doctorale a universității. Seriile conțin, potrivit H.B.Ex.S Nr. 14 / 14.07.2006, tezele de doctorat susținute în universitate începând cu 1 octombrie 2006.

Copyright © Editura Politehnica – Timișoara, 2008

Această publicație este supusă prevederilor legii dreptului de autor. Multiplicarea acestei publicații, în mod integral sau în parte, traducerea, tipărirea, reutilizarea ilustrațiilor, expunerea, radiodifuzarea, reproducerea pe microfilme sau în orice altă formă este permisă numai cu respectarea prevederilor Legii române a dreptului de autor în vigoare și permisiunea pentru utilizare obținută în scris din partea Universității „Politehnica” din Timișoara. Toate încălcările acestor drepturi vor fi penalizate potrivit Legii române a drepturilor de autor.

România, 300159 Timișoara, Bd. Republicii 9,  
tel. 0256 403823, fax. 0256 403221  
e-mail: editura@edipol.upt.ro

## Cuvânt înainte

Teza de doctorat cu titlul „METODE ȘI ECHIPAMENTE DE IZOLARE ANTIVIBRATORIE A PRESELOR MECANICE” a fost elaborată pe parcursul activității mele în cadrul Facultății de Mecanică, catedra de Mecanică și Vibrații, a Universității „Politehnica” din Timișoara.

Lucrarea constituie un studiu teoretic și experimental care reliefează fenomenele perturbatoare care apar în structura preselor mecanice în timpul efectuării operațiilor de prelucrare a pieselor, cu scopul de a găsi soluții optime de izolare antivibratorie care să îndepărteze sau să reducă efectele nedorite determinate de aceste fenomene.

Aduc, pe această cale, mulțumirile mele tuturor celor care m-au ajutat să duc la bun sfârșit acesta teză:

- Domnului prof. dr. ing. Titus Gh. Cioara, pentru îndrumarea competentă și permanentă, precum și pentru sfaturile și încurajările de pe întreg parcursul elaborării tezei
- Colegilor din Catedra de Mecanică și Vibrații, pentru sfaturi și aprecieri
- Domnului tehnician Cornel Borza, pentru ajutorul acordat la partea experimentală
- Tuturor prietenilor, familiei mele și părinților mei pentru încrederea și sprijinul moral acordat pe parcursul elaborării acestei teze.

Țârdea, Amalia-Virginia

**Metode și echipamente de izolare antivibratorie a preselor  
mecnice**

Teze de doctorat ale UPT, Seria 9, Nr. 43, Editura Politehnica,  
2008, 140 pagini, 105 figuri, 3 tabele.

ISSN: 1842-4937

ISBN: 978-973-625-740-7

Cuvinte cheie:

forțe impulsive, efecte perturbatoare, perturbații inerțiale,  
izolare antivibratorie

Rezumat,

Lucrarea constituie un studiu teoretic și experimental care reliefează fenomenele perturbatoare care apar în structura preselor mecanice în timpul efectuării operațiilor de prelucrare a pieselor, cu scopul de a găsi soluții optime de izolare antivibratorie care să îndepărteze sau să reducă efectele nedorite determinate de aceste fenomene.

# CUPRINS

<b>INTRODUCERE</b> .....	7
<b>Capitolul 1</b>	
<b>ASPECTE PRIVIND FORȚELE TEHNOLOGICE IMPULSIVE</b>	
1.1.Introducere în problematica tezei .....	10
1.2.Forța de tăiere înregistrată pentru o operație de ștanțare .....	10
1.3.Fenomene care însoțesc deformarea plastică la rece .....	12
1.4.Operații de prelucrare prin deformare la rece .....	13
1.4.1.Procesul de decupare al unei eclise.....	14
1.4.2.Evoluția forței de decupare de-a lungul fazelor de decupare ..	15
1.4.3.Forța tehnologică în procesul de ambutisare .....	17
1.4.4.Caracteristicile tensiune-deformație ale unui model reologic ..	18
1.4.5.Forța se extruziune în procesul extrudării.....	21
1.4.6.Forța de ambutisare la o ambutisare adâncă .....	23
<b>Capitolul 2</b>	
<b>DEFINIREA FORȚELOR PERTURBATOARE</b>	
<b>LA UTILAJE TEHNOLOGICE</b>	
2.1.Considerații generale .....	24
2.2.Utilaje tehnologice cu forțe impulsive.....	24
2.2.1.Prese cu excentric .....	24
2.2.1.1.Prese cu excentric, cu batiu cadru deschis .....	24
2.2.1.2. Presa cu excentric, cu batiu cadru închis.....	26
2.2.1.3.Presa cu cu două excentrice	
cu un singur arbore principal.....	28
2.2.1.4. Presa cu două excentrice cu doi arbori principali .....	28
2.2.2.Prese cu genunchi .....	29
2.2.3.Prese cu fricțiune.....	32
2.2.4.Ciocanele mecanice .....	34
2.2.4.1.Ciocane cu acționare electromecanică și hidraulică.....	34
2.2.4.2.Ciocanul de matrițare cu contralovitură .....	38
2.2.4.2.1.Dinamica acționării pneumatice a ciocanului	
de forjă cu dublu efect .....	42
2.2.4.3 Ciocanul pneumatic cu circuit închis .....	43
2.2.5. Dinamica preselor cu acționare hidraulică .....	46
<b>Capitolul 3</b>	
<b>SIMULAREA NUMERICĂ A PERTURBAȚIILOR LA UTILAJE TEHNOLOGICE</b>	
3.1.Considerații generale.....	52
3.2.Perturbații inerțiale la o presă cu excentric .....	52
3.2.1.Dinamica mecanismului de acționare .....	52
3.2.2.Caracteristicile motorului de antrenare	
reduse la axa de rotație .....	57
3.2.3.Caracterul impulsiv al forței tehnologice .....	58
3.2.4.Variația în timp a vitezei și accelerației unghiulare	
în funcție de grosimea semifabricatului .....	60
3.2.5.Calculul perturbațiilor inerțiale	

induse de mișcările mecanismelor .....	63
3.2.6. Perturbații inerțiale de tip giroscopic .....	68
3.3. Mișcările vibratorii ale structurii presei .....	69
3.3.1. Izolarea prin elemente elastice de sprijin .....	70
3.4. Efectele perturbațiilor inerțiale .....	72
3.5. Aplicație .....	78
<b>Capitolul 4</b>	
<b>METODE, SOLUȚII ȘI ECHIPAMENTE DE ATENUARE A VIBRAȚIILOR</b>	
4.1. Considerații generale privind transmisibilitatea vibrațiilor .....	84
4.2. Analizarea caracteristicilor principalelor tipuri de izolatori și echipamente de atenuare a vibrațiilor. Alegerea sistemului antivibrant optim .....	87
4.2.1. Covoare de izolare cu diverse configurații .....	87
4.2.1.1. Covor izolator din straturi de neopren și pânză de bumbac .....	87
4.2.1.2. Covor izolator din neopren cu inserție de oțel .....	89
4.2.1.3. Covor izolator cu nervuri, de tip sandwich, din elastomeri și plută .....	92
4.2.2. Soluții speciale de izolare bazate pe elemente elastice de torsiune .....	93
4.2.2.1. Soluție tehnică de izolare antivibratorie a unei prese cu excentric pe un planșeu elastic .....	96
<b>Capitolul 5</b>	
<b>CERCETĂȚĂRI EXPERIMENTALE</b>	
5.1. Montaje experimentale .....	99
5.1.1. Măsurarea forței de ștanțare .....	99
5.1.2. Măsurarea forței de ambutisare .....	101
5.1.3. Înregistrarea legilor de mișcare ale mecanismului și ale mișcărilor vibratorii ale ansamblului utilajului .....	103
5.2. Rezultate experimentale și concluzii .....	107
<b>Capitolul 6</b>	
<b>CONCLUZII. CONTRIBUȚII ORIGINALE</b> .....	112
<b>BIBLIOGRAFIE</b> .....	114
<b>ANEXA 1</b> -Ansamblu presa cu excentric .....	118
<b>ANEXA 2</b> -Componente presă .....	119
<b>ANEXA 3</b> -Tabel-Centre de masă, momente de inerție .....	125
<b>ANEXA 4</b> -Tipuri de izolatori .....	129

## INTRODUCERE

Procedeele de prelucrare a pieselor prin deformare la rece și la cald s-au extins foarte mult în industria constructoare de mașini datorită avantajelor multiple pe care le prezintă, atât din punct de vedere tehnic cât și economic printre care se numără: executarea unor piese de complexitate ridicată într-o gamă largă de dimensiuni în condiții economice satisfăcătoare, realizarea unor productivități ridicate comparativ cu alte procedee, obținerea unor piese de precizii ridicate cu deșeu minim sau chiar fără deșeu în unele cazuri.

Tehnologiile principale utilizate se bazează pe operații de ștanțare, ambutisare, matrițare, decupare, perforare, forjare în matrițe etc., realizate pe utilaje care necesită forțe tehnologice foarte ridicate. În majoritatea cazurilor aceste forțe prezintă, în faza de terminare a operației, descărcări bruște care determină apariția șocurilor sau vibrațiilor care se transmit utilajului și instalațiilor conexe.

Cele mai utilizate mașini pentru prelucări prin deformare plastică sunt presele mecanice, care constituie și cea mai numeroasă grupă de prese, pe care se pot executa cele mai multe dintre operațiile de presare la rece. În funcție de mecanismul prin intermediul căruia se realizează mișcarea de lucru acestea sunt de mai multe tipuri: prese cu manivela, prese cu șurub, prese cu genunchi și prese cu pană.

Gama cea mai largă de posibilități o oferă presele mecanice cu manivelă care au un domeniu larg de utilizare datorită tipodimensiunilor în care se execută și a numeroaselor posibilități de reglare a unor parametri funcționali care influențează direct executarea anumitor operații.

Presele cu excentric reprezintă un caz particular al preselor cu manivelă frecvent utilizate, iar o astfel de presă a făcut și studiul investigației experimentale din capitolele 3 și 5.

Presa este pusă în mișcare de un motor electric, iar prin intermediul transmisiei prin curele 2 este antrenat volantul 1 montat pe arborele principal cu excentric de la care mișcarea este transmisă mecanismului bielă-manivelă 3 care va antrena berbecul 6, în care este fixat poansonul 7 (Fig.1)

Poansonul, antrenat prin intermediul berbecului într-o mișcare de translație pe verticală, va acționa asupra semifabricatului amplasat pe matrița 8.

Forțele dezvoltate în timpul procesului de tăiere sunt relativ mari și pot induce efecte perturbatoare atât în mecanismul preseii cât și în volantul a cărui energie cinetică este transformată în lucru mecanic de tăiere.

Plecând de la determinarea turației volantului, a forței de tăiere și a lungimii cursei de tăiere și analizând mecanismul cinematic, se observă existența unor perturbații inerțiale în toată structura preseii.

Forțele de inerție care apar în timpul desfășurării operației devin forțe perturbatoare ale căror niveluri depind în mare măsură de nivelurile de accelerații și pot atinge vârfuri de magnitudini foarte înalte în fazele de terminare a operației cum ar fi faza de rupere bruscă la ștanțarea unei piese.

Deasemenea, un element important care trebuie luat în considerare este motorul electric care livrează energie unui element acumulator (volantul), energie care este cedată brusc în faza de realizare a operației, când se produce schimbarea bruscă a parametrilor cinematici (viteze și accelerații).

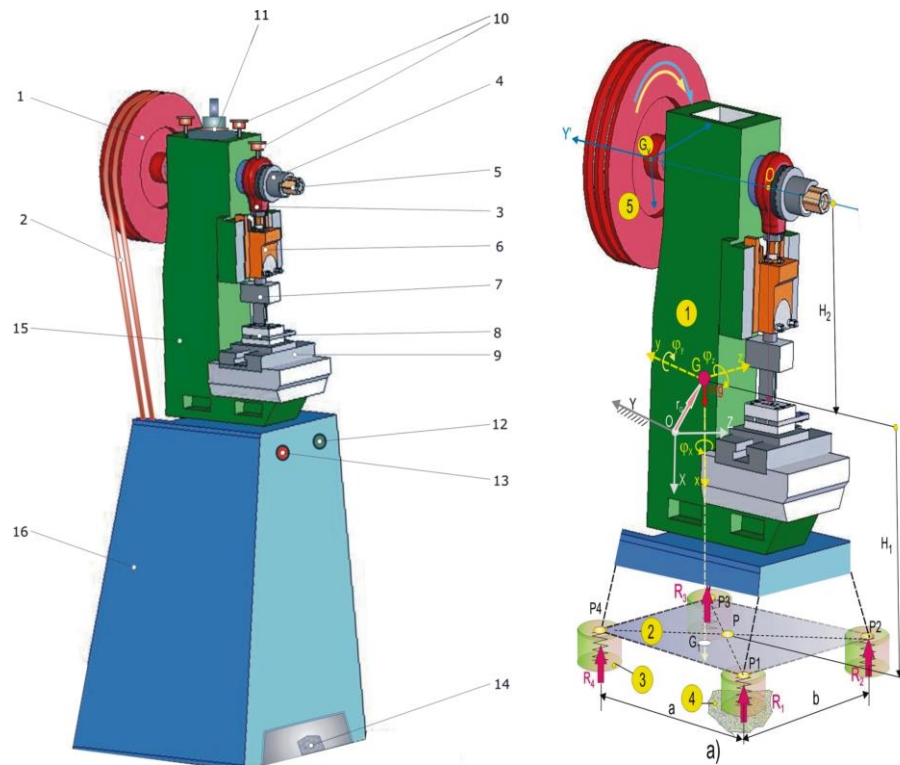


Fig.1

Astfel, prin realizarea unui model dinamic complex al ansamblului preseii cu excentric, sprijinit pe elemente elastice va fi posibilă simularea diverselor soluții de izolare, în vederea alegerii celui mai bun sistem de izolare antivibratorie, în scopul reducerii transmisibilității la locul de amplasare al mașinii.

Lucrarea este structurată în 6 capitole care cuprind studii teoretice și experimentale care pun în evidență fenomenele perturbatoare care apar în structura preselor mecanice în timpul proceselor de prelucrare a pieselor, cu scopul de a găsi soluții optime de izolare care să elimine sau să minimalizeze efectele nedorite create de acestea.

În **capitolul 1** s-a făcut o descriere generală a fenomenelor care însoțesc procesul de deformare la rece a semifabricatelor privind modificările care au loc la nivelul rețelelor atomice ale monocristalelor metalelor. Tot în acest capitol s-au ilustrat diagramele forțelor tehnologice exemplificate pentru operațiile de ștanțare, ambutisare și extrudare evidențiind caracterul impulsiv al acestora.

**Capitolul 2** prezintă principalele tipuri de utilaje care funcționează cu forțe tehnologice de tip impulsiv prin ilustrarea structurală a acestora și prin definirea forțelor perturbatoare care apar în timpul proceselor de prelucrare pe aceste mașini.

**Capitolul 3** cuprinde simularea numerică a perturbațiilor la utilaje tehnologice, reliefând, prin experimentarea pe o presă cu excentric, efectele perturbatoare inerțiale care apar în structura preseii. Deasemenea, tot în acest capitol, se face un studiu al mișcării vibratorii al structurii aceleiași preseii cu excentric în cazul în care aceasta este izolată prin elemente elastice de sprijin.



**Capitolul 4** prezintă metode, soluții și echipamente de atenuare a vibrațiilor făcându-se o analiză a principalelor tipuri de izolatori în funcție de caracteristicile pe care aceștia le prezintă și de frecvența proprie pe care trebuie să o asigure. În același timp sunt prezentate soluții tehnice optime pentru izolarea antivibratorie a preșelor mecanice.

**Capitolul 5** conține determinările experimentale efectuate pe două prese cu excentric pe se care realizează operații de ștanțare și ambutisare.

**Capitolul 6** este dedicat concluziilor și contribuțiilor originale.

**Anexele** lucrării cuprind: -desenele părților componente ale presei cu excentric pe care s-au efectuat determinările experimentale, -desenul de ansamblu al presei și principalele subansambluri realizate în Solid Works, -momentele de inerție și coordonatele centrului de masă ale principalelor componente, -tipuri de izolatori frecvent utilizați la atenuarea vibrațiilor produse de preșele mecanice, -proceul de realizare a unui amortizor prezentat ca soluție tehnică pentru o presă cu șurub.

# Capitolul 1

## ASPECTE PRIVIND FORŢELE TEHNOLOGICE IMPULSIVE

### 1.1. Introducere în problematica tezei

Industria modernă utilizează din ce în ce mai mult tehnologii de fabricație cu faze tehnologice reduse ca număr, în sensul că piesa care intră în componența unui produs, să fie adusă în fază finită din câteva operații. Acesta constituie un factor determinant în mărirea productivității și implicit în reducerea prețului de cost al produsului, dacă amintim aici numai industriile bunurilor de larg consum și mai ales ale automobilelor, cu serii de fabricații de ordinul milioanele de unități, unde aceste tehnologii au adus prețurile de vânzare la niveluri accesibile maselor cu venituri modeste.

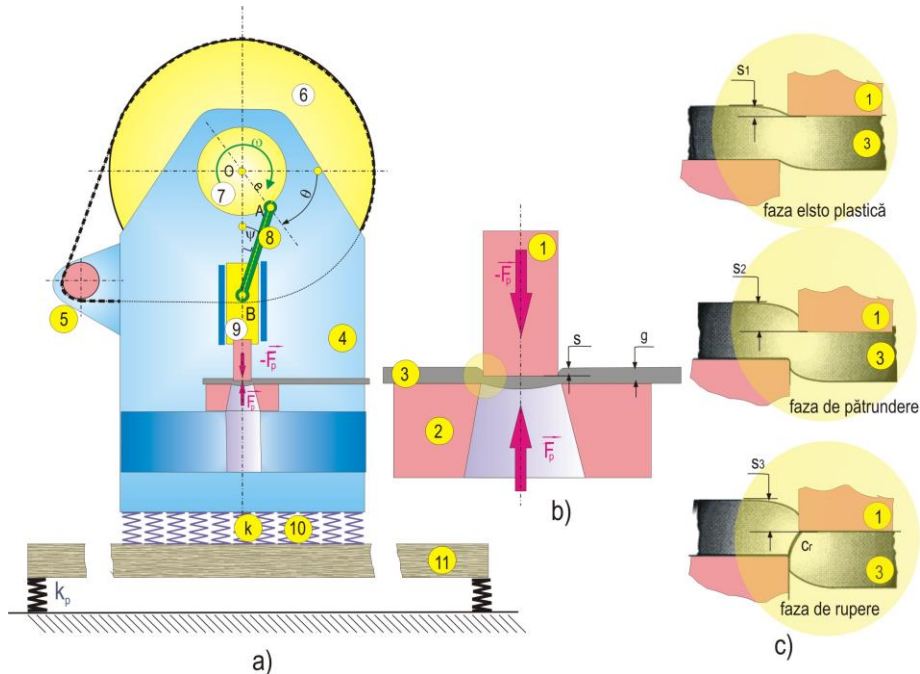
Tehnologiile principale utilizate se bazează pe operații de perforare, decupare, extruziune, ambutisare, matrițare, forjare în matrițe, placare prin explozie, injectare etc. Realizarea acestor operații se bazează pe utilaje ce trebuie să dezvolte forțe tehnologice de niveluri ridicate ajungându-se, pentru unele operații, la sarcini de mii de tone. Din acest motiv, sunt proiectate utilaje de rigiditate mare, care sub acțiunea acestor sarcini, să nu producă deformații locale în zonele tehnologice, care pot compromite operația sau chiar periclita integritatea structurală a utilajului.

De multe ori fluxul tehnologic impune amplasarea utilajului la unul din etajele clădirii, cea ce creează probleme legate de izolarea elastică a utilajului față de planșeul de rezistență al încăperii, acesta fiind, la rândul său elastic. De foarte multe ori apar crăpături pe planșeul din beton armat dacă nu se ține seama, la lucrările de izolare, de acțiunea dinamică a forțelor perturbatoare care se dezvoltă în timpul ciclului tehnologic.

### 1.2. Forța de tăiere înregistrată pentru o operație de ștanțare

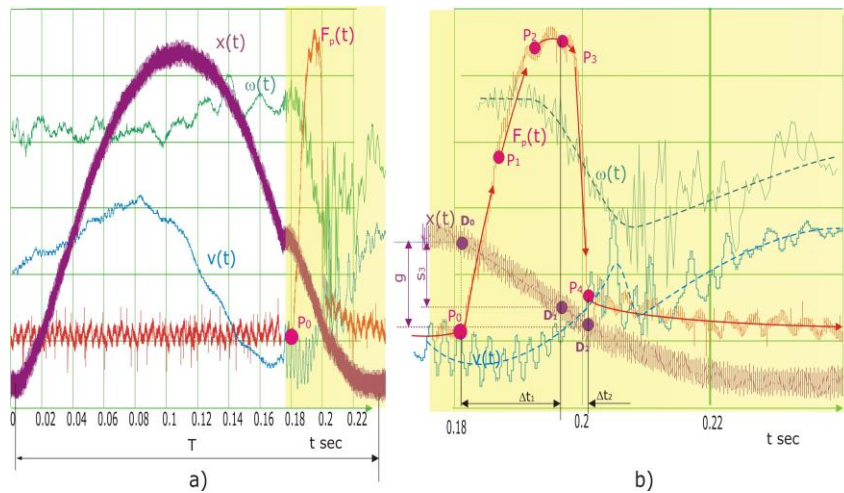
Astfel, pentru o operație de ștanțare, larg folosită în industrie, utilizând o presă cu excentric (Fig.1.1), forța de tăiere înregistrată experimental are forma impulsivă din Fig.1 2.

Operația de ștanțare cuprinde trei faze (Fig.1.1c): o primă fază elasto plastică cu o creștere bruscă a forței de presare  $F_p(t)$  (Fig.1.2a,b), pe porțiunile,  $P_0P_1$  elastică și  $P_1P_2$  plastică; o a doua fază de pătrundere, (Fig.1.1c), unde deformația este plastică (porțiunea  $P_2P_3$  a diagramei forței  $F_p(t)$ ), prin ecruisarea materialului semifabricatului și o ultimă fază, de rupere bruscă a materialului, deja complet ecruisat în zona de tăiere, (Fig.1.1c), forța scăzând brusc pe porțiunea  $P_2P_3$ , în  $P_3$  ea ajungând la o valoare necesară eliminării semifabricatului din matrița 2.



**Fig.1.1** -Ilustrarea procesului de ștanțare pe o presă cu excentric

După cum se observă, procesul de presare la rece este un proces profund neliniar datorită deformațiilor plastice ireversibile la nivelul rețelei cristaline a materialului. Deformarea se produce prin acumularea unei energii potențiale în rețea a cărei cantitate depinde de natura materialului și de temperatura procesului.



**Fig.1.2** -Diagramele forței de decupare  $F_p(t)$ , a deplasării poansonului  $x(t)$  și a legii vitezei mișcării vibratorii  $v(t)$  a unui punct de pe batiul presei.

- a) înregistrare pe o perioadă  $T$  a ciclului mișcării
- b) zoom în intervalul de contact poanson 1-semifabricat 3.

### 1.3. Fenomene care însoțesc deformarea plastică la rece

Valoarea tensiunilor din interiorul unui corp aflat sub acțiunea forțelor exterioare și în stare de echilibru diferă de la un element la altul și este funcție de coordonatele elementului material considerat. Pentru stabilirea repartiției tensiunilor în corpul considerat, trebuie cunoscute ecuațiile diferențiale de echilibru într-unul din sistemele de coordonate cunoscute (cartezian, cilindric, sferic); acestea se referă la starea de tensiune a unui volum elementar de material ales arbitrar. Fiecare tip de ecuații diferențiale se aplică pentru determinarea tensiunilor la anumite forme de piese și la anumite operații de presare la rece.

La presarea volumică, de exemplu, tensiunile se determină cu ajutorul ecuațiilor diferențiale de echilibru în coordonate carteziane stabilite pentru starea spațială de solicitare [38]

$$\begin{aligned}\frac{\partial \sigma_x}{\partial x} + \frac{\partial \tau_{xy}}{\partial y} + \frac{\partial \tau_{xz}}{\partial z} &= 0 \\ \frac{\partial \tau_{xy}}{\partial x} + \frac{\partial \sigma_y}{\partial y} + \frac{\partial \tau_{yz}}{\partial z} &= 0 \\ \frac{\partial \tau_{zx}}{\partial x} + \frac{\partial \sigma_{zy}}{\partial y} + \frac{\partial \sigma_z}{\partial z} &= 0\end{aligned}$$

Sistemul fiind static nedeterminat, format din trei ecuații cu șase necunoscute, pentru determinarea tensiunilor care acționează pe suprafața de contact, alte trei ecuații necesare rezolvării sistemului se pot obține din condițiile geometrice și fizice pe care le îndeplinesc corpurile supuse deformării plastice la rece.

Deosebit de importantă este determinarea condițiilor în care începe deformarea plastică a materialului și distrugerea acestuia, începutul plasticității și începutul distrugerii materialului reprezentând două stări limită ale acestuia. Un interes deosebit pentru studiul procesului de presare îl prezintă cunoașterea condițiilor în care va decurge deformarea plastică a materialului și rezistența pe care acesta o va opune deformațiilor.

Ca urmare a cercetărilor experimentale a fost posibilă stabilirea anumitor legi referitoare la deformarea plastică a metalelor și aliajelor:

- legea prezenței deformațiilor elastice în procesul deformării plastice
- legea constanței volumului materialului piesei
- legea minimei rezistențe la deformare a materialului piesei
- legea echilibrării tensiunilor suplimentare remanente
- legea similitudinii

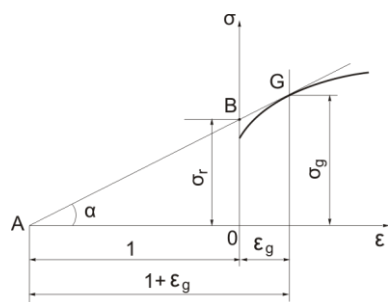
Modificarea rețelei atomice a monocristalului la deformarea plastică se produce sub două aspecte: de alunecare și de melaj. Alunecarea se produce prin deplasarea relativă între straturile subțiri, după plane cristalografice și direcții determinate, acestea fiind plane cu densități atomice mari. Planele sunt favorizate de direcția de acțiune a forței exterioare care produce deformația.

Alunecările intercrystaline sunt limitate și ele se blochează progresiv la anumite valori intervenind procesul de ecrusare care duce la creșterea rezistenței opusă deplasării straturilor.

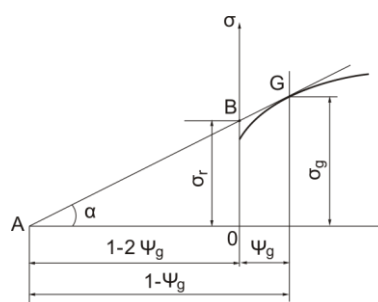
Melajul apare la volume policristaline unde deformarea monocristalului este influențată de deformarea cristalelor învecinate

În timpul procesului de deformare plastică la rece, ca urmare a blocării mobilității dislocațiilor, blocare care nu mai permite crearea de noi dislocații, se produce ecruisarea metalelor și aliajelor.

Curbele ecruisării  $\sigma = f(\varepsilon)$  și  $\sigma = f(\psi)$  se pot construi experimental și se trasează pe baza valorilor cunoscute ale alungirii relative  $\varepsilon_r$  sau a găturii relative  $\psi_g$  corespunzătoare apariției găturii, adică atunci când forța de tracțiune este maximă [40].



**Fig.1.3a**  $\sigma = f(\varepsilon)$



**Fig.1.3b**  $\sigma = f(\psi)$

În urma cercetărilor experimentale, s-a arătat că înainte și după punctul G, curba reală a ecruisării se găsește sub dreapta BG. Intensitatea ecruisării este mai mare la începutul deformării plastice la rece și descrește pe măsură ce alungirea  $\varepsilon$  și gătura  $\psi$  cresc.

#### 1.4. Operații de prelucrare prin deformare la rece

Presarea la rece cuprinde operațiile de **tăiere** caracterizate prin separarea parțială sau totală, prin forfecare, a unei părți a semifabricatului de cealaltă parte și operațiile de **matrițare** prin care se modifică doar forma și dimensiunile materialului, prin deformarea plastică a acestuia, fără ca să se producă o divizare a semifabricatului.

Tăierea se poate realiza la foarfeci (debitare) sau pe prese, cu ștanțe (debitare, decupare, perforare, crestare).

Matrițarea se realizează cu modificarea formei semifabricatului, fără redistribuirea voită a materialului (îndoire, ambutisare, fasonare) sau cu modificarea formei semifabricatului și cu redistribuirea voită a materialului (lățire, refulare, calibrare, stampare, extrudare)

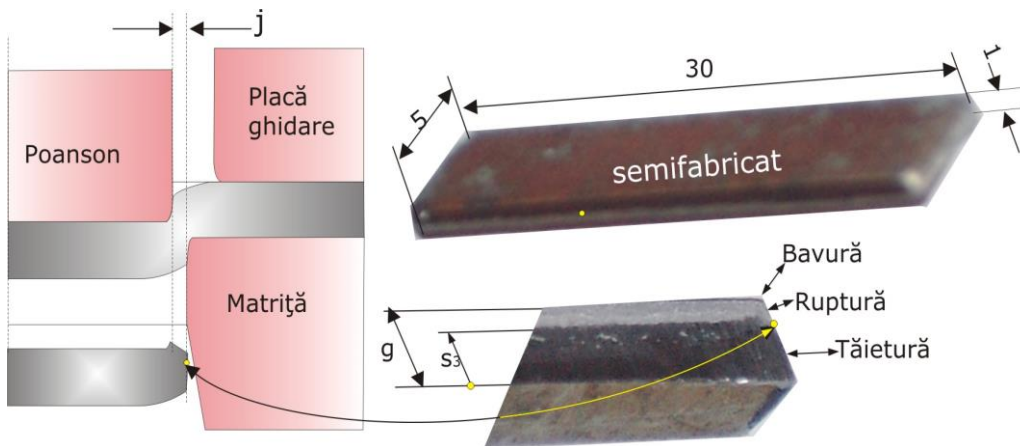
În practică, pentru creșterea productivității și preciziei pieselor obținute, sunt frecvent întâlnite operațiile combinate de presare la rece, de ștanțare și matrițare, iar după modul de asociere fiecare dintre acestea poate fi simultană, succesivă sau simultan-succesivă. Exemple de astfel de operații combinate sunt: decupare-perforare, ștanțare-matrițare, decupare-ambutisare, rețezare-îndoire etc.

Pesarea la rece se poate aplica și pentru asamblarea unor piese obținute prin diferite procedee de prelucrare mecanică, asamblare care se poate realiza prin nituire, capsare sau lățire, fălțuire, sudare la rece etc.

### 1.4.1. Procesul de decupare a unei eclise

Cele două modificări ale structurii cristaline, de alunecare și de melaj, produc efectul de ecruisaj care duce la modificări ale proprietăților fizico mecanice ale materialelor; crește limita de elasticitate, rezistența la rupere și duritatea, iar alungirea, reziliența și gătuirea scad valoric.

Ca rezultat al procesului de decupare muchile transversale ale semifabricatului arată ca în Fig.1.4 unde se disting cele două suprafețe caracteristice, de tăiere plastică, cu o casură netedă, și de rupere bruscă, cu o casură rugoasă, care se termină cu o bavură.



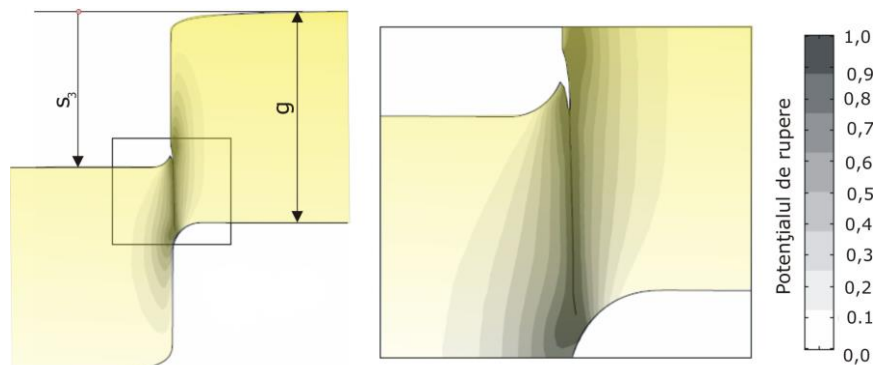
**Fig.1.4** -Detalierea procesului de decupare a unei eclise de 1x30x5 mm

Simularea numerică a celor trei faze este deosebit de dificilă și de aceea încă se caută modele de aproximare cât mai aproape de realitate. Astfel, teza *Numerical modelling of ductile fracture in blanking* (autor Dirk Brokken, Technische Universiteit Eindhoven, 1999) [9] se concentrează asupra modelării fazei de rupere, distribuția potențialului de rupere în apropierea fazei arătând ca în Fig.1.4.

Raportul dintre deplasarea relativă  $s_3$  a poasonului față de matriță și grosimea  $g$  a semifabricatului poate caracteriza ductilitatea materialului ștanțat.

$$\psi_3 = \frac{s_3}{g} \quad (1.1)$$

Raportul  $\psi_3$ , care în cazul epruvetelor caracterizează gătuirea, este influențat de jocul  $j$  (Fig.1.4) dintre poanson și matriță, rolul lui în procesul de ștanțare fiind pe larg analizat în teza lui Dirk Brokken.



**Fig.1.5** – Ilustrarea prin simulare numerică [9] a fazei de rupere în procesul de ștanțare

Acest raport se poate determina pe cale experimentală din diagramele forței de decupare  $F_p(t)$  și de deplasare relativă  $x(t)$  a poansonului față de matrită, înregistrate în Fig.1.2b. După cum se observă legea  $x(t)$  pe porțiunea procesului de perforare  $D_0 \rightarrow D_1 \rightarrow D_2$  este lineară și durează  $\Delta t_1$  pe porțiunea  $D_0 \rightarrow D_1$  și  $\Delta t_2$  pe porțiunea  $D_1 \rightarrow D_2$ .

În aceste condiții geometrice se poate determina legea de pătrundere a poansonului

$$s(t) = g \frac{\Delta t}{\Delta t_1 + \Delta t_2} \quad (1.2)$$

care, pentru pătrunderea până în faza de rupere, devine

$$s_3 = g \frac{\Delta t_1}{\Delta t_1 + \Delta t_2} \quad (1.3)$$

Din punct de vedere al solicitării structurii utilajului și al diminuării efectelor dinamice produse de ștanțare, principalul scop al acestei teze, este de a determina legea de variație a forței de ștanțare  $F_p(t)$ .

În acest sens s-au făcut, și se mai fac încă, numeroase studii și cercetări. Problema este deosebit de dificilă deoarece implică modelarea în domeniul plastic cu includerea efectelor de ecruisare și de propagare a fisurilor. De asemenea, factori importanți de luat în seamă sunt temperatura degajată în zona de rupere precum și viteza de deformare, care influențează puternic procesul de ecruisare. Există anumite viteze critice pentru care câmpul de curgere este extins peste limita normală, efect pe care se bazează procesul de extruziune la rece.

#### 1.4.2. Evoluția forței de decupare de-a lungul fazelor de decupare

O aproximare a forței de ștanțare  $F_p(s)$  ca funcție de pătrunderea  $s$  a poansonului poate fi de forma neliniară,

$$F_p(s) = C_r \cdot \frac{1}{1 - \frac{s_3}{g}} \left( 1 - \frac{s}{g} \right) \left( \frac{s}{s_3} \right)^{\frac{s_3}{g - s_3}} \quad (1.4)$$

unde constanta  $C_r$  se găsește în literatura de specialitate [56] sub forma medie

$$C_r = \frac{\sigma_r}{2} L \cdot g \quad (1.5)$$

$\sigma_r$  fiind limita de rupere a materialului semifabricatului.

Desigur, această formă nu ține seama de efectele amintite mai sus, viteza de deformare și temperatură. Determinarea constantelor  $C_r$  și a deplasării  $s_3$  se poate face prelucrând diagrama experimentală a semnalului de forță  $F_p(s)$ . Se definește eroarea  $e_i$  dintre valorile forței  $F_p(s_i)$  și forma analitică (1.4), pentru  $n_p$  valori discrete  $s_i$  ale pătrunderii  $s$

$$F_p(s_i) - C_r \cdot \frac{1}{1 - \frac{s_3}{g}} \left(1 - \frac{s_i}{g}\right) \left(\frac{s_i}{s_3}\right)^{\frac{s_3}{g - s_3}} = e_i \quad (1.6)$$

Condiția de minimalizare a sumei

$$\sum_{i=1}^{n_p} e_i^2 \Rightarrow \min \quad (1.7)$$

impune ca parametrii căutați  $C_r$  și  $s_3$  să fie determinați prin condițiile

$$\sum_{i=1}^{n_p} e_i \frac{\partial e_i}{\partial C_r} = 0; \quad \sum_{i=1}^{n_p} e_i \frac{\partial e_i}{\partial s_3} = 0 \quad (1.8)$$

rezultând

$$C_r = \frac{\sum_{i=1}^{n_p} F_p(s_i) \frac{1}{1 - \frac{s_3}{g}} \left(1 - \frac{s_i}{g}\right) \left(\frac{s_i}{s_3}\right)^{\frac{s_3}{g - s_3}}}{\left[ \sum_{i=1}^{n_p} \frac{1}{1 - \frac{s_3}{g}} \left(1 - \frac{s_i}{g}\right) \left(\frac{s_i}{s_3}\right)^{\frac{s_3}{g - s_3}} \right]^2} \quad (1.9)$$

și

$$\sum_{i=1}^{n_p} \left( F_p(s_i) - C_r \cdot \frac{1}{1 - \frac{s_3}{g}} \left(1 - \frac{s_i}{g}\right) \left(\frac{s_i}{s_3}\right)^{\frac{s_3}{g - s_3}} \right) a_i = 0 \quad (1.10)$$

unde

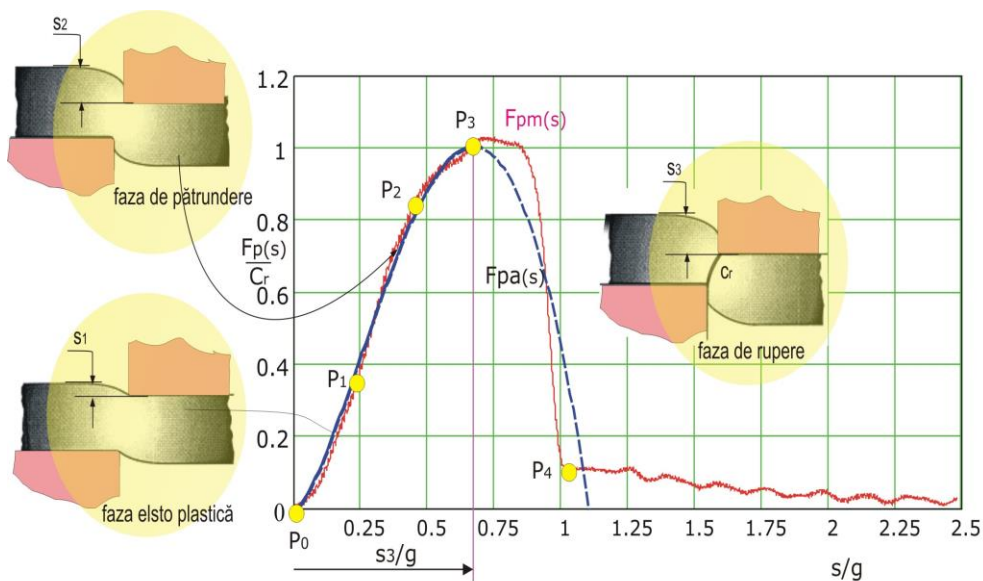
$$a_i = \frac{1}{g} \frac{1}{\left(1 - \frac{s_3}{g}\right)} \left(1 - \frac{s_i}{g}\right) \left(\frac{s_i}{s_3}\right)^{\frac{s_3}{g - s_3}} + \frac{1}{1 - \frac{s_3}{g}} \left(1 - \frac{s_i}{g}\right) \left(\frac{s_i}{s_3}\right)^{\frac{s_3}{g - s_3}} \left[ \frac{1}{g - s_3} + \frac{s_3}{(g - s_3)^2} \right] \ln \left(\frac{s_i}{s_3}\right) - \frac{1}{g - s_3} \quad (1.11)$$

Relațiile (1.9) → (1.11) formează o ecuație algebrică, cu necunoscuta  $s_3$ , deosebit de complexă care se rezolvă pe cale numerică.

Pentru obținerea unei relații analitice a forței de perforare este bine ca diagrama experimentală a forței de pătrundere să fie una mediată. Astfel, în Fig.1.5 sunt prezentate diagramele forței de pătrundere  $F_{pm}(s)$ , mediată, și  $F_{pa}(s)$  aproximată analitic prin relația (1.4).



Se poate observa că forma analitică (1.4) poate aproxima variația forței de pătrundere numai pe porțiunea  $P_0$ - $P_1$ - $P_2$ - $P_3$ , corespunzătoare fazelor elasto-plastică și de pătrundere, forțele  $F_{pm}(s)$ , și  $F_{pa}(s)$  prezentând o suprapunere destul de exactă. Pe porțiunea de rupere  $P_3$  - $P_4$  și în continuare, de evacuare a semifabricatului din matriță, abaterile dintre curbele corespunzătoare forme analitice,  $F_{pa}(s)$ , și cea reală,  $F_{pm}(s)$ , determinată experimental, sunt mari și neadmisibile, și de aceea, pe această porțiune, trebuie căutate alte forme analitice de aproximare



**Fig.1.6** -Evoluția forței de decupare de-a lungul fazelor de decupare:

$F_{pm}(s)$  mediată pe un număr de 14 decupări

$F_{pa}(s)$  aproximată prin forma analitică (1.4)

Pentru calcul dinamic al mecanismului de acționare al poansonului este mai bine să se utilizeze forma discretă a diagramei forței mediate  $F_{pm}(s)$ , în prealabil aceasta fiind înregistrată experimental utilizând una din tehnicile prezentate în capitolul 5.

### 1.4.3. Forța tehnologică în procesul de ambutisare

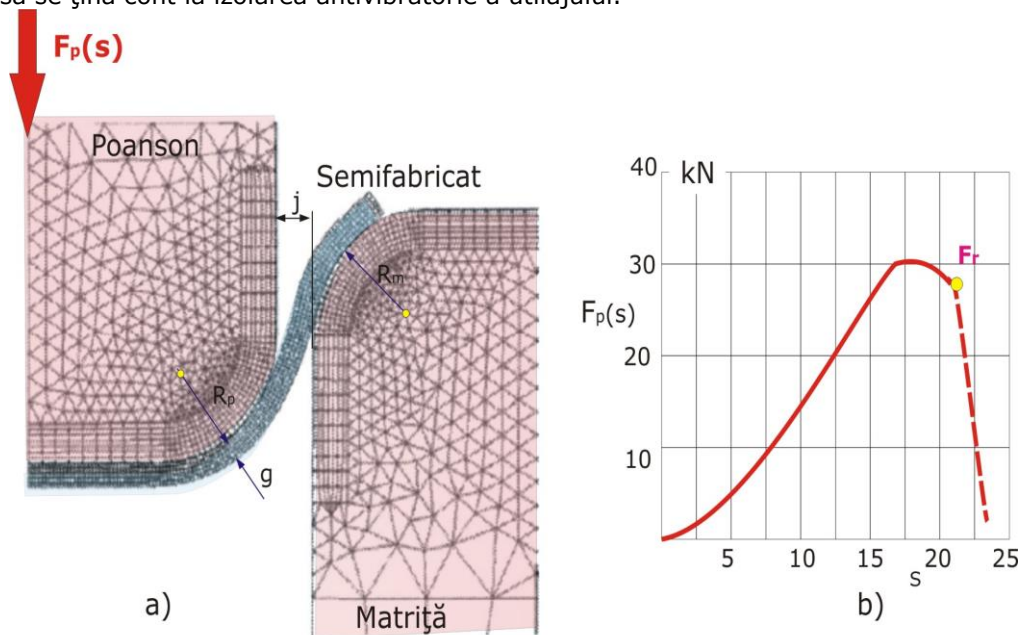
Aceeași problemă de modelare a forței tehnologice se pune și în cazul operațiilor de ambutisare pentru care s-au elaborat numeroase modele.

Poansonul și matrița, deși sunt constituite din materiale de înaltă rezistență, pot să se fisureze, datorită numărului mare de cicluri de încărcare, cum este cazul la producția de serie mare. Un asemenea studiu este realizat de Y. Park, J. S. Colton în lucrarea , *Failure Analysis of Rapid Prototyped Tooling in Sheet Metal Forming—Cylindrical Cup Drawing* Journal of Manufacturing Science and Engineering FEBRUARY 2005, Vol. 126-137 127.

Modelarea procesului de ambutisare a unei piese cilindrice este realizată prin elemente finite, pentru fiecare dintre cele trei corpuri deformabile în contact realizându-se mesh-uri cu densități mari în zonele de contact [50] (Fig.1.7a)

Variația forței de ambutisare funcție de cursa  $s$  a poansonului (Fig.1.7b) este crescătoare până la  $s \approx 16,5$  mm cu un vârf la această valoare, apoi prezintă o ușoară scădere până la  $s \approx 21$  mm la care apare o fisurare a matriței, la o valoare a forței  $F_r \approx 28$  kN, în continuare, forța de ambutisare scăzând brusc.

Se creează, astfel, un efect aproximativ de discontinuitate care se resimte în dinamica mecanismului de acționare, favorizând apariția unor forțe inerțiale impulsive de nivele mari, forțe ce produc perturbații de nivele mari, de care trebuie să se țină cont la izolarea antivibratorie a utilajului.



**Fig.1.7** -Modelarea prin EF a unui proces de ambutisare

a) ilustrarea mesh-ului pentru semifabricat, poanson și matriță

b) variația forței de ambutisare  $F_p(s)$  funcție de cursa  $s$  a poansonului

Și la celelalte operații de presare, îndoire, imprimare, formare, forjare, extruziune etc, apar variații bruște ale forțelor tehnologice, care produc, de asemenea, perturbații dinamice asupra utilajului tehnologic.

#### 1.4.4. Caracteristicile tensiune-deformație ale unui model reologic

Semifabricatul supus procesului tehnologic suferă deformații plastice mari. Pentru ca într-un punct al corpului deformabil să aibă loc o curgere plastică trebuie ca starea de tensiune, dată prin tensiunile normale principale  $\sigma_1$ ,  $\sigma_2$  și  $\sigma_3$ , să îndeplinească criteriul Huber și von Mises

$$(\sigma_1 - \sigma_2)^2 + (\sigma_2 - \sigma_3)^2 + (\sigma_3 - \sigma_1)^2 = 2\sigma_c^2 \quad (1.13)$$

unde  $\bar{\sigma}$  este tensiunea de curgere și criteriul Tresca,

$$2\tau_{max} = \sigma_{max} - \sigma_{min} = \sigma_c \quad (1.14)$$

Între tensiunea de curgere  $\bar{\sigma}$  și deformația de curgere

$$\varepsilon_c = \frac{\sqrt{2}}{3} \sqrt{(\varepsilon_1 - \varepsilon_2)^2 + (\varepsilon_2 - \varepsilon_3)^2 + (\varepsilon_3 - \varepsilon_1)^2} \quad (1.15)$$

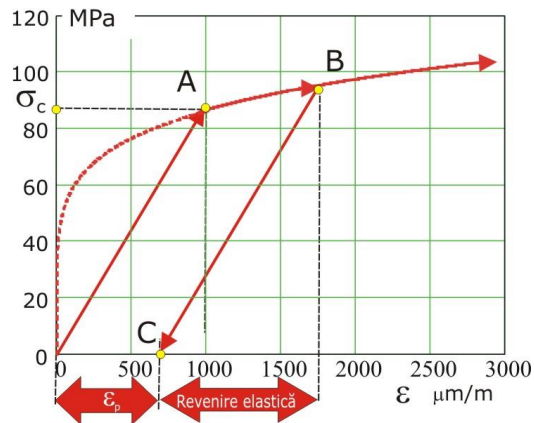
există o relație neliniară care, în literatura de specialitate, se găsește de forma

$$\sigma = k\varepsilon^n \quad (1.16)$$

$k$  fiind un coeficient de rezistență iar  $n$  un exponent de duritate. Valorile celor doi coeficienți pot fi determinate pe cale experimentală sau pe cale analitică alegându-se un anumit model reologic.

Pentru un semifabricat din aliaj de aluminiu supus la extrudare, în lucrarea [5] Numerical and Experimental Investigation on the Tube Forming in the Radial-Forward Extrusion, Beong-Du Ko, Dong-Hwan Jang, Ho-Joon Choi and Beong-Bok Hwang, *International Journal of Precision Engineering and Manufacturing Vol.6, No.2, April 2005*) cei doi coeficienți au valorile  $k=280.3$  MPa și  $n=0,17$ .

După aceste date am reprezentat, în Fig.1.8, diagrama caracteristică a aliajului de aluminiu.



**Fig.1.8** -Caracteristica elasto-plastică a unui aliaj de aluminiu

OA-ramura elastică liniară , AB- ramura plastică de curgere, BC-ramura liniară de revenire elastică, cu deformație remanentă  $\varepsilon_p$

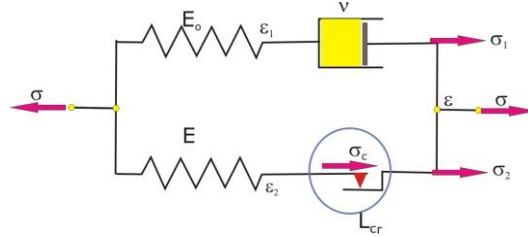
Pe porțiunea OA caracteristica este liniară respectând legea lui Hooke

$$\sigma = E\varepsilon \quad (1.17)$$

în punctul A atingându-se tensiunea de curgere  $\sigma_c$ , peste această valoare, deformația fiind plastică, caracteristica respectă legea (1.16) (porțiunea AB).

Din punctul B micșorând, progresiv sarcina prin micșorarea tensiunii  $\sigma$ , se ajunge la anularea acesteia în punctul C, porțiunea BC fiind liniară, deci cu revenire elastică, dar cu menținerea unei deformații permanente  $\varepsilon_p$  ceea ce denotă o deformare permanentă a rețelei cristaline.

Există un număr mare de modele reologice care sunt utilizate la calculul deformării unei piese, cum este cel dat în lucrarea [44] V.A. Lubarda, D.J. Benson, M.A. Meyers. *Strain-rate effects in rheological models of inelastic response*, International Journal of Plasticity 19 (2003) 1097–1118, model elaborat de Bardenhsgen (1997). Acesta este un model unidimensional paralel adaptabil pentru un model polimeric.



**Fig.1.9** -Model vâscoelastic elastoplastic pentru o solicitare uniaxială

Prima ramură, de sus înseriază un arc și un element vâscos, tensiunea  $\sigma_1$  preluată de această ramură va avea, pe de o parte, forma

$$\sigma_1 = E_0 \varepsilon_1 \quad (1.18)$$

unde  $E_0$  este modulul arcului echivalent, iar pe de altă parte,

$$\sigma_1 = v \left( \frac{d\varepsilon}{dt} - \frac{d\varepsilon_1}{dt} \right) \quad (1.19)$$

$\sigma_1$  fiind tensiunea de legătură a cuplajului vâscos de constantă  $v$

Pe ramura de jos se introduce o legătură de tip frecare uscată, înseriată cu un arc echivalent, de modul  $E$ , în ramură acționând tensiunea

$$\sigma_2 = E \varepsilon_2 \quad (1.20)$$

Tensiunea maximă ce apare în această ramură este cea de curgere  $\sigma_c$  căreia îi corespunde o deformăție de curgere

$$\varepsilon_c = \frac{\sigma_c = \sigma_c}{E} \quad (1.21)$$

Peste această valoare a deformăției  $\varepsilon$ ,  $\varepsilon > \varepsilon_c$  valoare tensiunii este  $\sigma_2 = \sigma_c$ . Din relațiile (1.17) și (1.18) se obține ecuația diferențială

$$\frac{d\varepsilon_1}{dt} + \frac{E_0}{v} \varepsilon_1 = \frac{d\varepsilon}{dt} \quad (1.22)$$

care pentru o viteză constantă de deformare

$$\frac{d\varepsilon}{dt} = v_\varepsilon = cst \quad (1.23)$$

admite soluția

$$\varepsilon_1 = v_\varepsilon \frac{v}{E_0} e^{-\frac{E_0}{v} t} \quad (1.24)$$

la care se înlocuiește, din (1.23),

$$t = \frac{\varepsilon}{v_\varepsilon} \quad (1.25)$$

Astfel, tensiunea  $\sigma_1$  din ramura superioară va rezulta, din (1.17), de forma

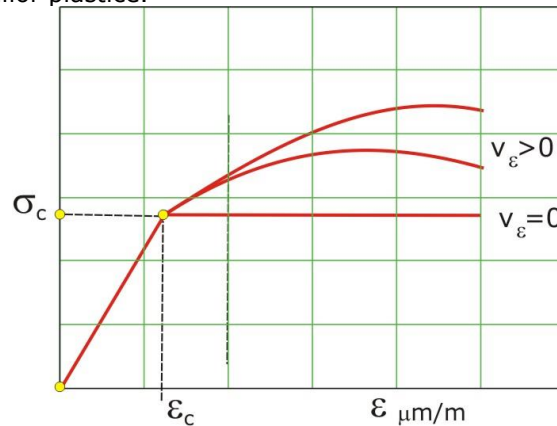
$$\sigma_1 = v v_\varepsilon \left( 1 - \frac{v}{E_0} e^{-v \cdot \frac{E_0}{v} \frac{\varepsilon}{v_\varepsilon}} \right) \quad (1.26)$$

În final, caracteristica tensiune-deformăție într-un punct al structurii deformate are forma

$$\sigma = \sigma_1 + \sigma_2 = E\varepsilon + vV_\varepsilon \left(1 - \frac{v}{E_0} e^{\frac{E_0}{v} \varepsilon}\right) \quad \text{pt. } \sigma = 0 \rightarrow \sigma_c \quad (1.27)$$

$$\sigma = \sigma_1 + \sigma_2 = E\varepsilon_c + vV_\varepsilon \left(1 - \frac{v}{E_0} e^{\frac{E_0}{v} \varepsilon}\right) \quad \text{pt. } \sigma \geq \sigma_r$$

Caracteristicile acestui model arată ca în Fig.1.10, pentru diverse viteze de curgere ale materialului. Aceste sunt implementate în structurile codurilor de EF dedicate deformațiilor plastice.

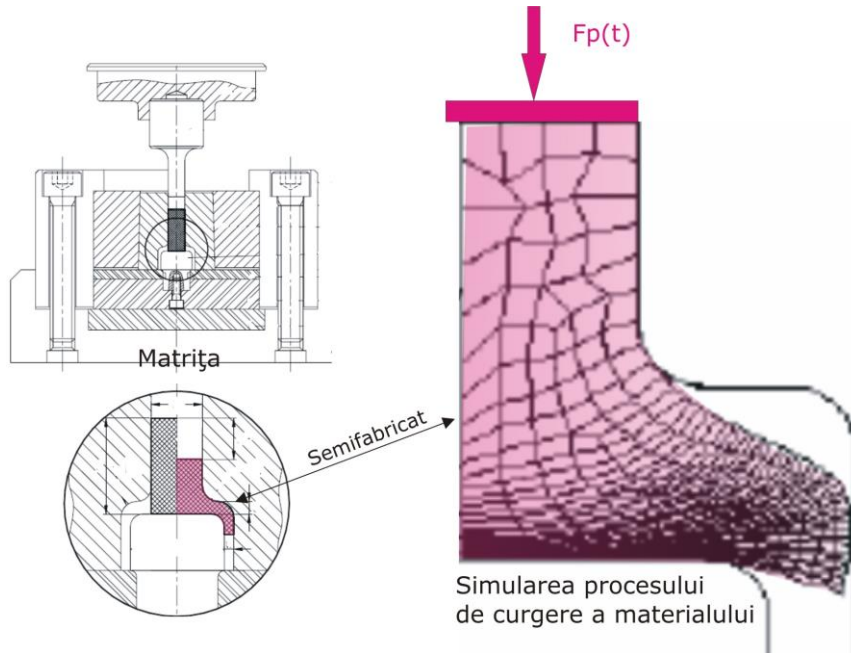


**Fig.1.10** -Caracteristicile tensiune-deformație ale modelului vâscoelastic elastoplastic pentru o solicitare uniaxială

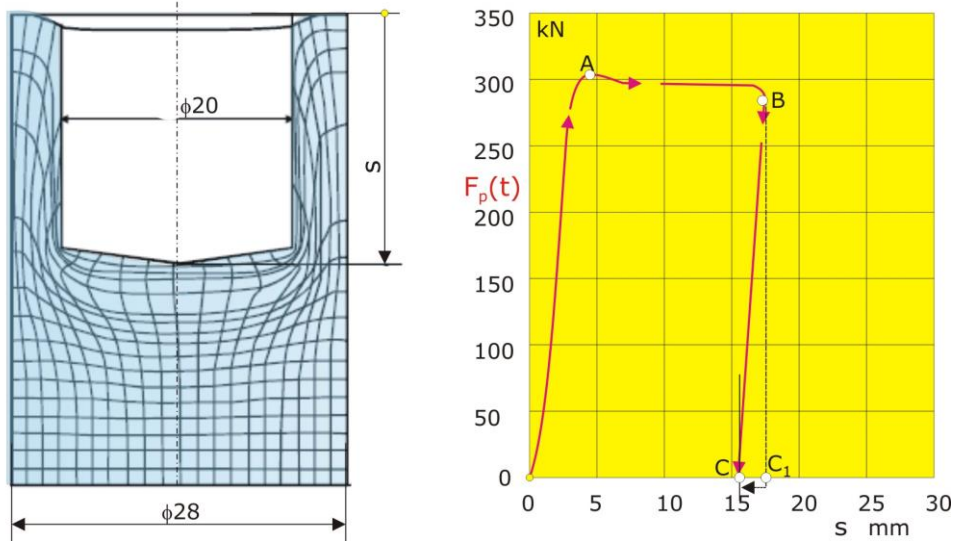
Astfel, în lucrarea [41] Forming in the Radial-Forward Extrusion, se face o analiză atât prin EF cât și experimental a unui proces de extruziune, pentru un bușon (Fig.1.11), pornind de la o pastilă cilindrică. Se poate observa procesul de curgere al materialului prin distorsiunile mesh-ului semifabricatului, prin simularea curgerii prin EF, același efect de curgere la extruziune fiind analizat și în lucrarea [60] *Impact Extrusion Processes Advanced Level*.

#### 1.4.5. Forța se extruziune în procesul extrudării

Este analizat procesul de realizare prin extruziune a unui tub. Și aici procesul de curgere este simulat prin EF, [60] prezentându-se și diagrama forței de extruziune  $F_p(s)$  funcția de cursa  $s$  a poansonului.



**Fig.1.11** -Ilustrarea simulării extrudării unui bușon



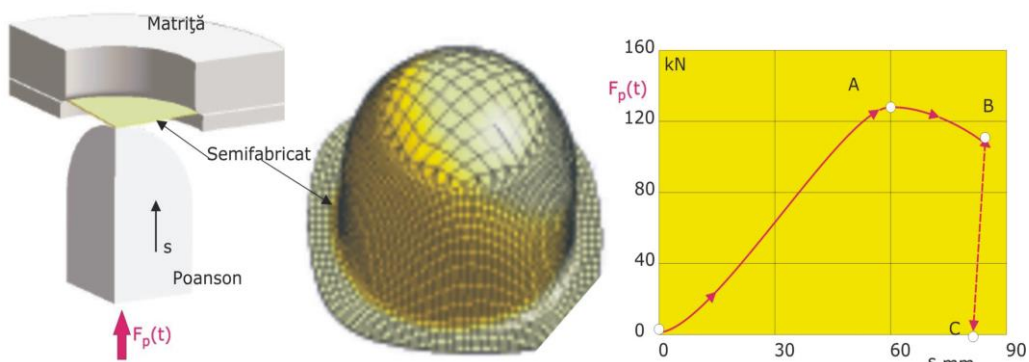
**Fig.1.12** -Ilustrarea simulării extrudării unei piese tubulare

Se observă o creștere bruscă a forței  $F_p(s)$  pe intervalul  $s=0$  la 4 mm (ramura OA) după care aceasta prezintă un palier pe întreaga cursă de  $s \approx 17$  mm a poansonului (ramura AB), urmată, în final, la sfârșit de cursă, la  $s \approx 17$  mm, de o scădere bruscă a forței (ramura BC). De asemenea se constată o retragere elastică a poansonului din  $C_1$  în C.

Existența palierului forței  $F_p(s)$  (ramura AB) se datorează procesului de curgere la pătrunderea poansonului în masa de metal a semifabricatului.

### 1.4.6. Forța de ambutisare la o ambutisare adâncă

Variații bruște apar și în cazul celorlalte procese de prelucrare la rece sau la cald. Astfel, la ambutisare adâncă, unde cursa poansonului este de lungime mare și de viteză mică, distribuția curgerii materialului în masa piesei finite este diferită, așa cum se observă din rețeaua (meshul) finală, (Fig.1.13), unde este ilustrat procesul de ambutisare al unei oale adânci.



**Fig.1.13** -Ilustrarea simulării ambutisării unei oale

Elementele rețelei de la fundul oalei sunt mult mai mari datorită procesului de întindere al materialului, iar pe marginile răsfrânte ale oalei, elementele fiind comprimate, acestea sunt mai reduse. Acest fapt face ca modelul reologic al materialului să fie tratat ca unul anizotrop, pentru care se apelează la criteriul de curgere specifice, cum este criteriul Hill, implementat în codul DEFORM-3D (Appendix H. Sheets Forming in DEFORM-3D).

Forța de ambutisare  $F_p(s)$  are o evoluție progresiv crescătoare în funcție de pătrunderea poansonului în matrită, cu un maxim în A, după care urmează o ușoară scădere până în B unde începe retragerea poansonului ramura forței coborând brusc după o dreaptă. Această coborâre liniară se datorează efectului de arcuire elastică a piesei ambutisate.

Concluzii:

Procesele de fabricație a pieselor prin deformare plastică, la rece sau la cald, dezvoltă forțe tehnologice de tip impulsiv, în majoritatea lor acționând ca forțe interioare pe ansamblul utilajului tehnologic. Aceste forțe sunt asigurate prin mecanismele utilajului, care asigură mișcarea poansonului față de matrită. Dinamica mișcărilor elementelor cinematice ale mecanismului sunt influențate de aceste forțe impulsive simțindu-se în forma, de asemenea impulsivă a torsorului forțelor de inerție, care sunt forțe perturbatoare ce acționează asupra sistemului dinamic utilaj-fundație.

Modelarea cât mai aproape de realitate a perturbațiilor inerțiale contribuie în mod esențial la optimizarea sistemului de izolare antivibratorie a utilajului, motiv pentru care s-a acordat o atenție deosebită acestui subcapitol.

## Capitolul 2

# DEFINIREA FORȚELOR PERTURBATOARE LA UTILAJE TEHNOLOGICE

### 2.1. Considerații generale

Procesele de prelucrare la rece și cald solicită forțe tehnologice de niveluri foarte ridicate ajungându-se, pentru unele operații, la sarcini de mii de tone. În majoritatea cazurilor sarcinile au, în faza terminală a operației, forme cu descărcarea bruscă a forței tehnologice, astfel că apar probleme de diminuare a efectelor dinamice ce se transmit utilajului și instalațiilor conexe.

Presele mecanice constituie cea mai numeroasă grupă de prese și, în același timp, cea mai utilizată, deoarece pe acest tip de mașini se pot executa cele mai multe dintre operațiile de presare la rece.

După tipul mecanismului cu care se execută mișcarea de lucru presele mecanice, sunt de mai multe tipuri: prese cu manivelă, prese cu genunchi, prese cu șurub și prese cu pană.

Cea mai largă gamă de posibilități o oferă presele mecanice cu manivelă, extinderea domeniului de utilizare a acestora motivându-se nu numai de gama tipodimensiunilor în care se execută ci și de posibilitățile largi de reglare a unor parametrii funcționali care influențează în mod direct executarea unor operații.

### 2.2. Utilaje tehnologice cu forțe impulsive

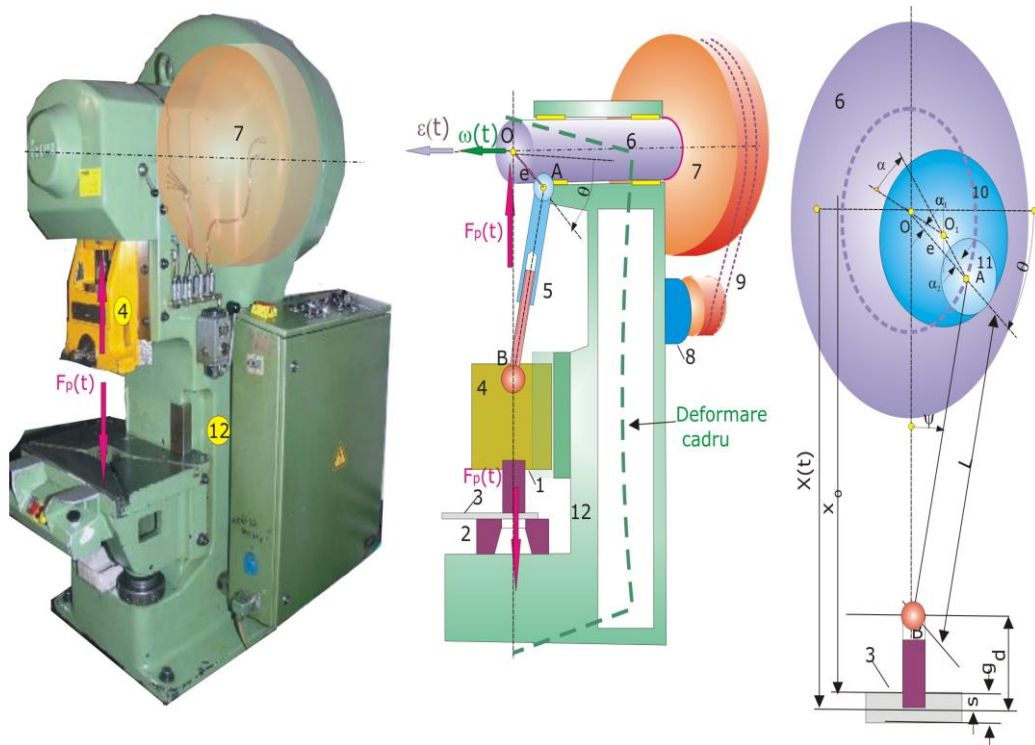
#### 2.2.1. Prese cu excentric

##### 2.2.1.1. Prese cu excentric, cu batiu cadru deschis

Un caz particular al preselor cu manivelă îl reprezintă presele cu excentric, utilizate pentru forțe de presare relativ mici, de  $1 \div 1,25 \cdot MN$ . În Fig.2.1 este ilustrată structural o presă cu excentric având un batiu cadru deschis. Această construcție permite accesul ușor la sistemul de reglare a lungimii cursei culisei 4. pe care este amplasat poansonul 1, matrița 2 fiind amplasată pe platoul inferior al batiului, platou cu posibilități de reglare pe verticală. Totodată, această construcție facilitează manipularea fără dificultate a semifabricatului.

Reglarea manivelei OA, de lungime  $e$ , a mecanismului bielă-manivelă se face prin intermediul mecanismului format din bucșa 10 deaxată cu excentricitatea  $OO_1$  (de mărime  $e_1$ ) față de axa ce trece prin O a arborelui principal 6. Pe bucșa 10 se află prins excentric (excentricitate  $O_1A$ , de mărime  $e_2$ ) butonul 11, de care este prinsă articulația plană a bielei 5, de lungime  $L$ , reglabilă.





**Fig.2.1**-Ilustrarea structurală a unei prese cu excentric, cu batiu cadru deschis

Prin poziționare relativă, cu unghiul  $\alpha$  a bucșei 10 față de arborele 6 se obține lungimea manivelei

$$|\overline{OA}| = e = e_1 \cos \alpha_1 + e_2 \cos \alpha_2 \quad (2.1)$$

unde, din condițiile geometrice

$$e_1 \sin \alpha_1 = e_2 \sin \alpha_2 \quad (2.2)$$

$$a = \alpha_1 + \alpha_2$$

rezultă

$$\alpha_1 = \arctg \left( \frac{tga}{\frac{e_1}{e_2} \frac{1}{\cos a} + 1} \right); \quad \alpha_2 = \arctg \left( \frac{tga}{\frac{e_2}{e_1} \frac{1}{\cos a} + 1} \right) \quad (2.3)$$

pentru  $\alpha=0$ , rezultând  $\alpha_1=\alpha_2=0$  ceea ce duce la  $|\overline{OA}| = e = e_1 + e_2$ .

Poziția  $x(t)$  a muchiei de tăiere a poansonului la momentul  $t$  este:

$$x(t) = e \sin \theta(t) + L \cos \psi(t) + b \quad (2.4)$$

$\theta(t)$  și  $\psi(t)$  fiind pozițiile unghiulare ale manivelei și respectiv ale bielei.

Din condiții geometrice se obține relația

$$e \cos \theta(t) = L \sin \psi(t) \quad (2.5)$$

rezultând din (4)

$$x(t) = e \sin \theta(t) + L \sqrt{1 - \left(\frac{e}{L} \cos \theta(t)\right)^2} + b \quad (2.6)$$

Presupunem că la o poziție  $x(t) = x_0$  poansonul are primul contact cu semifabricatul

$$x_0 = e \sin \theta_0 + L \cos \psi_0 + b \quad (2.7)$$

unde  $\theta_0$  și  $\psi_0$  sunt unghiurile de poziție corespunzătoare, care se determină din relațiile (4) și (5).

În aceste condiții legea de pătrundere a poansonului în semifabricat va fi:

$$s(t) = x(t) - x_0 = e(\sin \theta(t) - \sin \theta_0) + L(\cos \psi(t) - \cos \psi_0) \quad (2.8)$$

rezultând viteza de pătrundere

$$v_s(t) = \dot{\theta}(t)e \cos \theta(t) - \dot{\psi}(t)L \sin \psi(t) \quad (2.9)$$

unde  $\dot{\theta}(t) = \omega(t)$  este viteza unghiulară instantanee a arborelui principal iar

$$\dot{\psi}(t) = -\omega(t) \frac{e \sin \theta(t)}{L \cos \psi(t)} \quad (2.10)$$

se obține ca rezultat al derivării relației (5) în raport cu timpul.

Printr-o nouă derivare în raport cu timpul a relației (9) se obține accelerația de pătrundere

$$a_s(t) = \ddot{\theta}(t)e \cos \theta(t) - \ddot{\psi}(t)L \sin \psi(t) - (\dot{\theta}(t))^2 e \sin \theta(t) - (\dot{\psi}(t))^2 L \cos \psi(t) \quad (2.11)$$

unde  $\ddot{\theta}(t) = \dot{\omega}(t) = \varepsilon(t)$  este accelerația unghiulară a arborelui principal, a cărei expresie se obține prin derivarea în raport cu timpul a relației (2.10)

$$\ddot{\psi}(t) = (\dot{\psi}(t))^2 \operatorname{tg} \psi(t) - \frac{1}{\cos \psi(t)} \left( \ddot{\theta}(t) \frac{e}{L} \sin \theta(t) + (\dot{\theta}(t))^2 \frac{e}{L} \cos \theta(t) \right) \quad (2.12)$$

Forța de inerție care lucrează asupra culisei 4, pe care e fixat poansonul 1, de masă  $m_c$ , este

$$F_c(t) = -m_c a_s \quad (2.13)$$

și poate fi considerată ca o forță perturbatoare ce acționează asupra utilajului.

Și celelalte elemente în mișcarea accelerată produc forțe și momente de inerție, cum ar fi momentul  $-J\ddot{\theta}(t)$  care produce efect de răsturnare a utilajului, de care trebuie ținut cont la izolarea antivibratorie a utilajului prin elemente sau straturi elastice.

Aceste forțe și momente au valori maxime în faza tehnologică, cum ar fi decupare ambutisare sau extrudarea. Din acest motiv am acordat în această lucrare o atenție deosebită efectelor dinamice create asupra utilajului de către forțele impulsive.

### 2.2.1.2. Presa cu excentric, cu batiu cadru închis

Structura batiului de forma unui cadru deschis, nu permite preluarea unor forțe tehnologice de valori foarte mari și de aceea, în acest scop, cadrul batiului se închide prin două coloane 13 (Fig.2.2) care-l rigidizează suplimentar.

Astfel o parte din forța tehnologică  $F_p(t)$  este echilibrată de forțele de legătură  $F_1$  din cele două coloane 13, descărcându-se în coloana batiului 12, care în lipsa celor două legături dezvoltă un moment de încovoiere,

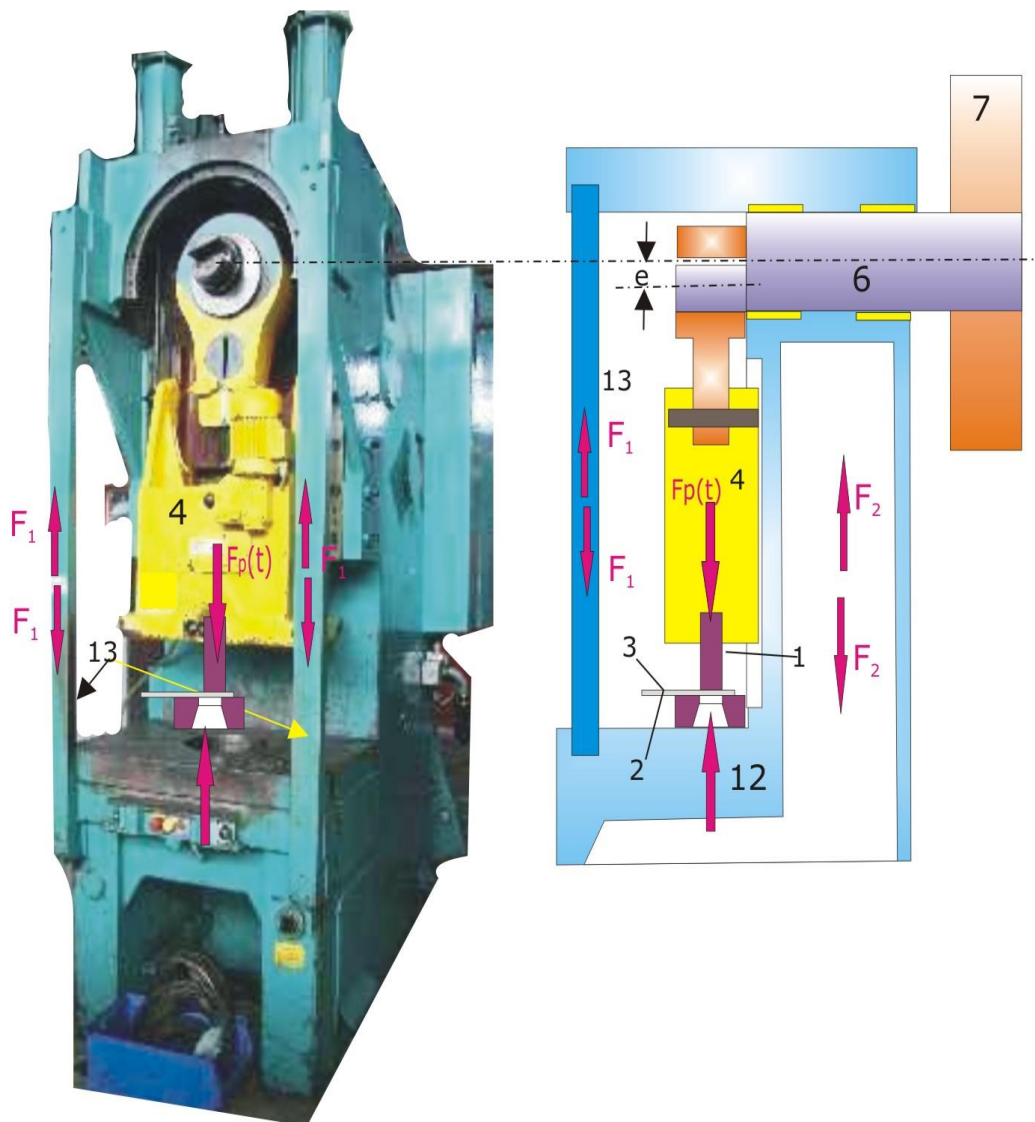
$$M_i = b_2 F_p(t) \quad (2.14)$$

moment care contribuie, în mod esențial, la deformarea cadrului batiului. Acesta se reduce la o valoare ce poate fi aproximată prin relația

$$M_i = b_2 F_p(t) - (b_1 + b_2) F_1 \quad (2.15)$$

unde

$$F_p(t) = F_1 + F_2 \quad (2.16)$$

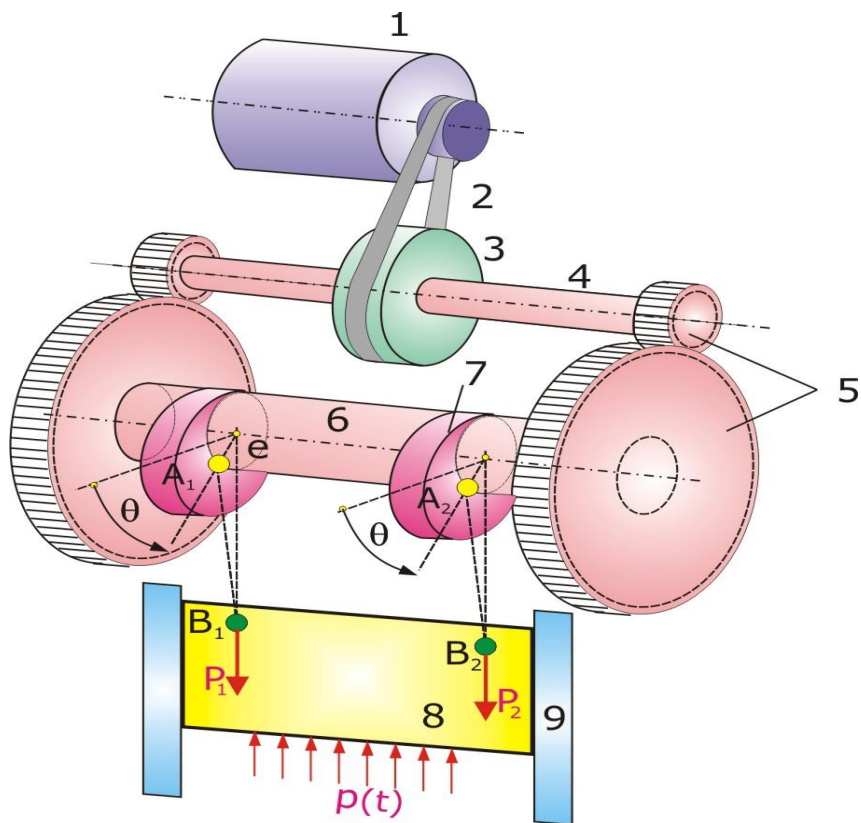


**Fig.2.2** -Presă cu excentric, cu batiu cadru închis prin două coloane

### 2.2.1.3. Presa cu două excentrice cu un singur arbore principal

Tot din motive de echilibrare a forțelor pe structură se apelează la soluții cu două excentrice (Fig.2.3). Acționarea se face de la motorul electric 1 printr-o transmisie prin curea 2 la tamburul 3 care conține în interiorul său un cuplaj și o frână, tamburul având rol și de volant. Prin intermediul cuplajului calat pe arborele 4, mișcarea se transmite arborelui principal 6 prin intermediul 4, două transmisii demultiplicatoare prin roți dințate 5. Pe arborele principal 6 sunt fixate excentric două discuri 7, pe care sunt calate, în articulațiile  $A_1$  și  $A_2$ , bițele  $A_1B_1$  și  $A_2B_2$  care transmit, în mod sincron, mișcarea blocului port matriță 8, care glisează în ghidajul batiului 9.

Această soluție constructivă permite o distribuție uniformă a sarcinilor pe corpul port-matriței.

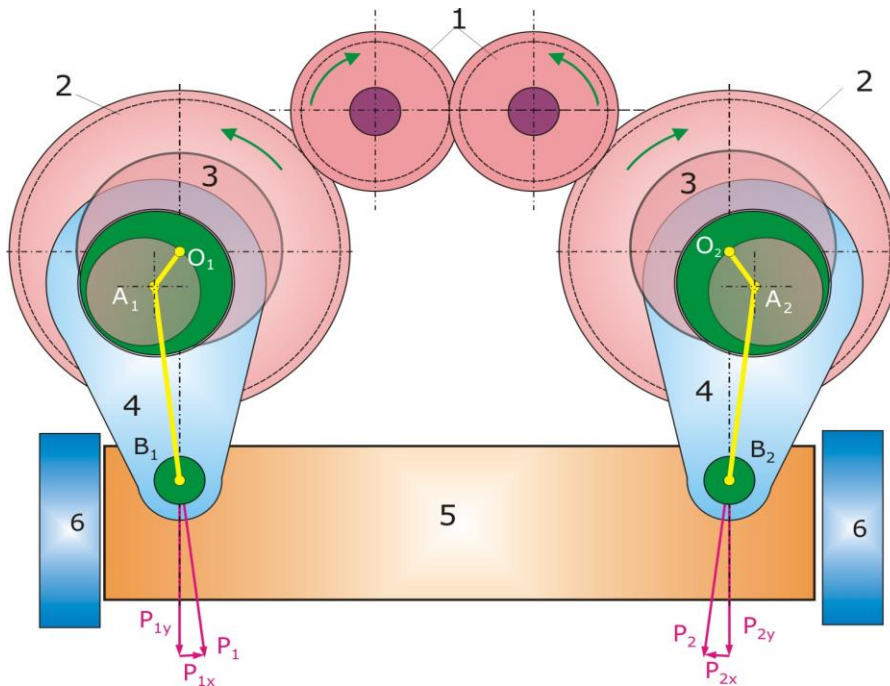


**Fig.2.3** -Ilustrarea mecanismului preseii cu două excentrice în tandem cu un singur arbore principal

### 2.2.1.4. Presa cu două excentrice cu doi arbori principali

O altă soluție tehnică (Fig.2 4) se bazează pe antrenarea uneia dintre cele două roți dințate 1, care la rândul lor antrenează prin demultiplicare roțile dințate 2,

care îndeplinesc rolul și de volanți. Pe arborii principali 3 pe care sunt calate roțile dințate 2 sunt amplasate două mecanisme cu excentric, identice, ceea ce face ca forțele orizontale  $P_{1x}$  și  $P_{2x}$ , componente ale forțelor  $P_1$  și  $P_2$ , transmise prin intermediul bielor 4, blocului port matriță 5, să se compenseze între ele astfel încât numai diferența  $P_{1y}-P_{2y}$ , va fi preluată de ghidajul alunecător al batiului 6 al utilajului.



**Fig.2.4** -Mecanismul presei cu două excentrice în tandem cu doi arbori principali

### 2.2.2. Prese cu genunchi

Pentru forțe tehnologice de nivele foarte mari se utilizează așa numitele prese cu genunchi, (Fig.2.5) care se compun din mecanismul cu excentric OAC, la care sunt conectate în articulația C două bare, una cu o articulație în punctul fix B și alta cu o articulație în punctul D al blocului port-matriță, care execută o mișcare de translație.

Din condițiile geometrice poziția punctului D

$$x_D = a; \quad y_D = b - 2L_0 \cos a \quad (2.16)$$

sau

$$\begin{aligned} x_D &= e \sin \theta + L \cos \psi - L_0 \sin a \\ y_D &= e \cos \theta - L \sin \psi - L_0 \cos a \end{aligned} \quad (2.17)$$

care dau sistemul de ecuații

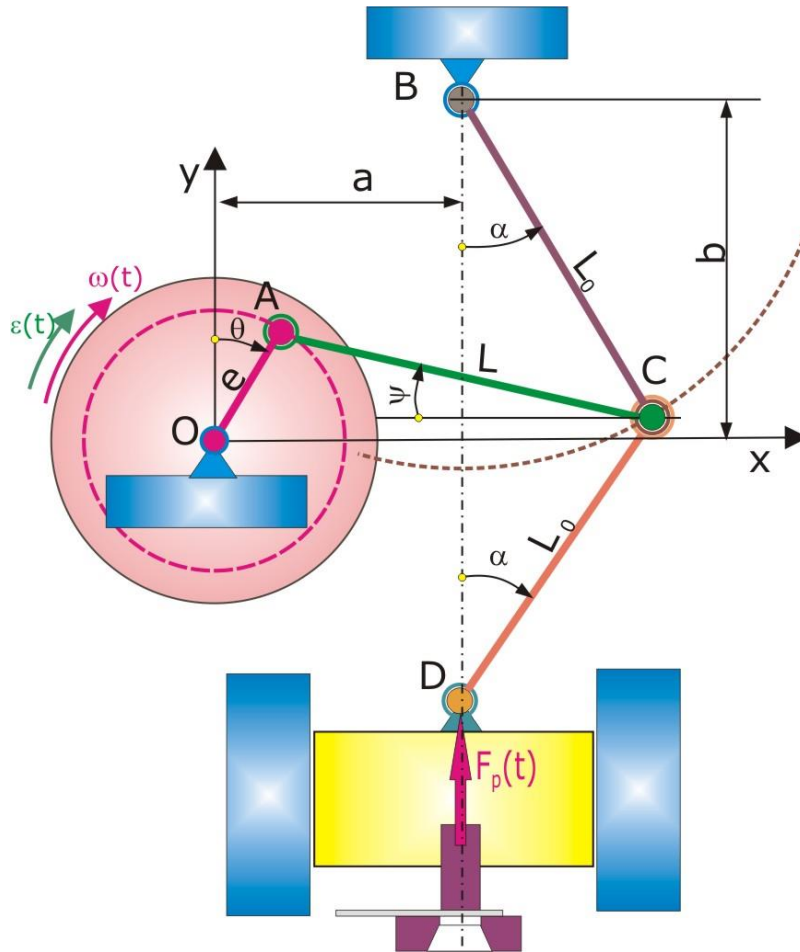
$$\begin{aligned} L \cos \psi - L_0 \sin a &= a - e \sin \theta \\ L \sin \psi + L_0 \cos a &= -b + 2L_0 \cos a + e \cos \theta \end{aligned} \quad (2.18)$$

de unde

$$a = \arccos \left[ \frac{1}{2L_0} \left( \sqrt{L^2 + L_0^2 - (a - e \sin \theta)^2} + b - e \sin \theta \right) \right] \quad (2.19)$$

și

$$\psi = \arccos \left[ \frac{1}{L} (a - e \sin \theta + L_0 \sin a) \right] \quad (2.20)$$



**Fig.2.5** -Mecanismul presei cu genunchi

În continuare, se determină vitezele și accelerațiile articulației D. Viteza articulației D aflată în mișcare de translație, se determina prin derivarea în raport cu timpul a deplasării sale verticale  $y_D$ , din relația (18)

$$v_D = \dot{y}_D = -e \dot{\theta} \sin \theta - L \dot{\psi} \cos \psi + L_0 \dot{a} \sin a \quad (2.21)$$

Derivând din nou în raport cu timpul viteza obținută, rezultă expresia accelerației:

$$a_D = \dot{v}_D = \ddot{y}_D = -e \left( \ddot{\theta} \sin\theta + \left( \dot{\theta} \right)^2 \cos\theta \right) - L \left( \ddot{\psi} \cos\psi - \left( \dot{\psi} \right)^2 \sin\psi \right) + L_0 \left( \ddot{\alpha} \sin\alpha + \left( \dot{\alpha} \right)^2 \cos\alpha \right) \quad (2.22)$$

în care  $\dot{\theta}(t)$  reprezintă viteza unghiulară a arborelui de antrenare  $\dot{\theta}(t) = \omega(t)$ ,  $\ddot{\theta}(t)$  este accelerația unghiulară a arborelui,  $\ddot{\theta}(t) = \dot{\omega}(t) = \varepsilon(t)$ , iar  $\dot{\theta}$  și  $\dot{\alpha}$  respectiv  $\ddot{\theta}$  și  $\ddot{\alpha}$  se obțin prin derivarea odată, respectiv de două ori în raport cu timpul, a relațiilor (19) și (20)

$$\dot{\alpha} = -\frac{e \dot{\theta} \cos\theta}{2L_0} \cdot \frac{\frac{a - e \sin\theta}{\sqrt{L^2 + L_0^2 - (a - e \sin\theta)^2}} - 1}{\sqrt{1 - \left[ \frac{1}{2L_0} \left( \sqrt{L^2 + L_0^2 - (a - e \sin\theta)^2} + b - e \sin\theta \right) \right]^2}} \quad (2.23)$$

Notez:

$$\frac{a - e \sin\theta}{\sqrt{L^2 + L_0^2 - (a - e \sin\theta)^2}} - 1 = f_1(\theta)$$

$$\sqrt{1 - \left[ \frac{1}{2L_0} \left( \sqrt{L^2 + L_0^2 - (a - e \sin\theta)^2} + b - e \sin\theta \right) \right]^2} = f_2(\theta)$$

Relația (2.23) devine

$$\dot{\alpha} = -\frac{e \dot{\theta} \cos\theta}{2L_0} \cdot \frac{f_1(\theta)}{f_2(\theta)} \quad (2.24)$$

rezulta

$$\ddot{\alpha} = -\frac{e}{2L_0} \left[ \left( \ddot{\theta} \cos\theta - \dot{\theta} \sin\theta \right) \cdot \frac{f_1(\theta)}{f_2(\theta)} + \dot{\theta} \cos\theta \cdot \frac{\dot{f}_1(\theta) f_2(\theta) - f_1(\theta) \dot{f}_2(\theta)}{f_2^2(\theta)} \right] \quad (2.25)$$

$$\dot{\psi} = \frac{1}{L} \frac{e \dot{\theta} \cos\theta - L_0 \dot{\alpha} \cos\alpha}{\sqrt{1 - \left[ \frac{1}{L} (a - e \sin\theta + L_0 \sin\alpha) \right]^2}} \quad (2.26)$$

$$\ddot{\psi} = \frac{1}{L} \frac{\left[ e \left( \ddot{\theta} \cos \theta - \dot{\theta} \sin \theta \right) - L_0 \left( \ddot{\alpha} \cos \alpha + \dot{\alpha} \sin \alpha \right) \right] \cdot \sqrt{1 - \left[ \frac{1}{L} (a - e \sin \theta + L_0 \sin \alpha) \right]^2}}{1 - \left[ \frac{1}{L} (a - e \sin \theta + L_0 \sin \alpha) \right]^2} +$$

$$\frac{\left( \left( e \dot{\theta} \cos \theta \right)^2 - \left( L_0 \dot{\alpha} \cos \alpha \right)^2 \right) \cdot (a - e \sin \theta + L_0 \sin \alpha)}{\sqrt{\left[ 1 - \left[ \frac{1}{L} (a - e \sin \theta + L_0 \sin \alpha) \right]^2 \right]^3}}$$

(2.27)

În același mod se pot obține componentele vitezei și accelerației din articulația C plecând de la expresiile coordonatelor sale

$$\begin{aligned} x_C &= e \sin \theta + L \cos \psi \\ y_C &= e \cos \theta - L \sin \psi \end{aligned} \quad (2.28)$$

din care, prin derivare în raport cu timpul se obțin expresiile componentelor vitezei

$$\begin{aligned} \dot{x}_C &= e \dot{\theta} \cos \theta - L \dot{\psi} \sin \psi \\ \dot{y}_C &= -e \dot{\theta} \sin \theta - L \dot{\psi} \cos \psi \end{aligned} \quad (2.29)$$

și ale accelerației

$$\begin{aligned} \ddot{x}_C &= e \ddot{\theta} \cos \theta - L \ddot{\psi} \sin \psi - e \dot{\theta}^2 \sin \theta - L \dot{\psi}^2 \sin \psi \\ \ddot{y}_C &= -e \ddot{\theta} \sin \theta - L \ddot{\psi} \cos \psi - e \dot{\theta}^2 \cos \theta - L \dot{\psi}^2 \cos \psi \end{aligned} \quad (3.30)$$

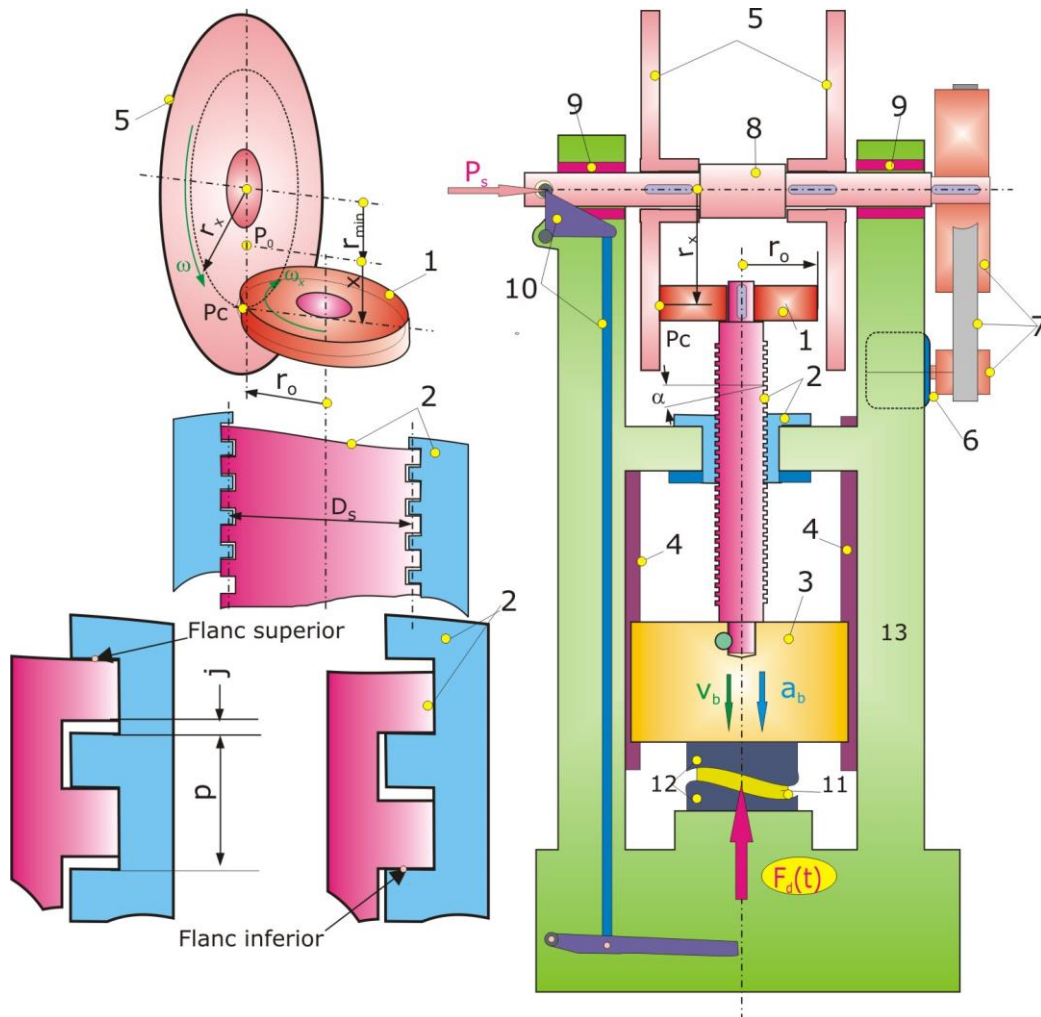
Având aceste expresii determinate se pot afla forțele de inerție care acționează asupra elementelor mecanismului preseii cu genunchi.

### 2.2.3. Prese cu fricțiune

Mecanismul lor se bazează pe transformarea mișcării de rotație a unui volant 1, (Fig.2.6) acumulator de energie, într-o mișcare de translație, cu ajutorul unui mecanism șurub-piuliță 2, conducând la deplasarea berbecului 3 între ghidajele 4.

Discurile verticale 5, acționate de motorul electric 6 prin transmisia prin cureaua 7, se învârtesc tot timpul în același sens, ele fiind calate pe un ax orizontal 8 care poate glisa liber de-a lungul axei sale, pe două lagăre 9. Cu ajutorul pârghiei de comandă 10, discurile 5 pot fi deplasate împreună cu axul 8, făcând astfel posibilă cuplarea lor pe rând cu volantul 1, în acest fel realizându-se coborârea sau ridicarea berbecului 3. Sistemul de comandă este astfel conceput, încât cuplarea volantului pentru coborârea berbecului să se facă la comandă, iar decuplarea să se facă automat, imediat ce semifabricatul a fost lovit.





**Fig.2.6** -Mecanismul presei cu șurub

La începutul cursei de coborâre a berbecului 3, volantul 1 de rază  $r_0$  are ca punct de contact cu discul 5, (din stânga) punctul  $P_0$ , situat pe o traiectorie circulară de rază  $r_{min}$ . Deplasându-se în jos cu distanța  $x$  viteza unghiulară instantanee a volantului va fi:

$$\omega_x = \omega \frac{r_{min} + x}{r_0} \quad (2.31)$$

cu ajutorul căreia se poate determina viteza de înșurubare a șurubului, sau de deplasare a berbecului

$$v_b = \dot{x} = \omega_x \frac{p}{2\pi} = \omega \frac{p}{2\pi} \frac{r_{min} + x}{r_0} \quad (2.32)$$

care conduce la ecuația diferențială,

$$\dot{x} - \lambda x = \lambda r_{min} \quad (2.33)$$

unde s-a notat

$$\lambda = \omega \frac{p}{2\pi r_0} \quad (2.34)$$

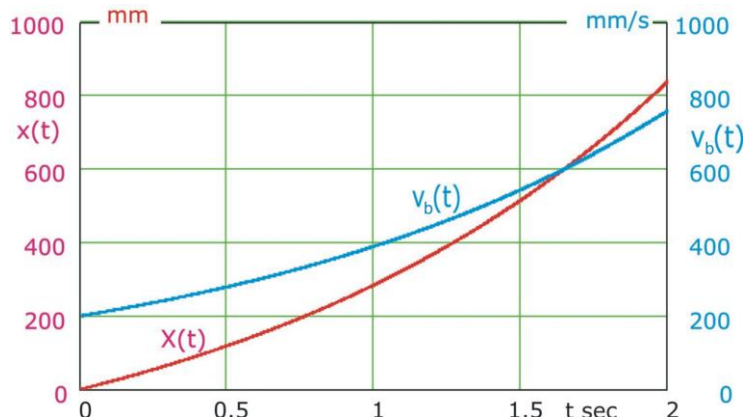
Ecuția diferențială (33) admite soluția

$$x(t) = r_{min}(e^{\lambda t} - 1) \quad (2.35)$$

iar viteza de coborâre a berbecului va fi:

$$v_b(t) = \lambda r_{min} e^{\lambda t} \quad (2.36)$$

Pentru un pas al șurubului  $p=40$  mm, (cu mai multe începături) și  $r_{min}=300$ mm și  $r_0=500$ , la o turație a arborelui principal  $n=500$  rot/min, deci la  $\omega = \pi n / 30 = 52,36$  s<sup>-1</sup>, diagramele ale deplasării  $x(t)$  și ale vitezei arată ca în Fig.2.7: o creștere exponențială a vitezei, de la 200 mm/s la 800 mm/s în timp ce berbecul execută o cursă de 820 mm.



**Fig.2.7** -Diagramele deplasării și vitezei berbecului la o presă cu șurub

La capăt de cursă are loc contactul matriței 12 cu materialul semifabricat 11, contact ce se face prin dezvoltarea unei forțe impulsive cu un front inițial brusc, amplificat de faptul că la coborâre berbecului, datorită greutateii sale, contactul dintre șurub și piuliță se va face pe flancul inferior al filetului. La contactul matriței cu semifabricatul contactul va trece brusc, cu șoc, pe flancul superior, forța impulsivă rezultantă fiind preluată ca forță interioară ansamblului batiului 13 al presei. Din acest motiv constructorii preselor cu șurub impun ca rigiditatea longitudinală a presei să aibă o valoare minimă

$$K = (6 \dots 14) \sqrt{P_d} \cdot 10^{-1/2} \text{ [kN/mm]} \quad (2.37)$$

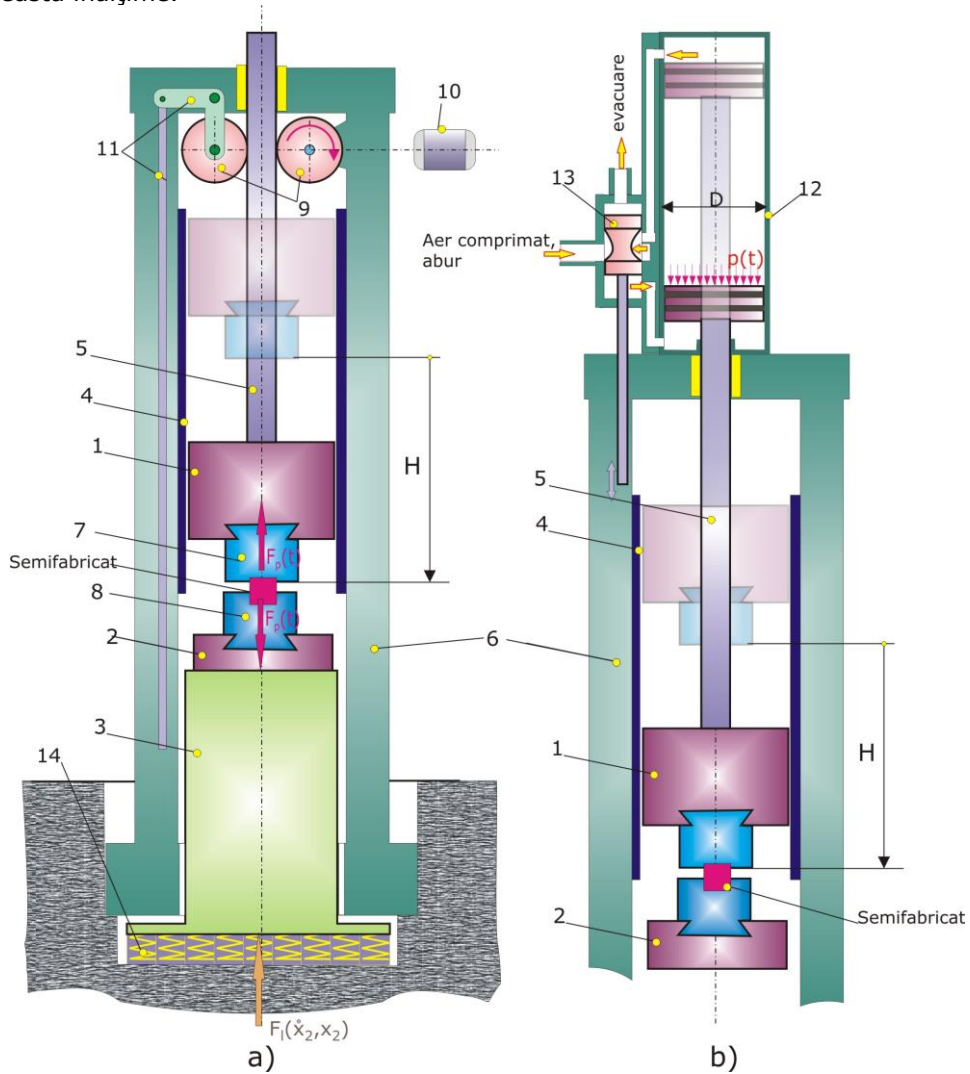
O valoare mai mică poate avea repercusiuni negative asupra randamentului transferului energetic între sculă și semifabricat, precum și asupra preciziei de prelucrare după direcția forței.

## 2.2.4. Ciocanele mecanice

### 2.2.4.1. Ciocane cu acționare electromecanică și hidraulică

Ciocanele mecanice sunt mașini utilizate pentru prelucrarea semifabricatelor prin deformare plastică, cum este forjarea liberă sau în matrițe. În Fig.2.8 a) și b) sunt prezentate două tipuri constructive de ciocane. În principiu ele se bazează pe

energia de lovire dată de un berbec 1 care este ridicat la înălțimea H și lansat de la această înălțime.



**Fig.2.8** - Scheme funcționale ale ciocanelor mecanice

- a) acționare electromecanică
- b) acționare pneumatică sau prin presiunea aburilor

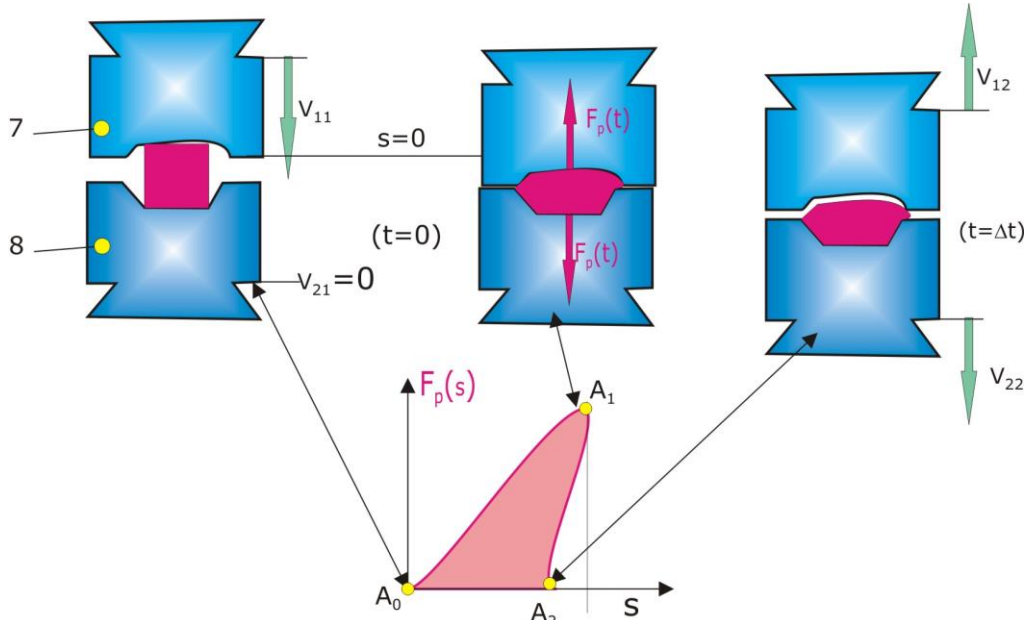
În momentul în care se produce contactul dintre matrița superioară 7, fixată pe berbecul 1, și semifabricat, așezat pe matrița inferioară 8 (vezi Fig.2.9), o parte din energia cinetică

$$E_C = \frac{1}{2} m_1 v_{11}^2 \quad (2.38)$$

a ansamblului, berbec 1,- matriță 7 și coloană de ghidare 5, ansamblul având masa  $m_1$ , va fi consumată prin energia de deformare a semifabricatului:

$$L_d = \int F_P(s) ds \quad (2.39)$$

unde  $s$  este deplasarea relativă dintre matrițele 7 și 8 în timpul procesului de deformare, care se termină în punctul  $A_1$ , pe diagrama de deformare forță de deformare-deplasare relativă,  $F_p(s)$ - $s$ , Fig.2.9



**Fig.2.9** -Fazele procesului de matrițare

Diagrama prezintă un maxim în punctul  $A_1$  după care forța scade brusc, cu deplasarea relativă  $s$  în sens invers pe ramură  $A_1 A_2$ , care corespunde unei reveniri elastice.

Procesul de deformare fiind de scurtă durată poate fi considerat ca un proces percutant, pentru care, conform legilor percuțiilor, vitezele  $v_{12}$  și  $v_{22}$  ale celor două matrițe 7 și 8, după terminarea procesului, se determină prin relațiile

$$v_{12} = v_{11} - \frac{(v_{11} - v_{21})(1 + R)}{1 + \frac{m_1}{m_2}}$$

$$v_{22} = v_{21} + \frac{(v_{11} - v_{21})(1 + R)}{1 + \frac{m_2}{m_1}} \quad (2.40)$$

unde  $v_{11}$  este viteza înainte de contact a matriței 7,

$$v_{11} = \sqrt{2gH} \quad (2.41)$$

iar  $v_{21}$  este viteza înainte de contact a matriței 8, solidară cu nicovalea 2, și șabota 3, toate împreună având masa  $m_2$ . În cazul de față acest ansamblu este în repaus înainte de contact, deci  $v_{21}=0$ .

Coeficientul de restituire  $R$ , conform definiției sale, se exprimă prin relația

$$R = \frac{v_{22} - v_{12}}{v_{11} - v_{21}} \quad (2.42)$$

Pierderea de energie consumată prin deformarea plastică a semifabricatului are forma

$$\begin{aligned} \Delta E_c &= \frac{1}{2} m_1 v_{11}^2 + \frac{1}{2} m_2 v_{21}^2 - \left( \frac{1}{2} m_1 v_{12}^2 + \frac{1}{2} m_2 v_{22}^2 \right) \\ &= \frac{m_1 m_2}{2(m_1 + m_2)} (v_{11} - v_{21})^2 (1 - R^2) \end{aligned} \quad (2.43)$$

care este egală cu lucrul mecanic de deformare

$$\Delta E_c = \int F_p(s) ds = \frac{m_1 m_2}{2(m_1 + m_2)} (v_{11} - v_{21})^2 (1 - R^2) \quad (2.44)$$

Având determinată, de exemplu pe cale experimentală, diagrama  $F(s)$ - $s$ , și vitezele înainte de contact,  $v_{11}$  și  $v_{21}$ , se pot determina din relațiile (2.40) și (2.44) vitezele după contact  $v_{12}$  și  $v_{22}$  și coeficientul de restituire  $R$ .

În special interesează viteza  $v_{22}$  a ansamblului matrită 8, nicovală 2 și șabotă 3. Acest ansamblu, este așezat pe un sistem de izolare 14, modelul dinamic al ansamblului fiind de forma:

$$m_2 \frac{d^2 x_2(t)}{dt^2} = -F_l \left( x_2(t), \frac{dx_2(t)}{dt} \right) \quad (2.45)$$

unde  $F_l \left( x_2(t), \frac{dx_2(t)}{dt} \right)$  este forța de legătură a stratului de izolare, care în cazul caracteristicii sale liniare, va fi:

$$F_l \left( x_2(t), \frac{dx_2(t)}{dt} \right) = kx_2(t) + c \frac{dx_2(t)}{dt} \quad (2.46)$$

Pentru rezolvarea ecuației diferențiale (45) se consideră următoarele condiții inițiale,

$$t = 0; \Rightarrow x_2(t) = 0; \quad \frac{dx_2(t)}{dt} = v_{22} \quad (2.47)$$

În varianta a) (Fig.2.8), ridicarea berbecului 1 la înălțimea  $H$ , se face prin sistemul de role 9 în contact cu fricțiune pe bara 5, contactul fiind asigurat prin sistemul de pârghii 11, ridicarea realizându-se mecanic prin motorul 10 electric sau hidraulic, care antrenează una din rolele 9.

În varianta b) (Fig. 8) ridicarea berbecului 1 se realizează prin motorul liniar 12, acționat pneumatic sau prin abur sub presiune, comanda ciclurilor de ridicare coborâre făcându-se prin sertarul 13. Această variantă prezintă un alt mare avantaj deoarece permite sporirea energiei de lovire, mișcarea fiind accelerată de forța axială creată de presiunea  $p(t)$  cu care este alimentat cilindrul 12. În această situație legea de deplasare  $x_1(t)$  a berbecului 1 este guvernată de ecuația diferențială

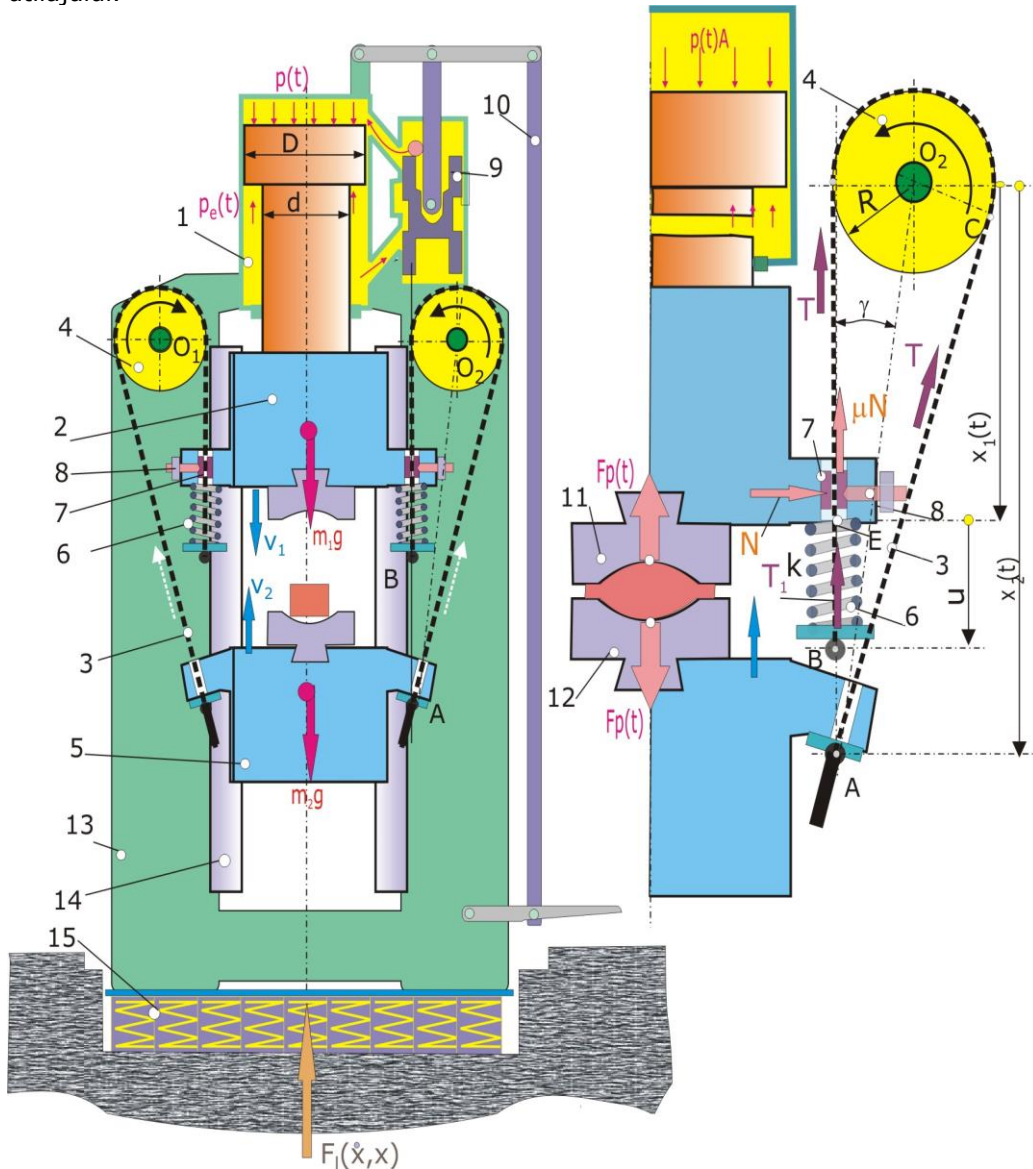
$$m_1 \frac{d^2 x_1(t)}{dt^2} = m_1 g + p(t)A \quad (2.48)$$

unde  $A = n \frac{D^2}{4}$ ,  $D$  fiind diametrul interior al cilindului.

Integrarea ecuației diferențiale (48) este dificilă deoarece presiunea  $p(t)$ , depinde de circuitul de alimentare și de faptul că volumul alimentat al cilindului 12 variază liniar cu deplasarea  $x_1(t)$ .

### 2.2.4.2. Ciocanul de matrițare cu contralovitură

O altă soluție la care se poate dubla energia disponibilă pentru lovire este ciocanul de matrițare cu contralovitură (Fig.2.10). Și aici acționarea se face prin motor liniar 1, cu acționare pneumatică sau prin abur, pistonul motorului fiind rigidizat de berbecul superior 2, care glisează pe ghidajul 14 al batiului 13 al utilajului.



**Fig.2.10** -Mecanismul ciocanului de matrițare cu contralovitură

Pe același ghidaj glisează berbecul inferior 5, care este ancorat de berbecul superior 2 prin intermediul a două benzi flexibile 3, care sunt trecute peste două role 4, cu axele lor fixate pe batiul 13 al utilajului, în așa fel încât cei doi berbeci se

mișcă în sens contrar cu vitezele  $v_1$  și  $v_2$ . În momentul imediat premergător contactului berbecii au vitezele aproximativ egale,  $v_{21} \approx v_{21}$ , astfel că energia disponibilă (2.44), operației de deformare se multiplică de patru ori, față de energia de deformare a ciocanului cu simplă lovitură și nicovală fixă

$$\Delta E_C = \int F_p(s) ds = 2 \frac{m_1 m_2}{(m_1 + m_2)} v_{11}^2 (1 - R^2) \quad (2.44)$$

Între legile de mișcare  $x_1(t)$  și  $x_2(t)$  ale celor doi berbeci 2 și 5 se pot scrie relații de legătură, ținând cont că, lungimea  $L_b$  a unei benzi flexibile 3 este constantă iar capetele ei sunt fixate, unul în punctul A al berbecului 5, iar celălalt în punctul B situat pe arcul de compresiune 6 sprijinit de berbecul superior 2.

Din condițiile geometrice se pot scrie relațiile

$$L_b = \overline{AC} + \overline{CD} + \overline{DB} \quad (2.49)$$

unde

$$\overline{AC} = \frac{1}{\cos \gamma} (x_2(t) - R \sin \gamma) \quad (2.50)$$

$$\overline{CD} = R(\pi + 2\gamma) \quad (2.51)$$

$$\overline{DB} = x_1(t) + u \quad (2.52)$$

unde, prin construcția utilajului, în timpul deplasării celor doi berbeci, după legile  $x_1(t)$  și  $x_2(t)$ , unghiul  $\gamma$  rămâne aproape constant. În schimb, distanța  $u$  dintre capetele B și E ale arcului 6 este variabila, ea depinzând de forța de legătură  $F_l$  care comprimă arcul

$$u_0 - u = -\frac{F_l}{k} \quad (2.53)$$

$k$  fiind constanta elastică a arcului iar  $u_0$  este lungimea arcului neîncărcat .

Din relațiile (49) ... (52) va rezulta relația:

$$L_b = \frac{1}{\cos \gamma} (x_2(t) - R \sin \gamma) + R(\pi + 2\gamma) + x_1(t) + u \quad (2.54)$$

Acesteia i se mai adaugă o a doua relație

$$(R + R \cos \gamma) = (x_2(t) - R \sin \gamma) \operatorname{tg} \gamma \quad (2.55)$$

reieșind că numai doi parametri, dintre cei patru,  $x_1(t)$  și  $x_2(t)$ , unghiul  $\gamma$  și lungimea  $u$  a arcului 6, pot fi considerați independenți. Deci sistemul dinamic are două grade de libertate.

Pentru scrierea ecuațiilor dinamice se apelează la metoda ecuațiilor lui Lagrange, pentru care se calculează energiile cinetice, potențiale de deformație și de disipație.

Energia cinetică totală a sistemului va avea forma:

$$E_C = \frac{1}{2} m_1 \dot{x}_1^2(t) + \frac{1}{2} m_2 \dot{x}_2^2(t), \quad (2.56)$$

iar energia potențială forma:

$$E_P = m_1 g x_1(t) + m_2 g x_2(t) \quad (2.57)$$

Energia de deformare a celor două arcuri 8, comprimate la lungimea  $u$  va fi de forma:

$$E_{da} = 2 \frac{1}{2} k (u_0 - u)^2 \quad (2.58)$$

După faza de contact energia cinetică rămasă în sistem

$$E_{cn} = \left( \frac{1}{2} m_1 v_{12}^2 + \frac{1}{2} m_2 v_{22}^2 \right) \quad (2.59)$$

va produce oscilații care trebuie amortizate,  $v_{12}$  și  $v_{22}$  fiind vitezele inițiale ale celor doi berbeci. Disiparea acestei energii și stingerea oscilațiilor se poate face prin introducerea unui amortizor disipativ. Cel mai adecvat condițiilor de lucru, în condiții de forjare, consider că este un dispozitiv cu frecare uscată compus din două plăcuțe 7, din material rezistent la uzură, între care este presată banda 3 cu ajutorul unui șurub 8.

O soluție funcțională se va prezenta în capitolul 4 dedicat acestor dispozitive

La soluția prezentată în Fig. 10, forței de disipare uscată,  $\mu N$  ( $N$ =forța normală iar  $\mu$ =coeficientul de frecare), îi corespunde un lucru mecanic de disipație care sub formă elementară are expresia:

$$\delta L_F = -2\mu N \text{sign}(\dot{u}) \delta u \quad (2.60)$$

Ca forță direct aplicată este forța dată de presiunea  $p(t)$  ce acționează pe suprafața pistonului cilindrului 1 căruia îi corespunde un lucru mecanic virtual:

$$\delta L_p = p(t) A \delta x_1 \quad (2.60)$$

Așa cum s-a arătat mai sus la soluțiile constructive ale ciocanelor de acest tip, unghiul  $\gamma$  este sub  $10^\circ$  iar variația lui, la deplasări pe întreaga cursă relativă a celor doi berbeci nu depășește  $2^\circ - 3^\circ$ . În această ipoteză, considerând  $\gamma = \gamma_0 = \text{ct.}$ , se obține, din relația (2.54)

$$x_2(t) = L_b \cos \gamma_0 + R \sin \gamma_0 - [R(\pi + 2\gamma_0) + x_1(t) + u] \cos \gamma_0 \quad (2.61)$$

care prin derivare în raport cu timpul duce la relația între viteze:

$$\dot{x}_2(t) = -(\dot{x}_1(t) + \dot{u}(t)) \cos \gamma_0 \quad (2.62)$$

expresia energiei cinetice(56) devenind

$$E_c = \frac{1}{2} m_1 \dot{x}_1^2(t) + \frac{1}{2} m_2 (\dot{x}_1(t) + \dot{u}(t))^2 \cos^2 \gamma_0 \quad (2.63)$$

La fel, expresia energiei potențială (2.57) va fi de forma:

$$E_p = m_1 g x_1(t) + m_2 g \{ L_b \cos \gamma_0 + R \sin \gamma_0 - [R(\pi + 2\gamma_0) + x_1(t) + u] \cos \gamma_0 \} \quad (2.64)$$

Sistemul de ecuații diferențiale care guvernează mișcarea sistemului se obține aplicând metoda ecuațiilor lui Lagrange

$$\frac{d}{dt} \left( \frac{\partial E_c}{\partial \dot{w}} \right) - \frac{\partial E_c}{\partial w} + \frac{\partial E_{da}}{\partial w} - \frac{\partial E_p}{\partial w} = Q_w \quad w = x_1, u \quad (2.65)$$

pentru care termenii derivați au expresiile:

$$\frac{d}{dt} \left( \frac{\partial E_c}{\partial \dot{x}_1} \right) = (m_1 + m_2 \cos^2 \gamma_0) \cdot \ddot{x}_1(t) + m_2 \dot{u}(t) \cos^2 \gamma_0 \quad (2.66)$$

$$\frac{d}{dt} \left( \frac{\partial E_c}{\partial \dot{u}} \right) = m_2 \cos^2 \gamma_0 \cdot \dot{x}_1(t) + m_2 \ddot{u}(t) \cos^2 \gamma_0$$

$$\frac{\partial E_{da}}{\partial u} = -2k(u_0 - u) \quad (2.67)$$

$$\frac{\partial E_p}{\partial x_1} = m_1 g - m_2 g \cos \gamma_0 \quad (2.68)$$

$$\frac{\partial E_p}{\partial u} = -m_2 g \cos \gamma_0$$



$$Q_{x1} = \frac{\delta L_p}{\delta x_1} = p(t)A; \quad Q_u = \frac{\delta L_f}{\delta u} = -2\mu N \operatorname{sign}(\dot{u}) \quad (2.69)$$

În final, rezultă sistemul de două ecuații diferențiale:

$$\left( m_1 + m_2 \cos^2 \gamma_0 \right) \ddot{x}_1(t) + m_2 \ddot{u}(t) \cos^2 \gamma_0 = p(t)A + (m_1 - m_2 \cos \gamma_0)g \quad (2.70)$$

$$m_2 (\ddot{x}_1(t) + \ddot{u}(t)) \cos^2 \gamma_0 + 2ku(t) = -m_2 g \cos \gamma_0 - 2\mu N \operatorname{sign}(\dot{u}(t)) + 2ku_0$$

care admite soluțiile

$$x_1(t) = \bar{x}_1 + \tilde{x}_1(t); \quad u(t) = \bar{u} + \tilde{u}(t) \quad (2.71)$$

primii termeni,  $\bar{x}_1$  și  $\bar{u}$ , fiind termeni constanți, va rezultata din a doua ecuație

$$\bar{u} = u_0 - \frac{m_2 g}{2k} \cos \gamma_0 \pm \frac{1}{k} \mu N \quad (2.72)$$

care reprezintă lungimea arcului supus la compresiune de o componentă statică

$$\bar{T}_1 = k(\bar{u} - u_0) = -\frac{m_2 g}{2} \cos \gamma_0 \pm \mu N, \quad (2.73)$$

semnul  $\pm$  corespunzând sensului de rupere al echilibrului static.

Pe de altă parte, echilibrul static a sistemului berbec 2 –berbec 5, cu legătură prin benzile flexibile 6, impune

$$\bar{p}A + (m_1 - m_2 \cos \gamma_0)g = 0 \quad (2.74)$$

$\bar{p}$  fiind componenta statică a presiunii  $p(t)$  având și ea două componente

$$p(t) = \bar{p} + \tilde{p}(t) \quad (2.75)$$

În aceste condiții, din sistemul de ecuații diferențiale (2.71), derivă sistemul de ecuații diferențiale care guvernează numai mișcarea sistemului

$$\left( m_1 + m_2 \cos^2 \gamma_0 \right) \ddot{\tilde{x}}_1(t) + m_2 \ddot{\tilde{u}}(t) \cos^2 \gamma_0 = \tilde{p}(t)A \quad (2.76)$$

$$m_2 \left( \ddot{\tilde{x}}_1(t) + \ddot{\tilde{u}}(t) \right) \cos^2 \gamma_0 + 2k\tilde{u}(t) = -2\mu N \operatorname{sign}(\dot{\tilde{u}}(t))$$

care permite din prima ecuație explicitarea:

$$\ddot{\tilde{x}}_1(t) = \tilde{p}(t) \frac{A}{m_1 + m_2 \cos^2 \gamma_0} - \ddot{\tilde{u}}(t) \frac{m_2 \cos^2 \gamma_0}{m_1 + m_2 \cos^2 \gamma_0} \quad (2.77)$$

ceea ce transformă a doua ecuație într-o ecuație liniară:

$$m_2 \left( 1 - \frac{m_2 \cos^2 \gamma_0}{m_1 + m_2 \cos^2 \gamma_0} \right) \cos^2 \gamma_0 \ddot{\tilde{u}}(t) + 2k\tilde{u}(t) = -2\mu N \operatorname{sign}(\dot{\tilde{u}}(t)) - \tilde{p}(t)A \frac{m_2 \cos^2 \gamma_0}{m_1 + m_2 \cos^2 \gamma_0} \quad (2.78)$$

de variație  $\tilde{u}(t)$  a lungimii arcului 6.

Aici perturbația este dată de componenta variabilă  $\tilde{p}(t)$  a presiunii din partea superioară a cilindrului.

În realitate, în timpul cursei descendentă a pistonului, fluidul din partea inferioară a pistonului este evacuat prin canalele sertarului de comandă 9, astfel încât se creează o contrapresiune  $p_e(t)$ , care se opune mișcării pistonului, astfel încât forța reală care acționează asupra pistonului, (ultimul termen din partea dreaptă a ecuației 78) va fi înlocuit de termenul

$$\frac{1}{4} \left( \tilde{p}(t)D^2 - p_e(t)(D^2 - d^2) \right) \frac{m_2 \cos^2 \gamma_0}{m_1 + m_2 \cos^2 \gamma_0}$$

Cele două presiuni  $\tilde{p}(t)$  și  $p_e(t)$  depind de debitele de alimentare și respectiv de evacuare ce sunt dirijate prin sertarul de comandă, debite cu regimuri tranzitorii. Din acest punct de vedere, pentru un studiu mai adânc este necesar să se țină seama și de ecuațiile de curgere.

### 2.2.4.2.1. Dinamica acționării pneumatice a ciocanului de forjă cu dublu efect

Acționarea pneumatică a ciocanului de forjă (Fig.2.11) se face prin acționarea manuală, cu pârghii, a plungerului 6, și a distribuitorului cu patru căi 7 (A, de alimentare de la sursa de aer comprimat cu debitul  $Q$ ; B, de evacuare a aerului din partea opusă  $x(t)$  a deplasării pistonului 3; C și D de alimentare sau evacuare succesivă a aerului comprimat din cilindrul 5).

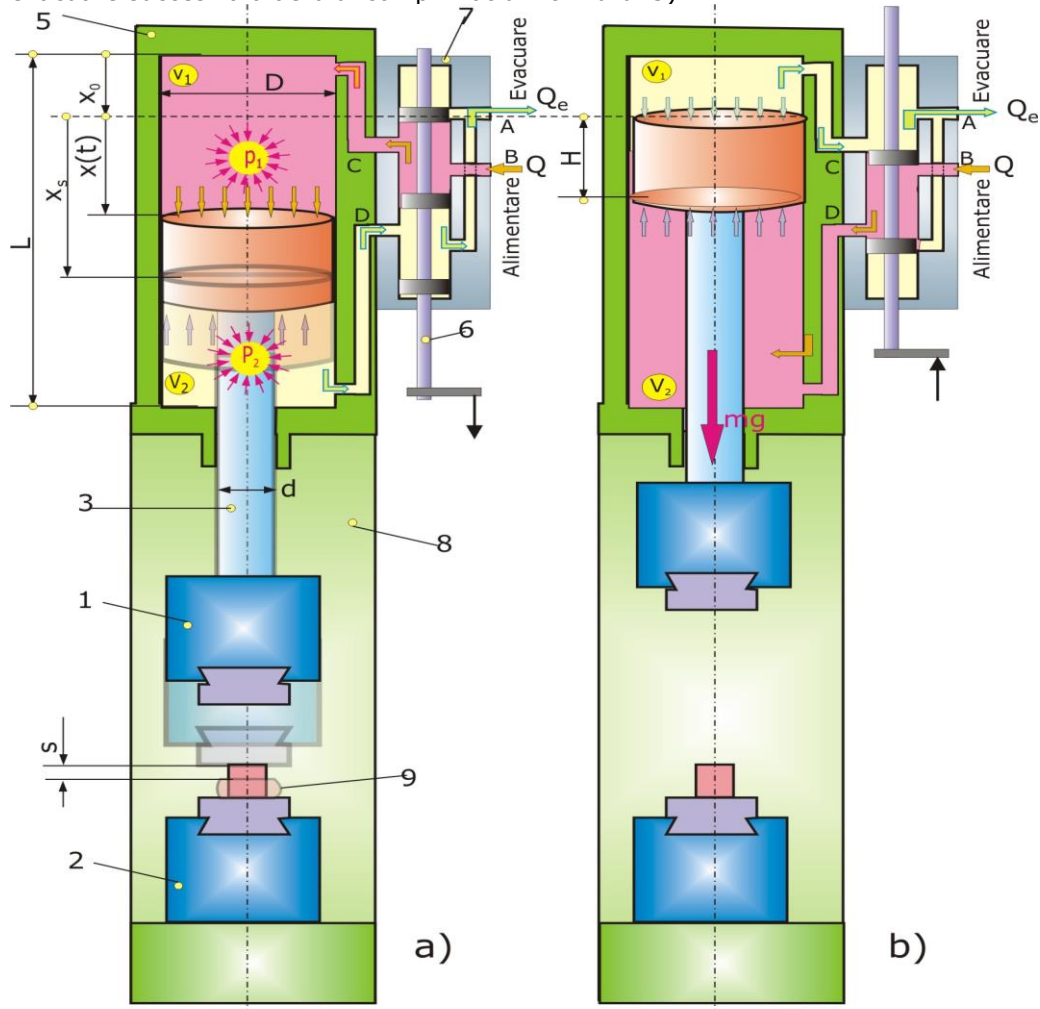


Fig.2.11 -Ciocanului pneumatic cu dublu efect

În fază inițială pistonul 3 pleacă din poziția limită superioară, cota  $x_0$ , (Fig.11a) și își termină cursa la  $x_s$ , când ciocanul 1 ia contact cu semifabricatul 9, deformându-l după legea  $s(t)$ .

Legea de mișcare a ciocanului  $x(t)$ , de-a lungul acestei curse, este de forma

$$m\ddot{x}(t) = mg - F_f + F_p(t) \quad (2.79)$$

unde,  $m$  este masa pistonului 3 cu ciocanul atașat,  $F_f$ , forța de frecare cumulată la nivelul etanșărilor, iar  $F_p(t)$  rezultanta forțelor pneumatice

$$F_p(t) = p_1(t)A_1 - p_2(t)A_2 \quad (2.80)$$

$p_1(t)$  și  $p_2(t)$  reprezintă presiunile din camerele; superioară, de volum  $V_1$ , și inferioară, de volum  $V_2$ .

$$\begin{aligned} V_1 &= A_1[x_0 + x(t)] \\ V_2 &= A_2[L - x_0 - x(t) - H] \end{aligned} \quad (2.81)$$

ariile  $A_1$  și  $A_2$  având expresiile

$$A_1 = \frac{\pi}{4}D^2; \quad A_2 = \frac{\pi}{4}(D^2 - d^2); \quad (2.82)$$

Între presiunile,  $p_1(t)$  și  $p_2(t)$  și volumele de aer  $V_1$  și  $V_2$  se pot scrie relațiile [57]

$$\begin{aligned} \dot{p}_1(t) &= \frac{nRT_1Q_1(t)}{V_1} - \frac{np_1(t)\dot{V}_1}{V_1} \\ \dot{p}_2(t) &= \frac{nRT_2Q_2(t)}{V_2} - \frac{np_2(t)\dot{V}_2}{V_2} \end{aligned} \quad (2.83)$$

în care  $n$  și  $R$  sunt căldura specifică (pentru aer  $n=1,4$ ) și, respectiv, constanta gazului,  $T_1$  și  $T_2$  reprezintă temperaturile absolute din cele două camere, iar  $Q_1(t)$  și  $Q_2(t)$  sunt debitele masice, de intrare și respectiv de evacuare din interiorul celor două camere.

Cu ajutorul relațiilor (2.81) ecuațiile (2.83) devin

$$\begin{aligned} \dot{p}_1(t) &= \frac{nRT_1Q_1(t)}{A_1[x_0 + x(t)]} - \frac{np_1(t)\dot{x}(t)}{[x_0 + x(t)]} \\ \dot{p}_2(t) &= \frac{nRT_2Q_2(t)}{A_2[L - x_0 - x(t) - H]} + \frac{np_1(t)\dot{x}(t)}{[L - x_0 - x(t) - H]} \end{aligned} \quad (2.84)$$

Debitele maselor de aer  $Q_1(t)$  de intrare în camera 1 și  $Q_2(t)$  de ieșire depind de capacitatea de transfer a valvei, ale cărei canale de curgere a aerului sunt rezistențe  $R_p$  pneumatice  $R_p = \frac{\Delta p}{Q}$ , care se determină experimental, și sunt niște un parametru specificați de către producător, depinzând de mai mulți alți parametri.

Cu aceste date și cu datele inițiale, privind poziția și viteza la momentul  $t=0$ , se poate integra sistemul de ecuații diferențiale cuplate (2.79) (2.84).

### 2.2.4.3. Ciocanul pneumatic cu circuit închis

O altă variantă constructivă de ciocan pneumatic este cel cu dublu efect și circuit închis (Fig.2.12). Această variantă nu este deservită de o sursă de aer comprimat exterioră. Sursa de aer comprimat o constituie un compresor monocilindric amplasat pe batiul 1 al ciocanului pneumatic, cilindrul 2 al compresorului fiind identic cu cilindrul 3 al ciocanului pneumatic, de aceeași,

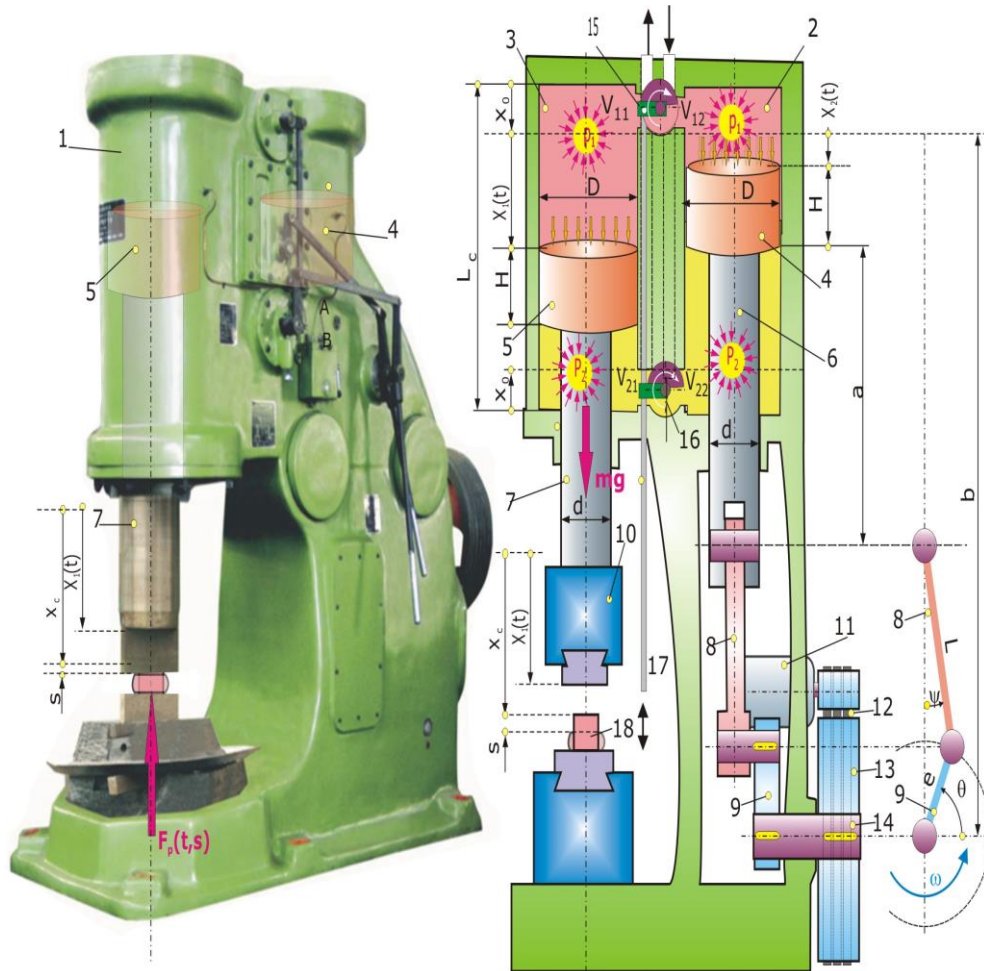
44 Definirea forțelor perturbatoare la utilaje tehnologice - 2

lungimi  $L_c$ , diametre  $D$  ale pistoanelor 4 și 5, diametre  $d$  ale tijelor, 6 și 7, prima conectată la mecanismul bielă-manivelă 8 –manivelă 9, iar a doua la berbecul 10.

Mecanismul bielă-manivelă este acționat de un motor electric 11 prin intermediul unei transmisii prin curele 12 și un volant 13 calat pe arborele 14, de antrenare, cu viteza unghiulară  $\omega$ , a manivelei 9.

Cursa pistonului 4 a compresorului este  $2e$  ( $e$  fiind lungimea manivelei), la capetele cursei rămânând câte un volum de lungime

$$x_0 = \frac{1}{2}(L_c - 2e - H) \quad (2.85)$$



**Fig.2.12-** Ciocanului pneumatic cu circuit închis

Față de această poziție, legea de mișcare  $x_2(t)$  a pistonului 4 al compresorului are expresia:

$$x_2(t) = b - e \sin \theta - L \cos \psi - a - H \quad (2.86)$$

sau

$$x_2(t) = c - e \sin \theta(t) - L \sqrt{1 - \left( \frac{e}{L} \cos \theta(t) \right)^2} \quad (2.87)$$

$$(c = b - a - H)$$

Volumul variabil al camerei superioare a cilindrului compresor se poate scrie acum de forma:

$$V_{21}(t) = A_1 [x_2(t) + x_0] \quad (2.88)$$

iar volumul inferior:

$$V_{22}(t) = A_2 [L_c - x_2(t) - x_0 - H] \quad (2.89)$$

unde ariile au expresiile:

$$A_1 = \frac{\pi}{4} D^2 \quad A_2 = \frac{\pi}{4} (D^2 - d^2) \quad (2.90)$$

De cealaltă parte, volumul camerei superioare a cilindrului ciocanului va avea expresia:

$$V_{11}(t) = A_1 [x_0 + x_1(t)] \quad (2.91)$$

iar volumul camerei inferioare:

$$V_{12}(t) = A_2 [L_c - x_1(t) - x_0 - H] \quad (2.92)$$

Cele două camere superioare, având volumele  $V_{11}$  și  $V_{21}$ , comunică între ele, prin intermediul unui distribuitor rotativ 15, care este sincronizat, prin pârghii 17, cu distribuitorul 16, prin care se face legătura între camerele inferioare, de volume  $V_{12}$  și  $V_{23}$ .

Presupunem, pentru început, că secțiunile de comunicare, prin distribuitoarele 16 și 17, între camerele superioare și inferioare, sunt suficient de largi încât se poate considera căte o presiune comună  $p_1(t)$ , pentru camerele superioare și  $p_2(t)$  pentru camerele inferioare.

Cantitățile de aer rămânând constante, în cele două incinte rămân aceleași, iar compresiunea aerului este adiabatică, se pot scrie relațiile:

$$p_1(0) [V_{11}(0) + V_{21}(0)]^n = p_1(t) [V_{11}(t) + V_{21}(t)]^n \quad (2.93)$$

$$p_2(0) [V_{21}(0) + V_{22}(0)]^n = p_2(t) [V_{21}(t) + V_{22}(t)]^n \quad (2.94)$$

rezultând, ținând cont de relațiile (88-92),

$$p_1(0) [2x_0 + x_1(0) + x_2(0)]^n = p_1(t) [2x_0 + x_1(t) + x_2(t)]^n \quad (2.95)$$

și

$$p_2(0) [2L_c - 2H - 2x_0 - x_1(0) - x_2(0)]^n = p_2(t) [2L_c - 2H - 2x_0 - x_1(t) - x_2(t)]^n \quad (2.96)$$

$p_1(0)$ ,  $p_2(0)$  sunt presiunile inițiale la momentul  $t=0$ , pentru care pistoanele, compresorului și ciocanului pneumatic, sunt poziționate la cotele  $x_1(0)$  și  $x_2(0)$ ,  $p_1(t)$ ,  $p_2(t)$  fiind presiunile la momentul  $t$ , pentru care pistoanele, compresorului și ciocanului pneumatic au pozițiile la cotele  $x_1(t)$  și  $x_2(t)$ .

Legea de mișcare  $x_2(t)$  este impusă cinematic prin legea (2.87), iar mișcarea ciocanului  $x_1(t)$  trebuie să respecte legea de echilibru dinamic a ciocanului de masă  $m$

$$m\ddot{x}_1(t) = mg + p_1(t)A_1 - p_2(t)A_2 - p_a(A_1 - A_2) \quad (2.97)$$

unde  $p_a$  este presiunea atmosferică.

Acestei ecuații i se atașează expresiile presiunilor  $p_1(t)$  și  $p_2(t)$  care se determină din relațiile (95) și (96)

$$p_1(t) = p_1(0) \left[ \frac{2x_0 + x_1(t) + x_2(t)}{2x_0 + x_1(0) + x_2(0)} \right]^n \quad (2.98)$$

$$p_2(t) = p_2(0) \left[ \frac{[2L_c - 2H - 2x_0 - x_1(t) - x_2(t)]}{[2L_c - 2H - 2x_0 - x_1(0) - x_2(0)]} \right]^n \quad (2.99)$$

care, împreună cu legea de mișcare

$$x_2(t) = c - e \sin \theta(t) - L \sqrt{1 - \left( \frac{e}{L} \cos \theta(t) \right)^2} \quad (2.87)$$

impusă de cinematica mecanismului bielă, 8, manivelă, 9, formează o ecuație diferențială de ordinul doi, puternic neliniară, care se poate integra pe cale numerică, determinându-se legea de mișcare  $x_1(t)$ .

Se consideră că la valoarea  $c$ , a deplasării  $x(t)$  a ciocanului, acesta ia contact cu semifabricatul 18. În acel moment se dezvoltă forța  $F_{\bar{a}}(t,s)$  impulsivă care depinde atât de timp (într-un interval  $\Delta t$  scurt), cât și de pătrunderea  $s$ .

Prin deformarea semifabricatului se cedează o parte din energia berbecului iar vitezei inițiale de contact  $V_c$ , îi va corespunde o viteză de desprindere  $V_d$ , care, conform relațiilor (2.40), considerând numai o mișcare de translație rezultată a batiului (de masă  $m_b$ ) după desprindere, este:

$$v_d = v_c - \frac{v_c(1+R)}{1 + \frac{m}{m_b}} \quad (2.100)$$

După desprindere viteza  $v_b$  a mișcării berbecului, aproximată de translație are forma:

$$v_b = v_c \frac{1+R}{1 + \frac{m_b}{m}} \quad (2.101)$$

Cele două viteze,  $V_d$  și  $V_b$  sunt considerate ca viteze inițiale pentru studiul mișcărilor post contact ale ciocanului și batiului. Pentru un studiu mai elaborat trebuie să se țină cont de faptul că axa de percuție, care este axa longitudinală a berbecului, nu trece prin centrul de masă al batiului și de aceea trebuie să se țină cont, pe lângă mișcările de translație rezultate, și de mișcările de rotație, mai ales pentru studiul izolării antivibratorii a utilajelor plasate pe planșeele elastice, la etaje superioare, unde cu ușurință se pot transmite vibrații la structura clădirii creând efecte de rezonanțe locale.

Un model dinamic mai complex al mișcării  $x_1(t)$  a ciocanului de masă  $m$  implică și luarea în considerare a efectului de rezistență introdus de distribuitorii rotative 15 și 16, ceea ce face ca presiunile din camerele superioare, de volume  $V_{11}$  și  $V_{12}$  să fie diferite,  $p_{11}$  și  $p_{12}$ , în loc de cea comună  $p_1$ , luată în considerare la modelul simplificat prezentat mai sus. La fel, volumele  $V_{21}$  și  $V_{22}$  din camerele inferioare vor fi diferite,  $p_{21}$  și  $p_{22}$ , în loc de cea comună  $p_2$ .

Distribuitorii 15 și 16 au căi de comunicare și cu atmosfera, astfel încât se poate regla prin pârghiile de comandă cursa mișcării  $x_1(t)$  a ciocanului, atât ca amplitudine cât și ca poziție medie, ceea ce conferă un mare avantaj, în ceea ce privește manevrabilitatea acestui utilaj.

### 2.2.5. Dinamica preselor cu acționare hidraulică

Presele cu acționare hidraulică asigură forțe tehnologice de niveluri foarte înalte:

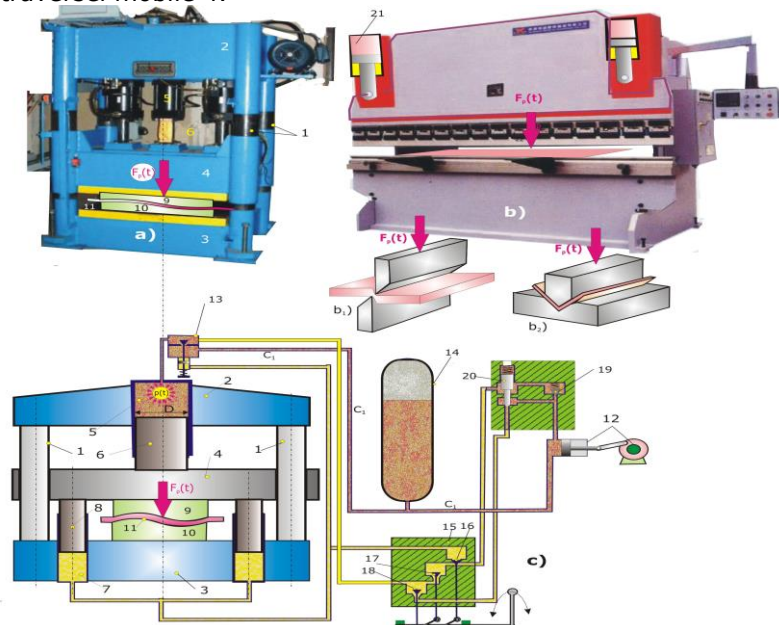
- 1500 - 70000 kN, pentru forjare matrițare
- 400 - 12000 kN, pentru prelucrarea tablelor (ambutisare decupare, taiere, etc.)
- 500- 20000 kN, pentru operații generale de refulare, montare, demontare, sintetizare, etc.)

Principalele soluții constructive sunt cele din fig. 13: a) presa hidraulică cu patru coloane; și b), presa, ( $b_1$ ) de tăiat, și ( $b_2$ ), de profilat tablă.

Presa din fig. 13a) este constituită din patru coloane 1, care închid un cadru robust, prin traversele 2 și 3, capabil de a suporta sarcinile tehnologice de nivelul celor semnalate. Sarcina, sau forța de presare  $F_p(t)$ , se realizează cu ajutorul unui cilindru hidraulic 5 fixat central pe traversa superioară 2, cilindru alimentat, la presiunea  $p(t)$ , prin circuitul din schema c). Plungerul 6, de diametru  $D$ , pe care se dezvoltă forța,  $F_p(t) = \pi D^2/4$ , este prins rigid de traversa mobilă 4 care glisează pe coloanele 1. Pentru o operație de matrițare a unui semifabricat 11 cele două semimatrițe 9 și 10 sunt fixate de traversa mobilă 4 și respectiv de traversa fixă inferioară 3.

Deplasarea traversei mobile 4 se face aproximativ la viteză constantă până la atingerea semifabricatului când începe să se dezvolte forța  $F_p(t)$ , după o lege impusă de procesul de deformare a semifabricatului.

Alimentarea cilindrului 5 se face printr-un circuit hidraulic clasic format din pompa 12 rețeaua de conducte  $c_1$  și ventilul de umplere 13. Pe circuitul rețelei  $c_1$  este intercalat rezervorul hidropneumatic 14, care are rolul atât de rezervor de ulei sub presiunea  $p(t)$ , cât și de filtru al componentelor dinamice pulsatorii ale acesteia provenite de la pompa 12. De asemenea, după cum se va vedea, acesta are rolul de a diminua vârfurile de presiune rezultate la regimurile tranzitorii ce însoțesc pornirile și opririle traversei mobile 4.



**Fig.1.3**-Ilustrarea preselor cu acționare hidraulică.

a) presa universală cu traversa mobilă, b) presă pentru tăierea și profilarea tablelor

c) schema de acționare hidraulică clasică

Desprinderea semifabricatului finit 11 se face prin deplasarea în sus a traversei 4, prin doi cilindri 7 cu plungere 8.

În poziția de repaus a traversei 4 ventilele 17 și 18, ale blocului de comandă 15 sunt deschise, iar ventilul 16 închis, astfel că lichidul de întoarcere, din cilindrii 7, nu poate fi evacuat, iar pompa 8 este scurtcircuitată prin 19, 17 și 18.

La închiderea ventilului 17 și deschiderea ventilelor 16 și 18 lichidul din cilindrii 7, de întoarcere, este evacuat în rezervorul hidropneumatic 14, prin deschiderea supapei 20. Lichidul din rezervorul hidropneumatic 14 pătrunde prin supapa de umplere 13 în cilindrul principal 5, iar pompa continuă să fie scurtcircuitată deoarece supapa 20 este deschisă.

Când se închide supapa 18 și se deschide supapa 17, are loc cursa de presare, alimentarea cilindrului de lucru 5 de la pompa 12, cu lichid de înaltă presiune, fiind realizată prin ventilele 19-17 și camera 5 a cilindrului. Lichidul din cilindrii de întoarcere 7 pătrunde, de asemenea, în cilindrul de lucru 5 prin ventilele 16 și 17. Pentru realizarea cursei de ridicare se deschide ventilul 18 și lichidul poate trece la rezervorul hidropneumatic 14. Lichidul de presiune înaltă de la pompa 12 deschide ventilul 16 și pătrunde în cilindrii de întoarcere 7, întrucât ventilul 17 este închis.

La această schemă de acționare hidraulică viteza de deplasare a traversei mobile 4 este condiționată de debitul pompei, care poate fi constant sau variabil.

O schemă hidraulică asemănătoare este utilizată și la acționarea preseii pentru tăierea și profilarea tablelor, (Fig. 13b, presă cunoscută sub denumirea de Abkant). Deoarece semifabricatul este sub forma unei table de lungime mare, 2-4m, acționarea se face prin doi cilindrii de presiune, cu piston 21, sau cu plunger, în acest ultim caz fiind utilizați încă doi cilindrii cu plunger, pentru cursa de revenire a traversei

La acționarea hidraulică a preselor presiunea  $p(t)$  dezvoltată în circuit este dictată de forța tehnologică  $F_p(t)$ . Astfel, la o operație de tăiere a unei table 1 (fig.14), pe o presă hidraulică, forța tehnologică  $F_p(t)$  durează pe o perioadă,  $T_p = s_0/v_t$ , unde  $v_t$  este viteza de deplasare a traversei mobile 4 de care este prins cușitul superior 2.

Acționarea hidraulică prin cei doi cilindrii pneumatici 7 și tijele 8 se face cu viteză constantă

$$v_t = \frac{Q_1}{A_1} = \frac{Q_2}{A_2} \quad (2.102)$$

unde  $Q_1$  și  $Q_2$  sunt debitele volumetrice,  $Q_1$ , de intrare forțată a lichidului în camerele superioare ale celor doi cilindrii de acționare 7, iar  $Q_2$ , de evacuare a lichidului din camerele inferioare. Cele două camere au ariile secțiunilor transversale:

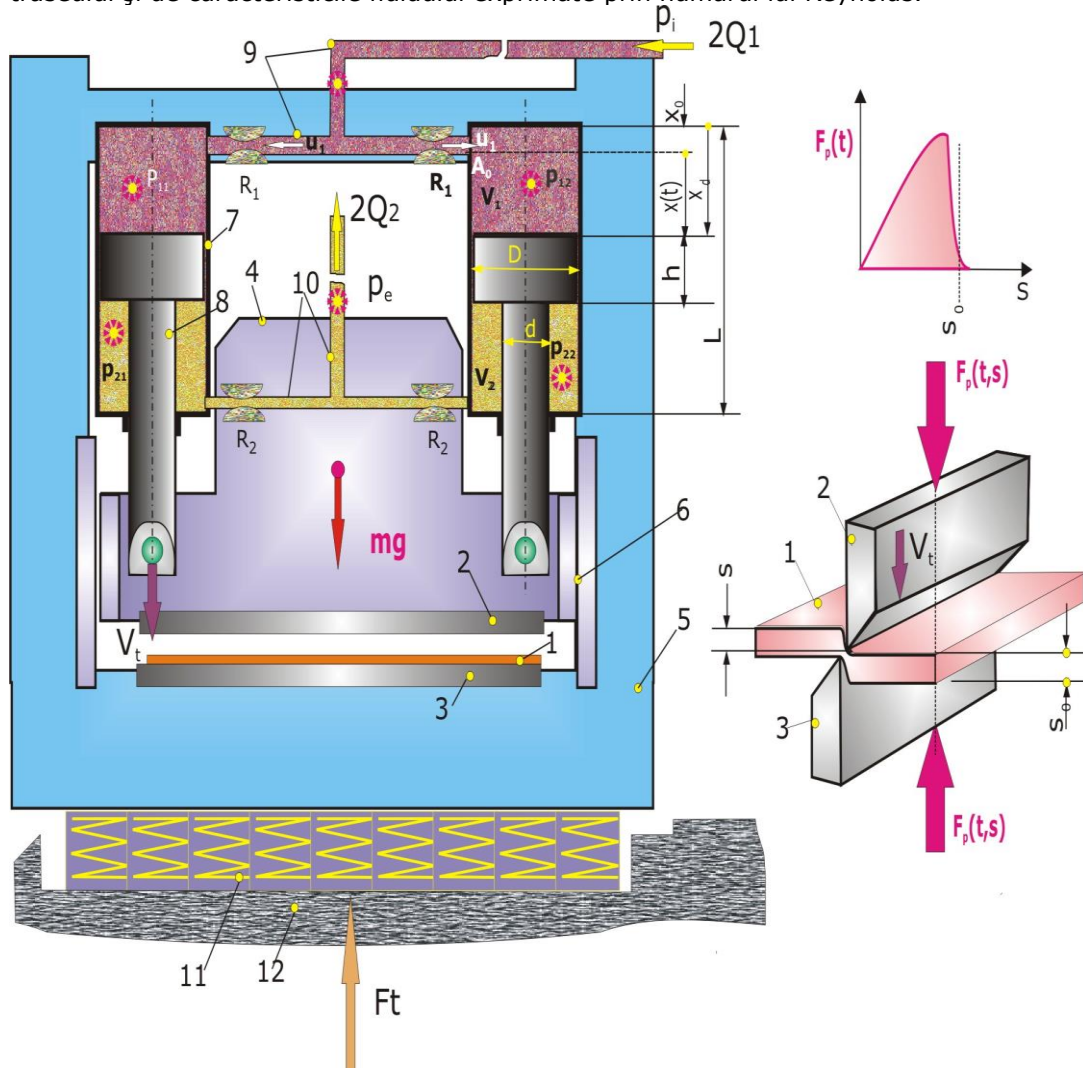
$$A_1 = \frac{\pi}{4} D^2 : A_2 = \frac{\pi}{4} (D^2 - d^2) \quad (2.103)$$

Pe traseul fluidului, de la sursa de debit (pompa) până în camerele superioare ale cilindrului, prin rețeaua de conducte, orificii ale distribuitorilor și ventilelor de trecere, acesta întâmpina un lanț de rezistențe hidraulice. Pentru o curgere liniară a fluidului pe traseul pompei, de debit masic  $2Q_{1m}$ , sursă, de presiune  $p_s$  și camera superioară a cilindrului 7, de presiune  $p_1$ , căderea de presiune a fluidului între cele două extremități ale rețelei are forma:

$$\Delta p = p_1 - p_s = R_1 Q_{1m} \quad (2.104)$$



$R_1$  fiind o constantă, numită rezistență hidraulică, ea depinzând de geometria traseului și de caracteristicile fluidului exprimate prin numărul lui Reynolds.



**Fig.2.14** -Schema unei prese pentru tăierea și profilarea tablelor

Între debitul masic  $Q_{1m}$  și debitul volumetric  $O_1$  există relația  $O_{1m} = \rho Q_1$ , unde  $\rho$  este densitatea fluidului.

Pentru o curgere turbionară printr-o diafragmă cu secțiunea de arie  $A$  și cu debitul volumetric  $Q$ , relația (104) devine una pătratică:

$$\Delta p = \rho \frac{Q^2}{2(\alpha_k A_0)^2} \quad (2.105)$$

$\alpha_k$  este un coeficient de contracție care depinde de geometria deschiderii de trecere și de numărul lui Reynolds, iar  $A_0$  este aria suprafeței transversale de trecere a fluidului.

La o mișcare descendentă a traversei mobile 4, de masă  $m$ , care include și masele celor două pistoane 8 și a cuțitului superior 2, legea de mișcare  $x(t)$  este soluție a ecuației de echilibru dinamic,

$$m\ddot{x}(t) = mg + [p_{11}(t) + p_{12}(t)]A_1 - [p_{21}(t) + p_{22}(t)]A_2 - F_f \quad (2.106)$$

unde  $F_f$  este rezultanta forțelor de frecare, induse de inelele de etanșare ale cilindrilor hidraulici și de ghidajele 6 de alunecare a traversei mobile.

Considerând presiuni echilibrate în camerele celor doi cilindri se poate scrie

$$p_{11} = p_{12} = p_1; \quad p_{21} = p_{22} = p_2 \quad (2.107)$$

astfel că ecuația (105) devine,

$$m\ddot{x}(t) = mg + 2p_1A_1 - 2p_2A_2 - F_f \quad (2.108)$$

Debitul masic  $Q_{1m}$  al fluidului ce intră, cu viteza  $u_1$ , prin orificiul de arie  $A_0$ , în camera superioară a cilindrului

$$Q_{1m} = \rho u_1 A_0 \quad (2.109)$$

se regăsește, conform legii conservării masei fluidului, în variația în timp a volumului camerei:

$$\frac{dV_1}{dt} = \frac{d}{dt}(\rho A_1 x_d) = A_1 \left( \frac{d\rho}{dt} x_d + \rho \frac{dx_d}{dt} \right) = Q_{m1} \quad (2.110)$$

unde  $d\rho/dt \neq 0$ , fluidul real fiind compresibil.

În aceste condiții, din egalitatea relațiilor (109) și (110), se obține:

$$\frac{d\rho}{dt} = \frac{d\rho}{dt} \frac{d\rho}{dp} = \frac{\rho}{A_1 x_d} \left( Q_1 - A_1 \frac{dx_d}{dt} \right) \quad (2.111)$$

care, ținând cont de expresia modulusului de compresiune (*bulk modulus*)

$$\beta = \rho \frac{\partial p}{\partial \rho}; \quad \left[ \frac{N}{m^2} \right] \quad (2.112)$$

și de faptul că lungimea camerei cilindrice  $x_d(t)$  ocupată de fluid este:

$$x_d(t) = x_0 + x(t) \quad (2.113)$$

$x_0$  reprezentând cota în poziția superioară a cilindrului, se obține o formă finală:

$$\dot{p}_1(t) = \frac{\beta}{A_1 [x_0 + x(t)]} [Q_1 - A_1 \dot{x}(t)] \quad (2.114)$$

Modulul de compresiune depinde, similar cu cel de elasticitate, de natura fluidului și se determină pe cale experimentală. Pentru uleiul folosit în instalațiile hidraulice modulul de compresiune este  $\beta = 1,60 \times 10^9 \text{ Nm}^{-2} \text{ [Pa]}$ .

În aceeași manieră se determină derivata în raport cu timpul a presiunii din camera inferioară

$$\dot{p}_2(t) = \frac{\beta}{A_2 [L - 2x_0 - h - x(t)]} [-Q_2 + A_2 \dot{x}(t)] \quad (2.115)$$

Dacă se consideră că pentru ambele circuite, de alimentare și de evacuare, avem o curgere liniară, atunci conform relației (104), debitul volumetric de evacuare din camera inferioară va fi:

$$Q_2 = \frac{1}{\rho} \frac{p_2 - p_e}{R_2} \quad (2.116)$$

unde  $p_e$  este presiunea din recipientul de evacuare iar  $R_2$  rezistența hidraulică a circuitului de evacuare.

Debitul  $Q_1$  se consideră constant, impus de sursa de antrenare, astfel că ecuațiile (108), (114) și (115) formează un sistem de trei ecuații diferențiale

neliniare. Prin integrare se determină legile  $x(t)$ , de deplasare a traversei mobile și ale presiunilor  $p_1(t)$  și  $p_2(t)$ .

Când deplasarea  $x(t)$  ajunge la valoarea  $x_s$  la care cele două cuțite 2 și 3 iau contact cu semifabricatul, se dezvoltă forța de tăiere  $F_p(s)$  care este funcție de pătrunderea  $s$ . Forța  $F_p(s)$  scade brusc în momentul în care  $s=s_g$ ,  $s_g$  fiind grosimea tablei.

Pe această porțiune a cursei  $x_s \rightarrow x_s + s_g$ , făcând schimbarea de variabilă

$$x(t) = x_s + s(t) \quad (2.117)$$

ecuațiile (108) și (114) trec în formele:

$$m\ddot{s}(t) = mg + 2p_1A_1 - 2p_2A_2 - F_f - F_p(s) \quad (2.118)$$

$$\dot{p}_1(t) = \frac{\beta}{A_1[x_0 + x_s]} [Q_1 - A_1\dot{s}(t)] \quad (2.119)$$

$$\dot{p}_2(t) = \frac{\beta}{A_2[L - 2x_0 - h - x_s]} [-Q_2 + A_2\dot{s}(t)] \quad (2.120)$$

Prin integrarea sistemului de ecuații diferențiale (2.118), (2.119) și (2.120) se determină legile  $s(t)$ ,  $p_1(t)$  și  $p_2(t)$  care prezintă variații importante în acest domeniu,  $x_s \rightarrow x_s + s_g$ .

Forța de inerție  $-m\ddot{x}(t)$  este o forță perturbatoare asupra utilajului sprijinit pe elemente de izolare 11 (Fig.2.14) ale căror caracteristici sunt necesare a fi determinate, în sensul reducerii transmisibilității vibrațiilor la structurile înconjurătoare 12.

Variațiile presiunilor  $p_1(t)$  și  $p_2(t)$  dezvoltă unde de presiune care se propagă de-a lungul rețelelor hidraulice, unde care pot provoca efecte de amplificare a presiunilor și implicit a forțelor de inerție.

## Capitolul 3

# SIMULAREA NUMERICĂ A PERTURBAȚIILOR LA UTILAJE TEHNOLOGICE

### 3.1. Considerații generale

Așa cum s-a văzut în primele două capitole prelucrarea la rece și la cald a metalelor se face cu forțe tehnologice de niveluri foarte mari care necesită utilaje robuste, iar constructiv se iau măsuri ca forțele tehnologice să se închidă ca forțe interne prin structura batiului.

Totuși, mecanismele de execuție care trebuie să fie capabile să transmită aceste sarcini au și ele robustețe ceea ce implică antrenarea în mișcare a unor mase importante care dezvoltă forțe de inerție care devin perturbatoare. Nivelurile acestor forțe depind foarte mult de nivelurile de accelerații, acestea putând atinge vârfuri de magnitudini înalte în fazele terminale ale unei operații, cum ar fi faza de rupere bruscă la decuparea unei piese.

De asemenea, un rol important în dinamica mecanismului îl are acționarea mecanismului. Fiind de putere limitată motorul de acționare livrează energie unui element acumulator care o cedează brusc în faza de realizare a operației, mecanismul modificându-și și el brusc parametrii cinematici, viteze și accelerații.

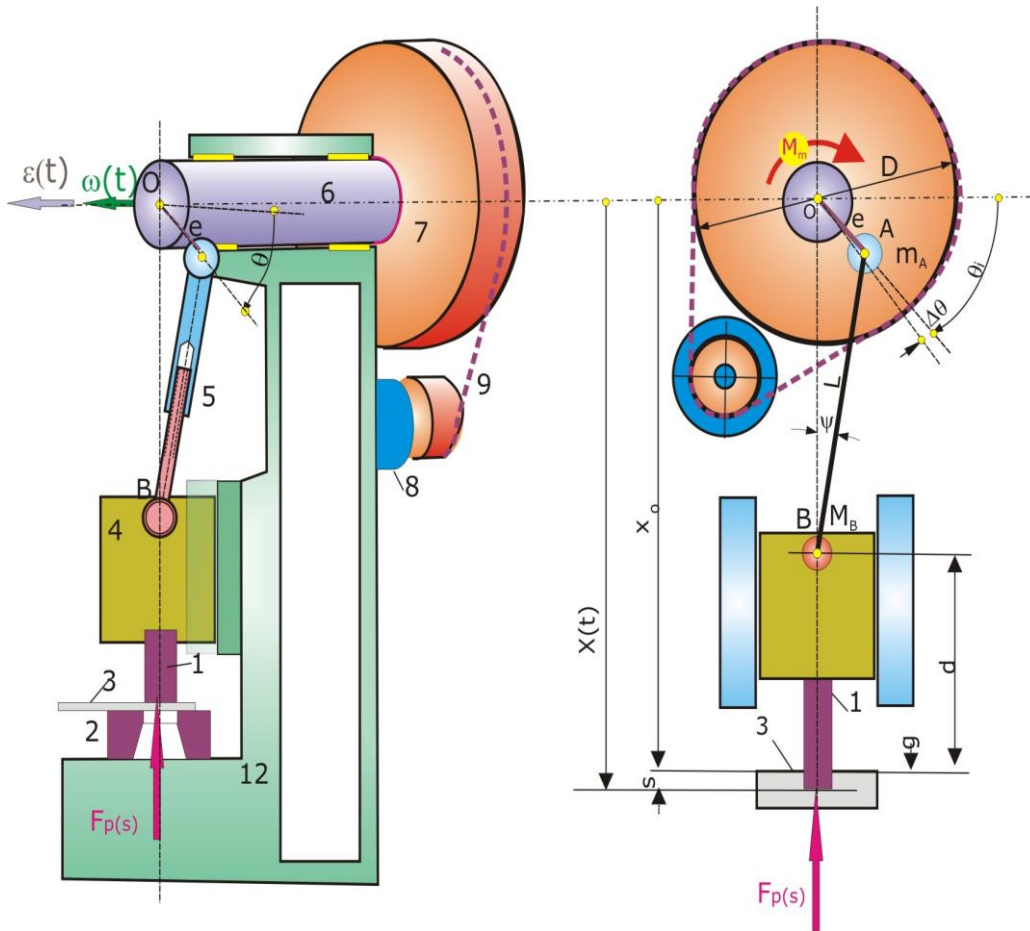
Deci, pentru a putea simula cât mai exact dinamica unui astfel de mecanism și pentru a determina forțele perturbatoare inerțiale care se dezvoltă este necesar ca modelul dinamic să ia în considerare și caracteristicile motorului de antrenare.

### 3.2. Perturbații inerțiale la o presă cu excentric

#### 3.2.1. Dinamica mecanismului de acționare

Ca exemplu pentru simularea numerică se consideră presa cu excentric care a făcut și obiectul investigației experimentale (Cap. 5), utilajul având următoarele date tehnice (Fig.3.1):

- excentric minim  $e=2,5$  mm
- excentric maxim  $e=15$  mm
- lungime bielă  $L=210$  mm
- diametrul volantului  $D=318$  mm
- diametrul fuliei motorului de antrenare  $d=87$  mm
- putere motor asincron trifazic  $P_m=0,75$  kW
- turație motor  $n_m=920$  rot/min



**Fig.3.1** -Ilustrarea mecanismului presei cu excentric

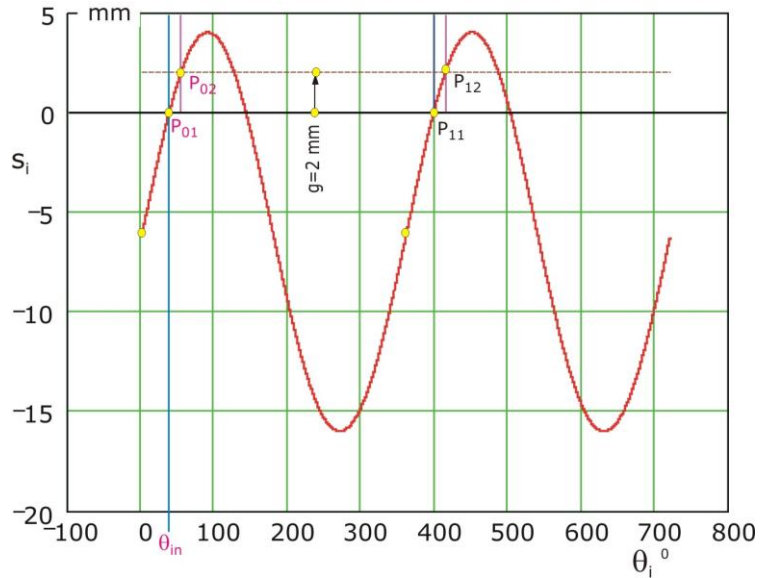
Pentru simularea numerică se consideră un excentric reglat la  $e=10\text{mm}$  pentru o decuparea a unei eclise 3 din tablă de grosime  $g=2\text{mm}$  și  $n=72000$  poziții unghiulare incrementale  $\Delta\theta$  (grade) pe care le ocupă manivela, astfel că la poziția  $i$

$$\theta_i := i \cdot \Delta\theta \cdot \frac{\pi}{180} \text{ pentru } i := 0 \dots n$$

căroră, conform relației (2.6), le corespund  $n$  poziții incrementale ale poansonului

$$s_i := e \cdot \sin(\theta_i) + \sqrt{L^2 - e^2 \cdot (\cos(\theta_i))^2} - x_0 \quad (2.6), (3.1)$$

Reprezentarea grafică a cursei  $s_i$  este dată în Fig.3.2, pe care sunt marcate punctele de contact:  $P_{01}$ , de prim contact al poansonului cu semifabricatul, la  $s_{i01}=0$ ;  $P_{02}$ , de terminare a perforării la  $s_{i01}=g$ , punctele  $P_{11}$  și  $P_{22}$  având aceeași semnificație, dar pentru următorul ciclu de perforare.



**Fig.3.2** -Reprezentarea grafică a deplasării poansonului funcție de unghiul de poziție al manivelei

Pozițiile unghiulare ale celor două puncte se pot determina prin rezolvarea ecuației (3.1) punând \$s\_i=s\_{01}\$ și \$s\_i=s\_{02}\$.

În cazul rezolvării numerice este mai convenabilă utilizarea unei subrutine Mathcad, (după metoda secantei),

$$\begin{array}{l|l}
 i1 := & k \leftarrow -1 \\
 & \text{for } i \in 1.. n-1 \\
 & \quad \text{if } s_i \leq 0 \wedge s_{i+1} \geq 0 \\
 & \quad \quad k \leftarrow k+1 \\
 & \quad \quad i1_k \leftarrow i \\
 & i1
 \end{array}
 \quad
 \begin{array}{l|l}
 i2 := & k \leftarrow -1 \\
 & \text{for } i \in 1.. n-3 \\
 & \quad \text{if } s_i - \Delta s \leq 0 \wedge s_{i+1} - \Delta s \geq 0 \\
 & \quad \quad k \leftarrow k+1 \\
 & \quad \quad i2_k \leftarrow i \\
 & i2
 \end{array}
 \quad (3.2)$$

Soluțiile ecuațiilor (3.2) se dau prin indicii corespunzători ai eşantioanelor din şirului de date \$s\_i\$ (\$i=0, \dots, n\$), care îndeplinesc condițiile impuse.

Se consideră cota \$x\_0=210\$ mm, la care poansonul ia contact cu semifabricatul, contact care se consideră terminat după cursa de pătrundere \$\Delta s=g=2\$mm. Pentru unghiului de poziție \$\theta\_i=i \cdot \Delta \theta\$ s-a ales un increment foarte fin, \$\Delta \theta=0,01\$ grade, cea ce corespunde, pentru secvența de două perioade (Fig.2.2), unui număr \$n=72000\$ de eşantioane. Soluțiile în indici de eşantioane sunt date de vectorii coloană:

$$\begin{array}{l}
 i1 = \begin{pmatrix} 3793 \\ 39793 \end{pmatrix} \quad i2 = \begin{pmatrix} 5392 \\ 41392 \end{pmatrix}
 \end{array}
 \quad (3.3)$$

indicii 3793 și 5392 corespunzând punctelor \$P\_{01}\$ și \$P\_{02}\$, iar indicii 39793 și 41392 corespunzând punctelor \$P\_{11}\$ și \$P\_{12}\$, ale următorului ciclu tehnologic.

Diferența de indici

$$i2 - i1 = \begin{pmatrix} 1599 \\ 1599 \end{pmatrix}
 \quad (3.4)$$

dă numărul egal de eșantioane, care se găsesc în intervalele  $P_{01}$  și  $P_{02}$ , respectiv  $P_{11}$  și  $P_{12}$ , corespunzător contactului poanson-semifabricat.

Cu aceste date se pot calcula valorile, unghiului inițial de contact  $\theta_{in} = \Delta\theta \cdot 3793 = 37,93^\circ$  și ale benzii unghiulare  $D\theta = \Delta\theta \cdot 1599 = 15,99^\circ$ , pe care se menține contactul și se dezvoltă forța de decupare  $F_p(s)$ .

Pentru scrierea echilibrului dinamic al mecanismului se utilizează ecuația Lagrange:

$$\frac{d}{dt} \left( \frac{\partial E_C}{\partial \dot{\theta}} \right) - \frac{\partial E_C}{\partial \theta} = Q_m - Q_r \quad (3.5)$$

Energia cinetică  $E_C$  a întregului mecanism se compune din suma

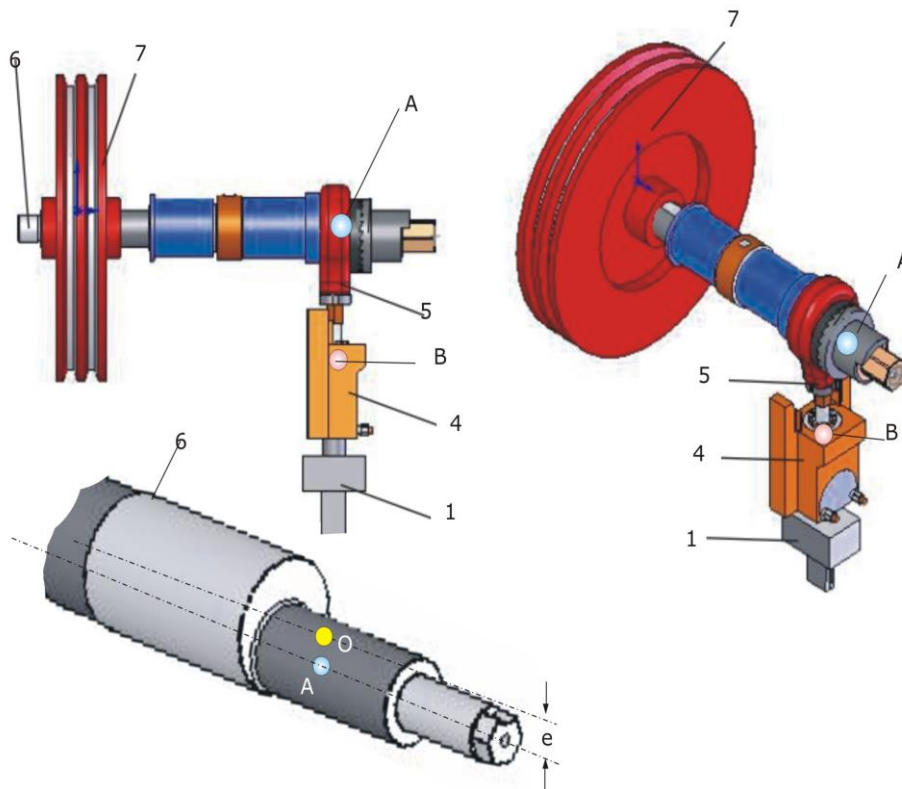
$$E_C = E_{CV} + E_{CA} + E_{CB} \quad (3.6)$$

Energia cinetică a volantului este:

$$E_{CV} = \frac{1}{2} J \dot{\theta}^2 \quad (3.7)$$

unde momentul de inerție  $J$  în raport axa de rotație a arborelui de antrenare 6 (Fig.3.1 și Fig.3.3) cumulează momentele de inerție  $J_v$  al volantului 7 și  $J_a$  al arborelui 6.

$$J = J_v + J_a \quad (3.8)$$



**Fig.3.3** -Ansamblul mecanismului presei cu excentric

Cele două momente de inerție au fost determinate prin relevarea pieselor componente ale ansamblului presei utilizând mediul de programare Solid Works,

care evaluează, în mod automat, masele, centrele de masă și momentele de inerție. În tabelul din Anexa 3 sunt prezentate valorile acestor mărimi pentru întreg ansamblul preseii.

Astfel, masele arborelui 6 și volantului 7 au valorile  $m_a=5,7\text{kg}$  și respectiv  $m_v=32,9\text{kg}$ , iar momentele de inerție  $J_a=0,00162\text{kgm}^2$  și respectiv  $J_v=0,472\text{kgm}^2$ .

Piese componente, prin care se realizează biela de lungime  $L$ , au masele concentrate înspre cele două articulații: A, a butonului de manivelă de excentricitate  $e$  și B, a butonului bielei prin care aceasta este articulată pe berbecul 4

Deci, punctului A i se atașează masele:

$$\mathbf{m}_A = 0.855(\text{poz.3}) + 0.671(\text{poz.4}) + 0.741(\text{poz.5}) + 0.771(\text{poz.6}) + 0.208(\text{poz.7}) + 1.63(\text{poz.6}) = \mathbf{4,867 \text{ kg}}$$

iar punctului B i se atașează masele:

$$\mathbf{m}_B = 0.211(\text{poz.10}) + 0.069(\text{poz.11}) + 0.13(\text{poz.12}) + 1.52(\text{poz.13}) + 3.75(\text{poz.14}) + 0.4(\text{poz.15}) + 0.108(\text{poz.16}) + 0.0536(\text{poz.17}) = \mathbf{6,242 \text{ kg}}$$

Energiile cinetice corespunzătoare celor două mase concentrate sunt

$$E_{CA} = \frac{1}{2} m_A \cdot e^2 \cdot \dot{\theta}^2 \quad (3.9)$$

traectoria punctului A fiind una circulară, iar

$$E_{CB} = \frac{1}{2} m_B \cdot \dot{s}^2 \quad (3.10)$$

traectoria lui B fiind una liniară de lege

$$s(t) = x(t) - x_0 = e(\sin\theta(t) - \sin\theta_0) + L(\cos\psi(t) - \cos\psi_0) \quad (2.8)$$

rezultând viteza de pătrundere

$$\dot{s} = \dot{\theta}e\cos\theta - \dot{\psi}L\sin\psi \quad (2.9)$$

unde  $\dot{\theta}(t) = \omega(t)$  este viteza unghiulară instantanee a arborelui principal iar

$$\dot{\psi} = -\dot{\theta} \frac{e \sin\theta}{L \cos\psi} \quad (2.10)$$

și

$$\psi = \arcsin\left(\frac{e}{L} \cos\theta\right) \quad (3.10)$$

Va rezulta:

$$E_{CB} = \frac{1}{2} m_B e^2 \cdot \dot{\theta}^2 [\cos\theta + \sin\theta \tan\psi]^2 \quad (3.11)$$

și în continuare, prin derivare parțială în raport cu  $\dot{\theta}$

$$\frac{\partial E_C}{\partial \dot{\theta}} = (J + m_A e^2) \cdot \dot{\theta} + m_B e^2 \cdot \dot{\theta} [\cos\theta + \sin\theta \cdot \tan\psi]^2 \quad (3.12)$$

apoi, printr-o derivare în raport cu timpul, se obține primul termen al ecuației (3.5):

$$\begin{aligned} \frac{d}{dt} \left( \frac{\partial E_C}{\partial \dot{\theta}} \right) &= (J + m_A e^2) \cdot \ddot{\theta} + m_B e^2 \cdot \ddot{\theta} [\cos\theta + \sin\theta \tan\psi]^2 + \\ &+ 2m_B e^2 \cdot \dot{\theta}^2 \left[ (\cos\theta + \sin\theta \tan\psi) \left[ -\sin\theta + \cos\theta \tan\psi + \sin\theta \frac{1}{\cos^2\psi} \right] \right] \end{aligned} \quad (3.13)$$

al doilea termen fiind:

$$\frac{\partial E_C}{\partial \theta} = 0 \quad (3.14)$$



### 3.2.2. Caracteristicile motorului de antrenare reduse la axa de rotație

Primul termen din partea dreaptă a ecuației (3.5) reprezintă forțele generalizate motoare și rezistente. Forțele motoare sunt date prin cuplul motorului electric de antrenare 8 (Fig.3.8), transmis prin cureaua 9 volantului 7, momentul  $M_m$  redus la axa arborelui de antrenare 6 fiind

$$M_m = \frac{P_m}{\omega_v} \quad (3.15)$$

unde  $P_m=750\text{W}$  ( $\text{N}\cdot\text{m/s}$ ) este puterea motorului de antrenare (valoare indicată pe tabla motorului), iar  $\omega_v$  este viteza unghiulară a volantului care, prin intermediul raportului de transmisie  $d/D$ , de multiplicare, este

$$\omega_v = \frac{\pi}{30} \frac{d}{D} n_m \quad (3.16)$$

$n_m=920$  rot/min fiind turația motorului electric (valoare indicată pe tabla motorului electric).

Motorul electric de antrenare, fiind o mașină de inducție cu rotor în scurtcircuit, prezintă, la o încărcare oarecare, alunecarea:

$$\lambda = \frac{\omega_v - \omega}{\omega_v} = \frac{n_m - n}{n_m} \quad (3.17)$$

a cărei valoare critică este cuprinsă între 1% și 2%.

Valoarea critică a alunecării  $\lambda_c$  corespunde momentului maxim  $M_c$  dezvoltat de motor la turația  $n_c$

$$n_c = (1 - \lambda_c) n_m \quad (3.18)$$

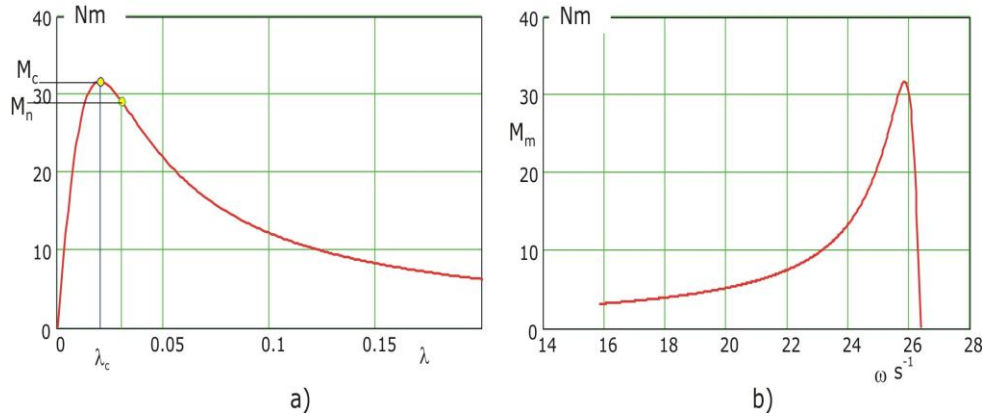
Raportul dintre momentul  $M_m$  la alunecarea  $\lambda$  și momentul maxim este aproximat prin relația

$$\frac{M_m}{M_c} \approx \frac{2}{\frac{\lambda}{\lambda_c} + \frac{\lambda_c}{\lambda}} \quad (3.19)$$

care, ținând cont de (3.17) și (3.18), devine

$$\frac{M_m}{M_c} \approx \frac{2}{\frac{\omega_v - \omega}{\omega_v - \omega_c} + \frac{\omega_v - \omega_c}{\omega_v - \omega}} \quad (3.20)$$

Reprezentările grafice ale celor două relații sunt date în Fig.3.4a și Fig.3.4b pentru:  $M_c=31.651$  Nm;  $\omega_v=26.358$  s<sup>-1</sup>;  $\omega_c=25.831$  s<sup>-1</sup>



**Fig.3.4** -Diagramele caracteristice ale motorului de antrenare reduce la axa de rotație  
 a) caracteristica moment \$M\_m\$-alunecare \$\lambda\$  
 b) caracteristica moment \$M\_m\$-viteză unghiulară \$\omega\$

Pentru ecuația diferențială (3.5) momentul motor se scrie acum, după (3.20),

$$M_m = \frac{2M_c}{\frac{\omega_v - \theta}{\omega_v - \omega_c} + \frac{\omega_v - \omega_c}{\omega_v - \theta}} \quad (3.21)$$

### 3.2.3. Carcterul impulsiv al forței tehnologice

Un al doilea termen din membrul drept corespunde momentului rezistent al forței tehnologice \$F\_p(s)\$. Lucrul mecanic virtual al acestei forțe este

$$\delta L_{F_p(s)} = -F_p(s) \delta s \quad (3.22)$$

unde din (2.8)

$$\delta s = e \cos \theta \delta \theta - L \sin \psi \delta \psi \quad (3.23)$$

și

$$\delta \psi = -\frac{e \sin \theta}{L \cos \psi} \delta \theta \quad (3.24)$$

$$\delta s = e(\cos \theta + \sin \theta \tan \psi) \delta \theta \quad (3.25)$$

$$\sin \psi = \frac{e}{L} \cos \theta : \quad \cos \psi = \sqrt{1 - \left(\frac{e}{L} \cos \theta\right)^2} \quad (3.26)$$

cu ajutorul cărora se determină momentul rezistent generalizat

$$M_{rez}(\theta) = \frac{\delta L_{F_p(\theta)}}{\delta \theta} = -F_p(\theta) e \cos \theta \left[ 1 + \frac{\frac{e}{L} \sin \theta}{\sqrt{1 - \left(\frac{e}{L} \cos \theta\right)^2}} \right] \quad (3.27)$$

Contactul poansonului cu semifabricatul se face la poziția unghiulară a manivelei \$\theta\_{in} = \Delta \theta \cdot 3793 = 37,93^\circ\$ și durează în banda \$D\theta = \Delta \theta \cdot 1599 = 15,99^\circ\$, În această bandă, pe un număr de 1599 eșantioane se desfășoară forța impulsivă care are o valoare maximă \$F\_{pmax} = 20000\$ N, determinată experimental.

$$F_p(\theta) = F_{pmax} h(\theta) \quad (3.28)$$

Pe baza celor  $n_p=1599$  eșantioane se poate identifica o funcție de forță

$$h_1(\theta) = a\theta^2 + b\theta \quad (3.29)$$

pentru o primă aproximare, de exemplu, una parabolică, cu parametrii,

$$a = -4 \frac{1}{n_p^2(d\theta)^2}; \quad b = 4 \frac{1}{n_p \cdot d\theta}; \quad d\theta_{rad} = \frac{\pi}{180} \Delta\theta_{grade} \quad (3.29)$$

ilustrarea grafică a funcției  $h(\theta)$  fiind dată în Fig.3.5.

La un regim automat de lucru al presei următoarea forță impulsivă se repetă cu un ciclu de  $2\pi$  și mai departe din  $2\pi$  în  $2\pi$ , astfel că extinderea funcției de forță se poate face pentru trei cicluri, utilizând următoarele secvențe:

$\theta := 0, d\theta .. 6 \cdot \pi$  extindere pe intervalul 0 la  $6\pi$

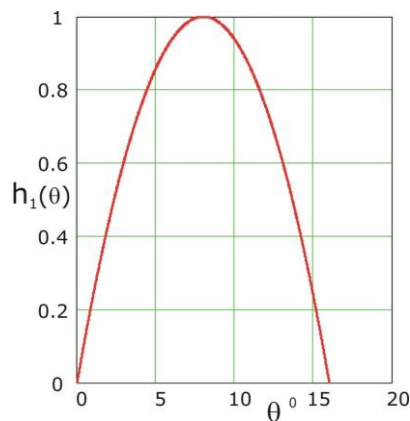
$w1(\theta) := \text{if}(\theta \leq n_p \cdot d\theta, h(\theta), 0)$

$w2(\theta) := \text{if}[\pi \cdot 2 \leq \theta \leq 2 \cdot \pi + n_p \cdot d\theta, a \cdot (\theta - 2 \cdot \pi)^2 + b \cdot (\theta - 2 \cdot \pi), 0]$

$w3(\theta) := \text{if}[\pi \cdot 4 \leq \theta \leq 4 \cdot \pi + n_p \cdot d\theta, a \cdot (\theta - 4 \cdot \pi)^2 + b \cdot (\theta - 4 \cdot \pi), 0]$

după care urmează asamblarea

$h(\theta) := w1(\theta) + w2(\theta) + w3(\theta)$



**Fig.3.5**-Ilustrarea funcției de forță  $h_1(\theta)$

Deoarece în funcția  $h(\theta)$   $\theta=0$ , este definit la începutul contactului poanson-semifabricat ce corespunde la  $\theta_{in}=\Delta\theta \cdot 3793=37,93^\circ$  atunci și cealaltă funcție din (3.27) trebuie adusă la aceeași bază  $\theta \rightarrow \theta + \theta_{in}$  astfel că se poate scrie

$$f_p(\theta) = Fp_{max} e \cos(\theta + \theta_{in}) \left[ 1 + \frac{\frac{e}{L} \sin(\theta + \theta_{in})}{\sqrt{1 - \left(\frac{e}{L} \cos(\theta + \theta_{in})\right)^2}} \right] \quad (3.30)$$

expresia finală a momentului rezistent (3.27) fiind:

$$M_{rez}(\theta) = h(\theta) f_p(\theta) \quad (3.31)$$

Reprezentarea grafică a celor două funcții  $h(\theta)$  și  $f_p(\theta)$  este dată în Fig.3.6.

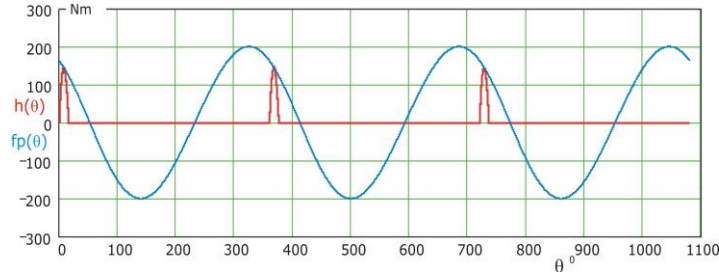


Fig.3.6 -Ilustrarea funcțiilor  $h(\theta)$  și  $fp(\theta)$

### 3.2.4. Variația în timp a vitezei și accelerației unghiulare în funcție de grosimea semifabricatului

Ecuția diferențială (3.5) poate fi scrisă acum, într-o formă finală, făcând schimbarea de variabilă

$$\varphi = \theta + \theta_{in} \rightarrow \dot{\varphi} = \dot{\theta} = \omega; \quad \ddot{\varphi} = \ddot{\theta} = \varepsilon \quad (3.32)$$

$$\ddot{\varphi} = \frac{1}{\left[ J + m_A e^2 + m_B e^2 \left( \cos \varphi + \frac{e}{2L} \frac{\sin 2\varphi}{\sqrt{1 - \left( \frac{e}{L} \cos \varphi \right)^2}} \right)^2 \right]^{\times}} \times \left[ \frac{2M_c}{\frac{\omega_V - \dot{\varphi}}{\omega_V - \omega_C} + \frac{\omega_V - \omega_C}{\omega_V - \dot{\varphi}}} - Fp_{max} e \cos \varphi \left[ 1 + \frac{\frac{e}{L} \sin \varphi}{\sqrt{1 - \left( \frac{e}{L} \cos \varphi \right)^2}} \right] \right] \times \left[ -2m_B e^2 \left( \cos \varphi + \frac{e}{2L} \frac{\sin 2\varphi}{\sqrt{1 - \left( \frac{e}{L} \cos \varphi \right)^2}} \right)^{\times} \right] \times \left[ -\sin \varphi + \frac{e}{L} \frac{\cos^2 \varphi}{\sqrt{1 - \left( \frac{e}{L} \cos \varphi \right)^2}} + \frac{\sin \varphi}{1 - \left( \frac{e}{L} \cos \varphi \right)^2} \right] \cdot \dot{\varphi}^2$$

(3.33)

care este o ecuație diferențială neliniară care poate fi rezolvată numai pe cale numerică.

S-a utilizat metoda Runge –Kutta de ordinul 4, a cărei rezolvare în mediul de programare Mathcad urmează calea:

- Se formează funcția matricială coloană

$$D(\varphi, t) := \begin{bmatrix} \varphi_1 \\ \text{-----} \\ 1 \\ \left[ J + m_A e^2 + m_B e^2 \left( \cos \varphi_0 + \frac{e}{2L} \frac{\sin 2\varphi_0}{\sqrt{1 - \left(\frac{e}{L} \cos \varphi_0\right)^2}} \right)^2 \right]^\times \\ \left[ \frac{2M_C}{\frac{\omega_V - \varphi_1}{\omega_V - \omega_C} + \frac{\omega_V - \omega_C}{\omega_V - \varphi_1}} - F p_{max} e \cos \varphi_0 \left( 1 + \frac{\frac{e}{L} \sin \varphi_0}{\sqrt{1 - \left(\frac{e}{L} \cos \varphi_0\right)^2}} \right) \right] \\ \times \left[ -2m_B e^2 \left( \cos \varphi_0 + \frac{e}{2L} \frac{\sin 2\varphi_0}{\sqrt{1 - \left(\frac{e}{L} \cos \varphi_0\right)^2}} \right) \right]^\times \\ \left[ -\sin \varphi_0 + \frac{e}{L} \frac{\cos^2 \varphi_0}{\sqrt{1 - \left(\frac{e}{L} \cos \varphi_0\right)^2}} + \frac{\sin \varphi_0}{1 - \left(\frac{e}{L} \cos \varphi_0\right)^2} \right] \cdot \varphi_1^2 \end{bmatrix} \quad (3.34)$$

- se formează un vector al condițiilor inițiale  $\varphi_{init} = \begin{Bmatrix} 0 \\ \omega_V \end{Bmatrix}$  reprezentând, la momentul inițial t=0, poziția unghiulară  $\varphi=0$  și viteza unghiulară a volantului  $\omega_V=26,358$  rad/s
- se dau N=10000 numărul de eșantioane pe intervalul de timp 0 la T=1 s în care se face integrarea ecuației
- acestea constituie date de intrare în subrutina Mathcad  $sol := rkfixed(\varphi_{init}, 0, T, N, D)$
- sol reprezintă o matrice având trei coloane

sol:=

	t s	$\varphi(t)$ rad	$\omega(t)$ rad/s
	0	1	2
0	0	0	26.35776
1	0.0001	0.00264	26.35713
2	0.0002	0.00527	26.35526
3	0.0003	0.00791	26.35221
4	0.0004	0.01054	26.34804
5	0.0005	0.01318	26.34281
6	0.0006	0.01581	26.33657
7	0.0007	0.01844	26.32938
8	0.0008	0.02108	26.32129
9	0.0009	0.02371	26.31235
N	1.000	26.19104	26.358

Prima coloană, 0, conține șirul valorilor timpului  $t$ , a doua, 1, conține valorile poziției unghiulare a manivelei la momentul  $t$ , iar în coloana treia, 2, se dau valorile vitezei unghiulare  $\omega(t)$ .

Cu aceste date se pot calcula valorile accelerației unghiulare,

$$\varepsilon_j = \frac{\omega_{j+1} - \omega_j}{t_{j+1} - t_j}; \quad (j = 0, \dots, N-1) \quad (3.36)$$

În Fig.3.7.1 și Fig.3.7.2 sunt reprezentate grafic legile de variație ale vitezei unghiulare  $\omega(t)$  și respectiv ale accelerației unghiulare  $\varepsilon(t)$ .

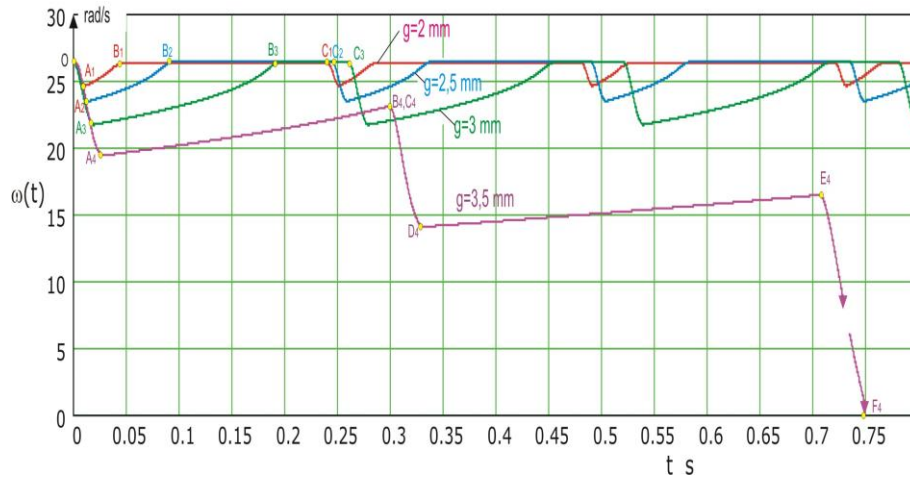
La momentul inițial  $t=0$ , când poansonul ia primul contact cu semifabricatul, viteza unghiulară a volantului este  $\omega=26,358$  rad/s. Pe parcursul contactului viteza unghiulară scade pe ramura:

- $OA_1$ , pentru grosimea semifabricatului  $g=2$  mm;
- $OA_2$ , pentru grosimea semifabricatului  $g=2,5$  mm;
- $OA_3$ , pentru grosimea semifabricatului  $g=3$  mm;
- $OA_4$ , pentru grosimea semifabricatului  $g=3,5$  mm;

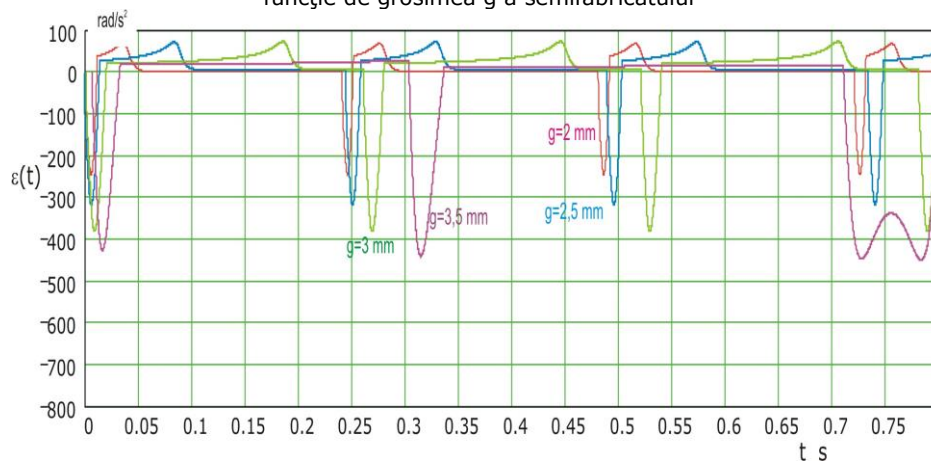
După decupare, când forța  $F_p(t)$  scade la zero, viteza unghiulară crește până la valoarea nominală  $\omega=26,358$  rad/s (punctele  $B_1$ ,  $B_2$  și  $B_3$ ) unde se menține constantă până la începerea unui nou ciclu (punctele  $C_1$ ,  $C_2$ , și  $C_3$ ).

Pentru decuparea semifabricatului de grosime  $g=3,5$  mm, după prima decupare viteza unghiulară nu mai atinge valoarea nominală până la noul ciclu de decupare, punctele  $B_4$  și  $C_4$  confundându-se. Energia cinetică a volantului fiind diminuată după primul ciclu, ( $OA_4$ ), are rezerve pentru realizarea celui de al doilea ciclu ( $C_4D_4$ ), dar nu poate fi cumulată suficientă energie pentru realizarea celui de al treilea ciclu, care începe în punctul  $E_4$  unde viteza unghiulară a volantului scade la o valoare de 16,5 rad/s, cea ce înseamnă că energia cinetică scade în proporție de  $(16,5/26,358)^2 \rightarrow 39,2\%$ , energie care nu mai este suficientă pentru acoperirea lucrului mecanic de decupare a semifabricatului, volantul oprindu-se (punctul  $F_4$ ).

Aceleași puncte caracteristice se pot găsi și pe diagramele de variație ale accelerației unghiulare  $\varepsilon(t)$  (Fig.3.7.2), remarcându-se aici formele impulsive pe durata contactului.



**Fig. 3.7.1** -Variația în timp a vitezei unghiulare  $\omega(t)$  a volantului presei cu excentric, funcție de grosimea  $g$  a semifabricatului

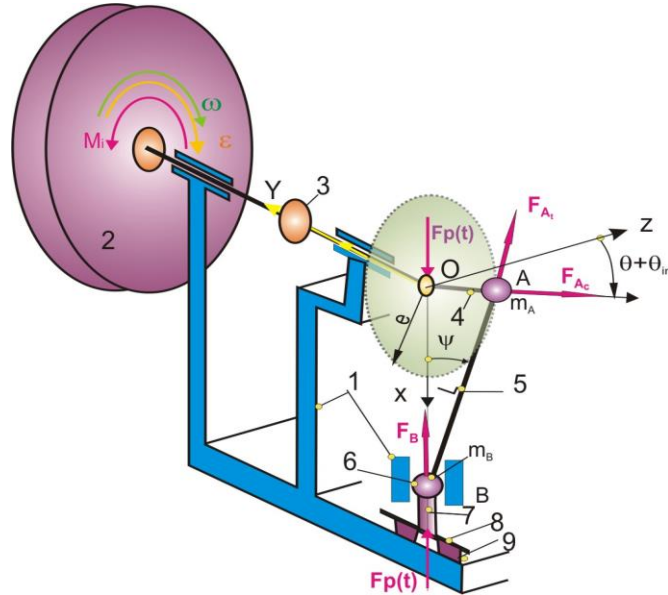


**Fig.3.7.2** -Variația în timp accelerației unghiulare  $\varepsilon(t)$  a volantului presei cu excentric, funcție de grosimea  $g$  a semifabricatului

O altă constatare este legată de faptul că perioada dintre două decupări succesive se lărgeste pe măsura creșterii grosimii  $g$  a semifabricatului, deci a sarcinii.

### 3.2.5. Calculul perturbațiilor inerțiale induse de mișcările mecanismelor

Forța tehnologică  $F_p(t)$  care se dezvoltă în timpul decupării este o forță interioară sistemului mecanic (Fig.3.8) format din batiul 1, volantul 2, arborele 3, manivela 4, biela 5, berbecul 6, poansonul 7, semifabricatul 8 și matrița 9. Această forță este echilibrată de o forță coliniară, egală și de sens contrar cu aceasta, aplicată în punctul 0 al axei arborelui de antrenare.



**Fig.3.8** -Ilustrarea perturbațiilor inerțiale la o presă cu excentric

Considerând un model cu mase concentrate în punctele A și B, de mase  $m_A$  și  $m_B$ , forțele de inerție care acționează asupra punctului A, care se mișcă pe o traiectorie circulară de rază  $e$ , sunt:

- forța centrifugă, de modul

$$F_{Ac}(t) = m_A e \omega^2(t); \quad (3.37)$$

- forța de inerție tangențială

$$F_{At}(t) = -m_A e \varepsilon(t) \quad (3.38)$$

Reduse la sistemul de axe OXYZ se obțin componentele:

$$F_{Ax}(t) = m_A e \left[ (\omega(t))^2 \sin(\theta + \theta_{in}) - \varepsilon(t) \cos(\theta + \theta_{in}) \right] \quad (3.39)$$

$$F_{Az}(t) = m_A e \left[ (\omega(t))^2 \cos(\theta + \theta_{in}) + \varepsilon(t) \sin(\theta + \theta_{in}) \right] \quad (3.40)$$

și momentul în raport cu axa OY:

$$M_{Ay}(t) = -m_A e^2 \varepsilon(t) \quad (3.41)$$

Acesta se cumulează la momentul forțelor de inerție a volantului

$$M_{Vy} = -J \varepsilon(t) \quad (3.42)$$

rezultând momentul total al forțelor de inerție

$$M_i(t) = -(J + m_A e^2) \cdot \varepsilon(t) \quad (3.43)$$

Punctul B, unde este considerată concentrată masa  $m_B=6,242$  kg, execută o mișcare de translație după axa Ox, asupra lui dezvoltându-se forța de inerție

$$F_{Bx}(t) = -m_B \ddot{x}_B(t) \quad (3.44)$$

legea de variație a accelerației având forma (2.11)

$$\ddot{x}_{Bt} = \varepsilon(t) e \cos \theta_i(t) - \dot{\psi}(t) L \sin \psi(t) - (\omega(t))^2 e \sin \theta_i(t) - (\dot{\psi}(t))^2 L \cos \psi(t) \quad (3.45)$$

unde s-a notat,



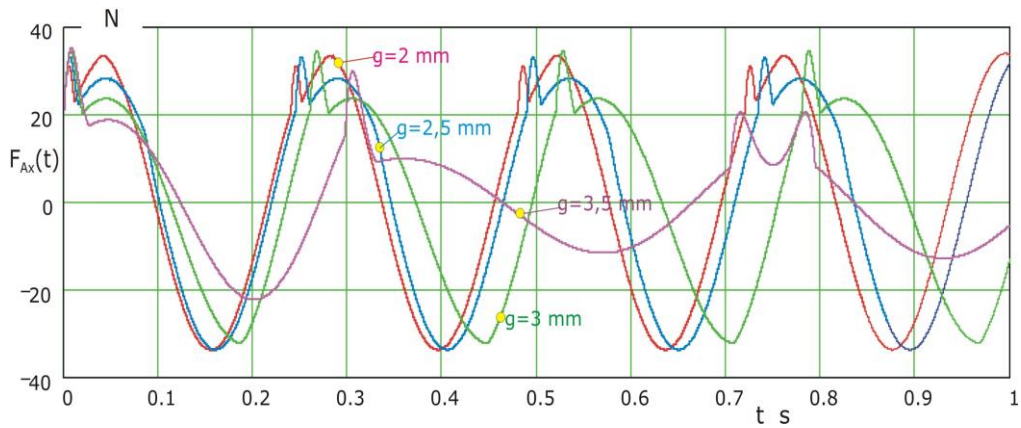
$$\theta_i = \theta + \theta_{in} \tag{3.46}$$

iar din capitolul 2,

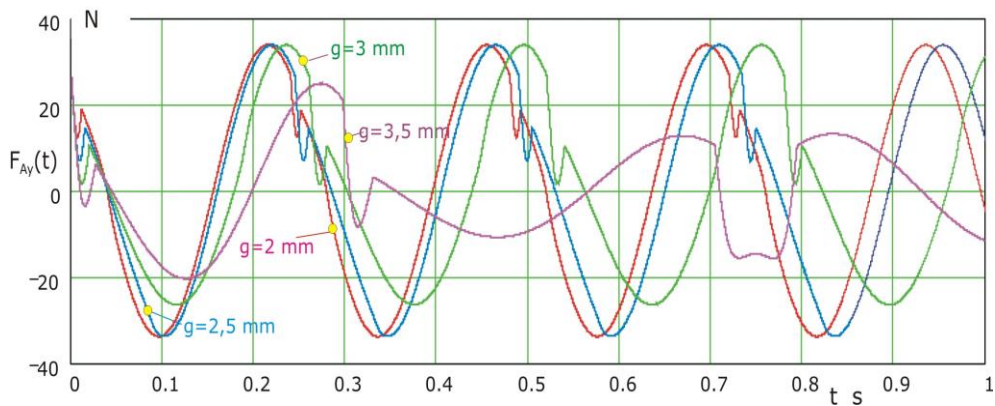
$$\begin{aligned} \sin\psi(t) &= \frac{e}{L} \cos\theta_i(t); & \cos\psi(t) &= \sqrt{1 - \left(\frac{e}{L} \cos\theta_i(t)\right)^2} \\ \dot{\psi}(t) &= -\omega(t) \frac{e \sin\theta_i(t)}{L \cos\psi(t)} & & (2.5,10,12) \\ \ddot{\psi}(t) &= (\dot{\psi}(t))^2 \operatorname{tg}\psi(t) - \frac{1}{\cos\psi(t)} \frac{e}{L} \left( \ddot{\theta}(t) \sin\theta_i(t) + (\dot{\theta}(t))^2 \cos\theta_i(t) \right) \end{aligned}$$

Reprezentările grafice ale celor trei forțe și momente perturbatoare sunt date în Fig.3.9.1,2,3,4. La toate se pot observa discontinuități cauzate de forțele impulsive de decupare, forțe interioare ale ansamblului utilajului.

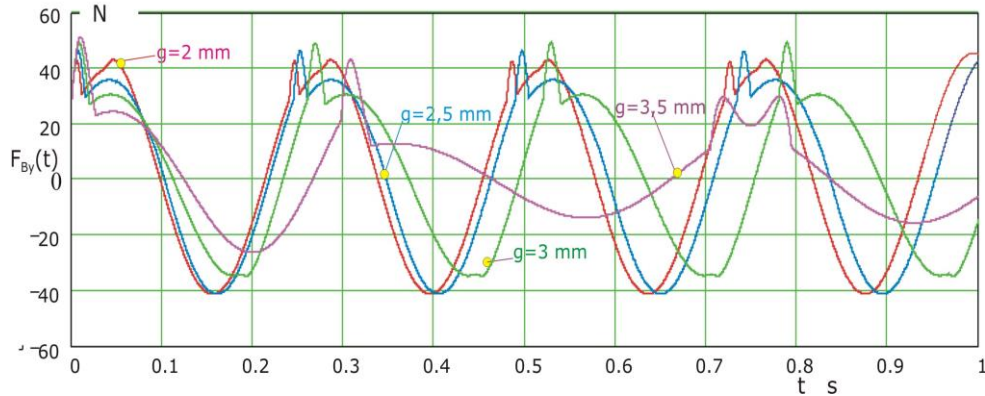
Acestor perturbații li se adaugă, în cazul mișcărilor vibratorii ale ansamblului presei, și perturbații inerțiale, provenite din compunerea mișcărilor vibratorii, ca mișcări de transport, cu mișcările lanțului cinematic al mecanismului cu excentric, incluzând în special volantul.



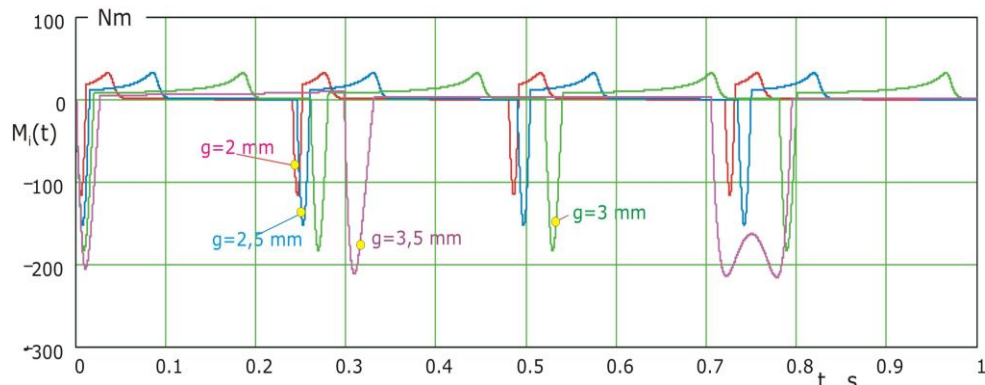
**Fig.3.9.1** -Variația în timp a forței perturbatoare  $F_{Ax}(t)$  funcție de grosimea  $g$  a semifabricatului



**Fig.3.9.2** -Variația în timp a forței perturbatoare  $F_{Ay}(t)$  funcție de grosimea  $g$  a semifabricatului



**Fig.3.9.3** -Variația în timp a forței perturbatoare  $F_{By}(t)$  funcție de grosimea  $g$  a semifabricatului



**Fig.3.9.4**-Variația în timp a momentului perturbator  $M_i(t)$ , funcție de grosimea  $g$  a semifabricatului.

Astfel, pentru a diminua transmiterea vibrațiilor la structurile înconjurătoare, cum ar fi planșeul unei incinte, situate la un nivel superior al clădirii unde este amplasată presa 1, (Fig.3.10), aceasta se așează cu talpa inferioară 2, pe elemente izolatoare 3, care micșorează transmisibilitatea vibrațiilor la planșeul 4 al clădirii.

Batiurile utilajelor tehnologice sunt corpuri masive care sub acțiunea perturbațiilor execută mișcări de corp rigid, astfel că mișcarea structurii utilajului este definită prin trei legi de translație  $x_G(t)$ ,  $y_G(t)$  și  $z_G(t)$  ale centrului de masă  $G$  al întregii structuri și prin trei legi de rotație  $\varphi_x(t)$ ,  $\varphi_y(t)$  și  $\varphi_z(t)$ , în jurul unui sistem de axe  $Gxyz$ , solidare cu structura.

Astfel, poziția unui punct  $P(x,y,z,t)$  curent al structurii utilajului, de coordonate  $x,y,z$ , (referință sistemul  $Gxyz$ ), la momentul  $t$ , față de un sistem de axe fixe  $O_0X_0Y_0Z_0$ , este dată de legea:

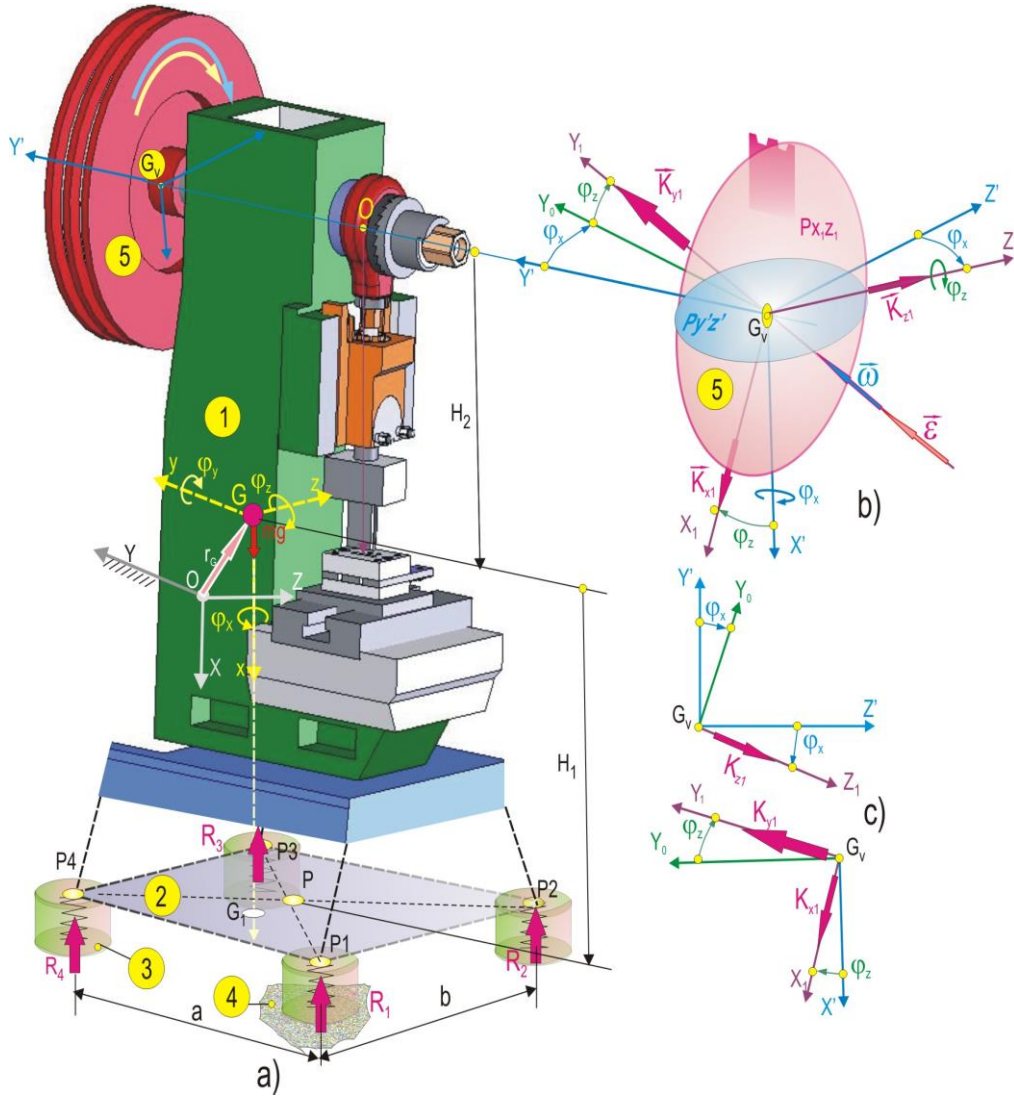
$$\vec{r}_p = \vec{r}_G + \vec{r} \quad (3.47)$$

care trecută sub formă algebrică matriceală, devine

$$\begin{Bmatrix} X_p \\ Y_p \\ Z_p \end{Bmatrix} = \begin{Bmatrix} x_G \\ y_G \\ z_G \end{Bmatrix} + [T]^T \begin{Bmatrix} x \\ y \\ z \end{Bmatrix} \quad (3.48)$$

unde matricea de trecere  $[T]$ , de la sistemul  $O_0X_0Y_0Z_0$  la sistemul  $Gxyz$ , este un produs,

$$[T] = [T_z][T_y][T_x] \quad (3.49)$$



**Fig.3.10** -Ilustrarea mișcărilor structurale ale presei

Cele trei matrice au formele:

$$\begin{aligned}
 [T_z] &= \begin{bmatrix} \cos \varphi_z & \sin \varphi_z & 0 \\ -\sin \varphi_z & \cos \varphi_z & 0 \\ 0 & 0 & 1 \end{bmatrix}; & [T_y] &= \begin{bmatrix} \cos \varphi_y & 0 & -\sin \varphi_y \\ 0 & 1 & 0 \\ \sin \varphi_y & 0 & \cos \varphi_y \end{bmatrix} \\
 [T_x] &= \begin{bmatrix} 1 & 0 & 0 \\ 0 & \cos \varphi_x & \sin \varphi_x \\ 0 & -\sin \varphi_x & \cos \varphi_x \end{bmatrix}
 \end{aligned} \tag{3.50}$$

și corespund rotațiilor elementare  $\varphi_x$ ,  $\varphi_y$  și  $\varphi_z$ , în jurul axelor sistemului  $Gxyz$ , legat de structură.

În aceste condiții mișcările de translație  $x_G(t)$ ,  $y_G(t)$  și  $z_G(t)$  și rotație  $\varphi_x(t)$ ,  $\varphi_y(t)$  și  $\varphi_z(t)$ , devin mișcări de transport ale mecanismelor aflate în mișcare relativă față de batiul presei.

### 3.2.6. Perturbații inerțiale de tip giroscopic

Principalul efect îl dă volantul 5, a cărui mișcare de rotație proprie, de lege  $\theta(t)$ , după axa orizontală  $G_vY_1$ , (Fig.10 a,b,c) este perturbată de rotațiile de transport  $\varphi_x(t)$  și  $\varphi_z(t)$ , apărând cupluri giroscopice care acționează ca perturbații inerțiale asupra structurii presei.

Fiind un corp de rotație, cu centrul să de greutate  $G_v$  pe axa de rotație  $G_vY_1$ , volantul are momentele de inerție principale,

$$J_{Y_1} = J_P \quad J_{X_1} = J_Z = J_T \tag{3.51}$$

$J_P$ , polar și  $J_T$ , transversal.

Proiecțiile vectorului moment cinetic al volantului:  $K_{Y_1}$  pe axa  $G_vY_1$ , de rotație după legea  $\theta(t)$ , și pe axele  $G_vX_1$  și  $G_vZ_1$  au formele:

$$K_{Y_1} = J_P \dot{\theta}(t); \quad K_{X_1} = J_T \dot{\varphi}_x(t); \quad K_{Z_1} = J_T \dot{\varphi}_z(t) \tag{3.52}$$

Trecerea proiecțiilor momentului cinetic de la sistemul de axe  $G_vX_1Y_1Z_1$  la sistemul  $G_vX'Y'Z'$  se face prin intermediul matricelor  $[T_x]$  și  $[T_z]$ , rotirea  $\varphi_x$ , (Fig. 10b și 10c), făcându-se până când axa  $G_vZ'$  se suprapune peste axa  $G_vZ_1$ , de intersecție a planelor  $G_vX'Y'$  cu planul  $G_vX_1Z_1$ , axa fiind acum axa comună celor două sisteme, sistemul nou rotit fiind  $G_vX'Y_0Z_1$ . A doua rotire, cu  $\varphi_z$ , se face în jurul axei  $G_vZ_1$  până când  $G_vX'Y_0Z_1$  se suprapune peste  $G_vX'Y'$ .

$$\begin{aligned}
 K_{X'} &= K_{X_1} \cos \varphi_z - K_{Y_1} \sin \varphi_z \\
 K_{Y'} &= K_{X_1} \sin \varphi_z \cos \varphi_x + K_{Y_1} \cos \varphi_z \cos \varphi - K_{Z_1} \sin \varphi_x \\
 K_{Z'} &= K_{X_1} \sin \varphi_z \sin \varphi_x + K_{Y_1} \cos \varphi_z \sin \varphi_x + K_{Z_1} \cos \varphi_x
 \end{aligned} \tag{3.53}$$

În cazul mișcărilor vibratorii elongațiile rotațiilor  $\varphi_x(t)$ ,  $\varphi_y(t)$  și  $\varphi_z(t)$ , au valori sub pragul de  $5^\circ$  pentru care se admit aproximațiile  $\sin \varphi_{x,y,z} \approx \varphi_{x,y,z}$  și  $\cos \varphi_{x,y,z} \approx 1$ . Neglijând produsele de ordinul doi,  $\varphi_{x,y,z} \times \varphi_{x,y,z} \rightarrow 0$ , și  $\varphi_{x,y,z} \times (d\varphi_{x,y,z}/dt) \rightarrow 0$  din dezvoltările ce rezultă prin introducerea relațiilor (3.52) în (3.53) vor rezulta:

$$\begin{aligned}
 K_{X'} &= J_T \dot{\varphi}_x(t) - J_P \cdot \dot{\theta}(t) \cdot \varphi_z(t) \\
 K_{Y'} &= J_T \dot{\theta}(t) \\
 K_{Z'} &= J_T \dot{\varphi}_z(t) + J_P \cdot \dot{\theta}(t) \cdot \varphi_x(t)
 \end{aligned} \tag{3.54}$$

proiecțiile momentului cinetic pe axele sistemului de referință fix  $O_0X_0Y_0Z_0$

(paralel cu  $G_X Y' Z'$ ).

Prin derivarea acestora în raport cu timpul vor rezulta, conform teoremei momentului cinetic, componentele momentelor care acționează asupra volantului

$$\begin{aligned} M_{V_x} &= \frac{dK_{X'}}{dt} = J_T \ddot{\phi}_x(t) - J_P \cdot \ddot{\theta}(t) \cdot \phi_z(t) - J_P \cdot \dot{\theta}(t) \cdot \dot{\phi}_z(t) \\ M_{V_y} &= \frac{dK_{Y'}}{dt} = J_P \ddot{\theta}(t) \\ M_{V_z} &= \frac{dK_{Z'}}{dt} = J_T \ddot{\phi}_z(t) + J_P \cdot \ddot{\theta}(t) \cdot \phi_x(t) + J_P \cdot \dot{\theta}(t) \cdot \dot{\phi}_x(t) \end{aligned} \quad (3.55)$$

în care  $M_{V_x}$  și  $M_{V_z}$  sunt date prin reacțiunile din lagărele arborelui pe care e calat rotorul, iar  $M_{V_y}$ , este cuplul motor la arborele volantului (3.42).

### 3.3. Mișcările vibratorii ale structurii presei

Perturbațiile inerțiale ale structurii produc mișcări vibratorii ale acesteia, mișcări care sunt supse legilor de mișcare de corp rigid (3.48) scrise sub forma

$$\{r_P(t)\} = \{r_G(t)\} + [T(\varphi)]^T \{r\} \quad (3.54)$$

Componentele vitezei punctului curent se obțin direct prin derivarea formei scalare (3.54)

$$\{\dot{r}_P(t)\} = \{\dot{r}_G(t)\} + [T]^T \{\dot{r}\} \quad (3.55)$$

vectorul matrice coloană

$$\{r\} = \{x \ y \ z\}^T \quad (3.56)$$

având ca elemente coordonatele punctului față de sistemul  $Gxyz$ .

Derivata în raport cu timpul a matricei de trecere  $[T]$  are proprietatea [64]

$$[\dot{T}] = [\dot{\phi}]^T [T] \quad (3.57)$$

unde

$$[\dot{\phi}] = \begin{bmatrix} 0 & -\dot{\phi}_z & \dot{\phi}_y \\ \dot{\phi}_z & 0 & -\dot{\phi}_x \\ -\dot{\phi}_y & \dot{\phi}_x & 0 \end{bmatrix} \quad (3.58)$$

este matricea componentelor vitezei unghiulare

$$\{\dot{\phi}\} = \{\dot{\phi}_x \ \dot{\phi}_y \ \dot{\phi}_z\}^T \quad (3.59)$$

Din (3.55) și (3.57) va rezulta

$$\{\dot{r}_P(t)\} = \{\dot{r}_G(t)\} + [T]^T [\dot{\phi}] \{r\} \quad (3.60)$$

Produsul  $[\dot{\phi}] \{r\}$ , poate fi pus sub forma

$$[\dot{\phi}] \{r\} = [R] \{\dot{\phi}\} \quad (3.61)$$

unde

$$[R] = \begin{bmatrix} 0 & z & -y \\ -z & 0 & x \\ y & -x & 0 \end{bmatrix} \quad (3.62)$$

este matricea de poziție a punctului curent P.

În final, va rezulta

$$\{\dot{r}_P(t)\} = \{\dot{r}_G(t)\} + [T]^T [R] \{\dot{\varphi}(t)\} \quad (3.63)$$

Pentru definirea ecuațiilor de mișcare ale ansamblului presei se utilizează metoda ecuațiilor lui Lagrange, scrise sub forma

$$\frac{d}{dt} \left( \frac{\partial E_C}{\partial \{\dot{q}\}^T} \right) - \frac{\partial E_C}{\partial \{q\}^T} + \frac{\partial E_P}{\partial \{\dot{q}\}^T} + \frac{\partial E_d}{\partial \{\dot{q}\}^T} = \{Q\}; \quad (\{q\} = \{r_G\}, \{\varphi\}) \quad (3.60)$$

unde,  $E_C$  este energia cinetică a întregului ansamblu,  $E_P$  energia potențială totală înmagazinată în elementele deformabile,  $E_d$  energia de disipație în elementele deformabile, iar  $\{Q\}$  vectorul coloană al forțelor generalizate

Energia cinetică a ansamblului presei are forma integrală

$$E_{Ci} = \frac{1}{2} \int_V \{\dot{r}_p\}^T \{\dot{r}_p\} dm \quad (3.61)$$

care, prin (3.63), duce la suma

$$E_C = \frac{1}{2} m_a \{\dot{r}_G(t)\}^T \{\dot{r}_G(t)\} + \frac{1}{2} \{\dot{\varphi}\}^T [J_a] \{\dot{\varphi}\} + \{\dot{\varphi}\}^T [S_a]^T [T] \{\dot{r}_G(t)\} \quad (3.62)$$

unde cu  $m_a$  s-a notat masa întregului ansamblu iar  $[J_a]$  matricea momentelor de inerție

$$\begin{aligned} [J_a] &= \int_V [R]^T [T] [T]^T [R] dm = \int_V [R]^T [R] dm = \\ &= \int_V \begin{bmatrix} z^2 + y^2 & -xy & -xz \\ -xy & x^2 + z^2 & -yz \\ -xz & -yz & x^2 + y^2 \end{bmatrix} dm = \begin{bmatrix} J_{xx} & -J_{xy} & -J_{xz} \\ -J_{xy} & J_{yy} & -J_{yz} \\ -J_{xz} & -J_{yz} & J_{zz} \end{bmatrix} \end{aligned} \quad (3.63)$$

Matricea momentelor statice este

$$[S_a] = \int_V [R] dm = \int_V \begin{bmatrix} 0 & z & -y \\ -z & 0 & x \\ y & -x & 0 \end{bmatrix} dm \Rightarrow [0] \quad (3.64)$$

originea sistemului Gxyz fiind în centrul de masă G al ansamblului.

Rezultă forma finală a energiei cinetice

$$E_C = \frac{1}{2} m_a \{\dot{r}_G(t)\}^T \{\dot{r}_G(t)\} + \frac{1}{2} \{\dot{\varphi}\}^T [J_a] \{\dot{\varphi}\} \quad (3.65)$$

### 3.3.1. Izolarea prin elemente elastice de sprijin

Ansamblul utilajului este sprijinit cu talpa presei prin izolatori, care pot fi, covoare elastice sau elemente izolatoare 4 (Fig.3.10a și Fig.3.11), plasate după diverse configurații pe talpa de sprijin 2.

Punctele  $E_i$  de sprijin sunt puncte legate de structură care execută mișcări dictate de legile sistemului de axe Gxyz, de care sunt solidare

Astfel, coordonatele punctul  $E_i$  față de sistemul fix Oxyz,  $x_{Ei}$ ,  $y_{Ei}$  și  $z_{Ei}$  (referință Gxyz), sunt supuse legii

$$\{r_{E_i}(t)\} = \{r_G(t)\} + [T(\varphi)]^T \{r_i\} \quad (3.66)$$

unde

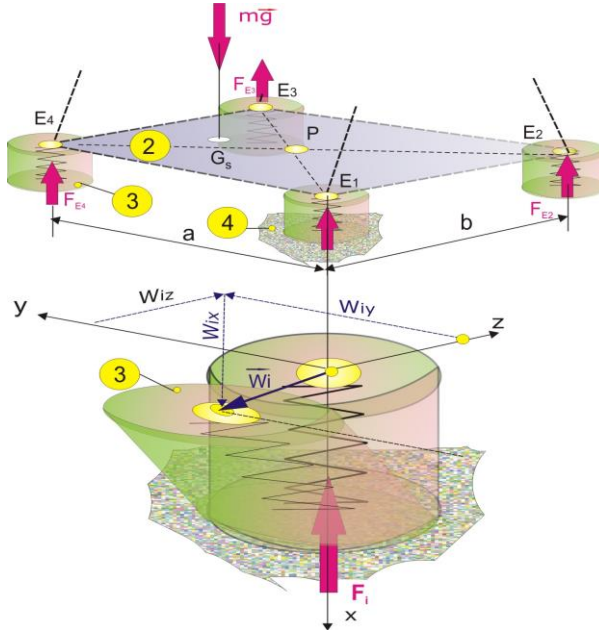
$$\{r_{0_i}\} = \{X_{Ei} \ Y_{Ei} \ Z_{Ei}\}^T \quad (3.67)$$

Matricea de trecere [T] (3.49) devine, pentru rotații de elongații sub 5°, sub forma

$$[T] \approx [I] + [\Phi] \quad (3.68)$$

unde

$$[I] = \begin{bmatrix} 1 & 0 & 0 \\ 0 & 1 & 0 \\ 0 & 0 & 1 \end{bmatrix} \quad [\Phi] = \begin{bmatrix} 0 & -\varphi_z & \varphi_y \\ \varphi_z & 0 & -\varphi_x \\ -\varphi_y & \varphi_x & 0 \end{bmatrix} \quad (3.69)$$



**Fig.3.11** -Ilustrarea unei izolări prin elemente elastice de sprijin  
Legile de deplasare ale punctului E<sub>i</sub> se pot scrie acum sub forma

$$\{w_i\} = \{r_{E_i}(t)\} - \{r_{O_i}\} = \{r_G(t)\} + [\Phi]\{r_i\} = \{r_G(t)\} + [R_{E_i}]\{\varphi\} \quad (3.70)$$

unde,

$$[R_{E_i}] = \begin{bmatrix} 0 & Z_{E_i} & -Y_{E_i} \\ -Z_{E_i} & 0 & X_{E_i} \\ Y_{E_i} & -X_{E_i} & 0 \end{bmatrix} \quad (3.71)$$

Presupunând că elementele elastice au caracteristici elastice și disipative lineare, forțele de legătură introduse de un element fiind date de vectorul

$$\{F_{e_i}\} = - \begin{bmatrix} k_x w_{x_i} \\ k_y w_{y_i} \\ k_z w_{z_i} \end{bmatrix} = \begin{bmatrix} k_x & 0 & 0 \\ 0 & k_y & 0 \\ 0 & 0 & k_z \end{bmatrix} \begin{bmatrix} w_{x_i} \\ w_{y_i} \\ w_{z_i} \end{bmatrix} = -[K_e]\{w_i\} \quad (3.72)$$

pentru forțele elastice și

$$\{F_{d_i}\} = - \begin{bmatrix} c_x \dot{w}_{x_i} \\ c_y \dot{w}_{y_i} \\ c_z \dot{w}_{z_i} \end{bmatrix} = \begin{bmatrix} c_x & 0 & 0 \\ 0 & c_y & 0 \\ 0 & 0 & c_z \end{bmatrix} \begin{bmatrix} \dot{w}_{x_i} \\ \dot{w}_{y_i} \\ \dot{w}_{z_i} \end{bmatrix} = -[C_e]\{\dot{w}_i\} \quad (3.73)$$

pentru forțele disipative, energiile potențială și disipativă ale întregului montaj au ca forme sumele,

$$E_p = \frac{1}{2} \sum_{i=1}^{n_E} \{w_i\}^T [K_e] \{w_i\} \quad (3.74)$$

și

$$E_d = \frac{1}{2} \sum_{i=1}^{n_E} \{\dot{w}_i\}^T [C_e] \{\dot{w}_i\} \quad (3.75)$$

care, ținând seama de (3.70), devin

$$E_p = \frac{1}{2} \{r_G(t)\}^T \left( \sum_{I=1}^{n_E} [K_e] \right) \{r_G(t)\} + \frac{1}{2} \{\varphi\}^T \left( \sum_{I=1}^{n_E} [R_{EI}]^T [K_e] [R_{EI}] \right) \{\varphi\} + \{r_G(t)\}^T \left( \sum_{I=1}^{n_E} [K_e] [R_{EI}] \right) \{\varphi\} \quad (3.76)$$

și

$$E_d = \frac{1}{2} \{\dot{r}_G(t)\}^T \left( \sum_{I=1}^{n_E} [C_e] \right) \{\dot{r}_G(t)\} + \frac{1}{2} \{\dot{\varphi}\}^T \left( \sum_{I=1}^{n_E} [R_{EI}]^T [C_e] [R_{EI}] \right) \{\dot{\varphi}\} + \{\dot{r}_G(t)\}^T \left( \sum_{I=1}^{n_E} [C_e] [R_{EI}] \right) \{\dot{\varphi}\} \quad (3.77)$$

Cum sumele matricelor din parantezele relațiilor (3.76) și (3.77) sunt matrice cu elemente ce pot fi calculate înainte de integrarea ecuațiilor de mișcare, astfel că făcând notațiile

$$[K_r] = \left( \sum_{I=1}^{n_E} [K_e] \right); \quad [K_\varphi] = \left( \sum_{I=1}^{n_E} [R_{EI}]^T [K_e] [R_{EI}] \right); \quad [K_{r\varphi}] = \left( \sum_{I=1}^{n_E} [K_e] [R_{EI}] \right) \quad (3.78)$$

și

$$[C_r] = \left( \sum_{I=1}^{n_E} [C_e] \right); \quad [C_\varphi] = \left( \sum_{I=1}^{n_E} [R_{EI}]^T [C_e] [R_{EI}] \right); \quad [C_{r\varphi}] = \left( \sum_{I=1}^{n_E} [C_e] [R_{EI}] \right) \quad (3.79)$$

se obțin relațiile finale ale energiilor

$$E_p = \frac{1}{2} \{r_G(t)\}^T [K_r] \{r_G(t)\} + \frac{1}{2} \{\varphi\}^T [K_\varphi] \{\varphi\} + \{r_G(t)\}^T [K_{r\varphi}] \{\varphi\} \quad (3.80)$$

și

$$E_d = \frac{1}{2} \{\dot{r}_G(t)\}^T [C_r] \{\dot{r}_G(t)\} + \frac{1}{2} \{\dot{\varphi}\}^T [C_\varphi] \{\dot{\varphi}\} + \{\dot{r}_G(t)\}^T [C_{r\varphi}] \{\dot{\varphi}\} \quad (3.81)$$

### 3.4. Efectele perturbațiilor inerțiale



Pe baza relațiilor exprimate mai sus se determină membrii din partea stângă ai ecuațiilor lui Lagrange (3.60)

$$\frac{d}{dt} \left( \frac{\partial E_c}{\partial \{\dot{r}_G\}^T} \right) = m_a \{\ddot{r}(t)\}; \quad \frac{d}{dt} \left( \frac{\partial E_c}{\partial \{\dot{\varphi}\}^T} \right) = [J_a] \{\ddot{\varphi}(t)\} \quad (3.82)$$

$$\frac{\partial E_c}{\partial \{r_G\}^T} = \{0\}; \quad \frac{\partial E_c}{\partial \{\varphi\}^T} = \{0\} \quad (3.83)$$

$$\frac{\partial E_p}{\partial \{r_G\}^T} = [K_r] \{r_G\} + [K_{r\varphi}] \{\varphi\}; \quad \frac{\partial E_p}{\partial \{\varphi\}^T} = [K_\varphi] \{\varphi\} + [K_{r\varphi}]^T \{r_G\} \quad (3.84)$$

$$\frac{\partial E_d}{\partial \{r_G\}^T} = [C_r] \{\dot{r}_G\} + [C_{r\varphi}] \{\dot{\varphi}\}; \quad \frac{\partial E_d}{\partial \{\varphi\}^T} = [C_\varphi] \{\dot{\varphi}\} + [C_{r\varphi}]^T \{\dot{r}_G\} \quad (3.85)$$

Membrul drept al ecuațiilor lui Lagrange aparține perturbațiilor, în primul rând perturbațiilor inerțiale date de:

- masele în rotație cu excentricitatea  $e$

$$F_{Ax}(t) = m_A e \left[ (\omega(t))^2 \sin(\theta + \theta_{in}) - \varepsilon(t) \cos(\theta + \theta_{in}) \right] \quad (3.39)$$

$$F_{Az}(t) = m_A e \left[ (\omega(t))^2 \cos(\theta + \theta_{in}) + \varepsilon(t) \sin(\theta + \theta_{in}) \right] \quad (3.40)$$

care dau vectorul matrice coloană

$$\{Q_{rA}\} = \begin{Bmatrix} F_{Ax}(t) \\ 0 \\ F_{Az}(t) \end{Bmatrix}; \quad (3.86)$$

vectorul moment al forței perturbatoare  $\vec{F}_A$  în raport cu centrul maselor G fiind

$$\vec{M}_A = \vec{GO} \times \vec{F}_A = \begin{vmatrix} \bar{i} & \bar{j} & \bar{k} \\ x_O & y_O & z_O \\ F_{Ax} & 0 & F_{Az} \end{vmatrix} \Rightarrow \{M_A\} = \begin{Bmatrix} y_O \cdot F_{Az} \\ z_O \cdot F_{Ax} - x_O \cdot F_{Az} \\ -y_O \cdot F_{Ax} \end{Bmatrix} \quad (3.87)$$

unde  $x_O$ ,  $y_O$  și  $z_O$  sunt coordonatele punctului O față de sistemul de axe Gxyz,

- momentul forțelor de inerție cauzate de variația vitezei unghiulare a volantului

$$M_i(t) = -(J + m_A e^2) \cdot \varepsilon(t) \quad (3.43)$$

puse sub forma vectorului

$$\{M_{iy}\} = \begin{Bmatrix} 0 \\ M_i(t) \\ 0 \end{Bmatrix} \quad (3.88)$$

- forța de inerție care lucrează asupra masei berbecului în mișcarea de translație

$$F_{Bx}(t) = -m_B \ddot{x}_B(t) \quad (3.44)$$

pusă sub forma matriceală

$$\{Q_{rB}\} = \begin{Bmatrix} F_{Bx}(t) \\ 0 \\ 0 \end{Bmatrix} \quad (3.89)$$

care dă un moment față de centrul de masă G

$$\vec{M}_B = \vec{GO} \times \vec{F}_{Bx} = \begin{vmatrix} \vec{i} & \vec{j} & \vec{k} \\ x_O & y_O & z_O \\ F_{Bx} & 0 & 0 \end{vmatrix} \Rightarrow \{M_B\} = \begin{Bmatrix} 0 \\ z_O \cdot F_{Bx} \\ -y_O \cdot F_{Bx} \end{Bmatrix} \quad (3.90)$$

- efecte inerțiale cauzate de rotirea după axele Gx și Gz ale axei de rotație a volantului prin momentele

$$\begin{aligned} M_{V_x} &= \frac{dK_{X'}}{dt} = J_T \ddot{\varphi}_x(t) - J_P \cdot \ddot{\theta}(t) \cdot \varphi_z(t) - J_P \cdot \dot{\theta}(t) \cdot \dot{\varphi}_z(t) \\ M_{V_y} &= \frac{dK_{Y'}}{dt} = J_P \ddot{\theta}(t) \\ M_{V_z} &= \frac{dK_{Z'}}{dt} = J_T \ddot{\varphi}_z(t) + J_P \cdot \ddot{\theta}(t) \cdot \varphi_x(t) + J_P \cdot \dot{\theta}(t) \cdot \dot{\varphi}_x(t) \end{aligned} \quad (3.55)$$

în care  $M_{V_x}$  și  $M_{V_z}$  sunt date prin reacțiunile din lagărele arborelui acțiunea asupra batiului fiind dată prin momentele  $-M_{V_x}$ ,  $-M_{V_y}$  și  $-M_{V_z}$ , puse sub formă matricială

$$-\begin{Bmatrix} M_{V_x} \\ M_{V_y} \\ M_{V_z} \end{Bmatrix} = -[K^\varepsilon]\{\varphi\} - [C^\omega]\{\dot{\varphi}\} - [J^T]\{\ddot{\varphi}\} - J_P \varepsilon(t) \begin{Bmatrix} 0 \\ 1 \\ 0 \end{Bmatrix} \quad (3.91)$$

unde s-au făcut notațiile

$$[K^\varepsilon(t)] = J_P \varepsilon(t) \begin{bmatrix} 0 & 0 & -1 \\ 0 & 0 & 0 \\ 1 & 0 & 0 \end{bmatrix}; [C^\omega(t)] = J_P \omega(t) \begin{bmatrix} 0 & 0 & -1 \\ 0 & 0 & 0 \\ 1 & 0 & 0 \end{bmatrix}; [J^T] = J_T \begin{bmatrix} 1 & 0 & 0 \\ 0 & 0 & 0 \\ 0 & 0 & 1 \end{bmatrix} \quad (3.92)$$

- centrul de greutate G al structurii se află la o distanță  $H_1$ , pe verticală, de planul tălpii de așezare pe elementele elastice (Fig.3.12).

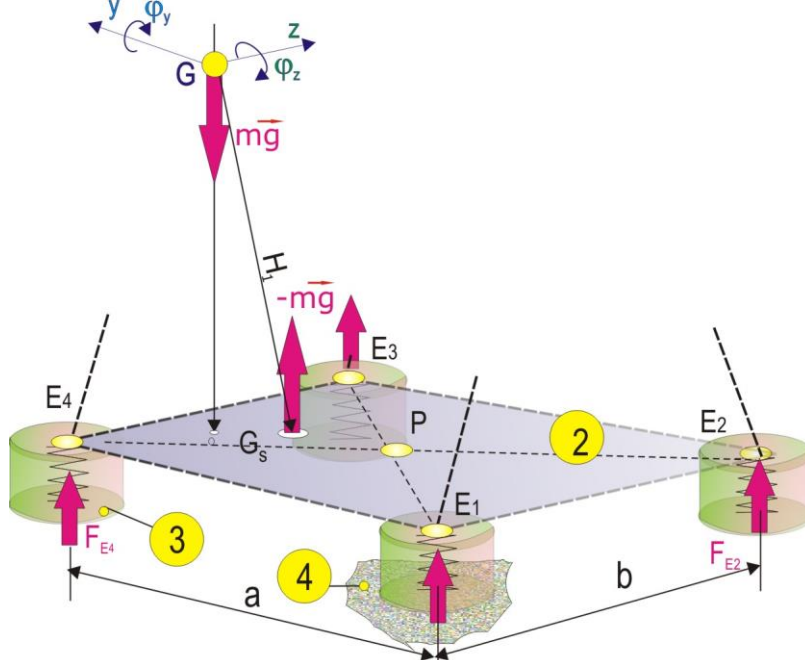


Fig.3.12-Ilustrarea efectului de răsturnare

În această situație, datorită rotirii batiului cu unghiurile  $\varphi_x$ ,  $\varphi_y$  și  $\varphi_z$ , se rotește cu aceleași unghiuri și planul tălpii, axa  $GG_s$  înclinându-se și ea având tendința de răsturnare; centrul de greutate  $G$  are tendința de coborâre, lucrul mecanic virtual, al forței gravitaționale fiind

$$\delta L_G = -m_a g \delta X_G \quad (3.93)$$

unde din (3.48)

$$\begin{Bmatrix} X_G \\ Y_G \\ Z_G \end{Bmatrix} = [T]^T \begin{Bmatrix} H_1 \\ 0 \\ 0 \end{Bmatrix} \quad (3.94)$$

în care matricea de trecere  $[T]$ , de la sistemul  $O_0X_0Y_0Z_0$  la sistemul  $Gxyz$ , este un produs, (3.49) al matricelor elementare de trecere (3.50).

Din relația (3.48) rezultă proiecția segmentului  $GG_s=H_1$  pe axa verticală

$$X_G = H_1 \cos \varphi_y \cos \varphi_z \quad (3.95)$$

din care se obține variația virtuală elementară

$$\delta X_G = -H_1 (\sin \varphi_y \cos \varphi_z \delta \varphi_y + \sin \varphi_z \cos \varphi_y \delta \varphi_z) \quad (3.96)$$

de unde rezultă forțele generalizate, ținând cont că  $\varphi_x$  și  $\varphi_y$  sunt sub  $5^\circ$

$$Q_{Gy} = \frac{\delta L_G}{\delta y_G} = m_a g H_1 \varphi_y; \quad Q_{Gz} = \frac{\delta L_G}{\delta z_G} = m_a g H_1 \varphi_z \quad (3.97)$$

din care se formează vectorul coloană al momentelor de răsturnare

$$\{Q_G\} = [K_G] \begin{Bmatrix} \varphi_x \\ \varphi_y \\ \varphi_z \end{Bmatrix} \quad (3.98)$$

unde

$$[K_G] = m_a g H_1 \begin{bmatrix} 0 & 0 & 0 \\ 0 & 1 & 0 \\ 0 & 0 & 1 \end{bmatrix} \quad (3.99)$$

În această fază se poate construi sistemul de ecuații care guvernează mișcările vibratorii ale ansamblului preseii, amplasat pe elemente elastice antivibratorii,

$$[M_a] \{\ddot{r}_G\} + [C_r] \{\dot{r}_G\} + [K_r] \{r_G\} + [C_{r\varphi}] \{\dot{\varphi}\} + [K_{r\varphi}] \{\varphi\} = \{Q_{rA}\} + \{Q_{rB}\} \quad (3.100)$$

$$\begin{aligned} [J_a] \{\ddot{\varphi}\} + ([C_\varphi] + [C^\omega]) \{\dot{\varphi}\} + ([K_\varphi] + [K^\varepsilon] - [K_G]) \{\varphi\} + [C_{r\varphi}]^T \{\dot{r}_G\} + [K_{r\varphi}] \{r_G\} = \\ = \{M_A\} - \{M_B\} - \{M_{J_p}\} \end{aligned} \quad (3.101)$$

unde:

- $[M_a]$  și  $[J_a]$  sunt matricea diagonală a masei  $m_a$  a întregului ansamblu

$$[M_a] = m_a \begin{bmatrix} m_a & 0 & 0 \\ 0 & m_a & 0 \\ 0 & 0 & m_a \end{bmatrix} \quad (3.102)$$

și, respectiv, matricea momentelor de inerție masice ale ansamblului în raport cu axele sistemului Gxyz.

$$[J_a] = \begin{bmatrix} J_{xx} & -J_{xy} & -J_{xz} \\ -J_{xy} & J_{yy} & -J_{yz} \\ -J_{xz} & -J_{yz} & J_{zz} \end{bmatrix} \quad (3.103)$$

- legăturile prin elementele elastice sunt prezente prin intermediul *matricelor de amortizare*

$$[C_r] = \left( \sum_{I=1}^{n_E} [C_e] \right); \quad [C_\varphi] = \left( \sum_{I=1}^{n_E} [R_{Ei}]^T [C_e] [R_{Ei}] \right); \quad [C_{r\varphi}] = \left( \sum_{I=1}^{n_E} [C_e] [R_{Ei}] \right) \quad (3.104)$$

în care

$$[C_e] = \begin{bmatrix} C_x & 0 & 0 \\ 0 & C_y & 0 \\ 0 & 0 & C_z \end{bmatrix} \quad [R_{Ei}] = \begin{bmatrix} 0 & Z_{Ei} & -Y_{Ei} \\ -Z_{Ei} & 0 & X_{Ei} \\ Y_{Ei} & -X_{Ei} & 0 \end{bmatrix} \quad (3.105)$$

$C_x$ ,  $C_y$  și  $C_z$  sunt constantele de amortizare ale elementului elastic după cele trei direcții, iar  $X_{Ei}$ ,  $Y_{Ei}$  și  $Z_{Ei}$  sunt coordonatele elementului elastic, și prin intermediul *matricelor de rigiditate*

$$[K_r] = \left( \sum_{I=1}^{n_E} [K_e] \right); \quad [K_\varphi] = \left( \sum_{I=1}^{n_E} [R_{Ei}]^T [K_e] [R_{Ei}] \right); \quad [K_{r\varphi}] = \left( \sum_{I=1}^{n_E} [K_e] [R_{Ei}] \right) \quad (3.106)$$

$$[K_e] = \begin{bmatrix} k_x & 0 & 0 \\ 0 & k_y & 0 \\ 0 & 0 & k_z \end{bmatrix} \quad (3.107)$$

Termenilor corespunzători legăturilor elastice li se alătură termeni proveniți din efecte inerțiale, de tip giroscopic, induse de volantul care tinde să-și păstreze axa de rotație

$$[C^\omega(t)] = J_p \omega(t) \begin{bmatrix} 0 & 0 & -1 \\ 0 & 0 & 0 \\ 1 & 0 & 0 \end{bmatrix}; \quad [K^\varepsilon(t)] = J_p \varepsilon(t) \begin{bmatrix} 0 & 0 & -1 \\ 0 & 0 & 0 \\ 1 & 0 & 0 \end{bmatrix} \quad (3.108)$$

prima desimetrizând matricea de amortizare, iar cea de a doua matricea de rigiditate, ambele fiind variabile în timp, prin intermediul vitezei unghiulare  $\omega(t)$  și a accelerației unghiulare  $\varepsilon(t)$  ale volantului,

- efectul de răsturnare, datorită poziției superioare a centrului de greutate G față de planul tălpii de așezare pe elemente elastice, este prezent în ecuația (3.101) prin matricea:

$$[K_G] = m_a g H_1 \begin{bmatrix} 0 & 0 & 0 \\ 0 & 1 & 0 \\ 0 & 0 & 1 \end{bmatrix} \quad (3.109)$$

care prin scădere din suma  $[K_\varphi] + [K^\varepsilon]$  tinde să micșoreze rigiditatea generală, când aceasta scade prea mult putând să apară instabilitatea echilibrului, cu răsturnarea structurii.

Perturbațiile inerțiale sunt date de:

- dezechilibrul maselor reduse la butonul A al manivelei prin matricele coloană, a forței inerțiale

$$\{Q_{rA}\} = \begin{Bmatrix} F_{Ax}(t) \\ 0 \\ F_{Az}(t) \end{Bmatrix} \quad (3.110)$$

și momentul acesteia în raport cu sistemul Gxyz

$$\{M_A\} = \begin{Bmatrix} y_O \cdot F_{Az} \\ z_O \cdot F_{Ax} - x_O \cdot F_{Az} \\ -y_O \cdot F_{Ax} \end{Bmatrix} \frac{1}{2}, \quad (3.111)$$

componentele forței  $F_A(t)$  calculându-se după relațiile

$$F_{Ax}(t) = m_A e \left[ (\omega(t))^2 \sin(\theta + \theta_{in}) - \varepsilon(t) \cos(\theta + \theta_{in}) \right] \quad (3.112)$$

$$F_{Az}(t) = m_A e \left[ (\omega(t))^2 \cos(\theta + \theta_{in}) + \varepsilon(t) \sin(\theta + \theta_{in}) \right] \quad (3.113)$$

viteza unghiulară  $\omega(t)$  și accelerația unghiulară  $\varepsilon(t)$  ale volantului fiind deja determinate prin simularea dinamicii mecanismului cu excentric (vezi diagramele din figurile 3.9.1....4)

- mișcarea culisantă a berbecului induce forța de inerție

$$F_{Bx}(t) = -m_B \ddot{x}_B(t) \quad (3.114)$$

care în sistemul (3.100) intră prin intermediul vectorului coloană

$$\{Q_{rB}\} = \begin{Bmatrix} F_{Bx}(t) \\ 0 \\ 0 \end{Bmatrix} \quad (3.115)$$

iar în sistemul (3.101) prin componentele momentului,

$$\{M_B\} = \begin{Bmatrix} 0 \\ z_O \cdot F_{Bx} \\ -y_O \cdot F_{Bx} \end{Bmatrix} \quad (3.116)$$

al forței  $F_B$  în raport cu sistemul Gxyz, variația forței de inerție  $F_{Bx}$  fiind deja determinată (Fig.3.9.3);

- datorită variației vitezei unghiulare a volantului apare un moment perturbator

$$M_i(t) = -(J_P + m_A e^2) \cdot \varepsilon(t) \quad (3.117)$$

care apare în membrul drept al sistemului (3.101) sub forma

$$\{M_{JP}\} = \begin{Bmatrix} 0 \\ M_i(t) \\ 0 \end{Bmatrix} \quad (3.118)$$

Cele două sisteme de ecuații diferențiale (3.100) și (3.101) fiind cuplate pot fi scrise sub forma unuia singur,

$$[M]\{\ddot{q}\} + [C]\{\dot{q}\} + [K]\{q\} = \{Q\} \quad (3.119)$$

unde vectorul legilor de mișcare este



$$[K_\varepsilon] = \begin{bmatrix} 1 & 0 & 0 \\ 0 & 2 & 0 \\ 0 & 0 & 2 \end{bmatrix} k_x \quad (3.107')$$

iar cu ajutorul formelor (3.106) s-au determinat valoric submatricele

$$k_r := \begin{pmatrix} 1.2 \times 10^5 & 0 & 0 \\ 0 & 2.4 \times 10^5 & 0 \\ 0 & 0 & 2.4 \times 10^5 \end{pmatrix}$$

$$k_\phi := \begin{pmatrix} 2.692 \times 10^4 & 1.699 \times 10^4 & 2.402 \times 10^3 \\ 1.699 \times 10^4 & 1.302 \times 10^5 & -3.616 \times 10^3 \\ 2.402 \times 10^3 & -3.616 \times 10^3 & 1.286 \times 10^5 \end{pmatrix}$$

$$k_{r\phi} := \begin{pmatrix} 0 & -1.68 \times 10^3 & 1.188 \times 10^4 \\ 3.36 \times 10^3 & 0 & 1.716 \times 10^5 \\ -2.376 \times 10^4 & -1.716 \times 10^5 & 0 \end{pmatrix}$$

Matricea efectului de basculare (3.109) va avea forma valorică

$$K_\varepsilon := m \cdot g \cdot H_1 \cdot \begin{pmatrix} 0 & 0 & 0 \\ 0 & 1 & 0 \\ 0 & 0 & 1 \end{pmatrix} = \begin{pmatrix} 0 & 0 & 0 \\ 0 & 1.348 \times 10^3 & 0 \\ 0 & 0 & 1.348 \times 10^3 \end{pmatrix}$$

unde  $H_1 = 0,715$  m.

Matricea  $[k^\varepsilon]$  corespunzătoare efectului de accelerare (3.108) are forma valorică, pentru  $\varepsilon = 1$

$$K_\varepsilon := J_p \cdot \begin{pmatrix} 0 & 0 & -1 \\ 0 & 0 & 0 \\ 1 & 0 & 0 \end{pmatrix} \cdot \varepsilon = \begin{pmatrix} 0 & 0 & 0.463 \\ 0 & 0 & 0 \\ -0.463 & 0 & 0 \end{pmatrix}$$

Se consideră că amortizarea elementului izolator este o amortizare proporțională careia îi corespund submatricele:

$$C_r = c_{el} \times k_r; \quad C_\phi = c_{el} \times k_\phi; \quad C_{r\phi} = c_{el} \times k_{r\phi}$$

unde  $c_{el}$  este coeficientul de proporționalitate al amortizării elementului. Acestora li se va atașa submatricea efectului giroscopic al volantului, corespunzătoare vitezei unghiulare  $\omega = 1$

$$C_\omega := J_p \cdot \begin{pmatrix} 0 & 0 & -1 \\ 0 & 0 & 0 \\ 1 & 0 & 0 \end{pmatrix} \cdot \omega = \begin{pmatrix} 0 & 0 & -0.463 \\ 0 & 0 & 0 \\ 0.463 & 0 & 0 \end{pmatrix}$$

Pentru formarea matricelor

$$[C] = \begin{bmatrix} [C_r] & [C_{r\phi}] \\ [C_{r\phi}]^T & [C_\phi] + [C^\omega] \end{bmatrix} \quad (3.122)$$

$$[K] = \begin{bmatrix} [K_r] & [K_{r\phi}] \\ [K_{r\phi}]^T & [K_\phi] + [K^\varepsilon] - [K_G] \end{bmatrix} \quad (3.123)$$

s-au folosit subrutinele de stivuire și concatenare existente în codul Mathcad

$$K1 := \text{stack}(kr, kr_\phi^T) \Leftrightarrow [K1] = \begin{bmatrix} [K_r] \\ [K_{r\phi}]^T \end{bmatrix}$$

$$K2 := \text{stack}(kr, kr_\phi^T) \Leftrightarrow [K2] = \begin{bmatrix} [K_{r\phi}] \\ [K_\phi] + [K^\varepsilon] - [K_G] \end{bmatrix}$$

și prin concatenare

$$k0 := \text{augment}(K1, K2) \Leftrightarrow [K] = [[K1] \ [K2]]$$

În același mod se creează matricea de amortizare (3.122)

$$C1 := K1 \cdot c\_el \Leftrightarrow [C1] = \begin{bmatrix} [C_r] \\ [C_{r\phi}]^T \end{bmatrix}$$

$$K2 := \text{stack}(kr, kr_\phi^T) \Leftrightarrow [C2] = \begin{bmatrix} [C_{r\phi}] \\ [C_\phi] + [C^\omega] \end{bmatrix}$$

prin concatenare

$$c0 := \text{augment}(C1, C2) \Leftrightarrow [C] = [[C1] \ [C2]]$$

În această fază sunt cunoscute valorile matricelor sistemului (3.119), din care, prin forma omogenă

$$[M]\{\ddot{q}\} + [C]\{\dot{q}\} + [K]\{q\} = \{0\} \quad (3.119')$$

se pot obține matricele valorilor proprii.

În vederea aplicării unui algoritm de calcul al valorilor proprii sistemul (3.119') se pune sub forma echivalentă

$$[Mz]\{\dot{z}\} + [Kz]\{z\} = \{0\} \quad (3.125)$$

cu vectorul

$$\{z\} = \begin{Bmatrix} \dot{q} \\ q \end{Bmatrix} \quad (3.126)$$

și matricele

$$[Mz] = \begin{bmatrix} [M] & [0] \\ [0] & -[K] \end{bmatrix}; \quad [Kz] = \begin{bmatrix} [C] & [K] \\ [K] & [0] \end{bmatrix} \quad (3.127)$$

Sistemul valorilor proprii asociat sistemului de ecuații diferențiale are forma

$$([Mz]\lambda_r + [Kz])\{x_r\} = \{0\}; \quad r = 0, 1, 2, 4, 5 \quad (3.128)$$

în care

$$\lambda_r = -\sigma_r \pm p_r i \quad (3.129)$$

sunt șase perechi de valori proprii complex conjugate,  $\sigma_r$  și  $p_r$  fiind raportul de amortizare și respectiv pseudopulsția celui de al r-lea mod natural de vibrații al corpului presei amplasat pe elemente elastice.



Acestor moduri naturale le corespund șase perechi de vectori proprii complex conjugați

$$\{x_r\} = -x_{rR} \pm x_{rI}i; \quad i = \sqrt{-1} \quad (3.130)$$

care formează coloanele matricei modale [x].

Valorile proprii  $\lambda_r$  și matricea modală [x] se determină apelând la subrutine existente în codurile de calcul numeric.

În Mathcad cele două subrutine au formele,

$$\lambda := \text{genvals}(-Kz, Mz) \quad \text{și} \quad x := \text{genvecs}(-Kz, Mz),$$

pentru datele problemei rezultând vectorul valorilor proprii

$$\lambda = \begin{pmatrix} -2.254 + 67.063i \\ -2.254 - 67.063i \\ -2.106 + 64.695i \\ -2.106 - 64.695i \\ -1.845 + 60.571i \\ -1.845 - 60.571i \\ -0.315 + 25.086i \\ -0.315 - 25.086i \\ -0.033 + 7.581i \\ -0.033 - 7.581i \\ -8.388 \times 10^{-3} + 2.728i \\ -8.388 \times 10^{-3} - 2.728i \end{pmatrix}$$

de unde factorii de amortizare modali  $\eta_r$  și frecvențele proprii  $f_r$  al celor șase moduri naturale de vibrații

$$-\eta_r \pm f_r i = \frac{1}{2\pi} (\sigma_r \pm p_r i), \quad (3.131)$$

în tabelul de mai jos fiind date valorile factorilor de amortizare și ale frecvențelor proprii și formele modurilor naturale de vibrații, identificate pe baza matricei modale.

O verificare imediată a calculelor se poate face pentru valoarea frecvenței proprii a modului 3, de translație pe verticală, după axa Gx,

$$f_3 := \frac{1}{2 \cdot \pi} \cdot \sqrt{\frac{4 \cdot \text{Kel}}{\text{m}}} = 3.979$$

valoare foarte apropiată de cea determinată prin valorile proprii

r	$\eta_r$ [s <sup>-1</sup> ]	$f_r$ [Hz]	Forma modului
1	$-1.335 \times 10^{-3}$	0.434	Basculare după axa Gy
2	$-5.273 \times 10^{-3}$	1.207	Basculare după axa Gz
3	-0.05	3.993	Translație după axa Gx
4	-0.294	9.642	Torsiune după axa Gx
5	-0.335	10.296	Translație după axa Gz
6	-0.359	10.671	Translație după axa Gy

S-a constatat că valorile proprii au variații valorice mici pentru variații ale vitezei unghiulare valoric esențiale.

Pentru calculul numeric al răspunsului forțat, sub acțiunea perturbațiilor, sistemul (3.119) se pune sub forma

$$\begin{aligned} \{\dot{x}\} &= \{y\} \\ \{y\} &= [M]^{-1} (\{Q\} - [C]\{y\} - [K]\{q\}x) \end{aligned} \quad (3.119)$$

Aplicând metoda Euler se formează sistemul algebric iterativ

$$\begin{aligned} \{x\}^{<i+1>} &= \{x\}^{<i>} + h\{y\}^{<i>} \\ \{y\}^{<i+1>} &= \{y\}^{<i>} + h[M]^{-1} (\{Q\}^{<i>} - [C]\{y\}^{<i>} - [K]\{x\}^{<i>}) \\ [D] &= [M]^{-1} \quad (i = 1, 2, 3, \dots, n) \end{aligned} \quad (3.132)$$

algoritm pentru care am construit în Mathcad subrutina

```
x := y<0> ← zer
      x<0> ← x0
      for i ∈ 0..n
          x<i+1> ← x<i> + h·y<i>
          y<i+1> ← y<i> + h·D·(-c·y<i> - k·x<i> + Q<i>)
          w ← augment(x, x<i>)
      w
```

matricea de ieșire **x** înșirând vectorii legilor de mișcare

$$\{x\}^{<i>} = \{x_G(i) \ y_G(i) \ z_G(i) \ \varphi_x(i) \ \varphi_y(i) \ \varphi_z(i)\}^T; \quad (i = 1, 2, 3, \dots, n) \quad (3.133)$$

la timpul  $t_i = h \cdot i$

Pentru metoda Runge –Kutta de ordinul 4 sistemul algebric are forma

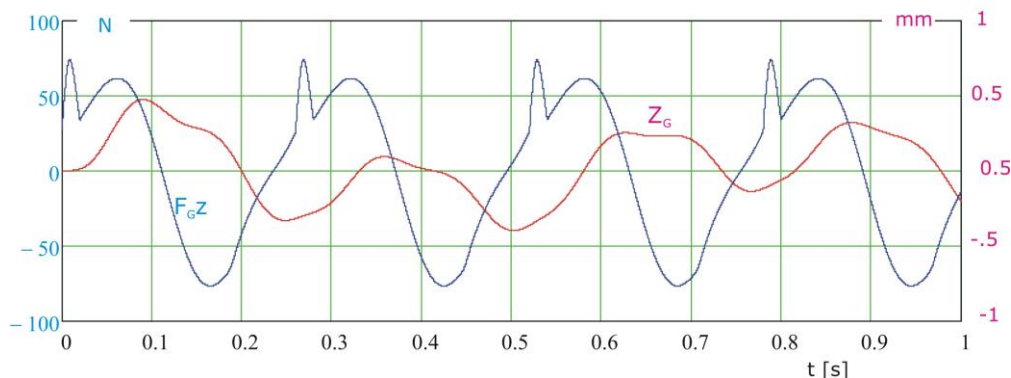
$$\begin{aligned} \{x\}^{<i+1>} &= \{x\}^{<i>} + \frac{1}{6} (\{k1\} + 2\{k2\} + 2\{k3\} + \{k4\}) \\ \{y\}^{<i+1>} &= \{y\}^{<i>} + \frac{1}{6} (\{L1\} + 2\{L2\} + 2\{L3\} + \{L4\}) \end{aligned} \quad (3.134)$$

unde

$$\begin{aligned}
\{K1\} &= h\{y\}^{<i>}> \\
\{L1\} &= h[M]^{-1}\left(\{Q\}^{<i>}> - [C]\{y\}^{<i>}> - [K]\{x\}^{<i>}>\right) \\
\{K2\} &= h\left(\{y\}^{<i>}> + \frac{1}{2}\{K1\}\right) \\
\{L2\} &= h[M]^{-1}\left(\frac{1}{2}\left(\{Q\}^{<i>}> + \{Q\}^{<i+1>}>\right) - [C]\left(\{y\}^{<i>}> + \frac{1}{2}\{L1\}\right) - [K]\left(\{x\}^{<i>}> + \frac{1}{2}\{K1\}\right)\right) \\
\{K3\} &= h\left(\{y\}^{<i>}> + \frac{1}{2}\{K2\}\right) \\
\{L3\} &= h[M]^{-1}\left(\frac{1}{2}\left(\{Q\}^{<i>}> + \{Q\}^{<i+1>}>\right) - [C]\left(\{y\}^{<i>}> + \frac{1}{2}\{L2\}\right) - [K]\left(\{x\}^{<i>}> + \frac{1}{2}\{K2\}\right)\right) \\
\{K4\} &= h\left(\{y\}^{<i>}> + \{K3\}\right) \\
\{L4\} &= h[M]^{-1}\left(\left(\{Q\}^{<i>}> + \{Q\}^{<i+1>}>\right) - [C]\left(\{y\}^{<i>}> + \{L2\}\right) - [K]\left(\{x\}^{<i>}> + \{K2\}\right)\right)
\end{aligned}
\tag{3.135}$$

La fel, se poate construi subrutina în Mathcad, pentru acest algoritm.

Rulând programul cu datele de la problema pusă în Fig.3.13 se prezintă diagramele de variație ale forței  $F_{Gx}$  de excitație după axa Gx și legea de deplasare a centrului de masă după axa Gz.



**Fig.3.13** -Ilustrarea mișcării vibratorii  $z_G(t)$  după axa Gz, a centrului de masă și a forței  $F_{Gx}(t)$  de excitație după axa Gx.

Pe baza metodelor prezentate în acest capitol se pot analiza toate efectele dinamice care apar în timpul funcționării utilajului, cea ce permite prin simulare, alegerea unei soluții optime de izolare a transmiterii vibrațiilor la structurile conexe utilajului.

## Capitolul 4

# METODE, SOLUȚII ȘI ECHIPAMENTE DE ATENUARE A VIBRAȚIILOR

### 4.1. Considerații generale privind transmisibilitatea vibrațiilor

Problema reducerii vibrațiilor generate de mașini și utilaje este deosebit de vastă și comportă mai multe aspecte legate de:

- protecția structurală a utilajului, nivelurile mari de vibrații influențând negativ calitatea operației tehnologice, iar evoluția în timp a spectrului vibrațiilor conține informații prețioase asupra stărilor de uzură ale mecanismelor utilajului și sculelor;
- protecția mediului înconjurător; vibrațiile transmise prin medii elastice conexe (de exemplu solul) pot produce fisurări ale pereților clădirilor și pot duce la compromiterea preciziei unor utilaje speciale cum ar fi utilajele metrologice și, nu în ultimul rând, protecția operatorului utilajului, vibrațiile devenind, peste anumite niveluri, noxe.

Aceste probleme importante au dus la dezvoltarea unei industrii puternice de echipamente de izolare a vibrațiilor, cu aplicații pe diverse categorii de mașini și utilaje, construcții civile și industriale. De asemenea, foarte multe colective de cercetare și proiectare se ocupă cu dezvoltarea unor noi echipamente din ce în ce mai eficiente pentru aplicațiile propuse.

Se caută descoperirea de materiale vâscoelastice noi, cu performanțe tehnice ridicate, caracteristică elastică liniară cât mai extinsă și capacitate de amortizare eficientă.

La noi în țară preocupări continue, cu rezultate meritorii în domeniul dezvoltării unor izolatori pe bază de cauciuc și aplicații la utilaje de construcții, o are profesorul universitar dr. Polidor Bratu, rezultatele cercetărilor sale fiind sintetizate în tratatele menționate la bibliografie [7], [8], [9].

Cea mai simplă construcție geometrică a unui element elastic din cauciuc natural, plută sau din elastomeri este cel cilindric 1 (Fig.4.1).

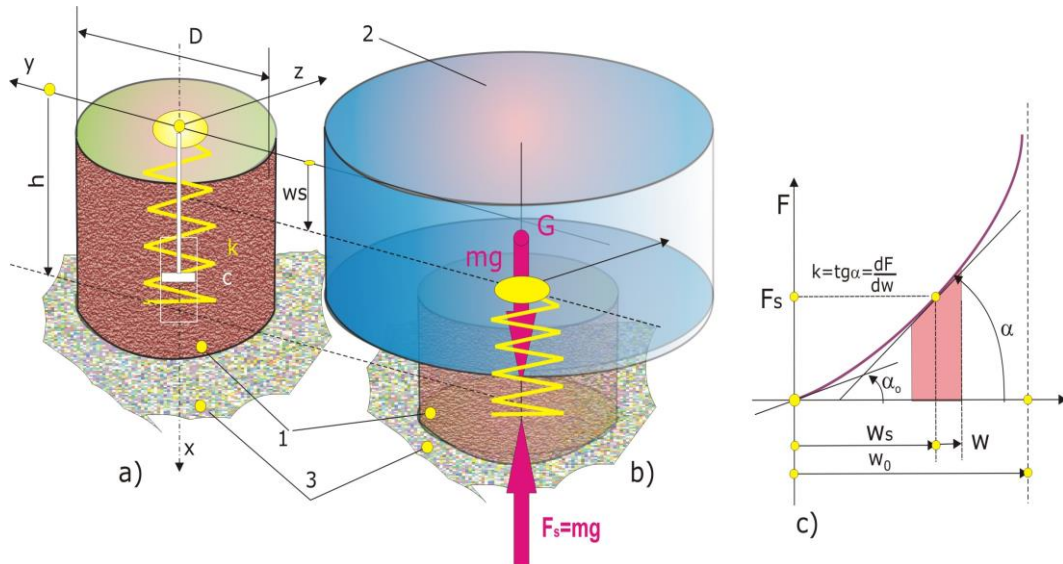
Față de elementele elastice metalice unde caracteristica elastică, forță-deformație, poate fi evaluată mai precis, modulul de elasticitate nefiind afectat de prea mulți parametri, în cazul elementului din cauciuc intervin o serie de parametri, printre care coeficientul de formă  $\Phi$ , care este raportul dintre aria secțiunii  $A_T$  transversale și aria  $A_L$  a suprafeței laterale a elementului, care, în cazul elementului cilindric de diametru  $D$  și înălțime  $h$  este:

$$\Phi = A_T \frac{1}{A_L} = \frac{\pi D^2}{4} \frac{1}{\pi h D} = \frac{D}{4h} \quad (4.1)$$

Unitatea Shore,  $[^{\circ}\text{SH}]$ , caracterizează duritatea materialelor din cauciuc și a celor plastice, constatându-se relații funcționale ale acesteia cu modulul de elasticitate transversal  $G$ . Modulul de elasticitate longitudinal static  $E_s$  depinde de cel transversal printr-o relație de forma,

$$Es = k_s(\Phi)G \tag{4.2}$$

$k_s(\Phi)$  fiind, la rândul său funcție de coeficientului de formă.



**Fig.4.1** -Ilustrarea elementului elastic din cauciuc sau materiale polimerice

O formă analitică a caracteristici statice, forță  $F_s$ -deplasare  $w_s$ , este de forma [30]

$$F_s(w) = \frac{2}{n} k_0 w_0 \operatorname{tg} \left( \frac{\pi w}{2w_0} \right) \tag{4.3}$$

unde  $w_0$  este deformația maximă axială teoretică de compresiune a elementului; pentru ca aceasta sa fie atinsă trebuie ca forța  $F_s(w)$  aplicată elementului să crească la infinit;

$k_0$  reprezintă constanta elastică a elementului; pentru deformația  $w$  în jurul valorii  $w \approx 0$ ,  $w_0$  ar putea fi numită săgeata de blocaj.

Fabricanții de elemente elastice izolatoare antivibratorii dau ca una dintre caracteristici frecvența proprie-deformație statică.

Astfel, se consideră că pe elementul elastic 1 (Fig.4.1b) se așează masa 2 sub a cărei greutate,  $mg$ , elementul se deformează cu  $w_s$ .

Perturbațiile care se transmit masei 2, considerată ca un batiu pe care este plasat un mecanism perturbator, produc mișcări vibratorii  $w(t)$  guvernate de ecuația diferențială,

$$m\ddot{w}(t) + kw(t) = F(t) \tag{4.4}$$

$k$  fiind constanta elastică echivalentă a elementului la încărcarea  $F_s=mg$  care produce săgeata  $w_s$ .

Frecvența proprie a vibrațiilor masei 2 va avea forma,

$$f_n = \frac{1}{2\pi} \sqrt{\frac{k}{m}} \tag{4.5}$$

unde  $k$  se determină având cunoscută caracteristica greutate mg-săgeată statică  $w_s$ , dată sub forma unei diagrame, determinată experimental, sau aproximată funcțional, ca forma (4.6)

$$k = \frac{dF_s}{dw} = k_0 \frac{1}{\left(\cos\left(\frac{\pi w}{2w_0}\right)\right)^2} \quad (4.6)$$

Pentru  $w=0$  va rezulta  $k=k_0$  și, din (4.3), se determină masa  $m$  care produce săgeata  $w$

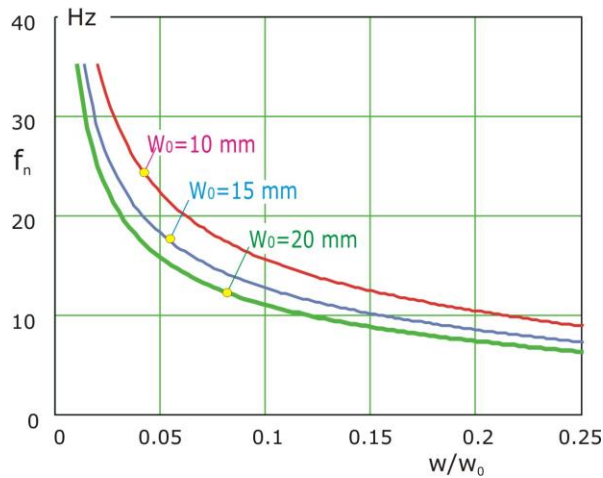
$$m = \frac{F_s(w)}{g} = \frac{2}{\pi g} k_0 w_0 \operatorname{tg}\left(\frac{\pi w}{2w_0}\right) \quad (4.7)$$

Va rezulta frecvența proprie

$$f_n(w) = \frac{1}{2\pi} \sqrt{\frac{k}{m}} = \frac{1}{2\pi} \sqrt{\frac{\pi g}{w_0} \frac{1}{\operatorname{tg}\left(\frac{\pi w}{2w_0}\right)}} \quad (4.8)$$

În Fig.4.2 se dau diagramele frecvențelor proprii  $f_n$  pentru trei izolatori, funcție de raportul  $w/w_0$  dintre săgeata statică  $w$  și cea de blocaj  $w_0$ .

Se poate observa că o dată cu creșterea valori săgeții statice  $w$  scade valoarea frecvenței proprii. De asemenea măbind valoare săgeții de blocaj  $w_0$  scade valoarea frecvenței proprii.



**Fig.4.2** -Variațiile frecvenței proprii  $f_n$  funcție de săgeata de blocaj  $w_0$  a izolatorului

Lucrul acesta este foarte important deoarece, după cum se va vedea, o valoare scăzută a frecvenței proprii duce către o valoare scăzută a transmisibilității vibrațiilor la structurile conexe, scopul izolării.

În unele cazuri aproximarea caracteristicii statice (4.3) se face printr-o formă hiperbolică

$$F_s(w) = \frac{2}{\pi} k_0 w_0 \operatorname{tgh}\left(\frac{\pi w}{2w_0}\right) \quad (4.9)$$

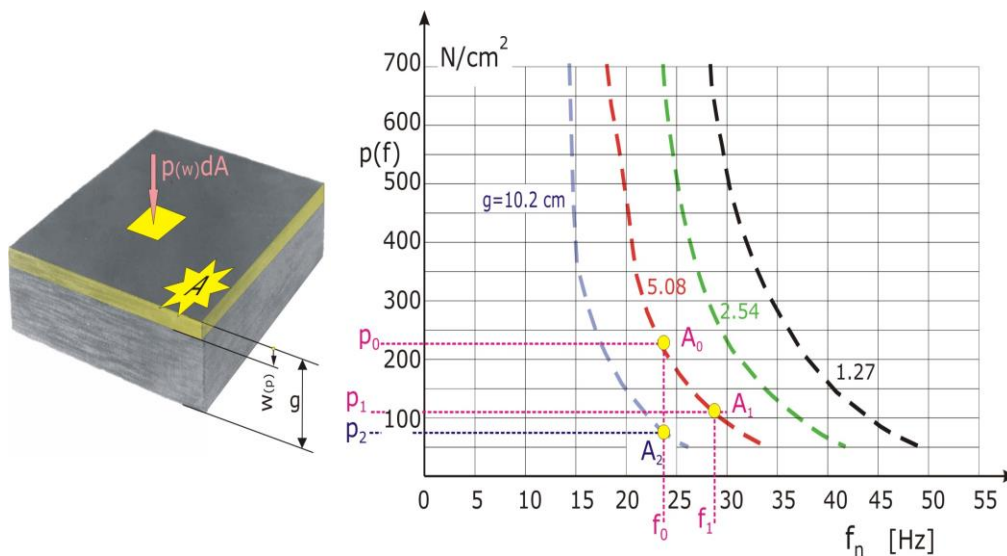
## 4.2. Analizarea caracteristicilor principalelor tipuri de izolatori și echipamente de atenuare a vibrațiilor. Alegerea sistemului antivibrant optim

### 4.2.1. Covoare de izolare cu diverse configurații

#### 4.2.1.1. Cover izolator din straturi de neopren și pânză de bumbac

În specificațiile de produs firmele prezintă și alte caracteristici, care permit utilizatorului proiectarea și alegerea soluției de izolare antivibratorii, cum este caracteristica presiune  $p$ - $f_n$  frecvență proprie.

Astfel, în specificația tehnică a produsului Flexoply (Fig.4.3), pentru un cover izolator alcătuit din straturi alternative de neopren lamelar și pânză de bumbac, se dă o asemenea caracteristică. Acest tip de izolator permite o bună atenuare a șocurilor ca urmare a deplasării lamelor de neopren între straturile de bumbac, motiv pentru care aceste tipuri sunt frecvent folosite la izolarea șocurilor și vibrațiilor care apar în timpul funcționării la diferite utilaje cu forțe impulsive de valori ridicate cum ar fi ciocanele de forjă sau alte utilaje grele.



**Fig. 4.3** -Caracteristica presiune  $p$ -frecvență proprie  $f_n$

Variația sarcinii statice suportată de izolator, în funcție de frecvența naturală a acestuia pentru diferite grosimi,  $g=10.2$ ;  $5.08$ ;  $2.54$ ;  $1.27$  [cm] ale covorului, este ilustrată în Fig.4.3

Se poate observa că valoarea frecvenței proprii scade în funcție de creșterea sarcinii dată prin presiunea pe unitate de suprafață, și crește în raport cu scăderea grosimii covorului.

Presiunea se referă la raportul

$$p = \frac{mg}{A} \quad (4.10)$$

greutatea  $mg$  sprijinindu-se pe suprafața de arie  $A$  a elementului izolator, formând un sistem vibrant cu frecvența

$$f_n = \frac{1}{2\pi} \sqrt{\frac{k}{m}} \quad (4.11)$$

Din punct de vedere al izolării se dă masa  $m$  și se impune valoarea frecvenței proprii a sistemului vibrant; să presupunem o valoare  $f_n=f_0=24$  Hz, folosindu-se un element izolator standardizat, de grosime  $g=5,08$  cm. Acestei valori îi corespunde pe curba  $g=5,08$  mm o valoare a presiunii pe suprafața de sprijin de  $p_0 \approx 225$  N/cm<sup>2</sup>

Din punct de vedere al unei durate de viață, garantată de fabricant, acesta impune ca presiunea  $p$  să nu depășească valoarea de  $p_1=104$  N/cm<sup>2</sup> ceea ce face să se determine o nouă valoare  $A_1$  a ariei de sprijin.

$$A_1 = A_0 \frac{p_0}{p_1} \quad (4.12)$$

cea ce presupune ca frecvența proprie să crească, conform diagramei, la valoarea  $f_1 \approx 28.5$  Hz, deci o creștere de 4.5 Hz.

Pentru readucere la frecvența propusă, de 24 Hz, se impune schimbarea grosimii  $g$  a stratului izolator.

Între forță  $F_s$  și deformație se poate scrie relația [6]

$$F_s(w) = \beta_r E_s A_1 \frac{h(w)}{g} \quad (4.13)$$

unde  $E_s$  este modulul de elasticitate longitudinal al elementului izolator,

$$E_s = E(1 + 2\beta\phi^2) \quad (4.14)$$

iar  $E$  este modulul de elasticitate al materialului, dependent de duritatea materialului elementului prin coeficientul  $\beta$ , și de coeficientul de formă  $\phi$ .

Modulul de elasticitate  $E$  depinde la rândul său de modulul de elasticitate de forfecare  $G$ ,  $E \approx 3G$ .  $\beta_r$  este un coeficient de corelație care ține seama de rigidizările create de legăturile cu talpa de așezare și cu postamentul amplasamentului.

În fine,  $h(w)$  este o funcție care depinde de (4.3)

$$h(w) = w_0 \operatorname{tg} \left( \frac{\pi w}{2w_0} \right) \quad (4.15)$$

sau (4.9).

Constanta elastică necesară pentru a obține frecvența proprie de valoarea cerută este  $f_0$

$$k = \frac{dF_s}{dw} = \beta_r E_s A_1 \frac{1}{g} \left. \frac{dh(w)}{dw} \right|_{w=w_0} = m(2\pi f_0)^2 \quad (4.16)$$

Această relație permite alegerea ariei  $A_1$  a suprafeței covorului după grosimea  $g$  standardizată și după caracteristica  $\left. \frac{dh(w)}{dw} \right|_{w=w_0}$  la săgeata statică  $w_0$ .

Această problemă a acordării frecvenței proprii la valoarea  $f_0$  se face mai direct având la dispoziție diagramele din Fig.4.3.

Cum ramura  $g=10,2$  cm este tăiată în punctul  $A_2$  de linia verticală a frecvenței  $f_0=24$  Hz se va lua în considerare un covor de grosime  $g=10,2$  cm, pentru care la această frecvență va trebui asigurată o presiune pe covor  $p_2=75$  N/cm<sup>2</sup>, valoare care este sub limita de 104 N/cm<sup>2</sup> asigurată de producător.



Acum se poate calcula aria suprafeței tălpii de așezare a utilajului pe covorul izolator

$$A_2 = \frac{mg}{\rho_2} \quad (4.17)$$

problema fiind rezolvată.

Un astfel de strat izolator ca *Flexoply pads* se comportă foarte bine referitor la interacțiunea cu diverși agenți corozivi cum ar fi apă, uleiuri, sau chiar și diverse ciuperci și bacterii care se pot dezvolta în mediul de funcționare și își păstrează caracteristicile de amortizare la temperaturi de la  $-37^\circ\text{C}$  până la  $+93^\circ\text{C}$ .

Pentru a se mări limita de deformare  $w_0$  în raport cu grosimea  $g$  a covorului se utilizează covoare de izolare cu diverse configurații

#### 4.2.1.2. Covor izolator din neopren cu inserție de oțel

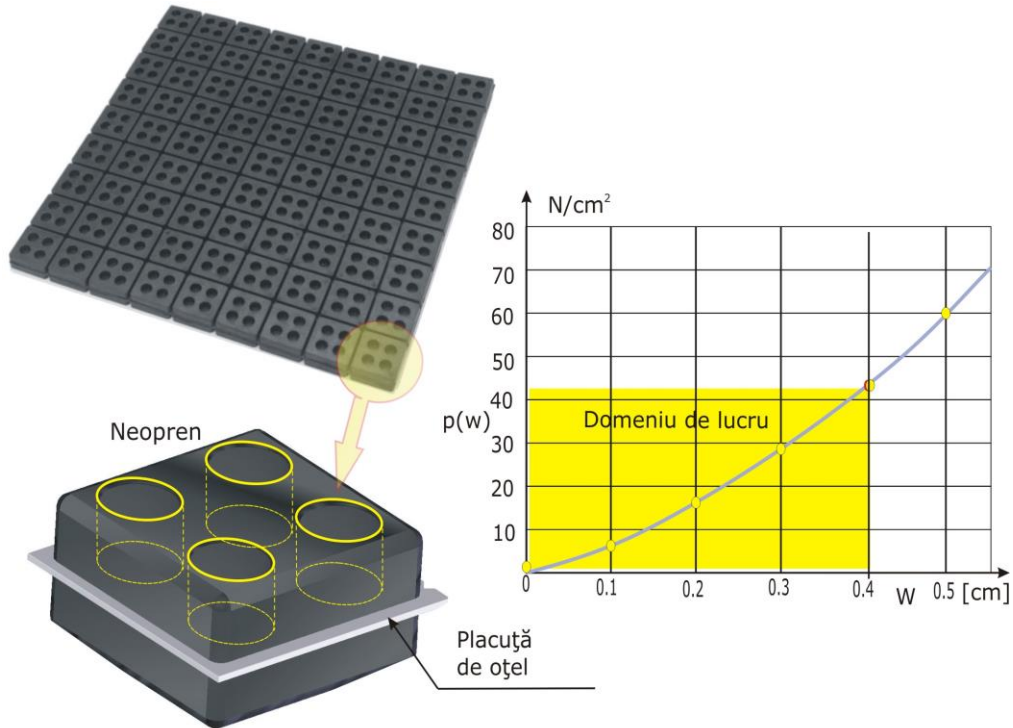
Un astfel de covor izolator este prezentat în Fig.4.4 și este un izolator, model RSP, produs de Kinetics Noise Control, [89], sub formă de covor, confecționat din neopren cu o inserție de oțel sub formă de plăcuțe, proiectat pentru o sageată maximă de 4 cm, sarcina maximă limită fiind  $p=42 \text{ N/cm}^2$ .

Este utilizat atât pentru izolarea zgomotului, a șocurilor, cât și pentru vibrațiile de frecvențe înalte care apar în timpul diferitelor procese din mediul industrial, care necesită regimuri de funcționare cu turații de până la 3600 rot/min. Stratul de neopren este prevăzut cu goluri sub formă de găuri care cresc compresibilitatea, elasticitatea și capacitatea de absorbție a vibrațiilor. Caracteristicile bune ale neoprenului, care este rezistent la apă, uleiuri și alte materiale corozive, conferă izolatorului o durată de funcționare destul de mare.

Diagrama caracteristică a produsului este dată sub forma presiunii funcție de sageata statică,  $p(w)$

Acordarea la o frecvență proprie dată  $f_0$  se face prin intermediul constantei elastice  $k$

$$k = \frac{dF(w)}{dw} = A \left| \frac{dp(w)}{dw} \right|_{w=w_0} = m(2\pi f_0)^2 \quad (4.18)$$



**Fig.4.4** -Ilustrarea covorului izolator cu goluri și inserție metalică Ținând cont de relația de echilibru static la deformația  $w_0$

$$Ap(w_0) = mg \quad (4.19)$$

va rezulta, din (4.18)

$$f_0 = \frac{1}{2\pi} \sqrt{g \frac{1}{p(w_0)} \left| \frac{dp(w)}{dw} \right|_{w=w_0}} \quad (4.20)$$

frecvența proprie la deformația cu  $w_0$  sub acțiunea unei sarcini statice  $mg$ .

Pentru o variație lineară a presiunii,

$$p(w) = k_p w \quad (4.21)$$

va rezulta cunoscuta formă

$$f_0 = \frac{1}{2\pi} \sqrt{\frac{g}{w_0}} \quad (4.22)$$

Deci, frecvența proprie  $f_0$  depinde nu numai de presiunea  $p(w)$  pe covorul izolator ci și de panta la caracteristică, presiune-deformație.

Alura caracteristicii din Fig.4.4 permite aproximarea ei printr-o funcție parabolică,

$$p(w) = aw^2 + bw \quad (4.23)$$

Identificarea constantelor  $a$  și  $b$  se face pe baza coordonatelor  $p(w_i)$ ,  $w_i$  ale unor puncte luate de-a lungul domeniului de lucru  $0-41 \text{ N/cm}^2$  ( $\times 10^{-4} \text{ N/m}^2$ ) al presiunii și  $0-0,4 \text{ cm}$  ( $\times 10^{-2} \text{ m}$ ) al deplasării.

Va rezulta sistemul de  $n$  ecuații

$$aw_i^2 + bw_i = p(w_i) \quad i = 1, 2, 3, \dots, n \quad (4.24)$$

care se rezolvă prin metoda regresivă a celor mai mici pătrate, rezultând soluțiile,

$$\begin{Bmatrix} a \\ b \end{Bmatrix} = \begin{bmatrix} \sum_{i=1}^n w_i^4 & \sum_{i=1}^n w_i^3 \\ \sum_{i=1}^n w_i^3 & \sum_{i=1}^n w_i^2 \end{bmatrix}^{-1} \cdot \begin{Bmatrix} \sum_{i=1}^n p(w_i)w_i^2 \\ \sum_{i=1}^n p(w_i)w_i \end{Bmatrix} \quad (4.25)$$

iar din (4.20) va rezulta

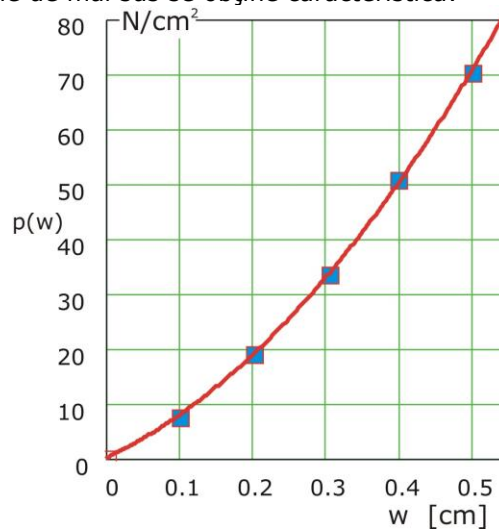
$$f_0 = \frac{1}{2n} \sqrt{g \frac{2aw_0 + b}{aw_0^2 + bw_0}} \quad (4.26)$$

Luând datele de la un număr  $n=6$  puncte de pe diagrama presiune  $p(w)$ -deformație  $w$  din Fig.4.4, diagramă dată de firmă în specificația de produs, și aplicând formulările dezvoltate mai sus, în Fig.4.5 este prezentată caracteristica identificată prin forma parabolică (4.23).

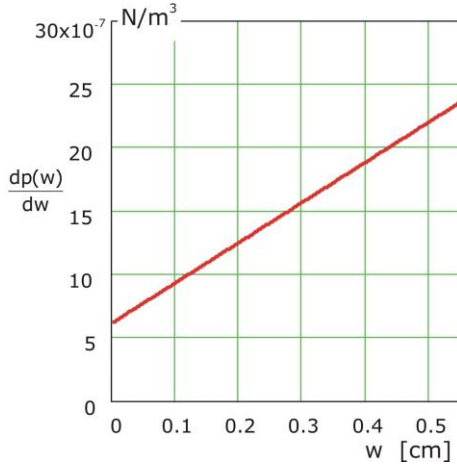
Se poate constata o foarte bună aproximare prin (4.23); cele 6 puncte luate de pe diagrama din Fig. 4.4 au abateri imperceptibile față de curba parabolică.

Figurile 4.6 și 4.7 reprezintă diagramele variației  $\frac{dp(w)}{dw}$  a presiunii  $p(w)$  funcție de deformația  $w$  și respectiv diagrama de variație a frecvenței proprii funcție de aceeași deformație.

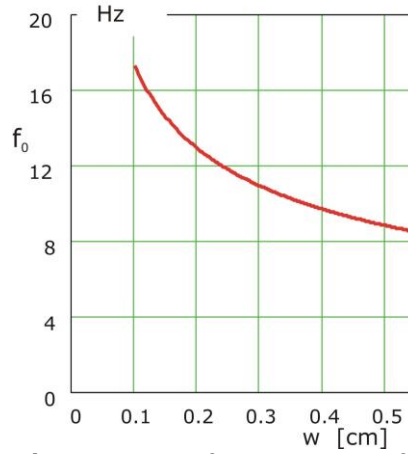
Cu dezvoltările de mai sus se obține caracteristica:



**Fig.4.5** -Caracteristica  $p(w)$ - $w$  aproximată printr-o funcție parabolică



**Fig.4.6** -Diagrama variației  $\left| \frac{dp(w)}{dw} \right|$  funcție de deformația w



**Fig.4.7** -Variația frecvenței proprii  $f_0$  funcție de deformația w

Elementele elastice au caracteristici elastice și disipative neliniare, ceea ce face ca acestea să depindă de încărcarea lor. Astfel, greutatea  $mg$  este preluată, pe verticală, de suma dintre reacțiunile statice  $Fx_{s_i}$  ( $i=1,2,3...n_E$ ) care încarcă cele  $n_E$  elemente.

$$\sum_{i=1}^{n_E} Fx_{s_i} = mg \quad (3.60)$$

Coordonatele, în planul orizontal, ale centrului forțelor paralele  $Fx_{s_i}$ , care sunt și coordonatele ale centrului de masă al utilajului, în poziție statică  $G_s$  în planul tălpii de așezare 2, se determină cu relațiile:

$$y_{G_s} = \frac{\sum_{i=1}^n y_{s_{Ei}} Fx_{s_i}}{mg}; \quad z_{G_s} = \frac{\sum_{i=1}^n z_{s_{Ei}} Fx_{s_i}}{mg} \quad (3.61)$$

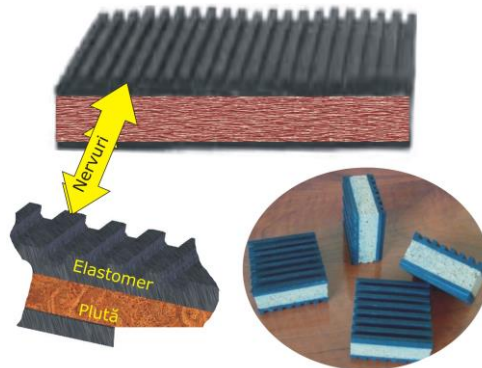
Relațiile (3.60) și (3.61) formează un sistem de trei ecuații cu  $n_E$  necunoscute, reacțiunile  $Fx_{s_i}$ , ecuații rezolvabile numai pentru  $n_E=3$ .

În general se utilizează patru elemente sau grupuri de elemente amplasate în patru regiuni.

Pentru îmbunătățirea caracteristicilor de izolare prin covoare elastice se caută o serie de soluții constructive cum sunt cele prezentate în Fig.4.8 și Fig.4.9

#### 4.2.1.3. Cover izolator cu nervuri, de tip sandwich, din elastomeri și plută

În Fig.4.8 se prezintă un cover cu nervuri format din straturi sandwich de cauciuc sau elastomeri și inimă de plută. Din această categorie de izolatori fac parte izolatorii cu nervuri modelele NP și NG, produși de Kinetics Noise Control. Izolatorii se prezintă sub diverse forme: covoare, tampoane și straturi suprapuse, în funcție de necesități.



**Fig.4.8** -Covoare izolatoare cu nervuri și straturi suprapuse.

#### 4.2.2. Soluții speciale de izolare bazate pe elemente elastice de torsiune

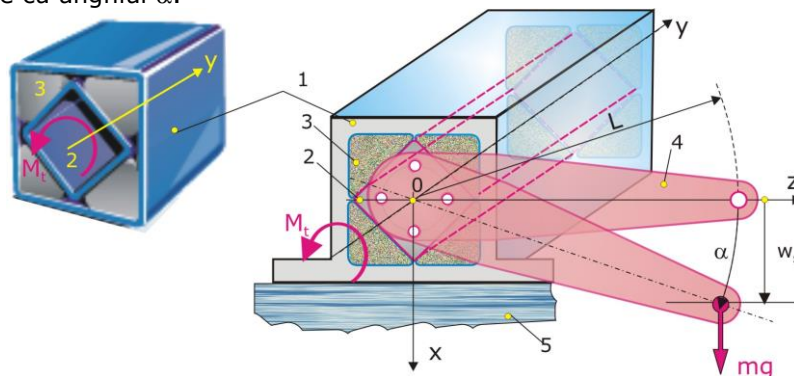
Pentru izolarea antivibratorie a unei mașini sau utilaj care are un ciclu de lucru de frecvență joasă sub 5 cicluri pe secundă, cum ar fi cazul unei prese cu excentric, soluția izolării prin covoare de cauciuc sau elastomeri, sau alte elemente de izolare bazate pe aceste materiale nu mai este eficientă. În acest caz se pot aplica soluții speciale, cum este utilizarea elementelor de torsiune, care pot realiza deplasări mari de deformații  $w$  mari.

Un astfel de element este produs de firma ROSTA [84] și se bazează pe realizarea unui material elastic de cauciuc sintetic, cu caracteristici mecanice deosebite.

Astfel între două țevi pătrate 1 și 2 (Fig.4.9) centrate axial între ele se vulcanizează, cu aderență la cele două țevi, patru prisme 4, din material elastic. Ținând țeava 1 fixă, la unul dintre capetele țevii interioare 1 se fixează un levier 4 pe care, la capătul său liber, de lungime  $L$ , se aplică o forță de sprijin  $mg$ , care produce momentul de torsiune

$$M_t = mgL \cos \alpha \quad (4.26)$$

Sub acțiunea momentului aplicat prismele de cauciuc se deformează, levierul rotindu-se cu unghiul  $\alpha$ .

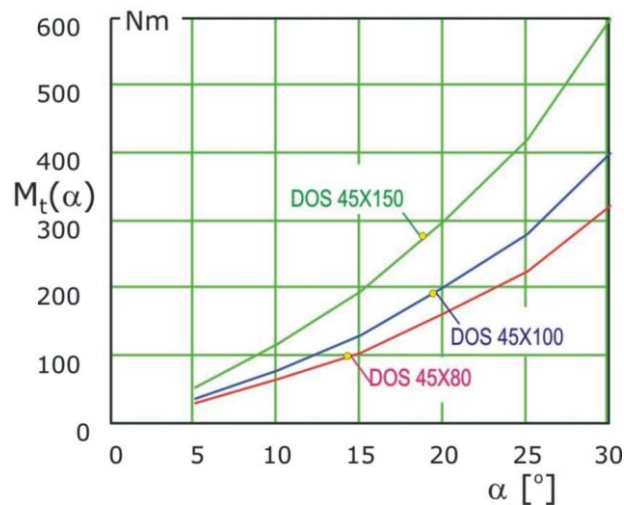


**Fig.4.9** -Ilustrarea elementului elastic de torsiune tip ROSTA

Tabel 4.1 -Caracteristicile elastice pentru trei tipuri

de elemente de torsiune

Tipul elementului	Mt [Nm]					
	5°	10°	15°	20°	25°	30°
<b>DOS 45x80</b>	27.6	62.4	104	160	222	320
<b>DOS 45x100</b>	34.5	78	130	200	278	400
<b>DOS 45x150</b>	51.8	117	195	300	420	600



**Fig.4.10** -Caracteristica moment de torsiune  $M_t$  funcție rotirea  $\alpha$

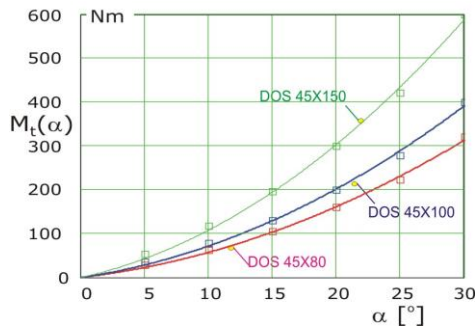
După alura curbelor caracteristice din Fig.4.10 și aici se poate aproxima momentul  $M_t$  prin intermediul unei legi parabolice,

$$M_t = a_t a^2 + b_t a \quad (4.27)$$

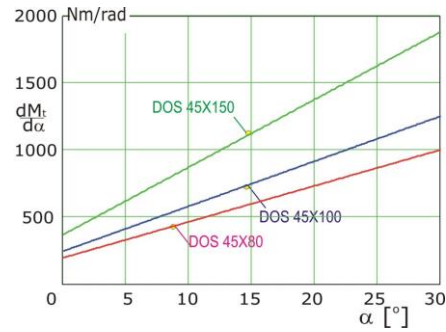
iar derivata în raport cu  $\alpha$

$$\frac{dM_t}{da} = 2a_t a + b_t \quad (4.28)$$

Reprezentarea grafică (4.11) a caracteristicilor moment de torsiune  $M_t$ -rotire  $\alpha$ , identificată după forma (4.27), arată, și în acest caz, că această formă parabolică este potrivită pentru modelarea caracteristicilor elastice ale elementelor elastice pe bază de cauciuc și elastomeri.



**Fig.4.11** -Caracteristica moment de torsiune  $M_t$  funcție de rotirea  $\alpha$ , recalculată pe baza formei (4.27)



**Fig.4.12** -Variația derivatei  $\frac{dM_t}{da}$  funcție de rotirea  $\alpha$  (4.28)

Variația derivatei

$$\frac{dM_t}{da} = k_a \quad (4.29)$$

este o funcție liniară de unghiul de rotire  $\alpha$  și reprezintă constanta elastică de torsiune a elementului.

Momentul de torsiune aplicat la poziția de echilibru  $\alpha_s$  prin forța verticală  $mg$ , ce acționează la capătul liber al levierului, considerându-l pe acesta în stare neîncărcată la poziția orizontală, la  $\alpha=0$ , este

$$M_t = mgL \cos a = a_t a^2 + b_t a \quad (4.30)$$

Relația (4.30) devine o ecuație în  $\alpha$  având ca soluție  $\alpha_s$ , unghiul de poziție statică al levierului în echilibru static. Sau problema se poate pune și invers, ce masă  $m$  trebuie suspendată la capătul levierului pentru a obține poziția de echilibru static, rezultând

$$m = \frac{1}{L} \frac{M_t}{g \cos a} \quad (4.31)$$

Frecvența proprie  $f_n$  a sistemului vibrant echivalent, cu masa  $m$  care se mișcă pe direcție verticală în jurul poziției de echilibru este

$$f_n = \frac{1}{2\pi} \sqrt{\frac{k_w}{m}} \quad (4.32)$$

unde  $k_w$  este constanta elastică a arcului echivalent

$$k_w = \left. \frac{d(mg)}{dw} \right|_{w=w_s} \quad (4.33)$$

care se poate scrie și sub forma

$$k_w = \frac{1}{L} \left. \frac{d}{da} \left( \frac{M_t}{\cos a} \right) \frac{da}{dw} \right|_{w=w_s} \quad (4.34)$$

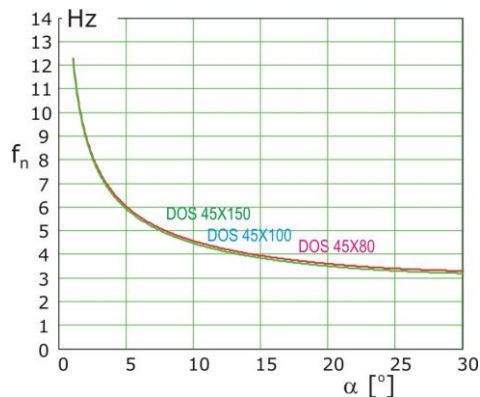
Rezultă, ținând seama de (4.29) și (4.31),

$$k_w = \frac{1}{L^2} \left. \frac{1}{\cos^2 a} (k_a + M_t \operatorname{tg} a) \right|_{w=w_s} \quad (4.35)$$

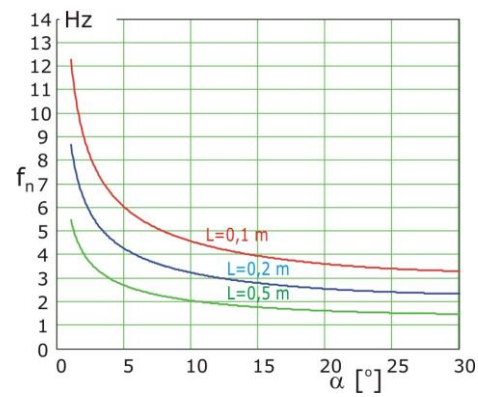
iar mai departe, din (4.32),

$$f_n = \frac{1}{2\pi} \sqrt{\frac{g}{L \cos a} \left( \frac{k_a}{M_t} + \operatorname{tga} \right)} \quad (4.36)$$

Prin reprezentarea grafică a caracteristicilor frecvenței proprii  $f_n$ -poziție unghiulară  $\alpha$  a levierului (Fig. 4.13) pentru cele trei tipuri de elemente ROSTA DOS45x80, DOS45x100 și DOS45x150 se constată o suprapunere exactă a celor trei curbe caracteristice. Caracteristica de frecvență comună se află în domeniul 12 Hz pentru o încărcare ușoară, pentru care unghiul levierului este  $\alpha \approx 1^0-2^0$  și merge asimptotic înspre valoarea de 3 Hz, la încărcarea maximă admisă de fabricant.

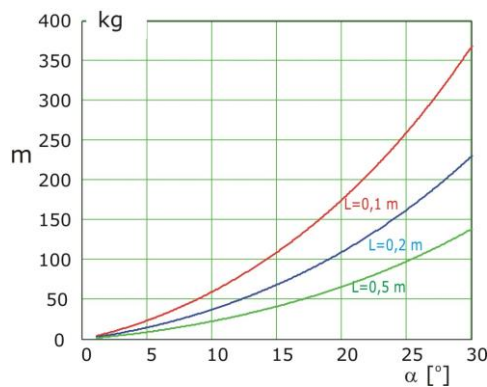


**Fig.4.13** -Caracteristica frecvență  $f_n$ -poziție unghiulară  $\alpha$  a levierului, de lungime  $L=0,1\text{m}$ .



**Fig.4.14** -Caracteristicile frecvență  $f_n$ -poziție unghiulară  $\alpha$ , pentru trei lungimi ale brațului a levierului,  $L=0,1; 0,2$  și  $0,5$  m.

În Fig.4.14 se prezintă caracteristicile pentru trei lungimi ale brațului  $L=0,1; 0,2$  și  $0,5$  m. Cum e și normal, o dată cu creșterea lungimii brațului crește frecvența, dar portanța scade, așa cum se observă din diagramele de încărcare (Fig.4.15)



**Fig.4.15** -Diagramele de încărcare masică  $m$  pentru diverse lungimi ale brațului

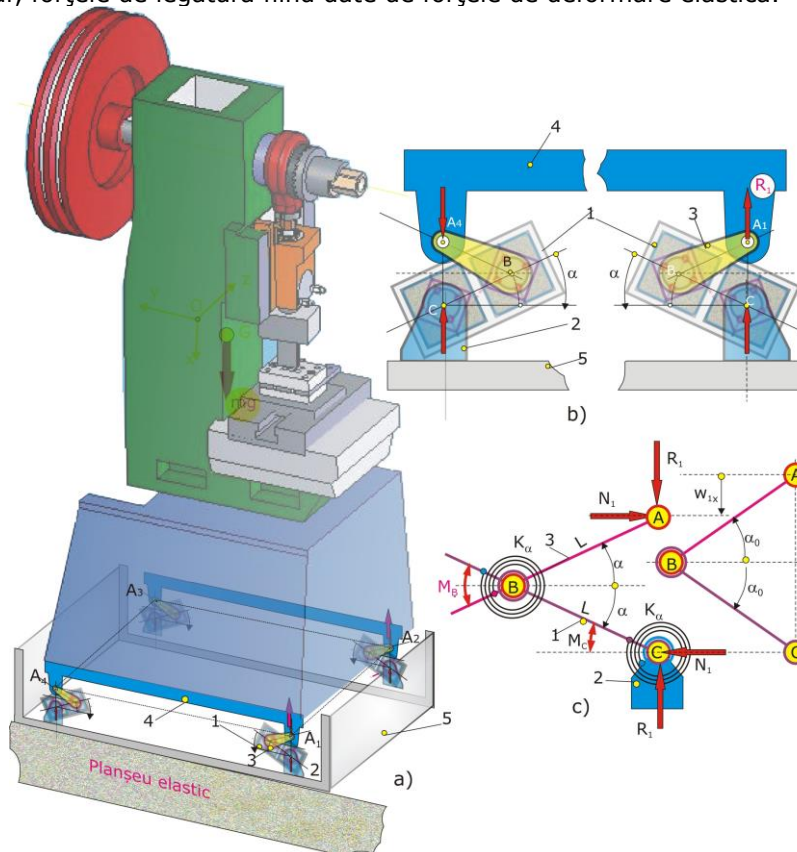
#### 4.2.2.1. Soluție tehnică de izolare antivibratorie a unei prese cu excentric pe un planșeu elastic



O soluție eficientă de izolare a unei prese cu excentric, care poate, în acest caz, să fie amplasată și pe un planșeu elastic, la etajul unei clădiri, este ilustrată în Fig.4.16.

Soluția pe care-am dezvoltat-o utilizează ca elemente elastice elemente de tipul DO-S ROSTA, 1, cu două cuple elastice de torsiune. Una dintre cele două cuple, distanțată față de cealaltă cu lungimea  $L$ , (distanța  $BC$  Fig.4.16 b) și c) ) este încastrată elastic de suportul fix 2, cu axa de rotație împiedecată elastic ce trece prin punctul  $C$ . La celălalt capăt al elementului 1 (punctul  $B$ ) este prins, tot încastrat elastic levierul 3, prins la rîndul său printr-o cuplă de rotație (punctul  $A$ ) de tablierul 4, pe care este așzată talpa preseii

În oglindă, același mecanism, element elastic 1-levier 3, în planul vertical al primului mecanism, este prins la extremitatea opusă a tablierului 5. În acest mod se crează un mecanism pantograf care asigură o mișcare împiedecată elastic prin cuplele elementului 1. Mecanismul pantograf este dublat de un al doilea mecanism pantograf plasat în planul vertical din spate. Punctele de sprijin elastic  $A_1$ ,  $A_2$ ,  $A_3$  și  $A_4$  ale preseii se vor deplasa după condițiile cinematice impuse de mecanismele pantograf, forțele de legătură fiind date de forțele de deformare elastică.



**Fig.4.16** -Soluție tehnică de izolare antivibratorie a unei prese cu excentric pe un planșeu elastic

Prin condițiile cinematice impuse de mecanismul pantograf mișcarea principală a punctului  $A_1$  este o mișcare verticală, poziția mecanismului sub acțiunea reacțiunii  $R_{1x}$  de sprijin pe reazimul  $A_1$  fiind dată prin deplasarea  $w_{1x}$

$$w_{1x} = 2L(\sin \alpha_0 - \sin \alpha) \quad (4.37)$$

Lucru mecanic virtual al reacțiunii  $R_{1x}$

$$\delta L_{R1x} = R_{1x} \cdot \delta w_{1x} \quad (4.38)$$

care trebuie să fie egal cu lucrul mecanic al forțelor de deformare care are două componente:

$$\delta L_C = M_t(a_0 - a)\delta a, \quad (4.39)$$

corespunzătoare deformării în articulația elastică din C, cu unghiul  $(\alpha_0 - \alpha)$ ,  $\alpha_0$  fiind unghiul de poziție al mecanismului în stare neîncărcată ( $R_{1x}=0$ ), și

$$\delta L_B = M_t(2a_0 - 2a)\delta a \quad (4.40)$$

corespunzătoare deformării în articulația din B, unde deformarea unghiulară este dublă.

Cum lucrul mecanic virtual trebuie să fie nul

$$\delta L_{R1x} + \delta L_B + \delta L_C = 0 \quad (4.41)$$

va rezulta

$$R_{1x} = \frac{M_t(a_0 - a) + M_t(2a_0 - 2a)}{2L \cos \alpha} \quad (4.42)$$

iar din relația (4.30), ținând seama că încărcarea nulă este la  $\alpha = \alpha_0$ ,

$$M_t(a_0 - a) = a_t(a_0 - a)^2 + b_t(a_0 - a) \quad (4.43)$$

$$M_t(2a_0 - 2a) = a_t(2a_0 - 2a)^2 + b_t(2a_0 - 2a) \quad (4.44)$$

se obține diagrama valoarea reacțiunii funcție de unghiul de poziție  $\alpha$  căruia îi corespunde o deplasare  $w_{1x}$  pe verticală a punctului de sprijin în  $A_1$ .

Constanta elastică a elementului, pe verticală la poziția  $w_{1x}$  este

$$k_{1x} = \frac{dR_{1x}}{dw_{1x}} \quad (4.45)$$

și depinde de deplasarea  $w_{1x}$  devenind o caracteristică a elementului izolator, caracteristică comună pentru toate cele patru reazeme elastice.

## Capitolul 5

# CERCETĂRI EXPERIMENTALE

Cum s-a constatat din precedentele capitole o deosebită importanță la soluționarea unei probleme de izolare antivibratorie a mașinilor și utilajelor o constituie stabilirea și cuantificarea cât mai exactă a surselor perturbatoare. Din acest motiv acest capitol este dedicat în principal determinării, prin montaje de senzori, forțelor, legilor de mișcare ale elementelor mecanismelor și mișcărilor vibratorii ce rezultă ca efect al perturbațiilor produse.

Experimentările s-au efectuat pe două prese cu excentric; pe una dintre prese s-a efectuat o operație de ștanțare a unei eclise de 3x5x30 mm, iar pe cea de-a doua presă s-a realizat o operație de ambutisare a unei piese de tip farfurie rotundă pornind de la un semifabricat din tablă de dimensiuni 1x150x150 mm

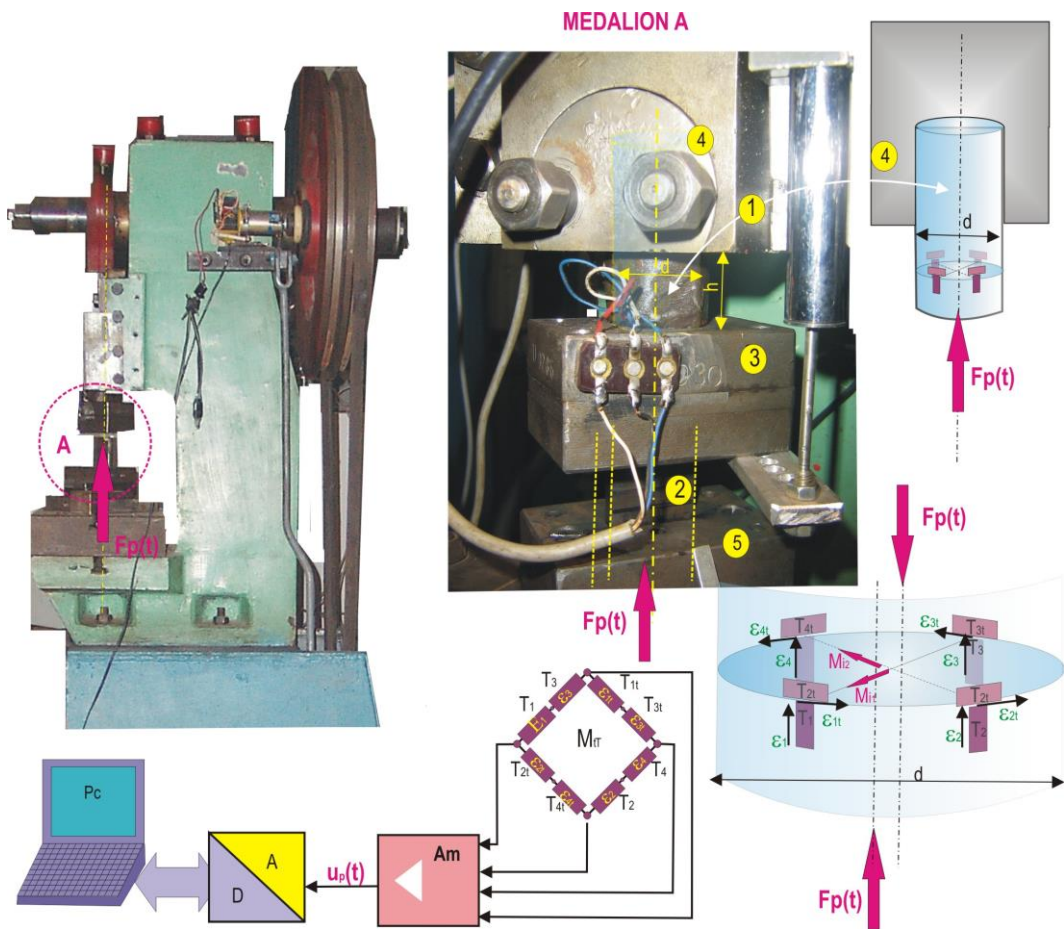
### 5.1. Montaje experimentale

Pentru măsurarea forțelor tehnologice s-a conceput pentru fiecare dintre cele două prese câte un montaj tensometric adaptat condițiilor existente pe cele două structuri.

#### 5.1.1. Măsurarea forței de ștanțare

Pentru măsurarea forței de ștanțare, pe dornul 1 (Fig.5.1), de fixare a poansonului 2 pe berbecul 4 al mecanismului cu excentric, s-a aplicat un montaj complex de 8 traductoare electrezistive (TER).

Acest montaj a fost necesar pentru a fi eliminate efectele de încovoiere pe care le introduc forțele de ghidare ale poansonului în matrița 5. Aceste forțe apar inerent în cazul în care centrul perimetrului de tăiere al semifabricatului nu cade pe axa dornului de fixare. Chiar și în cazul semifabricatului eclisă, care are un perimetru simetric față de această axă pot să apară efecte de încovoiere care pot afecta, în mod negativ semnalul  $u_p(t)$  de ieșire din amplificatorul de măsură  $A_m$  la care este conectat montajul de TER-uri  $M_{tr}$ .



**Fig.5.1** -Ilustrarea măsurării forței de ștanțare printr-un montaj de TER-uri.

Montajul  $M_{tr}$  asigură eliminarea acestor efecte compensând efectele prin conexiunile între TER-urile montajului. Astfel, dacă axa forței de ștanțare este perfect coliniară cu axa cepului 1 atunci deformația axială va fi aceeași pe toată suprafața transversală a cepului,

$$\varepsilon_a = \frac{F_p(t)}{EA} \quad (5.1)$$

unde  $E$  este modulul de elasticitate, iar

$$A = \frac{\pi}{4} d^2 \quad (5.2)$$

este aria suprafeței transversale a cepului.

Să presupunem acum, că în secțiunea de amplasare a TER-urilor acționează un moment de încovoiere rezultat din echilibrul forțelor în ghidaj. Dacă acest moment se descompune în două componente  $M_{i1}$  și  $M_{i2}$  perpendiculare între ele, axele lor fiind orientate după generatoarele de pe suprafața cilindrică a cepului, generatoare după care sunt aplicate TER-urile  $T_1, T_2, T_3$  și  $T_4$ , momentele de încovoiere produc pe suprafața cilindrică a cepului 1 deformațiile,

$$\varepsilon_{i1,2} = \pm \frac{M_{i1,2}}{W}, \quad W = \frac{\pi}{32} d^3 \quad (5.3)$$

Deformațiile cumulate de cele patru timbre amplasate longitudinal sunt:

$$\begin{aligned} \varepsilon_{c1} &= \varepsilon_a + \varepsilon_{i2}; & \text{pt. } T_1 \\ \varepsilon_{c2} &= \varepsilon_a + \varepsilon_{i1}; & \text{pt. } T_2 \\ \varepsilon_{c3} &= \varepsilon_a - \varepsilon_{i2}; & \text{pt. } T_3 \\ \varepsilon_{c4} &= \varepsilon_a - \varepsilon_{i1}; & \text{pt. } T_4 \end{aligned} \quad (5.4)$$

Alte patru TER-uri  $T_{1t}, T_{2t}, T_{3t}$  și  $T_{4t}$  fiind aplicate transversal pe axele TER-urilor  $T_1, T_2, T_3$  și  $T_4$ , vor sesiza deformațiile transversale

$$\varepsilon_{cj\_t} = -\nu \cdot \varepsilon_{cj}; \quad j = 1, 2, 3, 4 \quad (5.5)$$

unde  $\nu$  este coeficientul de contracție transversală a lui Poisson.

Semnalul în tensiune la ieșirea montajului de TER-uri  $M_{tT}$  este dat de ecuația punții Wheatston

$$u_e = \frac{k_t}{4} U_a [(\varepsilon_{c1} + \varepsilon_{c3}) - (\varepsilon_{c1\_t} + \varepsilon_{c3\_t}) + (\varepsilon_{c2} + \varepsilon_{c4}) - (\varepsilon_{c2\_t} + \varepsilon_{c4\_t})] \quad (5.6)$$

$K_t$  fiind constanta de sensibilitate a TER-urilor, ( $k_t \approx 2$ ), iar  $U_a$  tensiunea de alimentare a montajului.

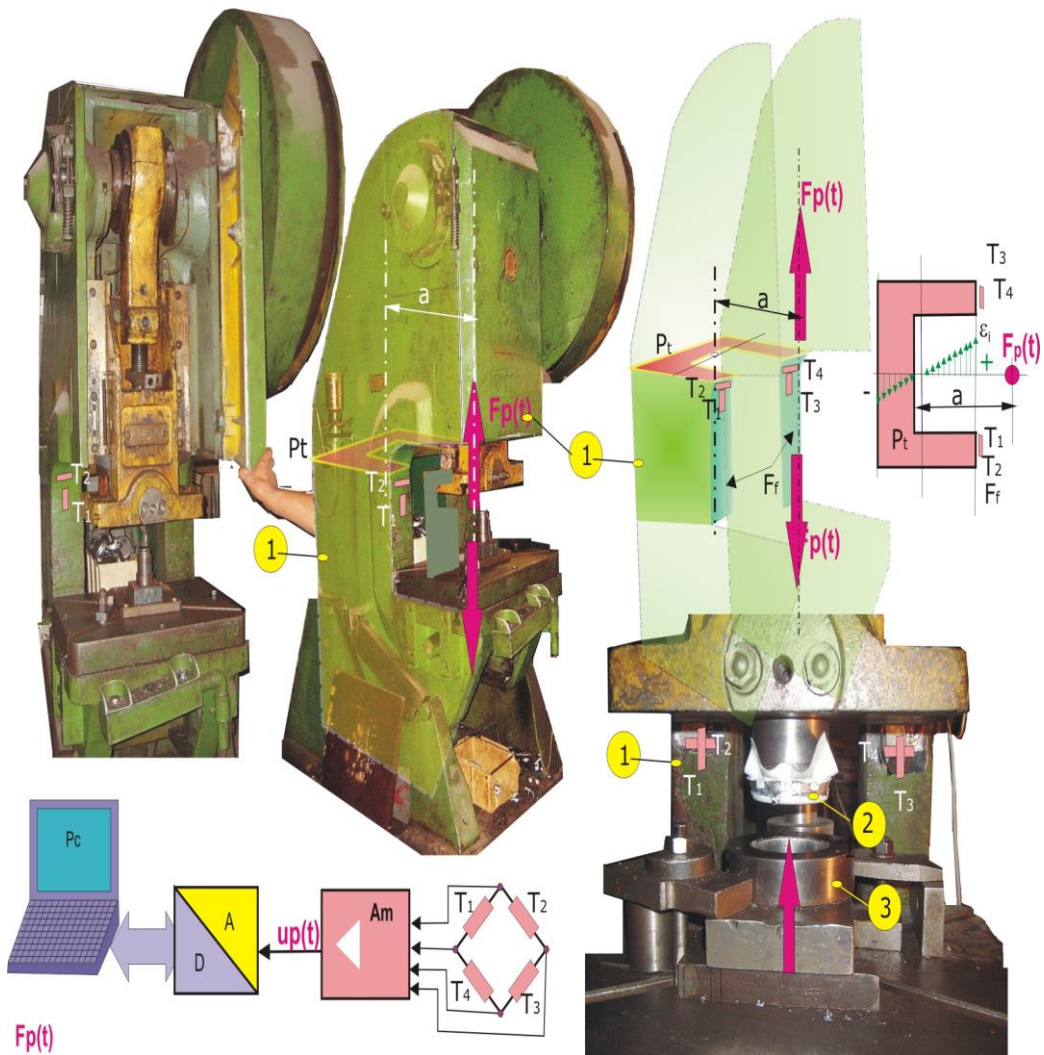
Ținând cont de relațiile (5.4) și (5.5) va rezulta din (5.6),

$$u_e = k_t (1 + \nu) \varepsilon_a U_a \quad (5.7)$$

ceea ce arată că prin montajul de TER-uri  $M_{tT}$  efectul de încovoiere este compensat, semnalul de ieșire din montaj,  $u_e$ , este direct proporțional cu forța de ambutisare  $F_p(t)$ , semnal ce este amplificat prin amplificatorul de măsură  $A_m$ , la nivelul cerut de convertorul analog digital A/D, cuplat prin interfață la calculatorul PC.

### 5.1.2. Măsurarea forței de ambutisare

În cazul ambutisării poansonul 2 și matrița 3 (Fig.5.2) nu au permis amplasarea pe structurile lor a unui montaj de TER-uri prin care să se măsoare forța  $F_p(t)$  de ambutisare astfel ca s-a recurs la amplasarea montajului pe batiul 1 al presei.



**Fig.5.2** -Schema de măsurare a forței de ambutisare pe o presă cu excentric

La amplasarea montajului de senzori s-a ținut seama de faptul că batiul este un cadru curbat deschis, care sub acțiunea forței de ambutisare  $F_p(t)$  și a reacțiunii sale se deformează.

Principala deformare este cea de încovoiere, care caută să deschidă cadrul momentul de încovoiere maxim,

$$M_i = a \cdot F_p(t) \quad (5.8)$$

fiind dezvoltat în secțiunea planului transversal  $P_t$ , unde cadrul schimbă curbura, printr-o racordare de rază minimă. Aici, deformăției de încovoiere

$$\varepsilon_i = \frac{M_i}{EW} \quad (5.9)$$

i se adaugă și cea de axială, de întindere,

$$\varepsilon_a = \frac{F_p(t)}{A_t} \quad (5.10)$$

unde  $A_t$  și  $EW$  sunt aria și respectiv modulul de rezistență ale secțiunii.

Deformația cumulată pe fibrele planului frontal  $F_f$  (interior) va mai cuprinde un termen  $\varepsilon_R$  care ține seama de raza de curbură a cadrului în planul transversal.

$$\varepsilon_C = \varepsilon_j + \varepsilon_a + \varepsilon_R \quad (5.11)$$

În această secțiune pe cele două fețe interioare s-au amplasat patru TER-uri,  $T_1$  și  $T_3$  amplasate longitudinal ele cumulând deformațiile  $\varepsilon_C$ , și  $T_2$  și  $T_4$  amplasate transversal, ele cumulând deformația  $-\nu\varepsilon_C$  efectului transversal. Pentru un câștig maxim de semnal conexiunile TER-uri în punte completă Wheatstone se fac ca în Fig.5.2.

### 5.1.3. Înregistrarea legilor de mișcare ale mecanismului și ale mișcărilor vibratorii ale ansamblului utilajului

Pe lângă forțele tehnologice, determinate prin metodele experimentale prezentate mai sus o importanță la fel de mare în interpretarea datelor o au și legile de mișcare ale mecanismului care sunt influențate de forțele tehnologice.

La fel perturbațiile create de variațiile legilor de mișcare ale mecanismelor produc perturbații inerțiale ce induc vibrații pe structura utilajului, vibrații ce se pot transmite structurilor înconjurătoare, pentru a căror atenuare se caută soluții de izolare.

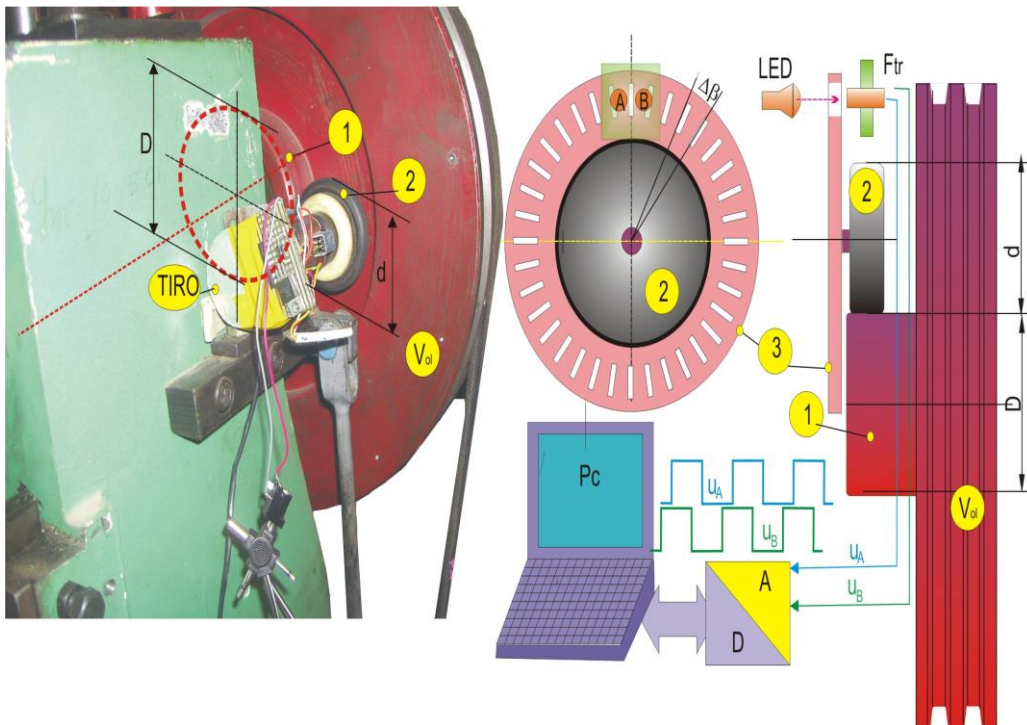
În capitolul 3 s-a simulat dinamica mecanismului cu excentric al presei constatându-se o variație bruscă a vitezei unghiulare în timpul procesului de ștanțare. Din acest motiv pentru înregistrarea fidelă a acestei variații s-a utilizat un sistem corespunzător de înregistrare a legii de rotație a volantului.

S-a utilizat un traductor incremental de rotație TIRO, (Fig.5.3) pe al cărui ax s-a calat o rolă presoare 2, în contact, prin presare, cu butucul 1 al volantului  $V_{It}$ .

Legea de rotație este înregistrată prin două semnale de impulsuri rectangulare  $u_A$  și  $u_B$ , defazate între ele cu  $\pi/2$ . Cele două semnale se obțin prin trecerea unei disc perforat 3 prin dreptul unui sistem optoelectroni format dintr-un LED (Light emitter diode) și două fototranzistoare  $F_{tr}$ , A și B.

Discul 3, fixat pe pe axul traductorului, deci solidarizat cu rola presoare 2, este prevăzut cu un număr  $n$  (1000) de fante divizate radial.

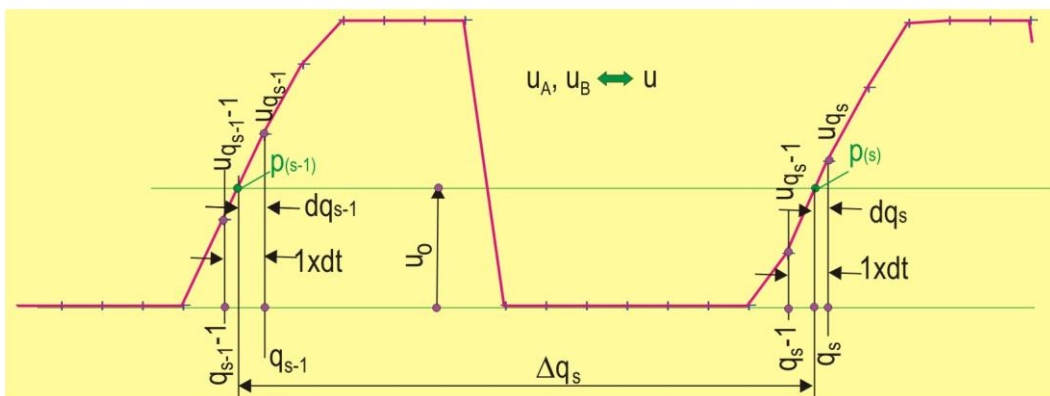
Semnalele rectangulare  $u_A$  și  $u_B$ , se obțin prin obturarea și deschiderea alternativă a fantelor, la rotația discului 3. Când calea razei de lumină este deschisă prin fantă fototranzistorul este activat și dă frontul pozitiv al semnalului (+10 V), iar când calea este obturată semnalul scade brusc la valoarea zero, fototranzistorul fiind neactivat.



**Fig.5.3** -Schema de înregistrare a legii de rotație a volantului

Cele două semnale sunt înregistrate simultan cu semnalele: forței tehnologice  $F_p(t)$ , al deplasării poansonului și al vibrațiilor unui punct de pe batiul utilajului.

Semnalul  $u_A$  sau  $u_B$  fiind înregistrate prin convertorul analog digital A/D cu o rată de eșantionare de  $f_{ea}=60.000$  eșantioane/s arată ca în Fig.5.4. La această rată de eșantionare corespunde un increment de timp  $dt=1/f_{ea}= 1.667 \times 10^{-5}$  s, extrem de scurt ceea ce face ca semnalul  $u_A$  sau  $u_B$  să aibă forma reală trapezoidală.



**Fig.5.4** -Ilustrarea semnalului  $u_A$  sau  $u_B$  digitalizat

În acest caz este necesar ca numărul de eșantioane  $\Delta q_s$  care intră exact într-o perioadă  $\Delta q_s \times dt$ , între două impulsuri succesive  $s-1$  și  $s$ , să fie determinate printr-o interpolare liniară. În acest scop se consideră o linie orizontală care



reprezintă un semnal constant de valoare  $u_0$ . Această linie taie în două liniile ascendente consecutive ale semnalului trapezoidal în două puncte  $P(s-1)$  și  $P(s)$ , distanța dintre ele reprezentând numărul de eșantioane corespunzătoare unei perioade

$$\Delta t_s = \Delta q_s dt \quad (5.12)$$

cu care se poate calcula viteza unghiulară pe acest foarte scurt interval al axului traductorului incremental,

$$\omega_s = \frac{\Delta\beta}{\Delta t_s} \quad (5.13)$$

unde

$$\Delta\beta = \frac{2\pi}{n} \quad (5.14)$$

este pasul unghiular al fantelor de pe discul 3.

Din condițiile geometrice în vecinătățile punctelor  $P(s-1)$  și  $P(s)$ ,  $s$  reprezentând indicele celui de al  $s$ -lea impuls înregistrat, se obțin relațiile de asemănare

$$\frac{dq_{s-1}}{1} = \frac{u_{q_{s-1}} - u_0}{u_{q_{s-1}} - u_{q_{s-1}-1}} \quad (5.15)$$

pentru  $P(s-1)$  și

$$\frac{dq_s}{1} = \frac{u_{q_s} - u_0}{u_{q_s} - u_{q_s-1}} \quad (5.16)$$

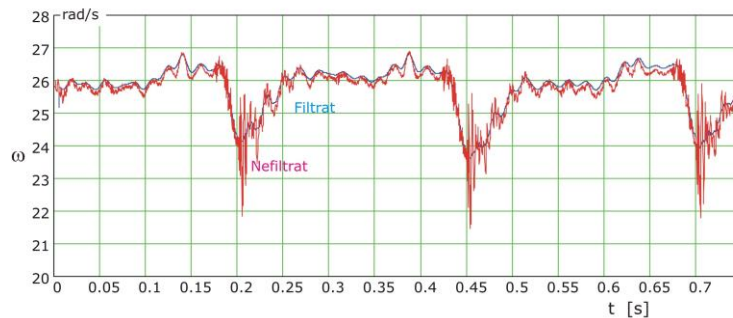
pentru  $P(s)$ , rezultând un număr fracționat de eșantioane pe o perioadă dintre două impulsuri  $u$ .

$$\Delta q_s = q_s - q_{s-1} + dq_{s-1} - dq_s \quad (5.17)$$

Apoi din relațiile (5.12) și (5.13) se determină viteza unghiulară  $\omega$ .

O înregistrare a vitezei unghiulare este prezentată în Fig.5.5 unde cu linie roșie este reprezentată viteza unghiulară procesată după metoda formulată mai sus.

La o sumară examinare se observă o bună potrivire cu diagrama vitezei unghiulare simulată (Fig.3.7.1), pe același domeniu de variație a vitezei unghiulare. Diferența constă în suprapunerea unor componente de frecvență înaltă (relativ la frecvența procesului de ștanțare), provenite din deformațiile elastice ale componentelor lanțului cinematic de transmitere a mișcării de la motorul de antrenare la poanson.



**Fig.5.5** -Înregistrarea variației vitezei unghiulare în procesul de ștanțare

Pentru a separa o parte dintre aceste componente s-a făcut o filtrare a componentelor cele mai înalte, peste 100 Hz, care se află excitate intens în intervalul scurt al procesului de decupare.

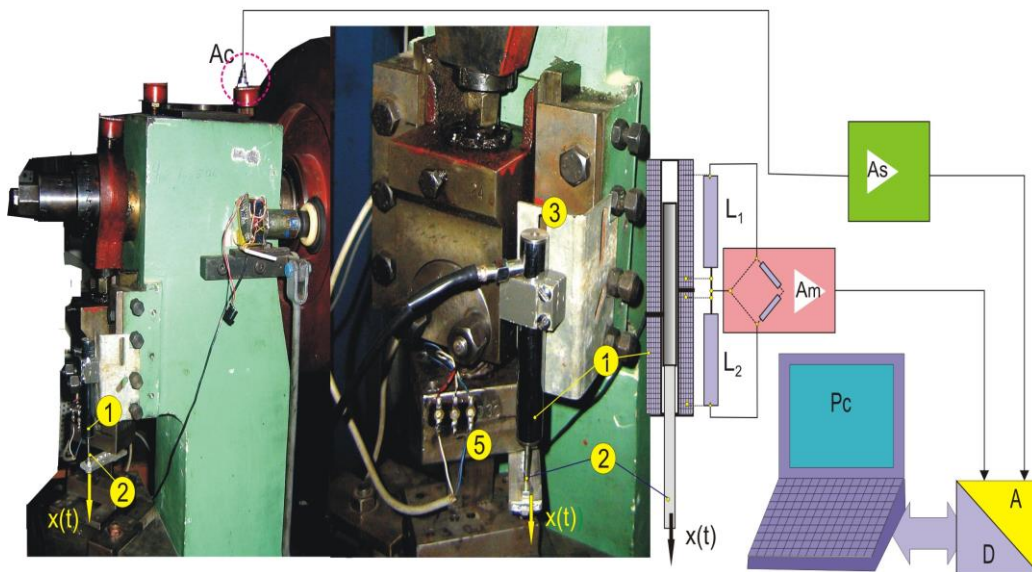
Semnalul filtrat, reprezentat prin linie albastră, clarifică alura diagramei în zona de contact. Pentru filtrare s-a realizat o subrutină de filtrare prin mediere.

$$\omega_m(j \times dt) = \frac{1}{2n_m} \sum_{k=j-n_m}^{j+n_m} \omega(k \times dt) \quad (5.18)$$

unde  $\omega_m(j \times dt)$ , reprezintă valoarea celui de al  $j$ -lea nou eșantion mediat pe  $2n_m$  eșantioane luate simetric în jurul eșantionului  $j$ .

Pentru înregistrarea legii de mișcare,  $x(t)$ , a poansonului s-a utilizat un traductor parametric inductiv de deplasare, compus din corpul 1, (Fig.5.6) fixat de batiul presei și știftul 2 fixat de suportul mobil al poansonului.

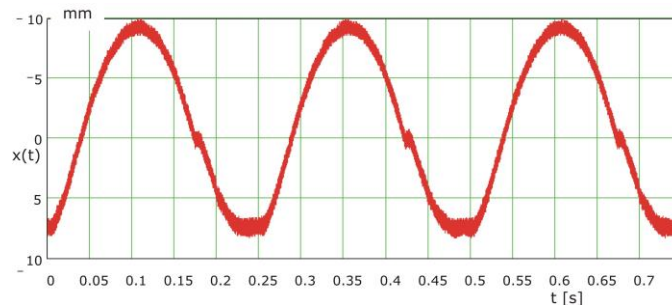
Montajul în semipunte al inductivităților  $L_1$  și  $L_2$  bobinelor situate în carcasa corpului 1, este conectat la amplificatorul de măsură  $A_m$  și de aici semnalul de ieșire, proporțional cu legea de deplasare  $x(t)$ , este digitalizat prin convertorul analog digital A/D și trecut pe un fișier de date în memoria calculatorului PC.



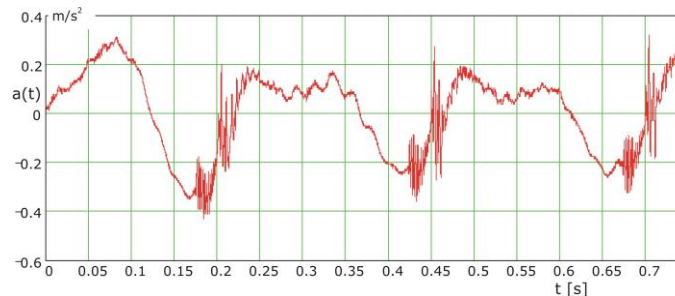
**Fig.5.6** -Schema de înregistrare a legii de mișcare a poansonului și al vibrațiilor pe structura batiului

Aceeași cale de conversie o urmează semnalul de accelerație al accelerometrului piezoelectric,  $Ac$ , semnalul de sarcină generat de accelerometru fiind transformat și amplificat de amplificatorul de sarcină  $As$ .

În Fig.5.7 și Fig.5.8 sunt prezentate, separat, legile de mișcare ale deplasării poansonului (Fig 5.7) și ale accelerației (Fig.5.8) pe direcție orizontală a unui punct de pe batiu.



**Fig.5.7** -Diagrama legii de mișcare  $x(t)$  a poansonului

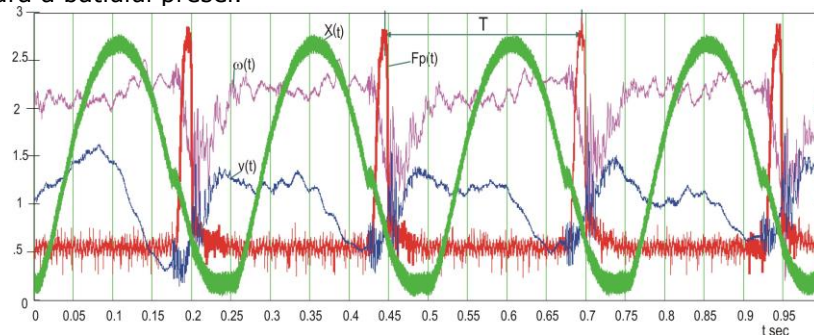


**Fig.5.8** -Vibrograma accelerațiilor mișcării vibratorii pe direcție orizontală a unui punct de pe batiul presei cu excentric

## 5.2 Rezultate experimentale și concluzii

Pentru a putea analiza efectele dinamice înregistrate pe cale experimentală se prezintă câteva înregistrări semnificative, cu simultaneitatea semnalelor înregistrate.

Astfel, diagramele din Fig.5.9 reprezintă înregistrarea simultană a: forței de ștanțare  $F_p(t)$ , a vitezei unghiulare  $\omega(t)$ , a deplasării  $x(t)$  a poansonului și a vitezei  $v(t)$  a mișcării vibratorii pe direcție orizontală a unui punct situat în partea superioară a batiului presei.



**Fig.5.9**-Diagramele forței de ștanțare  $F_p(t)$ , variației vitezei unghiulare a volantului  $\omega(t)$ , legii de deplasare a poansonului  $x(t)$  și vitezei mișcărilor vibratorii pe structura batiului utilajului  $v(t)$

Secvența cuprinde patru operații de ștanțare cu perioada de repetiție  $T=0,24$  s.

Așa cum s-a constatat și prin simulare numerică, în procesul de ștanțare se dezvoltă o forță impulsivă care perturbă mișcarea mecanismului de acționare, ceea ce duce, la apariția perturbațiilor de tip inerțial.

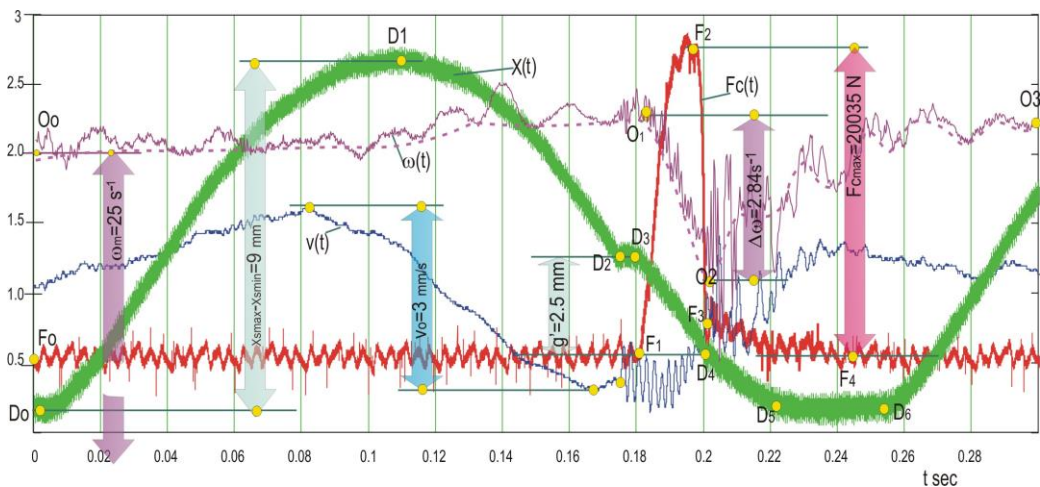
Acestea își fac prezența prin nivelele de vibrații care apar pe structura utilajului, așa cum se poate observa și din înregistrările efectuate .

Detalii ale efectelor ce apar în timpul unui ciclu sunt date în Fig.5.10. La momentul  $t=0$  considerat ca moment de terminare a precedentei operații de ștanțare, semnalul forței  $F_p(t)$  se menține nul pe palierul  $F_0-F_1$ , până în momentul contactului aceasta fiind nulă. Primul contact este sesizat pe diagrama deplasării poansonului  $x(t)$ , când aceasta urcă de la  $D_0$  la maxim, în  $D_1$ , după care coboară și ia contact cu semifabricatul în  $D_2$  și se menține constantă până în punctul  $D_3$ ; această oprire a mișcării poansonului este cauzată de jocul cumulat din cuplele cinematice ale mecanismului.

Constatarea aceasta este argumentată și de faptul că din acest moment forța  $F_p(t)$  începe să crească (punctul  $F_1$ ).

Creșterea forței se realizează pe ramura ascendentă până în  $F_2$  când apare ruperea bruscă a semifabricatului, forța scăzând deasemenea brusc, până în punctul  $F_3$ . Forța scade în continuare, mai lin, până când semifabricatul decupat este eliminat din matriță.

În continuare, la coborârea poansonului apare din nou un palier de stagnare a mișcării, între punctele  $D_5$  și  $D_6$



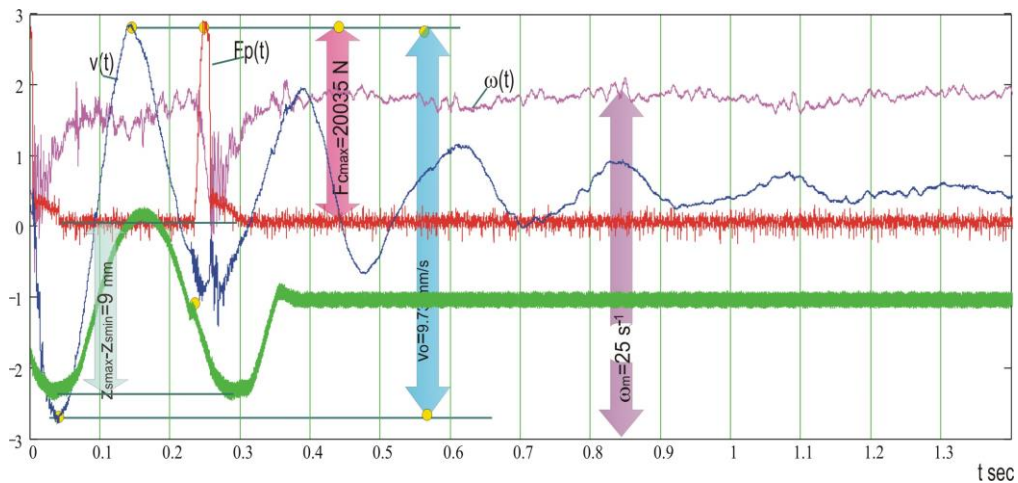
**Fig.5.10** -Diagramele din figura 5.9 extinse pe un ciclu de lucru

Urmărind evoluțiile celorlalte două semnale se constată că viteza unghiulară  $\omega(t)$  a volantului prezintă două componente una care respectă alura legii simulate peste care se suprapune o altă componentă oscilatorie.

Existența acestei componente se explică prin excitarea modurilor de corp elastic ale ansamblului utilajului. Aceste componente modale sunt regăsite și în semnalul  $v(t)$  al vitezei mișcării vibratorii a unui punct de pe structura batiului presei.

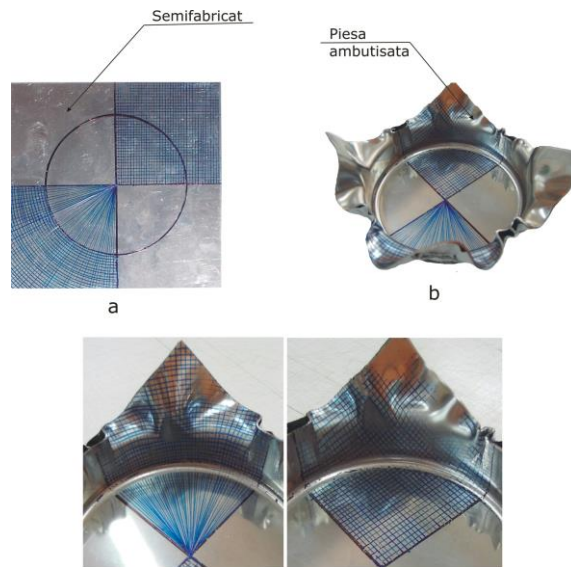
Efectele dinamice devin mai puternice la un proces de ștanțare unică sau un cuplu de două, căreia îi corespund diagramele din Fig.5.11.

În această secvență sunt realizate două ștanțări. După prima se constată o creștere accentuată a vitezei  $v(t)$  a vibrațiilor, care are alura uneia liber amortizată, care nu este perturbată esențial de a doua ștanțare. Acest efect puternic se explică prin faptul că înaintea primei ștanțări mecanismul bielă manivelă și arborele pe care este calat volantul se găsesc în repaus, iar cuplarea volantului cu axul, pentru transmiterea momentului de torsiune prin cuplajul cu pană, se face prin șoc, care dă un cuplu de răsturnare a batiului, după axa arborelui. Această supoziție este justificată și prin faptul că valoarea frecvenței mișcării vibratorii este joasă, de 4,4 Hz, caracteristică unei oscilații de răsturnare, a unui corp sprijinit pe elemente elastice.

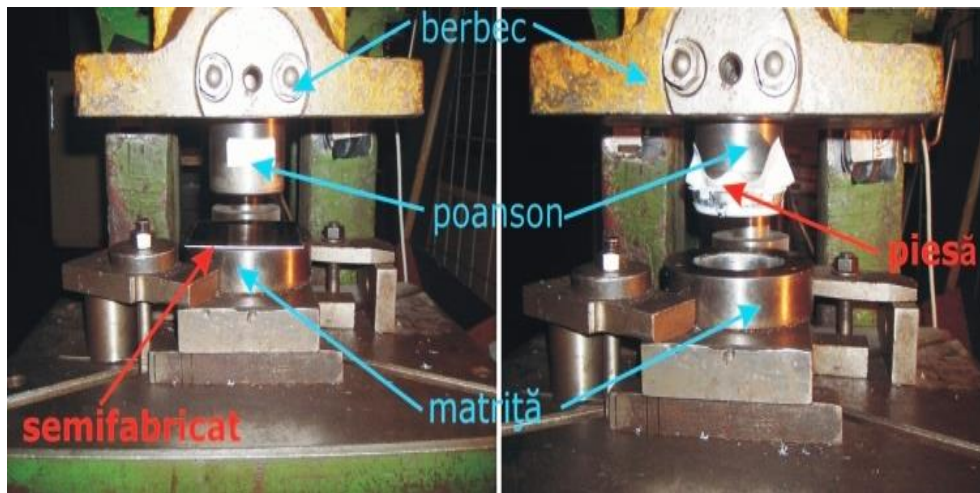


**Fig.5.11** -Diagramele forței de ștanțare, variației vitezei unghiulare a volantului, legii de deplasare a poansonului și vitezei mișcărilor vibratorii pe structura batiului utilajului pentru un cuplu de două ștanțări consecutive

Forțe tehnologice impulsive sunt dezvoltate și la operațiile de ambutisare. O astfel de forță s-a înregistrat pe o presă cu excentric, după schema dezvoltată în Fig.5.2. Ca semifabricat s-a folosit o tablă din oțel cu grosimea de 1 mm, de dimensiuni 150x150 mm, (Fig.5.12a), prin ambutisare rezultând capacul din Fig.5.12b., procesul de deformare fiind ilustrat prin deformarea rețelei de linii trasate înainte de deformare pe suprafața tablei.

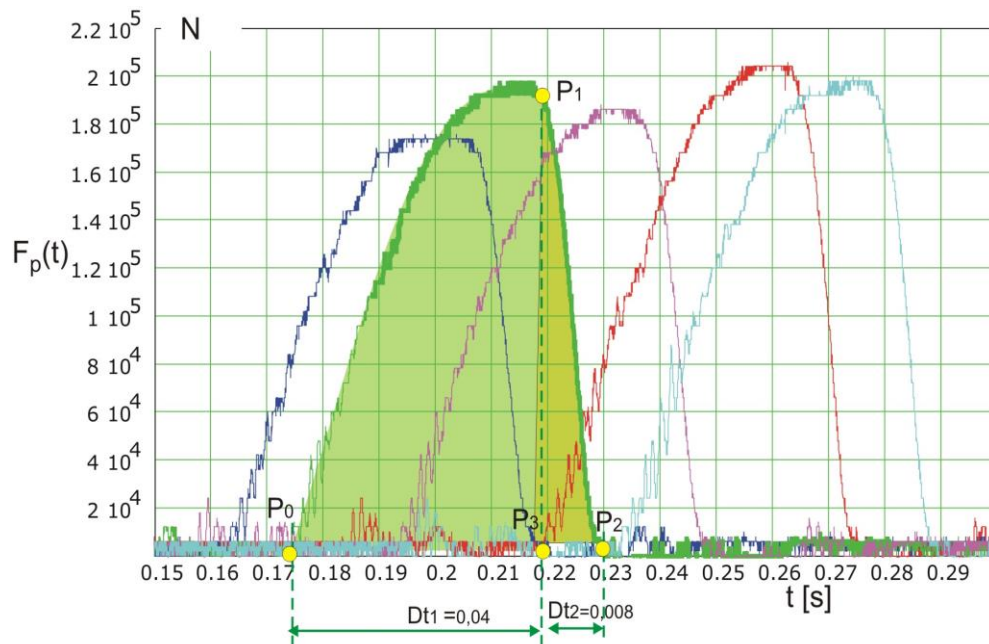


**Fig.5.12** -Ilustrarea ambutisării unui capac din tablă



**Fig.5.13** -Înainte și după operația de ambutisare a unui capac din tablă

În Fig.5.14 sunt trasate diagramele forței  $F_p(t)$  de ambutisare, înregistrate în timpul ambutisării a cinci capace din tablă. Deși magnitudinile forțelor diferă între ele se poate constata aceeași alură a formelor impulsive. Fiecare impuls are două ramuri distincte, una de urcare  $P_0$  la  $P_1$ , care are o durată  $Dt_1=0,04$  s și alta de coborâre rapidă la  $P_2$  de durată, evident mai mică, de  $Dt_2=0,008$  s.



**Fig.5.14** -Diagramele forței de ambutisare pentru un număr de cinci ambutisări

Deci și în cazul modelării forței de ambutisare este necesară alegerea a două funcții care se vor racorda între ele în punctul  $P_1$ .

Presa utilizată în cadrul experimentărilor este o presa cu forța nominală de 100 tone; magnitudinea forțelor impulsive nu a depășit 20 tone (200000 N); semnalul obținut la ieșirea amplificatorului tensometric (Fig.5.2) este de nivel scăzut.

Forța  $F_p(t)$  fiind de tip impulsiv, pentru un semnal de nivel superior se pot utiliza montaje cu TER-uri piezorezistive, sau chiar traductoare piezoelectrice generatoare. Un astfel de montaj permanent va constitui un mijloc eficient de supraveghere a funcționării în siguranță a utilajului.

Modificări ale formei și magnitudinii semnalului  $F_p(t)$  pot da informații utile diagnosticării uzurii, în primul rând a matriței.

## Capitolul 6

# CONCLUZII.CONTRIBUȚII ORIGINALE

Teza de doctorat cu titlul *METODE ȘI ECHIPAMENTE DE IZOLARE ANTIVIBRATORIE A PRESELOR MECANICE* constituie un studiu teoretic și experimental care se va continua pentru a reliefa fenomenele perturbatoare care apar în structura preselor mecanice în timpul funcționării acestora, cu scopul de a găsi soluția optimă de izolare antivibratorie care să elimine sau să minimalizeze efectele nedorite determinate de aceste fenomene.

Variația în timp atât a forțelor tehnologice de tip impulsiv care apar în procesele de prelucrare, cât și a forțelor de inerție generate de mișcările mecanismelor preselor, determină apariția vibrațiilor în structura acestora. Astfel, pentru realizarea unei izolatori eficiente este necesar să se realizeze o analiză cinematică și dinamică detaliată a mecanismelor preselor.

Prin modelarea mișcărilor din mecanismele celor mai reprezentative tipuri de mașini utilizate pentru prelucrări prin deformare plastică la rece (prese cu excentric, cu genunchi și cu fricțiune, ciocane cu acționare electromecanică, pneumatică și hidraulică, prese cu acționare hidraulică) am determinat legile de variație în timp ale deplasării, vitezei și accelerației elementului activ (poansonului), în scopul determinării forțelor de inerție care apar în procesul tehnologic.

Prin ilustrarea grafică a vitezei unghiulare  $\omega(t)$  și a accelerației unghiulare  $\varepsilon(t)$  a volantului presei cu excentric pentru materiale cu grosimi diferite, am pus în evidență modul de variație al acestor mărimi în funcție de grosimea semifabricatului ștanțat.

În vederea calculării vibrațiilor de corp rigid ale unei prese rezemate pe izolatori de vibrații, am realizat un model care include efectele giroscopice ale volantului și caracteristica motorului de acționare cu putere limitată, pe baza căruia s-au determinat cele șase moduri de vibrație precum și răspunsul dinamic la perturbații produse în timpul prelucrării.

Pentru determinarea energiei cinetice a întregului mecanism al presei cu excentric am calculat masele și momentele de inerție cu ajutorul unor subrutine în mediul de programare Solid Works.

În scopul minimalizării vibrațiilor unei prese cu excentric rezemată pe un planșeu elastic, am propus o soluție de izolare bazată pe elemente elastice de torsiune de tip ROSTA.

Prin utilizarea unor montaje experimentale pentru măsurarea forțelor cu ajutorul traductoarelor tensometrice rezistive, pentru măsurarea vitezei unghiulare a volantului cu traductor incremental de rotație TIRO, concomitent cu măsurarea forței tehnologice, a deplasării poansonului, cu un traductor inductiv de deplasări, și a vibrațiilor unui punct de pe batiul presei, cu un accelerometru piezoelectric, am realizat determinări experimentale pe două prese cu excentric existente în dotarea laboratorului de cercetare pentru vibrații mecanice, pe care s-au efectuat operații de ștanțare, respectiv ambutisare.



Diagramele rezultate în urma acestor determinări experimentale au pus în evidență variația în timp a forței de ștanțare, a vitezei unghiulare a volantului, a deplasării poansonului și a vitezei unui punct din partea superioară a batiului preseii, iar rezultatele experimentale obținute au fost în concordanță cu cele obținute teoretic, prin simulare numerică.

Prin urmare, pe lângă forțele tehnologice, determinate prin metodele experimentale, la fel de importante sunt și legile de mișcare ale mecanismului care sunt influențate de aceste forțele tehnologice.

La fel, perturbațiile date de masele aflate în mișcare de rotație, variația vitezei unghiulare a volantului, momentul forțelor de inerție cauzate de variația vitezei unghiulare a volantului, forța de inerție ce lucrează asupra masei berbecului în mișcarea de translație, induc vibrații pe structura utilajului, vibrații care se pot transmite structurilor înconjurătoare, pentru a căror atenuare se caută soluții de izolare.

Ținând cont de toate efectele perturbatoare subliniate mai sus, am realizat un model dinamic complex, care permite simularea diverselor soluții de izolare, în vederea alegerii uneii soluții optime din punct de vedere a izolării antivibratorii.

Sper ca în cercetările științifice ulterioare legate de problematica acestei teze, rezultatele obținute să se materializeze chiar într-una dintre soluțiile determinate pe cale teoretică.

## BIBLIOGRAFIE

1. Allemang R. J., Brown D. L.: *Experimental Modal Analysis-Internet*
2. Arwidson C.: *Numerical Simulation of Sheet Metal Forming for High Strength Steels, internet*
3. Ayre R. S.: *Transient Response to Step and Pulse Functions*
4. Bălăşoiu V., Raszga C, Anton I.: *Acționări și comenzi hidropneumatice, îndrumător de calcul și proiectare, Institutul Politehnic Traian Vuia Timișoara, 1991*
5. Beong-Du Ko, Dong-Hwan Jang, Ho-Joon Choi, Beong-Bok Hwang: *Experimental Investigation on the Tube Forming in the Radial-Forward Extrusion, International Journal of Precision Engineering and Manufacturing Vol.6, No.2, April 2005*
6. Blake R.E.: *Basic Vibration Theory-internet*
7. Bratu P.: *Sisteme elastice de rezemare pentru mașini și utilaje*, Editura Tehnică, București, 1990;
8. Bratu P.: *Vibrațiile sistemelor elastice*, Editura Tehnică, București, 1999;
9. Bratu P.: *Izolarea și amortizarea vibrațiilor la utilaje de construcții*, Editura INCERC, București, 1982;
10. Brokken D.: *Numerical Modelling of Ductile Fracture in Blanking*, Technische Universiteit Eindhoven, 1999
11. Chalmers R, H.: *Shock Testing Machines-internet*
12. Chu A. S.: *VIBRATION TRANSDUCERS-internet*
13. Cioara T. Gh., Gligor Tr., Bereteu I., Daescu D.: *Experimental Method for Multicylinder Compressor Massive Foundation Vibration Analysis*, 6<sup>TH</sup> International Conference Soil Dynamics, Southampton, uk 1993 pp.655-672
14. Cioara T. Gh.: *Tehnici experimentale în inginerie. Tructoare și senzori*, Editura Politehnica Timișoara, 1999, ISBN 9739389-33-3
15. Cioara T. Gh.: *Vibrații și zgomote. note de curs*, ediție electronică, Universitatea Politehnica Timișoara
16. Cioara T. Gh.: *Vibration in Engineering*, CD Lectures
17. Cioara T. Gh.: *Vibration Monitoring of Mechanical System. Fault Diagnosis Level Reduction*, ed. University of south Carolina Columbia U.S.A., 1999, ISBN 973-9485-09-x
18. Cioara T. GH.: *Vibration of Mechanical Systems with the Composed Motions*, MCT Grant 276, Report 1998 Processing
19. Courrech J., Eshleman R. L.: *Condition Monitoring of Machinery-internet*
20. Crede C. E., Ruzicka J. E.: *Theory of Vibration Isolation- internet*
21. Dărăbonț Al., Iorga I., Văiteanu D., Simashevici H.: *Șocuri și vibrații. aplicații în tehnică*, Editura tehnică, București, 1998
22. DeJong R. G.: *Statistical Methods for Analyzing Vibrating Systems-internet*
23. Dincă F., Teodosiu C.: *Vibrații neliniare și aleatoare*, Editura academiei Republicii Socialiste România, București, 1969
24. Dodescu Gh., Toma M.: *Metode de calcul numeric*, Editura didactică și pedagogică, București, 1976
25. Ehrich F.: *Self-Excited Vibration-internet*

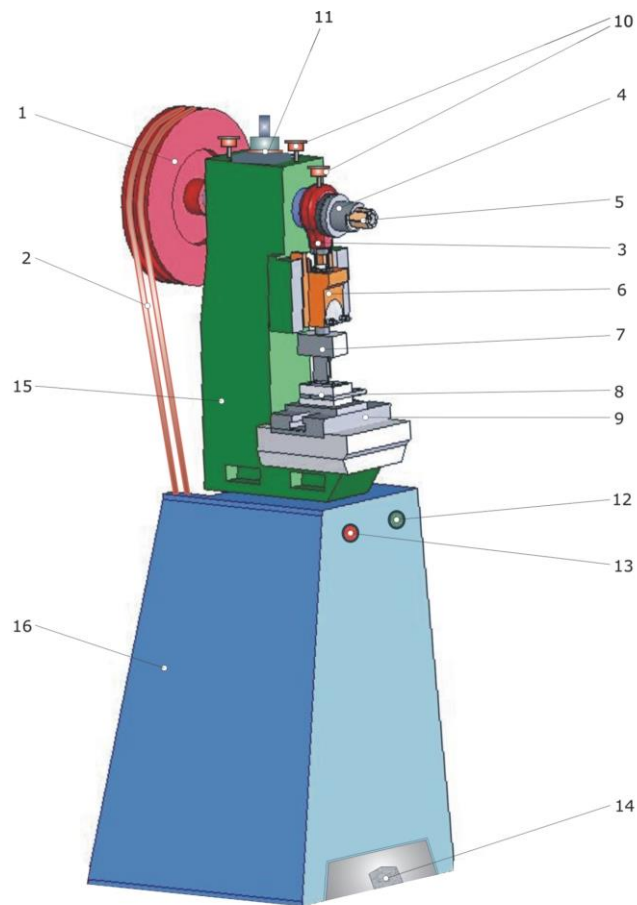
26. Ehrich F., Abramson H. N., *Nonlinear Vibration*-internet
27. El Naggar M. H., Chehab A. G.: *Vibration barriers for shock-producing equipment*-internet
28. Evans D. J., Pusey H. C.: *Shock and Vibration Standards*-
29. Fancis J, Andrews P.E, Fabreeka International: *A primer for Vibration Isolation*, internet
30. Guigou-Carter C., Villot M., Guillerme B., Petit C.: *Analytical and Experimental Study of Sleeper SAT S 312 in Slab Track Sateba System*, Journal of Sound and Vibration 293 (2006) 878-887, [www.sciencedirect.com](http://www.sciencedirect.com)
31. Hall W. J.: *Vibration of Structures Induced by Ground Motion*- internet
32. Harris C. M., Crede C. E.: *Șocuri și vibrații, vol I, II, III*, Editura tehnică, București, 1968-1969
33. Harris C. M., Piersol A.G.: *Shock and Vibrations Handbook*, 5<sup>TH</sup> Edition, Mcgraw-hill, new york, 2002
34. Harris C. M.: *Measurement Techniques*-internet
35. Harris C. M.: *Shock and Vibrations Handbook*, 4<sup>TH</sup> Edition, mcgraw-hill 1995
36. Himelblau H., Rubin S.: *Vibration of a Resiliently Supported Rigid Body*-internet
37. Hixson E.L.: *Mechanical Impedance*-internet
38. Hoppmann W. H.: *EFFECTS OF IMPACT ON STRUCTURES*-internet
39. Hutte: *Manualul inginerului*, Ed.tehnică, București, 1995
40. Iliescu C.: *Tehnologia Presării la rece*, Editura didactică și pedagogică, București, 1984
41. Jiting Li, Tomovic M. M.: *Type Synthesis of Mechanism System*, Society for Manufacturing Engineers-Education Foundation SME-EF Grant #5004 for "Curriculum Modules in Product Lifecycle Management", internet
42. Siegert K., Kammerer M.: *Impact Extrusion Processes Advanced Level, TALAT Lecture 3502, Institut für Umformtechnik, Universität Stuttgart*.
43. Leopa A.: *The Influence of Nonlinearbehavior of Viscous-Elastic Element on Equipment Foundationwith Dynamical Apply Stresses*
44. Lubarda V.A., Benson D.J., Meyers M.A.: *Strain-rate Effects in Rheological Models of Inelastic Response*, International Journal of Plasticity19 (2003) 1097-1118.
45. Mak\* C.M., Jianxin Su.: *A Power Transmissibility Method for Assessing the Performance of Vibration Isolation of Building Services Equipment*, Applied Acoustics 63 (2002) 1281-1299, INTERNET
46. Mangeron D., Irimiciuc N.: *Mecanica rigidelor cu aplicații in inginerie, volumul III-Mecanica vibrațiilor siatemeilor rigide*, Editura tehnică, București 1981
47. Maniu M., Dolga V.: *Aționarea roboților industriali și a manipuloarelor, vol I*, Editura mirton, Timișoara, 1996
48. Newton R. E.: *Theory of Shock Isolation*-internet
49. Olariu V., Sima P., Achiriloaie V.:*Mecanica tehnică*, Editura tehnică, București, 1982
50. Park Y., Colton J. S.: *Failure Analysis of Rapid Prototyped Tooling in Sheet Metal Forming—Cylindrical Cup Drawing*, Journal of Manufacturing Science and Engineering FEBRUARY 2005, Vol. 126-137 127.
51. Popovici C.: *Prelucrări prin deformare plastică*, Internet
52. Racca R. H., Cyril M. H.: *Shock and Vibration Isolators and Isolation Systems*, internet

53. Randall R. B.: *Vibration Analyzers And Their Use*-internet
54. Randall R. B.: *Vibration Measurement Instrumentation*-internet
55. Reed F. E.: *Dynamic Vibration Absorbers And Auxiliary Mass Dampers*
56. Rosinger Șt.: *Tehnologia Presării A Rece*, Institutul Politehnic Traian Vuia, Timișoara, 1997
57. Sandi Horea: *Elemente de dinamica structurilor*, Editura Tehnică, București, 1983
58. Seiculescu V.: *Utilaje de dresare*, Universitatea Tehnică Timișoara, 1991
59. Shearer J.L.: *Study Of Pneumatic Processes In The Continuous Control Of Motion With Compressed Air I, II*, Trans. Asme, Pp. 233-249, Feb.1956
60. Siegert K., Kammerer M.: *Impact Extrusion Processes Advanced Level TALAT Lecture 3502*, Institut für Umformtechnik, Universität Stuttgart.
61. Slaș Gh.: *Mecanică. vibrații mecanice*, Editura didactică și pedagogică, București, 1968
62. Smallwood D. O.: *Vibration Testing Machines*
63. Staicu Șt.: *Aplicații ale calcului matricial în mecanica Solidelor*, Editura Academiei Republicii Socialiste România, București 1986
64. Stokey W. F.: *VIBRATION OF SYSTEMS HAVING DISTRIBUTED MASS AND ELASTICITY*-internet
65. Tabară V., Catrina D., Gane V.: *Calculul, proiectarea și reglarea preselor*, Editura Tehnică, București 1976
66. Țirdea a., Basarabă-Oprîtescu c.: *Impulsive Forces Effects In The Cutting Process Of The Mechanic Press With Crack And Connecting-Road Assembly*, Symposium Of The Institute Of Solid Mechanics, București, 2008
67. Țirdea A., Cioara T. Gh.: *Dynamics Testing Of A Crankshaft Press*, International Conference On Engineering Dynamics (Iced 2007), Carvoeiro, Algarve, Portugal, 16-18 April, Book Of Abstracts, Paper 1089, Pag.38
68. Țirdea A., Dragu F.: *Experimental Testing Of The Crankshaft Press*, Annals Of Oradea University. Fascicle Of Management And Technological Engineering, Volume Xvi (Vi), 2007, Issn 1583-0691, Cncsis "Clasa B+", Pag. 15, 53-58
69. Țirdea A.: *Modele de calcul dinamic al ansamblului mașină- sistem de izolare antivibratoriu*, Referat Nr.2, 2006
70. Țirdea A.: *Stadiul actual al cercetărilor privind izolarea antivibratorie a preselor mecanice*, . Referat Nr.1, 2005  
Țirdea a.: *Teste experimentale ale unor sisteme de izolare antivibratorie la o presă mecanică*, Referat nr.3, 2006
71. Țirdea A.: *Vibration Isolation For An Eccentric Press*, Annals Of Oradea University. Fascicle Of Management And Technological Engineering, Volume XV (V), 2006, Issn 1583-0691, Cncsis "Clasa B", Pag.10, 33-36
72. Tureac I., Cojocaru Șt., Bănică I.: *Exploatarea, întreținerea și repararea utilajelor tehnologice de presare la rece*, Editura Tehnică, București, 1984
73. Verruijt A., Cordova C. C.: *Moving Loads on an Elastic Half-Plane With Hysteretic Damping*, Journal of Applied Mechanics, november 2001, Vol. 68 / 921
74. *Vibration Isolation AND Seismic Control Manufacturers Association Under a Cooperative Agreement Between The Federal Emergency Management Agency and the American Society of Civil Engineers: Installing Seismic Restraints for Mechanical Equipment*, Fema 412/December 2002, Internet

75. Yilmaz C., Kikuchi N.: Analysis And Design of Passive Low-Pass Filter-Type Vibration Isolators Considering Stiffness and Mass Limitations, *Journal of Sound and Vibration* 293 (2006) 171–195, [www.sciencedirect.com](http://www.sciencedirect.com)
76. \*\*\**Anti-Vibrations Products*: <http://www.cmsantivibration.co.uk>
77. \*\*\**Damping In Structures*, Internet
78. \*\*\**Engineering Applications. Machine Foundation On The Surface Of A Layered Half-Space*, Internet
79. \*\*\**Foundation Isolation Solutions for Equipment & Machines*: [www.fabreeka.com](http://www.fabreeka.com)
80. \*\*\**Machine Dynamics*, Internet
81. \*\*\**Mechanical Engineering Hand Book*, Crc Press, 1999
82. \*\*\**Pneumatic Forging Hammer*, [www.chinesehammers.com](http://www.chinesehammers.com)
83. \*\*\**Pneumatic Handbook*, 8<sup>th</sup> Edition, Internet
84. \*\*\**Rosta Rubber Suspension Units*, <http://www.tecnicaindustriale.it>
85. \*\*\**Shock and Vibration Damping Components*: [www.vibrationmounts.com](http://www.vibrationmounts.com)
86. \*\*\**Technical Section: Vibration and Shock Isolation*: [www.vibrationmounts.com](http://www.vibrationmounts.com)
87. \*\*\**The Engineering Solutions To Isolate Shock, Vibration, And Noise*: <http://www.qontrol.com>
88. \*\*\**The Vibrations Of The Structures With One Degree Of Freedom*, Internet
89. \*\*\**The Vibrations Of The Structures With More Than One 87. Degree On Freedom*, Internet
90. \*\*\**Vibration Isolation, Products and Systems*: <http://www.kineticsnoise.com>
91. \*\*\**Vibration Isolators, Machine Mounts and Shock Control Systems*: <http://www.vibrodynamics.com>
92. \*\*\**Vibrations Isolations Products*: <http://www.cfm-itbona.com>

## ANEXA 1

### ANSAMBLU PRESĂ CU EXCENTRIC



- 1 - volant
- 2 - curele de transmisie
- 3 - biela
- 4 - bucșe de reglare
- 5 - piuliță de reglare
- 6 - berbec
- 7 - poanson
- 8 - matriță

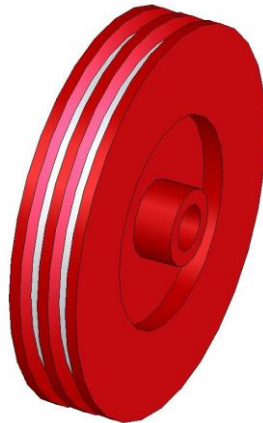
- 9 - masa matriței
- 10 - dispozitive pentru ungere
- 11 - capac
- 12 - buton de pornire
- 13 - buton de oprire
- 14 - pedala de acționare
- 15 - batiu
- 16 - suport presă

## COMPONENTE PRESĂ CU EXCENTRIC

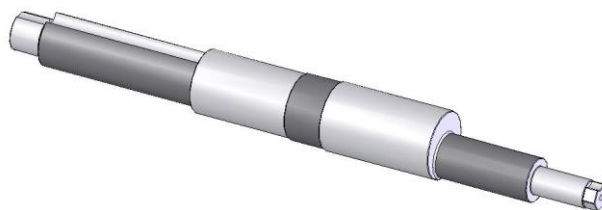
- **ROATA MOTOARE**



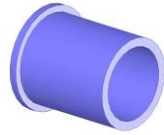
- **VOLANT**



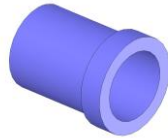
- **ARBORE**



- **BUCSA 1**



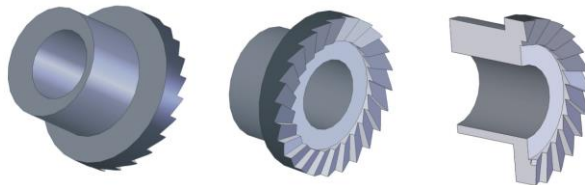
- **BUCSA 2**



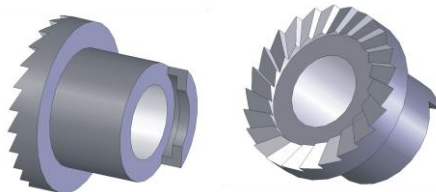
- **INEL OPRITOR**



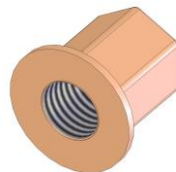
- **BUCȘĂ DE REGLARE CU DINȚI EXCENTRICĂ\_1**



- **BUCȘĂ DE REGLARE CU DINȚI\_2**

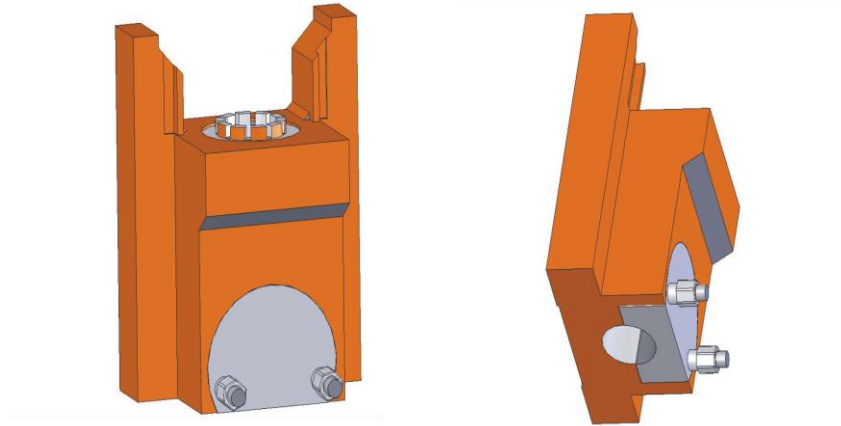


- **PIULIȚĂ DE REGLARE**

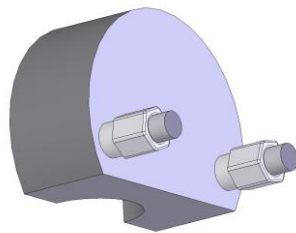




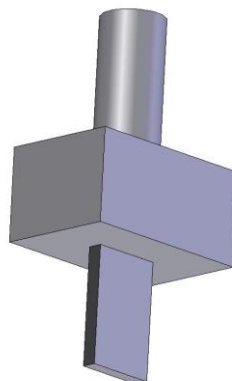
- **BERBEC**



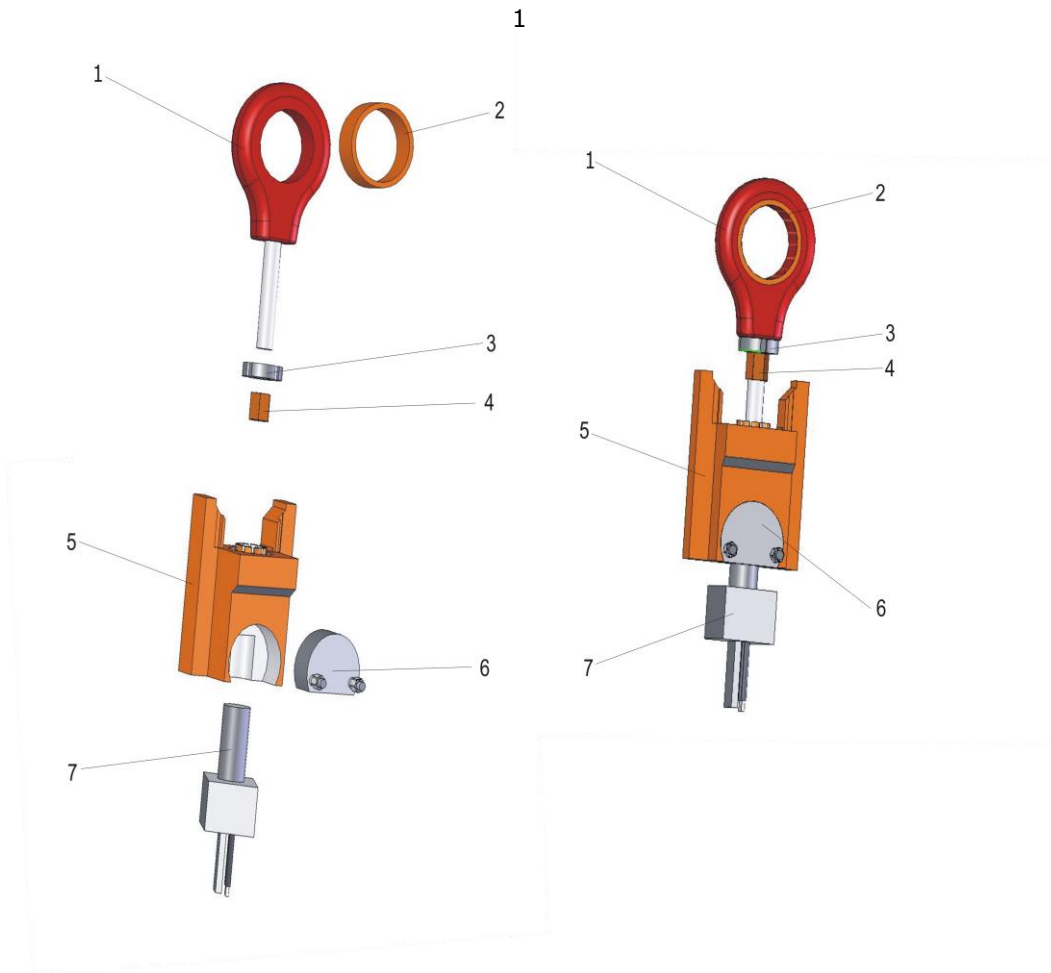
- **DISPOZITIV DE PRINDERE A POANSONULUI ÎN BERBEC**



- **POANSON**

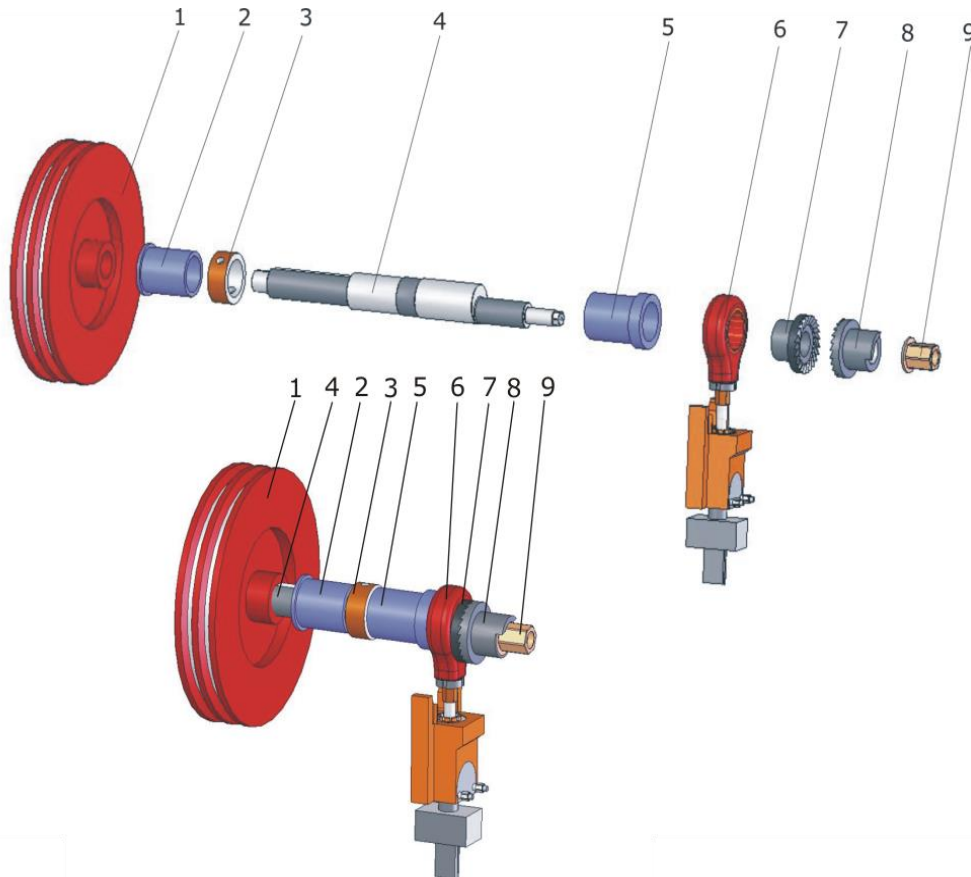


• **SUBANSAMBLU BIELĂ-BERBEC-POANSON**



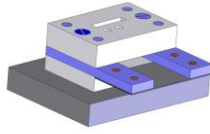
- 1-biela
- 2-bucșa bilea
- 3-disc
- 4-piuliță
- 5-berbec
- 6-dispozitiv de prindere poanson
- 7-poanson

• **SUBANSAMBLU VOLANT-ARBORE-BIELĂ-BERBEC**

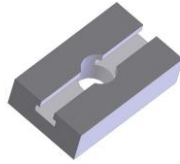


- 1-volant
- 2-bucsa 1
- 3-inel opritor
- 4-arbore cu excentric
- 5-bucsa 2
- 6-subansamblu biela-berbec-poanson
- 7-bucsa de reglare excentrica
- 8-bucsa de reglare
- 9-piulita de reglare

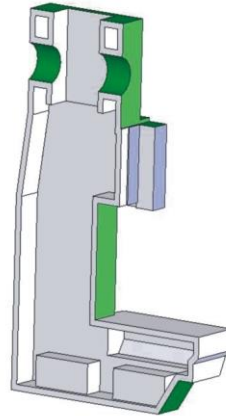
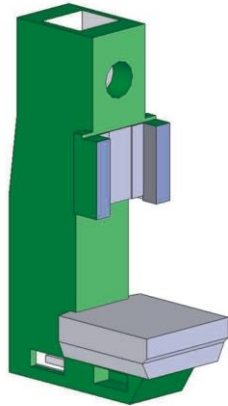
- **MATRIȚĂ**



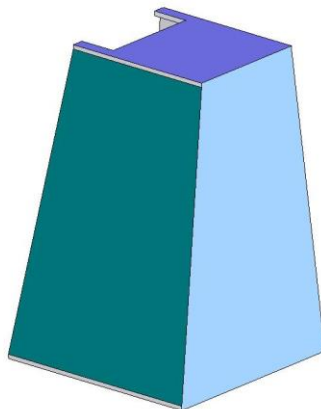
- **MASA MATRIȚEI**



- **BATIU**

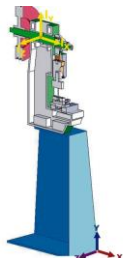






- **SUPORT BATIU**

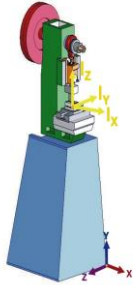
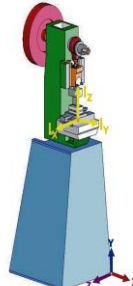
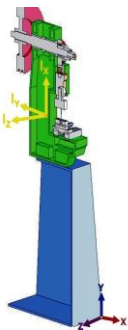




## ANEXA 3

### CENTRELE DE MASĂ ȘI MOMENTELE DE INERȚIE ALE PRINCIPALELOR COMPONENTE ALE PRESEI

Nr. crt.	Componenta	Densitate, $\rho$ [kg/m <sup>3</sup> ] Masa, m [kg] Volum, v [m <sup>3</sup> ] Suprafata, s [m <sup>2</sup> ]		Coordonatele centrului de greutate  [m]		Momentele de inerție axiale  [kg·m <sup>2</sup> ]	Momente de inerție centrifugale  [kg·m <sup>2</sup> ]
		1	2	3	4	5	6
1	<b>ARBORE</b>  	<b><math>\rho</math></b>	7850	<b>X</b>	-0.243	$I_x=(1, -0.012, 0)$ $I_y=(0.012, 1, -0.000258)$ $I_z=(2.1e-006, 0.000258, 1)$  $P_x=0.00162$ $P_y= 0.0759$ $P_z = 0.076$	$I_{xx}=9.43$ $I_{xy}=-1.75$ $I_{xz}=-0.326$  $I_{yx}=-1.75$ $I_{yy}=0.728$ $I_{yz}=1.7$  $I_{zx}=-0.326$ $I_{zy}=1.7$ $I_{zz}=9.52$
		<b>m</b>	5.7  0.000713  0.0702	<b>Y</b>  <b>Z</b>	1.26  0.236		
2	<b>VOLANT</b>  	<b><math>\rho</math></b>	7850	<b>X</b>	-0.403	$I_x=(0, 1, 0)$ $I_y=(0, 0, 1)$ $I_z=(1, 0, 0)$  $P_x=0.241$ $P_y=0.241$ $P_z=0.463$	$I_{xx}=54$ $I_{xy}=-16.5$ $I_{xz}=-3.07$  $I_{yx}=-16.5$ $I_{yy}=7.28$ $I_{yz}=9.63$  $I_{zx}=-3.07$ $I_{zy}=9.63$ $I_{zz}=57.2$
		<b>m</b>	32.3  0.00411  0.307	<b>Y</b>  <b>Z</b>	1.27  0.236		

1	2	3		4		5	6
3	<b>BIELĂ</b>	<b>p</b>	7850	<b>X</b>	-0.0981	Ix=(0,1, -0.00191)	Ixx=2.57 Ixy=-0.196 Ixz=-0.037
		<b>m</b>	1.6 0.000204 0.0307	<b>Y</b>	1.25	Iy=(0, 0.00191,1)	Iyx=-0.196 Iyy=0.105 Iyz=0.47
				<b>Z</b>	0.236	Iz=(1,0,0)	Izx=-0.037 Izy=0.47 Izz=2.5
4	<b>BERBEC</b>	<b>p</b>	7850	<b>X</b>	-0.106	Ix=(0.0694, 0.998, -0.00839)	Ixx=4.86 Ixy=-0.443 Ixz=-0.0941
		<b>m</b>	3.76 0.000524 0.0701	<b>Y</b>	1.11	Iy=(0.115, 0.000339, 0.993)	Iyx=-0.443 Iyy=0.257 Iyz=0.987
				<b>Z</b>	0.236	Iz=(0.991, -0.0699, -0.115)	Izx=-0.0941 Izy=0.987 Izz=4.69
5	<b>POANSON</b>	<b>p</b>	7850	<b>X</b>	-0.0991	Ix=(-0.00341, 1,-0.0165)	Ixx=1.65 Ixy=-0.152 Ixz=-0.0353
		<b>m</b>	1.51 0.000192 0.0274	<b>Y</b>	1.02	Iy=(-0.993, -0.00147, 0.117)	Iyx=-0.152 Iyy=0.0998 Iyz=0.363
				<b>Z</b>	0.236	Iz=(0.117, 0.0167,0.993)	Izx=-0.0353 Izy=0.363 Izz=1.58

1	2	3	4	5	6		
6	<b>MATRIȚĂ</b>  	<b>p</b>	7850	<b>X</b>	-0.0941	Ix=(0.999, 0.0247, 0.0199)	Ixx=1.81 Ixy=-0.177 Ixz=-0.0464
		<b>m</b>	2.1	<b>Y</b>	0.898	Iy=(0.0194, 0.0214,-1)	Iyx=-0.177 Iyy=0.138 Iyz=0.443
		<b>v</b>	0.000359	<b>Z</b>	0.235	Iz=(-0.0251, 0.999,0.0209)	Izx=-0.0464 Izy=0.443 Izz=1.71
		<b>s</b>	0.0819			Px=0.00148 Py=0.00244 Pz=0.00348	
7	<b>MASA MATRIȚEI</b>  	<b>p</b>	7850	<b>X</b>	-0.0861	Ix=(-0.00554, -0.000956,1)	Ixx=4.39 Ixy=-0.402 Ixz=-0.107
		<b>m</b>	5.34	<b>Y</b>	0.875	Iy=(1, -5.3e-006, 0.00554)	Iyx=-0.402 Iyy=0.355 Iyz=1.08
		<b>v</b>	0.00068	<b>Z</b>	0.232	Iz=(0,1, 0.000956)	Izx=-0.107 Izy=1.08 Izz=4.13
		<b>s</b>	0.0829			Px=0.00901 Py=0.0196 Pz=0.0274	
8	<b>BATIU</b>  	<b>p</b>	7850	<b>X</b>	-0.194	Ix=(-0.157, 0.988, 0.000944)	Ixx=50.4 Ixy=-9.13 Ixz=-2.09
		<b>m</b>	45.8	<b>Y</b>	1	Iy=(-0.988, -0.157, -0.000144)	Iyx=-9.13 Iyy=4.78 Iyz=10.8
		<b>v</b>	0.00583	<b>Z</b>	0.235	Iz=(5.9e-006, -0.000955,1)	Izx=-2.09 Izy=10.8 Izz=49.8
		<b>s</b>	1.14			Px=0.482 Py=1.93 Pz=2.17	

1	2	3		4		5	6
9	SUPPORT PRESĂ	<b>p</b>	7850	<b>X</b>	-0.175	Ix=(0.168, 0.986, 0.00142) Iy=(-0.00281, -0.000956,1) Iz=(0.986, -0.168, 0.00261)  Px=4.18 Py=7.91 Pz=8.3	Ixx=22.2 Ixy=-4.42 Ixz=-3.79  Iyx=-4.42 Iyy=12.2 Iyz=6.69  Izx=-3.79 Izy=6.69 Izz=19.8
		<b>m</b>	94.1 0.012 2.4	<b>Y</b>	0.309		
							
10	PRESA	<b>p</b>	7850	<b>X</b>	-0.213	Ix=(-0.0967, 0.995, 0.00588) Iy=(-0.995, -0.0967, 0.00147) Iz=(0.00203, -0.00571,1)  Px=6.38 Py=44 Pz=45	Ixx=156 Ixy=-33.7 Ixz=-9.7  Iyx=-33.7 Iyy=26.2 Iyz=33.1  Izx=-9.7 Izy=33.1 Izz=156
		<b>m</b>	195 0.0251 4.38	<b>Y</b>	0.723		
							



## ANEXA 4

### TIPURI DE IZOLATORI

Mașinile și echipamentele din mediile industriale reprezintă adesea surse de vibrații care pot afecta atât stabilitatea proprie a acestora cât și mediul înconjurător, print transmiterea vibrațiilor la suprafața de așezare, la alte utilaje învecinate, sau chiar la structura clădirilor în care sunt amplasate.

Efectele negative ale vibrațiilor se pot regăsi și în performanțele mașinilor a căror funcționare poate deveni necorespunzătoare, influențând astfel calitatea și precizia pieselor prelucrate. Deasemenea, pot genera uzuri ale echipamentelor care duc la scaderea duratei de funcționare a acestora sub limita admisă prin normele de proiectare.

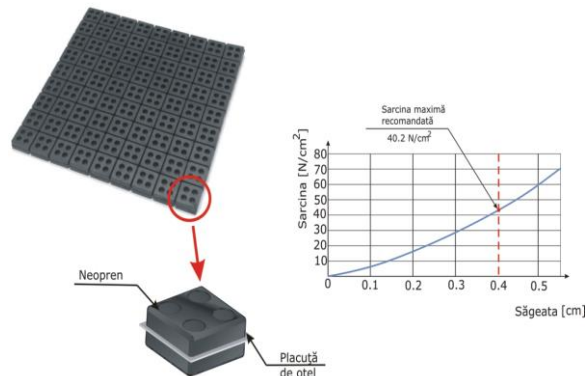
În scopul înlăturării sau reducerii transmisibilității acestor vibrații s-au efectuat diverse studii ale izolării antivibratorii în urma cărora s-au proiectat diferite sisteme de izolare (izolatori) specifice fiecărui tip de mașină, în funcție de operațiile executate și de forțele dezvoltate în timpul procesului de prelucrare a semifabricatelor.

Deoarece, construcția niciunei mașini, nu face posibilă realizarea unui echilibrări statice și dinamice perfecte, pentru combaterea vibrațiilor datorate forțelor de inerție apărute în timpul funcționării, ca o compensare a acestei deficiențe, se recurge la alegerea unor izolatori corespunzători.

În continuare voi prezenta câteva dintre cele mai utilizate tipuri de izolatori de vibrații produși de *KINETICS NOISE CONTROL, VIBRO/DYNAMICS CORPORATION, ADVANCED ANTIVIBRATION COMPONENTS, FBREEKA, CFM-ITBONA LLC, CMS VIBRATIONS SOLUTIONS*, companii cu tradiție în cercetarea și proiectarea sistemelor de izolare antivibratorie

- **IZOLATORI DE VIBRAȚII SUB FORMĂ DE COVOARE ELASTICE DIN ELASTOMERI**

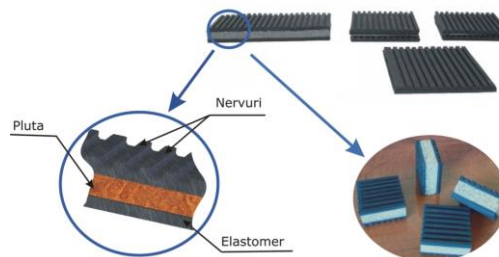
Izolatorii cei mai frecvent întâlniți sunt **elastomerii**, polimeri sintetici cu proprietăți plastice și elastice asemănătoare cu cele ale cauciucului natural. Din această categorie face parte și neoprenul, care este tot o varietate de cauciuc sintetic obținut prin polimerizare, utilizat cu succes la confecționarea diverselor tipuri de izolatori datorită elasticității sale ridicate care îl face rezistent atât la solicitări de compresiune cât și la eforturi de forfecare. Se utilizează sub formă de covoare sau plăci în diferite forme constructive.



**Fig.1-Cover din neopren cu inserție de oțel**

În Fig.1 este prezentat un izolator, model RSP, produs de Kinetics Noise Control, sub formă de plăcuțe, confecționat din neopren cu o inserție de oțel sub formă de plăcuțe, proiectat pentru o săgeată maximă de 4 cm, sarcina maximă recomandată fiind de 4.2 kg/cm<sup>2</sup>.

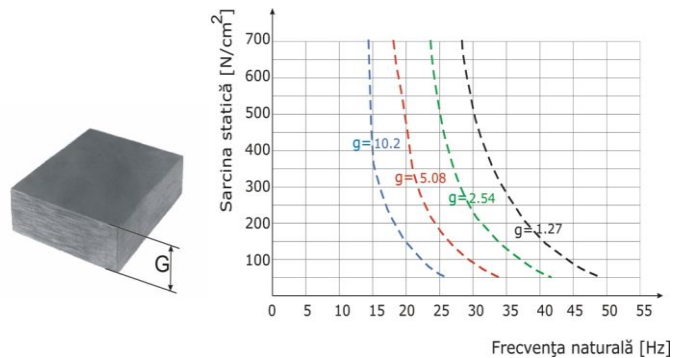
Este un model utilizat atât pentru izolarea zgomotului, a șocurilor, cât și pentru vibrațiile de frecvențe înalte care apar în timpul diferitelor procese din mediul industrial, care necesită regimuri de funcționare cu turații de până la 3600 ro/min. Stratul de neopren este prevăzut cu goluri sub formă de găuri care cresc compresibilitatea, elasticitatea și capacitatea de absorbție a vibrațiilor. Caracteristicile bune ale neoprenului care este rezistent la apă, uleiuri și alte materiale corozive, conferă izolatorului o durată de funcționare destul de mare [90]



**Fig.2-Cover izolator din elastomeri cu nervuri și plută, de tip sandwich**

Din aceeași categorie de izolatori fac parte elastomerii cu nervuri (Fig.2) model NP și NG, produși de asemenea de Kinetics Noise Control, care se prezintă sub forma unor tamponuri de amortizare din cauciuc striat, sau de tip sandwich, formate din cauciuc și plută, folosite pentru asigurarea unei săgeți satice de încovoiere de 6 mm sau chiar mai mică. Se pot utiliza într-un singur strat, sau, în funcție de necesități, în mai multe straturi separate între ele prin plăci de oțel.

Modelul NDF Flexoply (Fig.3) reprezintă un cover izolator alcătuit din straturi alternative de neopren lamelar și pânză de bumbac. Acesta permite o bună atenuare a șocurilor ca urmare a deplasării lamelor de neopren între straturile de bumbac, motiv pentru care aceste tipuri sunt frecvent folosite la izolarea șocurilor și vibrațiilor care apar în timpul funcționării la diferite utilaje cu forțe impulsive de valori ridicate cum ar fi ciocanele de forjă sau alte utilaje grele.



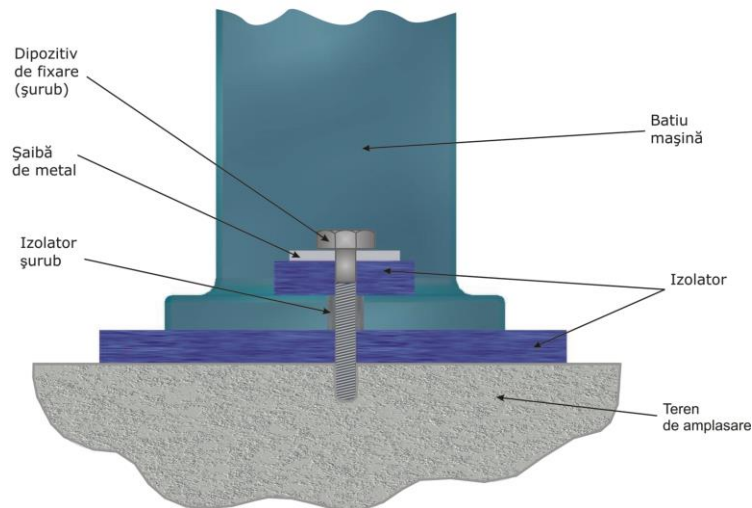
**Fig.3** -Covor izolator din neopren și bumbac

Variația sarcinii statice suportată de izolator, în funcție de frecvența naturală a acestuia pentru diferite grosimi,  $g=10.2$ ;  $5.08$ ;  $2.54$ ;  $1.27$  [cm] ale covorului, este ilustrată în Fig.3; grosimea stratului se alege separat în funcție de necesități, pentru fiecare tip de mașină, ținând cont ca acest model a fost proiectat să suporte sarcini statice de până la  $703 \text{ kg/cm}^2$ , dar pentru a i se asigura o durată maximă de viață, firma producătoare recomandă să nu se depășească valoarea de  $104 \text{ kg/cm}^2$ .

Flexoply pads se comportă foarte bine referitor la interacțiunea cu diverși agenți corozivi cum ar fi apa, uleiuri, sau chiar și diverse ciuperci și bacterii care se pot dezvolta în mediul de funcționare și își păstrează caracteristicile de amortizare la temperaturi de la  $-37^\circ\text{C}$  până la  $93^\circ\text{C}$ .

Cu privire la selectarea procedurii de montare a sistemului, informația minimă necesară este legată de frecvența forței perturbatoare sau frecvența motorului, greutatea mașinii și eficiența dorită a izolării.

O modalitate, foarte simplă și foarte des aplicată, de amplasare a sistemelor de izolare sub formă de plăci sau covoare, constă în montarea izolatoarelor elastice direct între mașină și terenul (suprafața) pe care acestea urmează să fie așezate (Fig.4)



**Fig.4** -Metoda de amplasare a izolatorilor de tip covor

Pentru împiedicarea alunecării straturilor de izolatori în timpul funcționării utilajului și pentru stabilitatea mașinii se realizează fixarea acestora cu sisteme de prindere de tip șurub care asigură atât fixarea izolatorului cât și ancorarea mașinii față de terenul de amplasare. Pentru a se împiedica contactul metal pe metal se intercalează un strat de material elastic între șurub și piciorul mașinii de care se face prinderea, iar pentru protecția anticorozivă a șurubului se folosește de asemenea un izolator cilindric introdus în orificiul de prindere, care are rolul de a îmbracă filetul.

În unele cazuri, pentru a se diminua solicitarea la fofecare a izolatorilor care poate să apară pe parcursul funcționării mașinii, se protejză straturile elastice prin intercalarea între acestea și mașină a unor plăci subțiri de oțel.

#### • **ARCURILE**

Altă soluție de izolare a șocurilor și vibrațiilor o reprezintă **arcurile** care se pot proiecta pentru o gamă largă de sarcini, atât pentru mașini ușoare cât și pentru utilaje foarte grele care produc forțe dinamice mari cum ar fi presele de forjat, presele mecanice și ciocanele.

Cele mai utilizate sunt arcurile din oțel, elicoidale, cu secțiune circulară, care sunt foarte eficiente în absorbirea vibrațiilor prin faptul că permit realizarea de suspensii cu frecvențe proprii joase datorită deformațiilor mari pe care le pot atinge; în același timp firmele producătoare de sisteme de amortizare oferă o largă diversitate de soluții constructive care includ arcuri, în funcție cerințele legate de tipul mașinilor, forțele tehnologice dezvoltate în procesul de lucru etc. Câteva dintre aceste soluții de izolatori, oferite de Qontrol Devices Inc sunt ilustrate în Fig.6

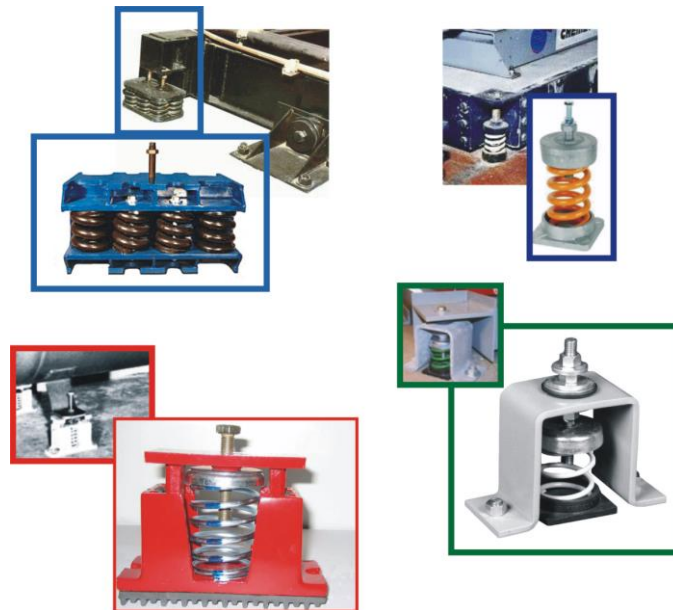


Fig.5

Cu toate acestea arcurile prezintă dezavantajul legat de faptul că la vibrații de frecvențe înalte se pot produce deplasări (alunecări) ale spirelor care duc la pierderea eficienței sistemului izolator. Pentru înlăturarea acestui inconvenient se poate adapta ca soluție constructivă încorporarea unor tampoane de amortizare din sârma de oțel inoxidabil sub formă de împletitură, în interiorul arcului (Fig.7), care cresc capacitatea portantă a izolatorului și rezistența la temperaturi ridicate.

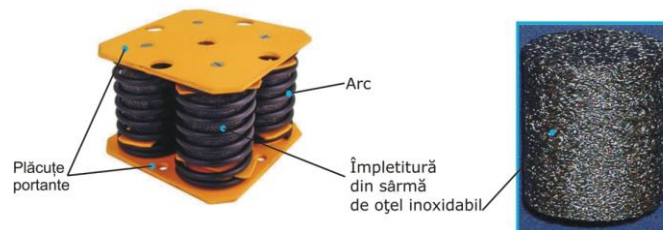


Fig.6

Pentru aplicații care produc deplasări mari ale arcurilor, se poate integra în izolator o amortizare vâscoasă cu rolul de a menține săgeata de încovoiere în limite acceptabile.

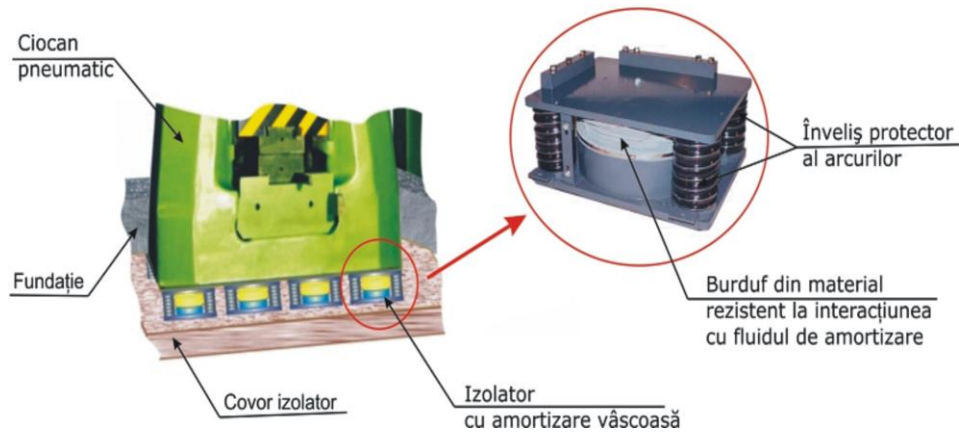


Fig.7

În Fig.8 este ilustrat un sistem pentru izolarea șocurilor și vibrațiilor, format din arcuri și amortizor vâscos, utilizat la un ciocan de forjă pneumatic.

Se poate observa și modul de amplasare al izolatoarelor, așezați în groapa de fundație a mașinii, betonată, captușită pe suprafața de așezare cu un covor elastic care are tot rol de izolator. Pentru protecția arcurilor față de diferiți agenți corozivi acestea sunt prevăzute cu învlitori din material rezistent la acțiunea mediului unde funcționează. Burduful amortizorului vâscos este confecționat de asemenea dintr-un material special care să fie rezistent la interacțiunea cu fluidul de amortizare folosit.

O alternativă la sistemul de izolare prezentat mai sus este produsă tot de **VIBRO/DYNAMICS Corporation** din **SUA**, lider în proiectarea și fabricarea sistemelor antivibratorii, în special pentru prese din diferite ramuri ale industriei. Aceste variante constructive se folosesc cu succes pentru mașinile care funcționează cu șocuri, cum sunt mașinile de forjat și ciocanele de matrițat, reprezentând produse noi în acest domeniu care sunt mult mai ușor de construit și care oferă o izolare antișoc similară sistemelor cu arcuri și amortizare vâscoasă.

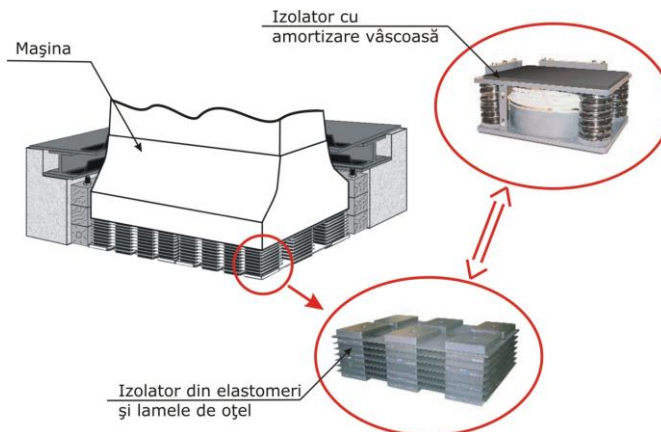


Fig.8

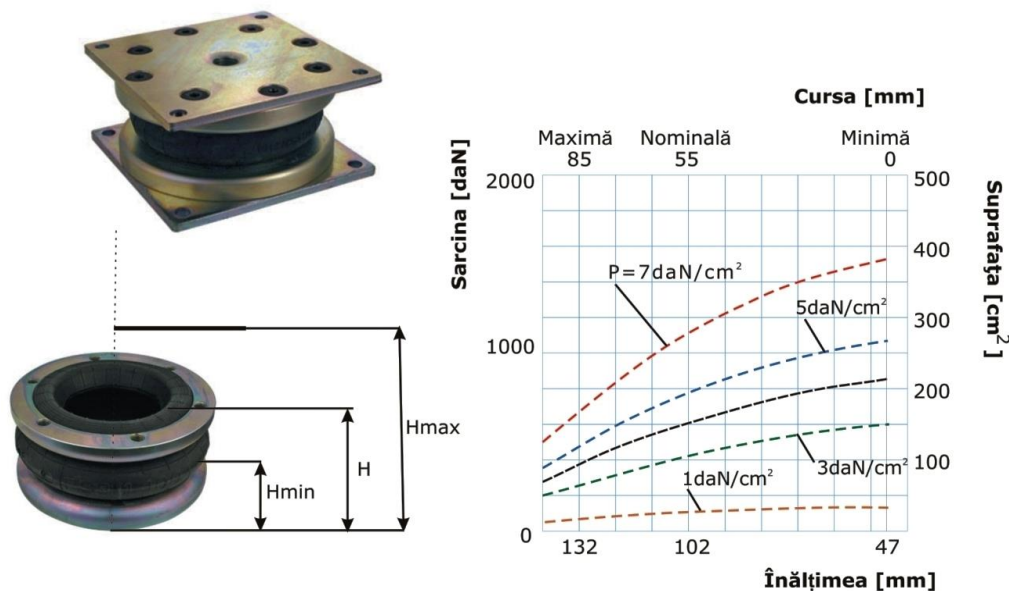
Fiecare element este construit utilizând straturi alternative de module elastometrice și plăci subțiri (coli) de oțel, bine fixate între ele (Fig.9), iar

elementele elastometrice sunt astfel concepute, încât să asigure o izolare superioară la șocuri, să aibă durabilitate mare și o bună rezistență la deformare.

#### • **IZOLATORI PNEUMATICI**

Izolatorii pneumatici utilizează aerul, pentru a asigura izolarea antivibratorie. Deoarece aerul poate fi comprimat ei nu necesită o săgeată de încovoiere statică mare ca să susțină sarcina și în același timp asigură o rigiditate scăzută, astfel ca aceste tipuri de izolatori pot să suporte sarcini statice mari, realizând pulsații proprii joase.

În varianta constructivă cea mai simplă izolatorii cu aer se compun din două armături din metal între care se află un element elastic din cauciuc (Fig.10).



**Fig.9**

Forța de susținere a izolatoarelor pneumatici este determinată de presiunea internă a aerului și de suprafața efectivă.

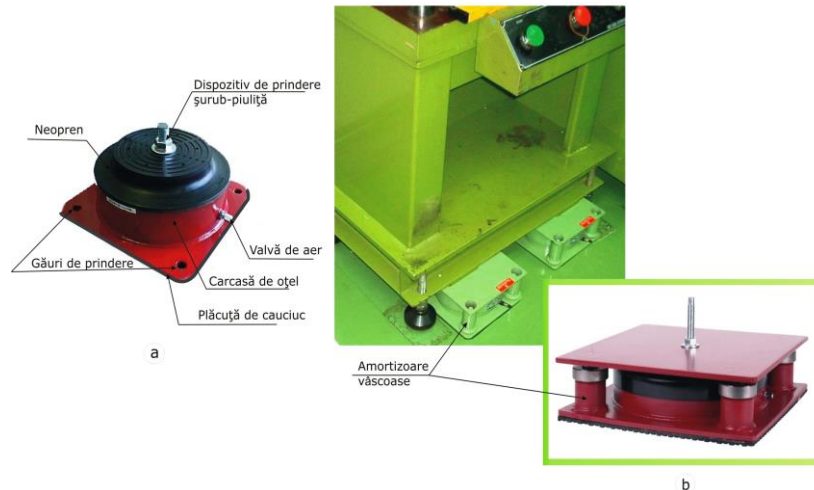
Luând în considerare modificarea constituției aerului din punct de vedere termodinamic, rigiditatea pernei de aer se poate calcula în funcție de presiunea de lucru  $p$ , presiunea mediului ambiant  $p_a$ , aria efectivă  $A$  și volumul de aer  $V$ , folosind relația:

$$c = 10 \cdot p \cdot \frac{dA}{dS} + \chi \cdot 10 \cdot (p + p_a) \cdot \frac{A^2}{V} \text{ [N/cm]} \quad (1)$$

$\chi = 1.41$  reprezintă exponentul izentropic al aerului

Frecvența naturală a izolatorului se poate modifica controlând volumul efectiv de aer din acesta. Din relația (1) se observă că o creștere a volumului de aer determină scăderea rigidității izolatorului și ca urmare frecvența naturală va scădea și ea [92]

Alt tip de izolator pneumatic, model AMA, proiectat de Qontrol Devices SUA, pentru diverse mașini și echipamente industriale cum ar fi compresoare, ciocane de forjă sau aparate de măsură de precizie, este ilustrat în Fig.11.a



**Fig.10**

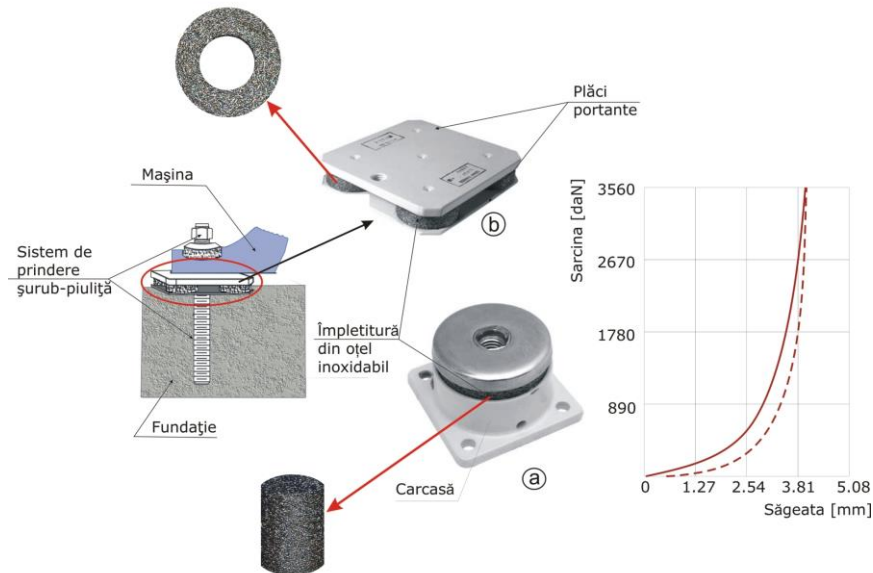
Modelele AMA sunt disponibile într-o gamă largă de dimensiuni, după necesități și, în funcție de tipurile constructive, sunt capabile să suporte sarcini de 50-100 daN până la 2000-3500 daN, au săgeată mare și pot să asigure frecvențe naturale joase de 3-5 Hz. Combinația dintre oțel, din care este confecționat corpul amortizorului, și membrana de neopren, sporește rezistența acestuia crescându-i durata de utilizare. Se amplasează cu ușurință, prin prindere, pe suprafața de montare, în acest scop partea metalică a izolatorului fiind prevăzută cu găuri de prindere.

În scopul creșterii stabilității laterale, modelele de tipul celor din Fig.11a se pot realiza în variantă îmbunătățită prin adăugarea unor amortizori vâscoși, dispuși simetric pe părțile laterale (Fig.11b). Acest nou model, tip AMB, are o largă aplicabilitate fiind un bun absorbitor de șocuri și vibrații capabil să suporte sarcini de până la 3500 daN (în funcție de tipul constructiv și de necesitățile impuse de mașină) asigurând frecvențe naturale joase. Instalarea acestora se face cu ușurință între suprafața de așezare a mașinii și mașină, cum se poate observa în Fig.11b.

- **IZOLATORII CU AMORTIZORI DIN REȚEA DE OȚEL**

Izolatorii confecționați din împletitură de oțel inoxidabil (Fig.12a,b) se utilizează pentru numeroase aplicații de la mașini unelte cum ar fi: strungurile, mașinile de frezat, de mortezat etc până la mașini grele, diverse tipuri de prese, concasoare.



**Fig.11**

În funcție de model, izolatorul, realizat dintr-o împletitură de sârmă din oțel inoxidabil, poate să fie fixat într-o carcasă (Fig.12a) sau între două plăcuțe portante (Fig.12b)

Sarcinile pentru care sunt proiectați variază în funcție de model și de dimensiuni; astfel izolatorii din Fig 12 sunt disponibili în variante care pot suporta sarcini de 35-180 daN până la 275-725 daN (modelul din Fig.11a), respectiv de 450-900 daN până la 4530-9060 daN (modelul din Fig.11b)

Numărul de izolatori necesari care se montează între mașină și fundație se calculează ținând cont de masa mașinii și de capacitatea portantă a izolatorului:

$$\text{Nr.izolatori} = \frac{\text{masa mașinii [kg]}}{\text{capacitatea portantă a unui izolator [kg/izolator]}}$$

Avantajul utilizării celor două modele prezentate este sporit și de faptul că materialele din care sunt confecționați, pe lângă că sunt rezistenți la agenții corozivi din mediul de lucru, permit utilizarea izolatorilor în medii cu temperaturi cuprinse între  $-70^{\circ}\text{C}$  și  $+175^{\circ}\text{C}$

#### • **IZOLATORI DIN FIBRĂ DE STICLĂ**

Izolatorii care folosesc ca amortizor fibra de sticlă se folosesc în foarte multe domenii datorită calității acestora de buni atenuatori de șocuri, vibrații, dar și de zgomote, iar în mod special se aplică la presale care execută operații de ștanțare, perforare, imprimare etc.

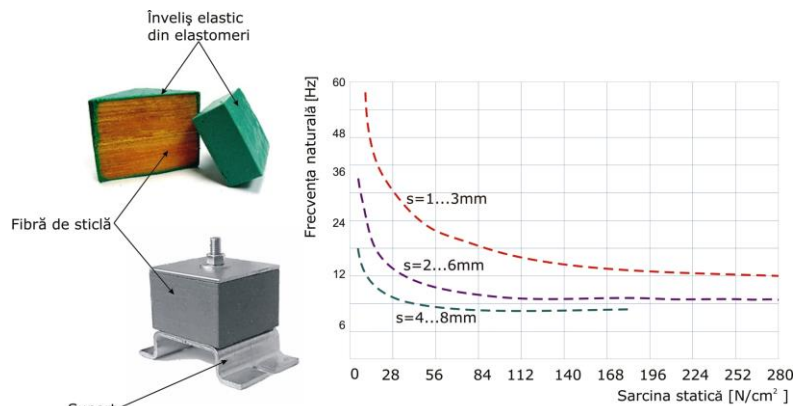


Fig.12

În Fig.13 sunt prezentate două tipuri constructive de izolatoare cu fibră de sticlă, iar din graficul alăturat se observă variația sarcinii statice pe care o pot suporta și a frecvenței naturale pe care pot să o asigure trei modele diferite de izolatoare care au săgeata statică diferită.

Fibra de sticlă prezintă avantajul că își păstrează proprietățile la temperaturi de peste 40°C până la 121°C, este rezistentă la coroziune, la rugină, mușcături și nu este inflamabilă.

#### • **IZOLATORI SUB FORMĂ DE SUPORȚI SAU PICIOARE**

O altă companie producătoare de elastomeri este Compania Internațională FABREEKA, foarte apreciată pe plan mondial., numele său fiind sinonim cu inovațiile în tehnica izolării și controlului vibrațiilor și șocurilor, cu aplicații variate în foarte multe ramuri ale industriei.

Din categoria amortizorilor proiectați de FABREEKA pentru utilajele care dezvoltă forțe tehnologice de valori ridicate fac parte modelele Infab™ Type "T", (Fig.5) obținute deasemenea prin modelarea elastomerilor, dar, de aceasta dată în masa de caucic sunt încorporate arcuri de oțel. Arcurile asigură sistemului o frecvență naturală mică, iar elastomerii o bună amortizare

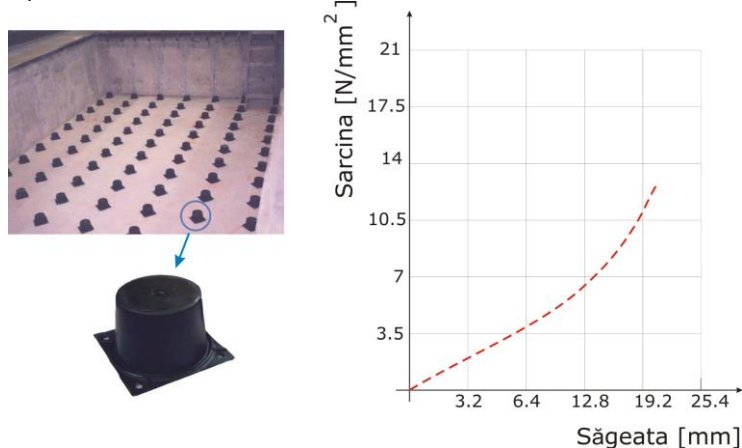
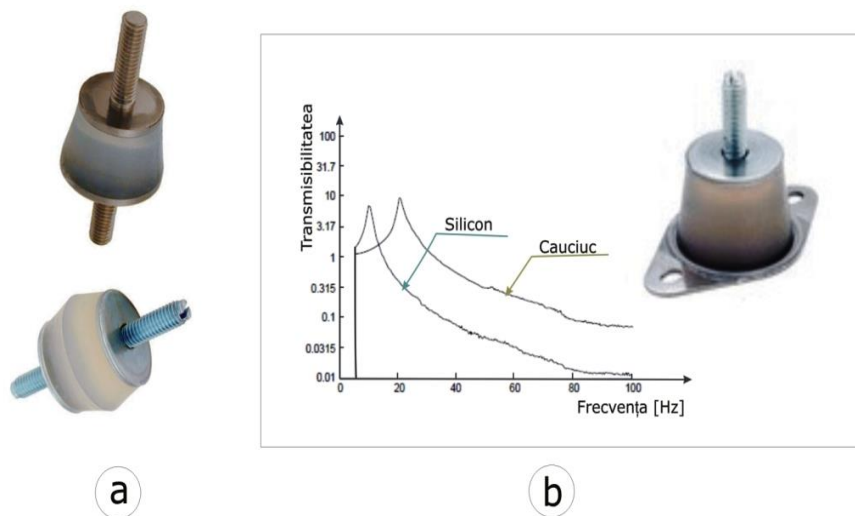


Fig.13

Amplasarea acestor amortizori se face în groapa de fundație , betonată, cum se poate observa și în Fig.5, prin așezare pe mai multe rânduri, iar pentru fixarea acestora se folosesc sisteme de prindere cu șuruburi. Distanțele dintre izolatori se calculează în funcție de fiecare situație în parte, luând în considerare săgeata statică a izolatorului pentru a obține frecvența proprie cerută și calculul greutateii pe suprafața de sprijin a mașinii.

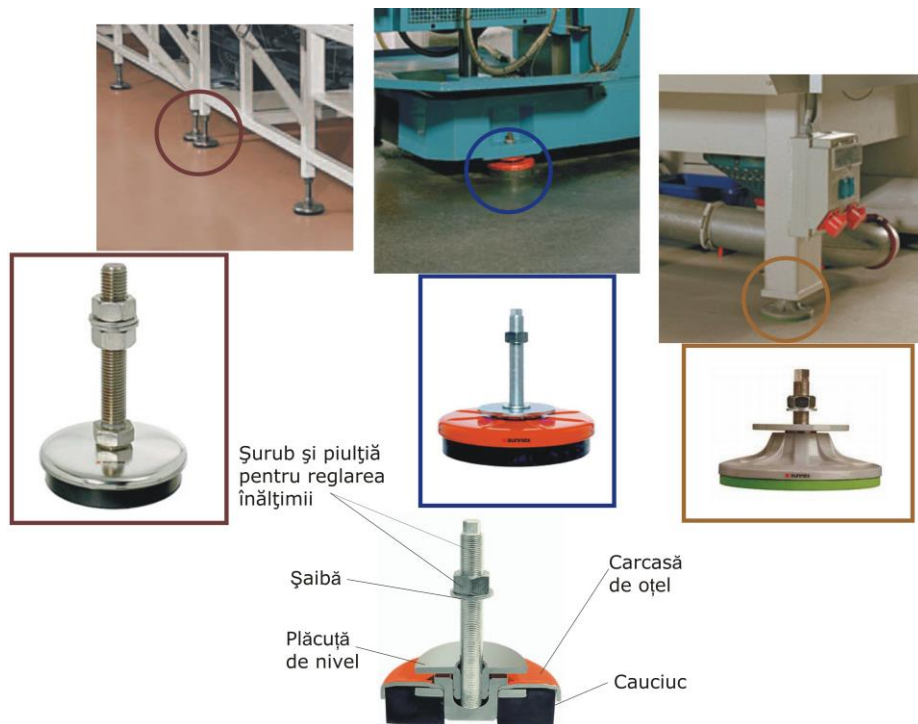
Pentru sarcini statice mai mici sau intermediare de până la 245N/isolator și în condiții în care spațiul rezervat amplasării este limitat, se utilizează cu succes izolatorii cu partea amortizoare din silicon și opritoarele și șurubul de fixare din oțel inoxidabil (Fig.14)



**Fig.14**

Siliconul asigură o transmisibilitate mai mică decât cauciucul la aceleași frecvențe de lucru (Fig.14b) și se poate folosi în medii industriale cu temperaturi de la  $-40^{\circ}\text{C}$  până la  $+200^{\circ}\text{C}$ , sau chiar mai mari, fără a-i fi influențate caracteristicile de amortizare.

În locurile în care asigurarea unei anumite înălțimi sau a unui anumit nivel al mașinii sau echipamentului este foarte importantă, se utilizează suportii reglabili (Fig.15). Aceștia sunt disponibili într-o gamă largă de tipodimensiuni, dar au în comun faptul că fiecare include în construcția lui, ca amortizor, un element elastic (cauciuc, neoprene, elastomeri) protejat de o carcasă de oțel. Reglarea nivelului la care trebuie amplasată mașina se face prin intermediul unui sistem șurub-piuliță (Fig.15)

**Fig.15**

Deoarece, datorită elasticității, au puterea de a amortiza impactul masiv, de a absorbi șocurile puternice și de a atenua vibrațiile mari, sunt recomandați pentru mașini grele, cu solicitari dinamice mari cum ar fi presele de toate tipurile, ciocanele și mașinile de forjat, fiind capabili să suporte sarcini de până la 5340 daN și să asigure o reducere a vibrațiilor de până la 80% [85]